

ANEXOS

ANEXO 1

Leyenda Tabla 1 y Tabla 2

F: fachada

DH: Fachada Sala de Dos Hermanas

R: Fachada Sala de los Reyes

AB: Fachada Sala de Abencerrajes

MC: Fachada Sala de Mocárabes

C: columna

S: tercio superior

M: tercio medio

I: tercio inferior

Z: zona

E: cara externa

Iz: cara izquierda

I: cara interior

D: cara derecha

ESTUDIO DE ELEMENTOS ARQUITECTÓNICOS Y COMPOSICIÓN DE MATERIALES DEL PATIO DE LOS LEONES.
INTERACCIONES EN SUS CAUSAS DE DETERIORO

Tabla 1. VERANO. Temperaturas tomadas en la columnata referenciadas por fachada y zona.

LOCALIZACIÓN			8:00 HORAS				12:00 HORAS				16:00 HORAS				20:00 HORAS			
F	C	Z	E	Iz	I	D	E	Iz	I	D	E	Iz	I	D	E	Iz	I	D
DH	1	S	26,7	24,7	27,2	27,2	37,2	31,7	31,8	40,1	36,1	35,6	36,1	36,7	33,9	33,9	34,6	34,4
		M	26,6	27,2	27,2	27,2	36,3	32,2	32,8	38,1	36,1	36,1	36,1	36,7	33,9	34,1	33,9	33,9
		I	26,7	27,2	27,2	27,2	35,6	32,2	31,7	36,6	35,6	35,6	36,1	36,7	33,3	33,3	33,9	33,3
DH	2	S	27,2	27,2	27,2	27,2	30,7	30,0	30,0	29,9	33,9	33,9	33,9	34,4	33,3	33,2	33,3	33,9
		M	27,2	27,2	27,4	27,2	31,3	30,6	30,6	30,4	34,4	33,9	34,4	34,4	33,3	33,3	33,3	33,9
		I	27,2	27,2	27,4	27,2	32,8	31,1	30,6	30,3	34,3	33,9	33,9	33,9	32,3	33,3	33,3	33,3
DH	3	S	27,2	27,8	27,8	27,8	30,0	29,4	30,0	30,0	34,4	34,4	34,4	35,0	34,1	33,3	33,9	33,9
		M	27,2	27,5	27,8	27,2	31,1	30,0	30,0	30,4	35,0	34,4	34,4	35,6	33,9	33,9	33,9	33,9
		I	27,8	27,8	27,8	27,2	30,6	30,0	31,1	35,1	34,4	3,9	33,9	34,4	33,2	33,2	32,8	33,3
DH	4	S	27,1	27,2	27,2	26,8	35,6	31,7	31,7	37,1	36,7	36,1	36,7	37,2	34,4	34,4	34,4	34,4
		M	27,2	27,2	27,2	27,2	36,1	31,7	31,7	35,9	36,7	36,1	36,7	36,8	33,9	35,0	33,9	33,9
		I	27,2	27,2	27,3	27,2	35,0	31,7	32,8	36,6	36,7	36,1	36,7	37,2	33,4	33,9	33,9	33,9
DH	5	S	26,7	26,7	26,7	26,7	37,8	33,3	33,9	39,4	38,3	37,8	37,8	38,9	34,4	34,4	34,4	34,4
		M	26,7	26,8	26,8	26,7	35,6	33,3	33,0	36,7	37,8	37,3	36,7	37,8	33,9	34,4	34,3	34,4
		I	26,7	27,2	27,2	26,7	37,2	33,9	35,0	39,4	38,9	38,3	37,6	38,9	34,4	34,4	34,4	34,4
DH	6	S	26,2	26,7	26,7	26,7	38,9	34,6	33,9	37,8	42,1	40,6	39,4	41,7	35,0	34,7	35,0	35,0
		M	26,7	26,7	27,2	26,7	35,6	33,3	33,3	37,8	39,4	39,1	38,3	39,8	34,4	35,0	35,1	35,0
		I	26,7	27,2	27,2	27,2	37,2	33,9	34,4	34,4	40,6	40,0	39,4	41,1	34,4	35,0	35,0	35,0
DH	7	S	26,7	26,7	27,2	26,7	38,6	32,8	32,2	41,9	44,9	43,5	38,9	41,7	35,6	35,0	35,6	35,6
		M	26,7	27,2	27,2	27,2	37,3	32,8	32,2	41,2	44,2	42,2	40,0	42,2	35,6	35,6	35,8	36,1
		I	26,7	27,2	27,2	27,2	35,2	32,8	32,2	38,6	41,7	41,1	39,4	40,9	35,0	35,0	35,6	35,6
DH	8	S	26,4	27,2	27,2	26,7	38,6	33,3	33,9	39,4	44,4	45,2	38,9	41,1	35,1	35,6	35,6	35,6
		M	26,7	27,2	27,2	26,7	35,6	32,8	35,0	36,4	46,2	45,6	41,1	43,3	36,1	36,1	36,1	36,2
		I	26,7	27,2	27,2	27,2	35,6	33,7	35,0	36,7	43,9	42,3	40,3	42,8	35,6	36,1	35,6	36,1
DH	9	S	26,2	26,7	27,2	26,7	39,6	33,3	33,9	38,0	44,4	43,9	40,6	42,2	36,1	36,7	36,6	36,7
		M	26,7	27,2	27,2	26,7	37,8	32,8	32,8	36,8	42,1	41,7	40,0	40,6	36,1	36,1	36,2	36,1
		I	27,2	27,2	28,3	27,2	36,2	32,8	34,4	35,6	42,3	44,4	42,2	42,2	36,1	36,1	36,1	36,7
DH	10	S	26,1	26,7	27,2	26,9	41,1	33,9	31,9	41,2	45,1	44,6	41,1	42,8	36,9	36,8	37,8	37,8
		M	26,7	27,2	27,2	27,2	39,1	33,9	31,3	39,2	45,6	44,0	41,1	42,8	37,2	37,6	37,8	37,8
		I	27,2	27,8	28,3	27,2	37,3	33,3	32,8	39,4	45,6	45,6	41,7	43,3	37,8	37,6	37,8	38,3
DH	11	S	26,4	26,7	27,2	26,1	38,1	33,9	33,9	39,2	46,7	44,9	42,2	42,8	36,7	37,8	37,2	37,2
		M	26,7	27,2	27,2	26,7	39,4	34,4	33,3	38,7	45,6	45,0	41,1	42,6	37,2	37,8	37,8	37,8
		I	27,2	27,8	28,3	27,2	37,8	33,9	35,1	37,8	44,4	45,6	42,2	43,3	37,2	37,8	37,8	37,8
DH	12	S	26,4	26,7	27,2	27,2	40,2	33,3	31,7	40,3	45,6	45,4	41,1	42,8	37,8	37,2	37,9	38,3
		M	26,7	27,2	27,8	26,8	39,7	34,3	32,2	37,7	47,8	46,2	42,2	43,9	37,8	38,9	38,9	38,3
		I	26,7	27,8	28,3	27,8	37,8	34,2	33,3	38,3	46,2	47,8	43,1	43,3	37,8	37,8	38,3	38,4

Tabla 1. VERANO. Temperaturas tomadas en la columnata referenciadas por fachada y zona.

LOCALIZACIÓN			8:00 HORAS				12:00 HORAS				16:00 HORAS				20:00 HORAS			
F	C	Z	E	Iz	I	D	E	Iz	I	D	E	Iz	I	D	E	Iz	I	D
DH	13	S	26,4	27,1	27,2	26,3	37,8	34,4	33,9	39,3	46,2	44,8	41,7	42,8	36,7	37,8	37,8	37,1
		M	26,7	27,2	27,2	27,2	36,1	33,3	33,9	35,7	46,7	46,3	41,7	42,8	37,2	37,8	37,8	38,1
		I	27,2	27,8	28,2	27,8	37,4	33,9	35,0	37,2	45,6	45,8	42,3	42,2	37,2	38,3	37,8	37,8
DH	14	S	26,1	26,7	26,7	26,7	39,6	33,9	33,3	38,9	45,0	45,0	40,2	42,2	37,2	37,2	38,3	37,8
		M	26,7	26,7	27,2	26,7	36,9	33,3	32,8	36,1	43,9	43,1	40,0	40,6	37,1	37,2	37,8	37,2
		I	27,2	27,8	28,3	27,8	37,8	33,9	35,0	37,1	45,7	45,6	42,2	42,2	37,8	37,8	38,3	37,8
DH	15	S	26,1	26,7	26,2	26,4	40,2	34,4	32,1	38,8	45,6	44,4	39,4	41,3	37,2	37,2	37,2	37,2
		M	26,1	26,7	27,2	26,7	36,7	33,9	31,7	38,9	45,6	45,6	39,8	41,7	37,8	37,8	37,8	37,8
		I	27,2	27,8	27,8	27,8	36,1	33,3	32,8	38,2	43,9	45,0	41,7	41,7	37,2	37,8	37,2	37,2
DH	16	S	25,7	26,7	26,7	26,7	40,6	34,4	33,4	39,3	43,9	41,7	39,4	40,6	36,1	36,7	36,1	36,1
		M	26,1	26,7	26,7	26,7	37,8	34,4	33,6	37,2	44,4	44,2	39,1	40,6	36,7	37,8	36,7	36,8
		I	27,2	27,8	27,8	27,8	38,9	33,9	35,0	39,6	44,4	42,6	38,9	41,1	36,7	37,2	36,7	36,1
DH	17	S	25,7	26,7	26,7	26,7	36,4	33,3	31,4	35,4	45,7	43,9	39,4	40,6	37,8	37,2	37,2	38,3
		M	26,1	26,7	26,7	26,7	35,0	31,7	31,1	38,0	42,8	42,2	38,9	40,0	37,2	37,2	37,2	37,8
		I	27,2	27,2	27,6	27,8	37,1	32,8	31,7	34,7	44,5	45,6	40,0	41,7	37,2	37,8	37,5	37,8
DH	18	S	25,6	26,7	26,8	26,7	42,8	32,8	33,3	41,1	46,7	42,6	39,4	41,1	35,0	37,2	37,2	37,8
		M	26,1	26,7	27,1	26,7	36,4	32,8	32,2	35,6	43,9	42,2	40,0	41,1	37,2	37,2	37,2	37,8
		I	27,2	27,2	27,8	27,8	37,2	34,4	34,4	37,3	45,0	46,0	40,6	42,2	37,2	37,8	37,8	37,8
DH	19	S	25,8	26,2	26,7	26,7	39,8	34,4	33,7	38,4	47,3	46,7	42,4	41,7	38,3	38,3	38,9	38,9
		M	26,1	26,7	27,2	27,2	37,2	32,8	32,2	35,1	45,1	43,9	40,0	41,1	38,3	38,9	38,9	38,9
		I	26,8	27,2	27,8	27,8	37,2	33,3	38,9	36,7	45,0	45,0	40,7	42,2	38,3	38,3	38,9	38,9
DH	20	S	26,1	26,7	27,2	26,7	36,1	32,4	31,1	35,8	46,1	46,1	41,1	41,7	39,4	39,4	39,4	39,4
		M	26,7	26,7	27,2	27,2	34,3	32,2	30,6	34,4	44,2	43,9	40,6	42,2	38,9	38,9	39,4	39,4
		I	27,2	27,8	27,8	27,8	34,4	317,0	31,1	34,0	44,4	44,4	41,3	42,2	38,9	39,4	39,4	39,4
DH	21	S	26,1	26,7	27,2	27,2	38,9	33,3	31,7	37,6	47,8	46,8	40,4	41,7	37,8	38,9	38,3	38,9
		M	26,1	26,7	27,2	27,2	38,7	32,8	32,2	37,2	47,8	46,7	41,7	42,8	38,3	39,4	38,9	38,9
		I	27,2	27,8	27,8	27,8	35,7	32,8	33,4	37,2	44,6	46,7	41,1	42,2	38,3	38,9	38,3	38,9
DH	22	S	26,1	26,1	26,7	26,7	41,7	36,7	35,6	40,0	46,1	50,0	42,2	43,3	37,2	37,8	38,3	38,3
		M	26,1	26,7	26,5	26,7	40,0	35,6	35,6	38,9	46,1	47,2	42,2	44,4	37,2	37,6	38,3	37,8
		I	26,7	26,7	27,2	27,2	38,9	36,1	35,6	38,2	45,6	48,3	43,3	43,9	37,2	37,2	37,8	38,3
DH	23	S	26,7	26,7	26,7	26,7	42,2	36,1	36,1	38,9	47,3	45,8	41,7	42,8	36,1	37,3	37,5	37,4
		M	26,7	26,7	26,7	26,7	38,9	35,0	35,0	37,2	45,7	44,7	41,1	42,8	36,7	37,2	37,5	37,3
		I	27,2	27,2	27,8	27,2	37,8	35,0	36,7	37,8	45,0	44,4	41,7	42,2	36,7	37,2	37,4	37,2
DH	24	S	26,7	26,7	26,8	26,7	41,8	35,6	35,6	37,8	46,1	49,4	42,2	42,2	36,3	37,8	37,9	37,8
		M	26,7	26,7	26,8	26,7	37,2	33,9	33,5	35,0	45,4	45,6	40,6	41,7	37,3	37,8	37,8	37,8
		I	27,2	27,2	27,6	27,2	37,8	34,4	35,6	36,2	45,1	47,9	42,8	42,1	37,2	37,2	37,8	37,8

ESTUDIO DE ELEMENTOS ARQUITECTÓNICOS Y COMPOSICIÓN DE MATERIALES DEL PATIO DE LOS LEONES.
INTERACCIONES EN SUS CAUSAS DE DETERIORO

Tabla 1. VERANO. Temperaturas tomadas en la columnata referenciadas por fachada y zona.

LOCALIZACIÓN			8:00 HORAS				12:00 HORAS				16:00 HORAS				20:00 HORAS			
F	C	Z	E	Iz	I	D	E	Iz	I	D	E	Iz	I	D	E	Iz	I	D
DH	25	S	26,7	26,7	27,2	26,7	37,3	33,9	32,8	35,9	45,6	48,5	41,5	41,8	37,2	37,8	38,3	38,3
		M	26,7	26,7	27,1	27,2	35,9	32,4	32,2	33,3	45,0	46,7	40,6	41,7	37,8	37,8	37,9	38,1
		I	27,2	27,2	27,8	27,8	33,9	32,8	32,2	32,8	45,0	50,6	42,2	42,2	36,7	37,8	38,3	38,3
DH	26	S	26,7	26,7	27,2	27,2	36,7	31,7	32,2	33,9	45,0	45,3	40,6	41,1	36,7	37,2	37,3	37,2
		M	26,7	26,7	27,2	27,2	34,3	31,1	31,7	31,7	43,3	42,2	38,9	39,4	36,7	37,2	37,2	36,7
		I	27,2	27,2	27,8	27,8	32,8	31,3	32,2	31,7	43,9	43,5	39,4	40,6	36,4	37,2	36,7	37,0
DH	27	S	27,2	27,2	26,7	27,2	34,4	32,2	32,2	32,2	44,4	48,6	41,1	41,3	37,1	37,2	37,7	37,8
		M	27,2	27,2	26,7	27,2	31,1	31,1	31,1	30,6	42,2	44,4	39,4	40,3	36,7	36,7	36,7	37,2
		I	27,2	27,2	27,2	27,8	29,4	30,6	30,6	28,9	44,4	46,1	41,7	41,1	37,2	36,7	37,6	37,5
DH	28	S	26,7	27,2	27,2	27,2	30,0	31,1	30,6	29,4	44,2	46,7	40,0	40,6	37,7	36,7	37,2	37,4
		M	27,2	27,2	26,7	27,2	29,0	30,0	30,6	29,4	41,2	43,3	38,3	38,3	36,4	36,4	36,7	36,8
		I	27,2	27,2	27,2	27,8	28,9	28,3	29,4	28,3	43,3	45,2	40,6	40,0	36,8	36,7	37,1	37,1
DH	29	S	27,2	27,2	27,2	27,2	29,4	30,0	30,0	29,4	42,2	45,6	38,3	38,3	37,3	37,8	37,3	37,3
		M	27,2	27,2	27,2	27,2	29,4	29,4	30,0	28,9	41,8	43,9	37,2	37,8	36,7	37,2	36,8	37,4
		I	27,8	27,8	27,8	27,2	27,8	28,3	28,9	27,8	41,7	43,2	37,2	37,3	36,1	36,2	35,8	35,9
DH	30	S	27,2	27,2	27,2	27,2	29,4	29,4	30,0	28,9	36,1	36,1	35,6	35,0	35,0	35,0	34,6	34,6
		M	27,2	27,2	27,2	27,2	28,9	28,9	28,9	28,9	35,6	35,6	35,0	34,4	35,0	35,0	34,2	34,6
		I	27,2	27,8	27,8	27,8	27,8	27,8	28,9	27,8	35,0	35,0	34,4	33,4	34,3	34,3	33,6	33,4
DH	31	S	27,2	27,2	27,2	27,2	30,0	30,6	29,4	29,4	41,1	46,1	36,8	35,9	36,7	36,7	37,4	36,7
		M	27,2	27,2	27,2	27,3	29,4	30,0	29,4	29,4	40,6	43,9	36,1	36,1	36,7	36,7	36,7	36,7
		I	27,2	27,2	27,2	27,8	28,3	28,9	28,9	28,3	40,4	41,7	36,1	36,1	35,6	36,1	35,6	35,7

Tabla 1. VERANO. Temperaturas tomadas en la columnata referenciadas por fachada y zona.

LOCALIZACIÓN			8:00 HORAS				12:00 HORAS				16:00 HORAS				20:00 HORAS			
F	C	Z	E	Iz	I	D	E	Iz	I	D	E	Iz	I	D	E	Iz	I	D
R	32	S	27,3	27,3	27,9	27,9	27,8	27,8	27,2	27,8	45,0	36,7	34,4	40,0	38,9	38,3	37,2	38,3
		M	27,3	27,9	27,9	27,9	27,8	27,8	27,8	27,2	41,1	35,6	33,9	36,8	37,2	36,7	36,7	36,7
		I	27,3	27,9	27,9	27,9	26,7	27,2	27,2	26,7	39,4	36,1	35,0	37,8	36,7	36,7	36,1	36,7
R	33	S	27,3	27,9	27,9	27,9	27,8	27,2	27,2	27,2	43,4	36,7	34,2	40,7	38,6	38,3	37,8	38,9
		M	27,9	27,9	27,9	27,9	27,2	27,2	27,2	27,2	40,4	35,6	33,9	38,9	37,8	37,2	36,7	37,8
		I	27,3	27,3	27,9	27,9	27,2	27,2	26,7	26,7	36,7	34,2	31,7	34,7	35,6	35,7	35,6	36,1
R	34	S	27,9	27,9	27,9	27,9	27,8	27,2	27,2	27,2	42,8	37,4	33,9	39,1	38,4	38,3	37,2	37,8
		M	27,9	27,9	27,9	27,9	27,2	27,2	27,2	27,2	39,6	35,6	33,3	36,1	37,2	37,2	36,7	36,7
		I	27,9	27,9	27,9	27,9	27,2	26,7	27,2	27,2	35,6	32,8	31,1	33,6	35,6	36,1	35,0	35,0
R	35	S	27,3	27,9	27,9	27,9	27,8	27,8	27,2	27,2	34,3	33,3	32,1	32,9	37,2	36,1	35,6	36,7
		M	27,3	27,9	27,9	27,9	27,8	27,3	27,2	27,2	34,3	32,8	31,7	32,8	36,1	35,6	35,6	36,1
		I	27,3	27,9	27,9	27,9	27,2	27,2	26,7	27,2	33,5	31,7	30,6	31,4	35,6	35,6	34,4	35,0
R	36	S	27,3	27,9	27,9	27,9	27,8	27,8	27,2	27,8	33,3	32,8	31,7	32,6	37,2	36,7	35,6	35,6
		M	27,9	27,9	27,9	27,9	27,2	27,2	26,7	27,3	32,2	32,2	31,1	31,7	35,6	35,6	35,0	35,0
		I	27,3	27,9	27,9	27,9	27,2	26,7	27,2	27,2	31,1	31,1	30,4	30,0	35,0	35,0	34,4	34,4
R	37	S	27,9	27,9	27,9	27,3	27,8	27,8	27,2	27,2	33,3	32,8	31,7	32,2	33,3	35,0	32,8	33,9
		M	27,9	27,9	27,3	27,3	27,8	27,8	27,2	27,2	32,8	32,2	31,7	31,7	33,4	33,3	33,3	33,3
		I	27,9	27,3	27,3	27,9	27,2	27,2	27,2	27,2	31,1	30,6	30,3	30,6	32,8	33,9	32,8	32,8
R	38	S	27,3	27,3	27,9	27,9	27,8	27,8	27,2	27,2	2,8	32,2	31,7	31,7	32,8	32,8	32,8	32,8
		M	27,3	27,3	27,3	27,9	27,2	27,8	27,2	27,2	32,8	31,7	31,1	31,7	33,3	33,3	33,3	33,3
		I	27,3	27,9	27,9	27,9	27,2	27,2	27,2	27,2	31,7	30,0	30,0	30,6	33,3	33,3	32,8	33,3
R	39	S	27,9	27,9	27,9	27,3	27,8	27,8	27,2	27,8	33,9	32,8	31,7	32,8	33,9	32,8	33,3	33,3
		M	27,3	27,9	27,9	27,9	27,8	27,2	27,2	27,2	32,8	31,7	31,7	31,7	33,9	33,9	33,3	33,9
		I	27,3	27,3	27,9	27,3	27,2	27,2	27,2	27,2	33,3	31,1	30,6	31,7	34,4	33,9	33,3	33,9
R	40	S	27,9	27,3	27,3	27,9	28,9	28,3	27,8	27,8	35,0	33,6	32,8	33,6	33,3	34,4	33,3	33,8
		M	27,3	27,3	27,3	27,3	28,3	27,8	27,2	27,8	33,9	32,8	32,2	32,8	33,9	33,9	34,4	34,4
		I	27,3	27,3	27,3	27,3	27,2	27,2	27,2	27,8	35,3	31,7	31,7	33,9	34,4	34,4	33,9	34,4
R	41	S	27,3	27,3	27,3	27,3	28,9	28,3	28,3	28,3	35,6	35,0	34,4	35,0	34,4	33,9	34,4	33,9
		M	27,3	27,3	27,3	27,3	27,9	28,3	27,8	27,8	35,6	33,9	336,3	33,9	34,4	34,4	34,4	34,4
		I	27,3	27,3	27,3	27,3	27,8	27,2	27,2	27,3	36,7	33,9	33,3	35,0	34,4	34,4	35,0	35,0
R	42	S	27,3	27,3	27,3	27,3	28,3	28,3	27,8	27,8	37,3	36,7	36,2	37,2	34,4	34,4	34,4	34,4
		M	27,3	27,3	27,3	27,3	27,8	27,8	27,2	27,8	40,0	36,7	36,1	37,8	34,4	34,4	35,0	35,0
		I	27,3	27,3	27,3	27,3	27,2	27,8	27,2	27,8	43,2	36,7	36,7	40,7	35,0	35,0	35,0	35,0
R	43	S	27,3	27,3	27,3	27,3	28,3	28,3	27,8	27,8	36,7	35,6	35,3	35,6	34,4	33,9	34,4	35,0
		M	27,3	27,3	27,3	27,3	28,3	27,8	27,8	27,8	37,2	36,1	35,6	37,2	35,0	34,4	35,0	35,0
		I	27,3	27,3	27,3	27,3	27,8	27,8	27,2	27,8	36,7	35,6	35,0	36,7	34,4	34,4	35,0	35,0

ESTUDIO DE ELEMENTOS ARQUITECTÓNICOS Y COMPOSICIÓN DE MATERIALES DEL PATIO DE LOS LEONES.
INTERACCIONES EN SUS CAUSAS DE DETERIORO

Tabla 1. VERANO. Temperaturas tomadas en la columnata referenciadas por fachada y zona.

LOCALIZACIÓN			8:00 HORAS				12:00 HORAS				16:00 HORAS				20:00 HORAS			
F	C	Z	E	Iz	I	D	E	Iz	I	D	E	Iz	I	D	E	Iz	I	D
R	44	S	26,8	26,8	26,8	26,8	28,6	28,3	27,9	28,5	44,5	38,3	37,2	39,6	36,7	36,1	36,5	36,7
		M	26,8	27,3	26,8	26,8	28,3	27,8	27,8	28,3	43,3	37,8	37,8	40,6	36,7	36,7	36,7	37,2
		I	26,8	27,3	27,3	27,3	27,8	27,8	27,2	27,8	42,2	37,8	37,2	39,6	36,1	36,1	36,2	36,7
R	45	S	26,8	27,3	27,3	26,8	28,9	28,3	27,8	28,3	43,9	38,9	37,2	42,8	36,7	37,2	36,7	36,7
		M	26,8	26,8	27,3	26,8	28,3	27,8	27,8	27,8	41,8	38,3	37,2	39,4	36,1	36,7	36,7	36,1
		I	27,3	27,3	27,3	27,3	27,3	27,8	27,2	27,2	43,3	39,4	37,8	40,6	36,7	36,7	36,7	36,7
R	46	S	26,8	26,8	26,8	26,2	28,9	28,9	28,4	28,9	44,4	38,9	38,3	42,2	36,1	36,1	36,1	36,7
		M	26,8	26,8	26,8	26,2	28,3	28,3	28,3	28,3	40,0	36,7	36,7	38,3	34,4	35,0	35,6	35,0
		I	26,8	27,3	27,3	27,3	27,2	27,9	27,8	27,8	43,9	38,3	38,3	41,1	36,1	36,1	36,1	36,1
R	47	S	26,8	26,9	26,8	26,8	28,9	28,9	28,3	29,5	44,2	38,9	38,3	41,5	36,1	36,1	36,1	36,1
		M	26,8	26,9	26,8	26,8	28,9	28,7	28,3	29,4	40,6	37,2	36,7	38,9	35,0	35,0	35,6	35,6
		I	26,8	27,3	27,3	27,3	28,3	28,3	28,6	28,9	43,3	38,9	38,9	41,7	36,1	36,1	36,7	36,1
R	48	S	26,8	26,8	27,3	26,8	30,0	28,3	28,1	28,6	43,9	37,8	36,9	39,9	36,1	36,1	36,7	37,2
		M	26,8	27,3	27,3	26,8	29,1	28,6	28,2	29,9	41,7	37,2	36,7	38,9	35,6	36,1	36,1	36,1
		I	27,3	27,9	27,9	27,3	28,9	28,9	29,1	29,4	41,8	37,8	37,3	38,9	35,6	35,6	36,1	36,7
R	49	S	26,8	26,8	26,8	26,8	30,0	28,9	33,7	33,8	44,4	38,6	37,8	41,3	35,6	36,7	36,7	36,1
		M	26,8	26,8	26,8	26,8	29,4	28,9	31,1	32,2	43,3	38,9	38,3	40,6	35,6	36,1	36,1	36,1
		I	27,3	27,3	27,3	26,8	29,4	29,1	31,1	31,8	42,8	38,9	38,3	40,6	35,6	36,1	36,7	36,1
R	50	S	27,3	27,3	27,3	27,2	29,4	28,9	32,5	35,7	40,8	37,4	37,8	39,8	36,1	35,6	35,6	34,4
		M	26,8	27,3	27,3	27,2	29,4	29,3	30,6	32,8	40,6	38,3	38,3	40,0	35,6	35,6	35,6	35,0
		I	27,3	27,9	27,9	27,2	29,4	28,9	30,6	31,7	41,1	37,8	38,9	41,1	36,1	35,6	36,1	35,6
R	51	S	26,9	27,3	26,8	26,8	30,0	28,3	31,1	32,2	45,5	39,4	37,8	40,6	35,6	36,1	36,2	36,1
		M	26,9	27,3	27,3	26,8	28,5	28,3	28,3	29,5	41,7	37,2	36,7	38,9	35,6	35,1	35,6	35,0
		I	27,3	27,3	27,3	27,3	28,9	27,8	27,2	27,8	45,0	38,3	38,5	40,3	35,6	35,6	36,1	36,1
R	52	S	26,8	27,3	26,8	26,8	28,3	28,3	27,8	27,8	44,8	38,9	37,8	40,6	36,1	36,1	36,1	36,1
		M	26,8	27,3	27,3	26,8	27,8	27,8	27,2	27,2	40,6	36,1	36,1	37,2	35,0	35,6	35,6	35,0
		I	27,3	27,9	27,9	27,3	27,2	27,8	27,2	27,2	42,2	37,8	37,8	38,9	35,6	35,6	35,6	35,6
R	53	S	27,3	27,3	27,3	27,3	27,8	27,8	27,2	27,8	43,9	36,7	35,6	39,4	36,7	37,2	37,2	36,7
		M	27,3	27,3	27,3	27,3	27,8	27,8	27,2	27,8	42,2	36,7	36,1	38,4	36,1	36,7	37,2	36,1
		I	27,3	27,9	27,9	27,3	27,2	27,2	27,2	27,2	40,6	36,7	35,6	38,3	36,1	36,1	36,1	36,1
R	54	S	27,3	27,3	27,3	27,3	28,3	28,3	27,8	28,3	36,3	32,8	32,2	32,8	34,4	34,4	34,4	34,4
		M	27,3	27,3	27,3	27,3	28,3	28,3	27,8	27,8	32,8	31,7	31,1	32,2	33,9	33,9	33,3	33,9
		I	27,3	27,3	27,3	26,8	27,8	27,8	27,2	27,8	31,7	31,1	30,4	31,7	33,9	33,9	33,3	33,3
R	55	S	27,3	27,3	27,3	27,3	28,3	28,3	28,3	28,3	33,9	33,3	32,8	33,3	34,4	33,9	33,9	33,9
		M	27,3	27,3	27,3	27,3	28,3	28,3	27,8	28,3	34,4	33,3	32,8	33,9	33,9	33,9	33,9	33,9
		I	27,3	27,3	27,3	27,3	28,3	28,3	27,8	27,8	35,0	34,4	34,4	35,0	34,4	33,9	33,9	33,9

Tabla 1. VERANO. Temperaturas tomadas en la columnata referenciadas por fachada y zona.

LOCALIZACIÓN			8:00 HORAS				12:00 HORAS				16:00 HORAS				20:00 HORAS			
F	C	Z	E	Iz	I	D	E	Iz	I	D	E	Iz	I	D	E	Iz	I	D
R	56	S	27,9	27,9	27,9	27,9	28,3	28,3	28,3	28,3	36,4	33,9	32,8	35,6	33,9	33,9	33,9	34,4
		M	27,9	27,9	27,3	27,4	28,3	28,3	27,8	27,8	42,2	34,4	33,3	38,9	34,4	34,4	34,4	35,0
		I	27,3	27,9	27,9	27,9	28,3	28,3	27,8	27,8	42,2	34,4	33,3	39,4	34,4	34,4	34,4	34,4
R	57	S	27,9	27,9	27,3	27,3	28,3	28,3	27,8	27,8	35,6	34,6	33,9	39,4	35,0	35,0	34,4	35,0
		M	27,3	27,3	27,3	27,4	27,8	27,8	27,8	27,8	37,7	35,6	35,0	40,0	35,6	35,0	35,0	35,0
		I	27,3	27,3	27,9	27,4	27,8	27,8	27,8	27,8	35,6	34,4	33,9	37,8	34,4	34,4	34,1	34,4
R	58	S	27,3	27,3	27,3	27,3	27,8	27,8	27,8	27,8	43,9	37,8	34,4	39,1	36,7	37,2	36,1	36,1
		M	27,3	27,3	27,3	27,3	27,8	27,8	27,8	27,8	43,3	37,8	35,0	37,8	36,1	37,2	36,1	36,1
		I	27,3	27,3	27,9	27,3	27,2	27,8	27,8	27,8	40,1	37,3	35,6	37,8	35,6	36,1	35,6	35,0
R	59	S	27,3	27,3	27,3	27,3	28,3	28,3	27,8	27,8	43,3	37,2	35,0	37,9	35,6	35,6	35,6	35,6
		M	27,3	27,3	27,3	27,3	27,8	28,3	27,8	27,8	37,2	35,6	33,9	35,6	33,9	34,4	33,9	34,4
		I	26,8	27,3	27,3	26,8	27,2	27,8	27,8	27,8	35,6	35,1	34,2	35,0	33,3	34,2	33,9	33,9
R	60	S	26,8	27,3	26,8	27,3	28,9	27,8	27,8	27,8	42,6	37,6	34,4	37,5	34,4	35,6	34,4	34,4
		M	27,3	27,3	27,3	27,3	28,4	27,8	27,8	27,2	37,8	35,6	33,9	35,1	33,9	34,4	33,9	33,3
		I	26,8	26,8	27,3	26,8	27,2	27,8	27,2	27,2	35,0	34,4	33,6	33,9	32,8	33,9	32,8	32,8
R	61	S	26,8	26,8	26,8	26,8	27,8	27,8	27,8	27,8	36,7	32,8	31,7	32,2	31,7	32,8	32,8	32,2
		M	26,8	26,8	26,8	26,8	27,2	27,8	27,8	27,2	30,8	31,7	31,1	30,6	31,1	32,2	31,7	31,7
		I	26,8	26,8	26,8	26,8	26,7	27,2	27,8	27,2	29,4	30,0	29,4	28,9	30,6	30,6	30,6	30,6
R	62	S	26,8	26,8	26,8	26,8	28,3	27,8	28,3	27,8	31,1	31,7	30,6	30,6	31,1	31,7	31,8	31,7
		M	26,8	26,8	26,8	26,8	27,2	27,3	27,2	27,2	30,3	30,6	30,0	30,0	31,1	31,1	31,1	31,1
		I	26,2	26,2	26,8	26,2	26,7	26,7	26,3	26,1	28,5	28,9	28,9	28,4	30,0	30,0	30,6	30,0
R	63	S	26,8	26,8	26,8	26,8	27,8	28,3	27,8	27,8	30,6	31,1	30,0	30,0	31,1	31,1	31,1	31,1
		M	26,8	26,8	26,8	26,8	27,2	27,8	27,2	27,2	30,0	30,0	30,0	29,4	31,1	31,1	30,6	31,1
		I	26,2	26,2	26,2	26,2	27,2	26,7	26,7	26,7	28,3	28,9	28,3	28,3	30,0	30,0	30,0	30,0

ESTUDIO DE ELEMENTOS ARQUITECTÓNICOS Y COMPOSICIÓN DE MATERIALES DEL PATIO DE LOS LEONES.
INTERACCIONES EN SUS CAUSAS DE DETERIORO

Tabla 1. VERANO. Temperaturas tomadas en la columnata referenciadas por fachada y zona.

LOCALIZACIÓN			8:00 HORAS				12:00 HORAS				16:00 HORAS				20:00 HORAS			
F	C	Z	E	Iz	I	D	E	Iz	I	D	E	Iz	I	D	E	Iz	I	D
AB	64	S	26,7	26,7	26,7	26,7	27,4	27,2	27,2	28,3	32,2	31,7	32,2	32,2	33,3	33,3	33,3	33,3
		M	26,7	26,7	26,7	26,7	27,2	27,2	27,2	27,2	31,7	31,1	31,1	31,7	32,8	32,8	32,8	32,8
		I	26,7	26,7	26,7	26,7	26,1	26,1	26,1	26,1	28,8	29,4	30,0	29,4	31,1	31,1	31,1	30,6
AB	65	S	26,7	27,2	27,2	26,7	27,2	27,2	27,2	27,5	31,7	31,7	31,7	32,2	33,3	32,8	32,8	33,3
		M	26,7	27,2	27,2	26,7	27,2	27,3	27,8	27,2	30,6	31,1	31,1	31,7	32,8	32,2	32,8	32,8
		I	26,7	26,7	26,7	26,7	26,1	26,1	26,1	26,7	29,4	29,4	30,0	30,0	31,1	30,7	31,1	31,2
AB	66	S	26,7	26,7	26,7	26,7	28,3	27,8	27,8	27,8	32,8	32,2	32,2	32,8	33,3	33,9	33,3	33,3
		M	26,7	26,7	26,7	26,7	27,8	27,2	27,2	27,8	32,2	32,2	31,4	31,7	33,3	33,3	32,8	32,8
		I	26,3	26,7	26,7	26,4	26,7	26,1	26,7	26,7	30,0	30,0	30,0	30,0	31,7	31,1	31,1	31,3
AB	67	S	26,1	26,7	26,3	26,4	28,3	27,8	27,6	28,9	33,3	32,8	33,3	33,3	33,3	33,3	33,3	33,3
		M	26,7	26,7	26,7	26,4	27,8	27,8	27,8	27,8	32,2	31,7	32,8	32,2	33,3	33,4	32,8	32,8
		I	26,1	26,7	26,7	26,1	26,7	26,7	26,7	26,7	30,6	30,6	30,6	30,6	31,7	31,1	31,1	31,7
AB	68	S	26,1	26,3	26,7	26,1	28,9	28,3	27,8	28,9	33,9	32,8	33,3	33,3	33,3	33,3	33,3	33,3
		M	26,1	26,6	26,1	26,1	27,8	27,8	27,8	28,3	32,8	32,2	32,8	32,8	32,8	32,2	32,8	32,8
		I	25,6	26,1	26,1	26,1	27,2	27,2	27,2	27,2	30,6	31,1	31,1	30,6	31,1	31,7	31,5	31,1
AB	69	S	26,1	26,7	26,7	26,1	28,3	28,3	27,8	28,3	33,9	32,8	33,3	34,2	33,3	33,3	32,8	33,9
		M	26,1	26,7	26,7	26,2	28,3	27,8	27,8	27,8	32,8	32,2	32,2	32,8	32,8	33,3	32,8	32,8
		I	25,6	26,1	26,7	26,1	27,2	26,7	26,7	27,2	30,6	30,6	30,6	30,6	31,1	31,7	31,2	31,7
AB	70	S	25,6	26,7	26,7	26,1	28,9	28,0	28,3	28,9	34,4	33,3	33,3	33,3	33,3	33,3	33,3	33,3
		M	26,1	26,7	26,7	26,1	28,3	27,8	27,8	28,3	32,8	32,2	32,8	32,8	32,8	33,6	32,8	32,8
		I	25,5	26,1	26,1	26,1	27,2	27,2	27,2	27,2	30,6	31,1	31,1	30,6	31,1	32,2	31,8	31,1
AB	71	S	25,5	26,1	26,1	25,7	29,4	28,3	28,3	28,9	34,4	33,3	33,3	33,9	32,8	33,3	33,3	33,3
		M	25,7	26,1	26,1	26,1	28,9	28,2	28,3	28,9	32,8	32,8	32,8	32,8	32,8	32,8	32,8	32,8
		I	25,0	26,1	26,1	25,6	27,2	27,2	27,2	27,2	31,1	31,1	31,1	30,6	31,1	32,2	31,7	31,1
AB	72	S	25,1	26,1	26,1	26,1	29,4	28,3	28,3	28,9	33,9	33,9	33,3	33,9	33,4	33,3	33,4	33,3
		M	25,6	26,1	26,1	26,1	28,9	28,3	28,3	28,9	33,3	33,3	33,3	33,9	32,8	32,8	32,8	32,8
		I	25,0	25,8	26,1	25,6	26,7	26,7	27,2	26,7	31,1	31,1	31,1	31,1	31,1	31,2	31,4	32,2
AB	73	S	25,0	26,1	26,1	25,4	29,4	28,9	28,9	29,4	34,4	34,4	33,9	33,9	32,8	33,9	33,6	33,3
		M	25,4	26,1	26,7	26,1	28,9	28,3	27,8	28,9	33,3	33,3	32,8	32,8	33,3	32,8	33,3	33,3
		I	25,0	25,6	26,1	25,0	27,2	27,4	27,2	27,2	31,1	31,1	31,1	31,1	31,1	31,7	31,8	31,7
AB	74	S	25,0	26,1	26,1	26,1	30,0	28,9	28,9	29,4	34,4	33,9	33,9	33,9	32,8	33,9	33,3	34,0
		M	25,6	26,1	26,1	26,1	29,4	28,3	28,3	28,9	33,9	32,8	33,3	33,9	32,8	33,5	32,8	32,8
		I	25,0	25,0	25,6	25,6	27,8	27,5	27,2	27,8	31,1	31,1	31,1	30,7	31,1	31,1	31,1	31,8
AB	75	S	25,0	26,1	26,1	25,6	30,0	29,4	28,9	29,4	34,4	33,9	33,9	33,9	32,8	33,9	33,3	33,3
		M	25,6	26,1	26,1	25,6	28,9	28,9	28,3	28,9	33,3	33,3	33,3	32,8	32,8	33,3	33,4	32,8
		I	25,0	25,6	26,1	25,0	27,2	27,8	27,2	27,8	31,1	31,1	31,1	30,6	31,2	31,5	31,1	31,1

Tabla 1. VERANO. Temperaturas tomadas en la columnata referenciadas por fachada y zona.

LOCALIZACIÓN			8:00 HORAS				12:00 HORAS				16:00 HORAS				20:00 HORAS			
F	C	Z	E	Iz	I	D	E	Iz	I	D	E	Iz	I	D	E	Iz	I	D
AB	76	S	25,0	25,0	26,1	25,0	30,6	29,4	29,4	30,0	33,9	33,9	33,3	33,9	32,2	32,9	33,3	33,3
		M	25,0	25,6	26,1	25,6	29,4	28,9	28,6	28,9	32,8	33,3	32,8	32,8	32,2	32,8	33,1	32,8
		I	25,0	25,0	25,0	25,0	27,2	27,8	27,8	27,2	30,6	30,3	30,6	31,1	30,1	30,6	30,6	30,6
AB	77	S	24,6	25,0	26,0	25,3	30,0	30,0	30,0	30,0	34,4	33,9	34,4	34,4	31,7	33,2	33,3	32,8
		M	25,0	25,6	26,1	25,6	29,3	29,2	30,0	28,9	33,1	32,8	33,3	32,8	31,7	32,2	32,3	32,8
		I	24,4	25,0	25,4	25,0	27,2	27,8	28,3	27,2	31,1	31,1	31,1	31,1	29,4	30,7	30,8	30,0
AB	78	S	25,0	25,6	26,1	25,6	30,0	30,1	30,0	30,0	34,4	34,4	33,9	33,9	33,3	32,2	33,4	32,8
		M	25,0	25,6	25,6	25,6	29,4	28,9	30,0	29,4	32,8	32,8	33,3	32,8	31,7	32,2	32,8	31,7
		I	25,0	25,0	25,0	25,0	27,8	27,8	28,3	27,2	31,1	31,1	31,1	30,6	30,6	30,6	30,6	30,0
AB	79	S	25,0	25,2	25,6	25,0	30,6	30,0	30,0	30,0	33,9	33,9	33,9	34,4	32,8	32,2	32,8	32,2
		M	25,0	25,6	25,6	25,6	29,4	29,4	30,0	29,1	33,3	33,3	33,3	32,8	31,1	31,7	32,2	32,2
		I	25,0	25,0	25,6	25,0	27,2	27,8	28,3	27,2	30,6	30,6	30,3	31,1	28,9	29,4	30,0	30,0
AB	80	S	25,0	25,6	25,6	25,3	30,6	30,0	30,6	30,0	34,4	34,4	34,4	33,9	31,7	33,3	32,8	32,2
		M	25,0	25,6	25,6	25,6	29,4	29,4	30,0	29,4	33,3	33,3	33,3	33,9	31,7	32,2	32,2	32,2
		I	25,0	25,0	25,6	25,0	27,2	27,2	28,3	27,6	30,8	30,7	31,1	30,6	29,4	29,8	30,6	30,1
AB	81	S	24,9	25,6	25,6	25,6	30,6	30,6	30,0	30,0	34,4	34,4	34,4	33,9	32,2	32,2	32,8	32,2
		M	25,0	25,6	26,1	25,6	30,0	29,4	29,4	30,8	33,3	33,3	33,3	33,3	32,2	32,2	33,3	32,2
		I	25,0	25,0	25,6	25,0	28,1	28,3	28,3	28,1	31,1	31,7	31,7	31,1	29,4	30,6	31,1	30,7
AB	82	S	25,0	25,6	26,1	25,6	30,6	30,6	29,9	30,6	34,4	34,4	33,9	34,4	32,2	32,2	32,8	32,8
		M	25,6	25,6	26,1	25,6	29,4	30,0	30,0	30,0	33,9	33,3	33,3	33,9	32,2	32,4	32,8	32,6
		I	25,0	25,0	25,6	25,6	28,1	28,3	28,3	27,8	31,7	31,7	31,7	31,7	30,7	30,8	31,2	30,6
AB	83	S	25,0	26,1	26,1	25,6	31,1	30,6	30,6	30,6	34,4	34,4	33,9	33,9	32,8	33,3	32,6	32,8
		M	25,6	25,6	26,1	25,8	30,6	30,0	30,0	30,0	33,7	33,3	33,3	33,3	32,2	32,8	32,8	32,6
		I	25,0	25,6	25,6	25,6	28,3	28,3	28,3	28,3	31,7	31,7	31,1	31,1	30,0	31,1	31,1	30,6
AB	84	S	26,1	26,1	27,2	27,2	28,3	27,2	27,8	27,8	31,7	31,7	31,1	31,4	30,0	30,6	31,1	30,6
		M	26,7	26,7	27,2	26,8	28,3	27,2	27,8	27,8	31,6	31,1	31,1	31,1	30,0	30,0	30,6	30,6
		I	26,1	26,1	27,2	26,1	26,7	26,7	27,2	26,7	29,4	39,4	30,0	29,7	28,9	28,9	30,0	28,9
AB	85	S	26,1	26,7	27,2	27,2	28,3	27,2	27,8	27,8	31,7	31,7	31,1	31,1	30,0	30,6	30,6	30,3
		M	26,7	27,2	27,8	27,2	27,8	27,2	27,8	27,8	31,1	31,1	31,1	30,9	30,0	30,0	30,6	30,6
		I	26,1	26,1	27,2	27,2	26,7	26,7	27,2	26,7	29,4	29,4	30,0	29,4	28,9	29,2	29,6	28,9
AB	86	S	26,7	26,7	27,2	27,2	28,3	27,8	27,8	27,8	31,7	31,1	31,1	30,6	30,0	30,0	30,6	30,0
		M	27,2	27,2	27,2	27,2	27,8	27,8	27,8	27,8	31,1	31,1	31,1	30,6	30,0	30,0	30,6	30,2
		I	26,1	26,1	27,2	27,2	26,7	26,7	27,2	27,2	29,4	29,4	30,0	30,0	28,9	28,9	29,4	28,9
AB	87	S	27,2	26,7	27,8	27,8	28,3	27,8	27,8	27,8	31,7	31,1	31,1	31,1	30,6	30,0	30,6	30,6
		M	27,2	27,2	27,8	27,2	28,3	27,8	27,8	27,8	31,1	31,1	31,1	30,6	30,0	30,0	30,6	30,6
		I	26,7	26,7	27,2	27,2	27,2	26,7	27,2	26,7	29,4	29,4	30,0	29,4	28,9	28,9	29,4	29,4

ESTUDIO DE ELEMENTOS ARQUITECTÓNICOS Y COMPOSICIÓN DE MATERIALES DEL PATIO DE LOS LEONES.
INTERACCIONES EN SUS CAUSAS DE DETERIORO

Tabla 1. VERANO. Temperaturas tomadas en la columnata referenciadas por fachada y zona.

LOCALIZACIÓN			8:00 HORAS				12:00 HORAS				16:00 HORAS				20:00 HORAS			
F	C	Z	E	Iz	I	D	E	Iz	I	D	E	Iz	I	D	E	Iz	I	D
AB	88	S	26,7	27,2	27,8	27,2	28,3	28,3	27,8	28,3	31,1	31,1	31,1	30,6	30,0	30,6	30,6	30,0
		M	27,2	27,3	27,8	27,8	28,3	27,3	27,8	27,8	31,1	31,1	31,1	30,6	30,0	30,6	30,6	30,6
		I	26,7	27,2	27,8	27,2	27,2	26,7	27,2	27,2	29,4	29,4	30,0	29,4	28,9	29,4	30,0	29,4
AB	89	S	26,7	27,2	27,8	27,2	28,9	28,3	27,8	28,3	31,7	31,7	31,1	31,1	30,1	30,0	30,6	30,6
		M	27,2	27,2	27,8	27,3	28,3	28,3	27,8	28,3	31,1	31,1	31,1	30,6	30,0	30,0	30,6	30,6
		I	26,7	26,7	27,8	27,2	27,2	27,2	27,2	27,8	30,0	30,0	30,0	30,0	29,1	29,1	30,0	29,4
AB	90	S	27,2	27,2	27,8	27,8	28,3	28,3	28,2	28,3	31,1	30,6	31,1	30,6	30,0	30,0	30,6	30,0
		M	27,2	27,8	27,8	27,8	28,3	28,3	28,3	28,3	30,6	31,1	31,1	30,6	30,0	30,0	30,6	30,0
		I	27,2	27,2	27,8	27,8	27,8	27,8	27,2	27,2	30,0	30,0	30,0	30,0	29,4	29,4	30,0	29,4
AB	91	S	27,8	27,8	28,3	28,3	28,3	28,3	27,8	28,3	30,6	30,6	30,6	30,6	30,0	30,0	30,6	30,6
		M	27,8	27,8	28,3	27,8	28,3	28,3	28,3	27,8	30,6	30,6	30,6	30,6	30,6	30,0	30,6	30,0
		I	27,2	27,2	27,8	27,8	27,2	27,2	27,2	27,2	29,4	29,4	29,4	28,9	29,1	28,9	29,4	29,4
AB	92	S	28,3	28,3	28,3	28,3	28,3	27,8	27,8	27,8	30,0	30,6	30,6	30,0	30,0	30,0	30,0	30,0
		M	27,8	28,3	28,3	28,3	27,8	27,8	27,8	27,8	30,0	30,6	30,6	30,0	30,0	30,6	30,0	30,0
		I	27,8	27,8	27,8	27,8	27,2	27,2	27,2	27,2	28,9	29,4	29,4	28,9	28,9	28,9	28,9	28,9
AB	93	S	28,3	28,3	28,9	28,3	28,3	27,8	27,9	27,8	30,6	30,6	30,6	30,0	30,0	30,0	30,6	30,0
		M	28,3	28,3	28,3	28,3	28,3	27,8	27,8	28,3	30,6	30,0	30,6	30,6	30,6	30,6	30,6	30,0
		I	27,8	27,8	27,8	27,8	27,8	27,2	27,2	27,8	29,4	29,4	29,4	29,4	28,9	29,4	28,9	28,9

Tabla 1. VERANO. Temperaturas tomadas en la columnata referenciadas por fachada y zona.

LOCALIZACIÓN		8:00 HORAS				12:00 HORAS				16:00 HORAS				20:00 HORAS					
F	C	Z	E	Iz	I	D	E	Iz	I	D	E	Iz	I	D	E	Iz	I	D	
MC	94	S	27,8	27,8	28,3	27,8	28,3	28,3	27,8	27,8	30,6	31,1	30,6	30,6	30,6	30,6	30,6	30,6	30,0
		M	27,8	27,8	28,3	28,3	28,3	27,8	27,8	27,8	30,6	30,6	30,6	30,6	30,6	30,6	30,6	30,6	30,6
		I	27,8	27,2	27,8	27,8	27,8	27,2	27,8	27,2	29,4	29,4	29,4	29,4	28,9	28,9	29,4	28,9	28,9
MC	95	S	27,2	27,8	27,8	27,8	28,9	27,8	28,3	29,4	31,1	31,1	31,1	31,1	30,6	30,6	30,6	30,6	30,6
		M	27,8	28,3	28,3	27,8	28,3	27,8	28,9	28,9	30,6	30,6	30,6	30,6	30,6	30,1	30,6	30,6	30,6
		I	27,2	27,8	27,8	27,2	27,4	27,2	27,8	28,3	29,4	29,4	30,0	29,4	28,9	29,4	29,4	29,4	28,9
MC	96	S	27,2	27,8	27,8	27,8	36,7	33,3	31,7	32,8	32,2	32,2	32,2	32,8	30,6	30,6	31,1	31,1	31,1
		M	27,2	28,3	28,3	28,3	30,0	30,0	29,4	30,4	31,7	31,1	31,7	31,7	30,6	30,6	30,6	30,6	30,6
		I	27,2	27,2	27,8	27,2	28,9	28,9	28,9	29,5	30,0	30,6	30,6	30,6	30,6	29,4	30,0	30,0	30,0
MC	97	S	27,2	27,8	27,8	27,8	38,3	37,2	32,6	35,0	33,9	32,8	33,3	33,9	30,6	31,1	31,1	31,2	31,7
		M	27,8	27,8	28,3	28,3	37,2	34,4	31,7	32,9	33,9	33,3	33,3	33,9	31,1	31,7	31,1	31,1	32,2
		I	27,2	27,8	28,3	27,8	34,4	32,8	31,7	32,4	32,2	32,2	32,2	32,8	30,6	30,6	31,1	31,7	31,7
MC	98	S	27,8	28,3	27,8	27,8	38,2	37,0	32,8	33,9	33,9	33,9	33,9	33,9	33,9	31,7	31,7	31,7	31,7
		M	27,8	28,3	28,9	27,3	36,7	35,3	32,2	33,9	33,9	33,9	33,9	33,9	33,9	31,7	31,7	31,7	32,2
		I	27,8	28,3	28,9	27,3	36,1	34,4	32,2	33,3	33,3	33,3	33,3	33,9	31,7	31,7	31,7	31,7	31,7
MC	99	S	28,3	27,8	28,3	28,3	38,9	37,8	32,6	34,2	33,9	33,3	33,3	34,1	32,2	32,2	31,7	32,2	32,2
		M	27,8	28,3	28,3	28,3	39,4	36,7	33,3	34,3	34,4	33,9	33,9	34,4	32,2	32,2	32,2	32,2	32,2
		I	27,8	27,8	28,3	28,3	37,2	37,8	33,5	34,7	34,4	33,9	34,4	34,6	32,2	32,2	32,2	32,2	32,2
MC	100	S	28,3	28,3	28,3	28,3	34,4	35,1	30,6	30,6	32,8	33,3	32,8	33,5	31,7	31,7	31,7	32,2	
		M	28,3	28,3	28,3	28,3	36,2	36,1	31,7	31,1	33,9	33,9	33,9	34,4	32,2	32,2	32,2	32,2	
		I	27,8	28,3	27,8	28,3	33,3	34,1	31,1	31,1	34,4	33,3	32,8	33,3	32,2	31,7	31,7	31,7	32,2
MC	101	S	28,3	28,3	28,3	28,3	31,1	30,6	29,4	30,6	33,5	33,3	33,3	32,9	31,7	31,7	31,7	31,7	
		M	28,3	28,3	28,3	28,3	34,8	31,7	30,0	30,6	33,9	33,3	32,8	33,3	32,2	32,2	31,7	32,2	
		I	27,2	27,8	27,2	27,8	35,0	31,7	30,6	32,2	33,3	33,3	32,8	33,3	32,2	32,2	31,7	31,7	
MC	102	S	28,3	28,3	28,3	28,3	37,2	36,1	31,7	32,9	34,6	35,0	34,4	34,4	32,2	32,2	32,2	32,2	
		M	28,3	28,3	28,3	28,3	39,4	37,8	32,8	33,3	35,0	35,0	35,6	35,0	32,2	32,2	32,2	32,8	
		I	27,2	27,8	27,8	27,8	37,8	36,1	34,4	33,9	35,0	35,0	35,0	35,0	32,2	32,2	32,2	32,8	
MC	103	S	27,8	27,8	27,8	28,3	38,9	37,2	33,3	34,4	35,0	34,4	34,4	35,0	31,7	31,7	31,7	32,2	
		M	27,8	27,8	27,8	28,3	35,6	34,4	33,9	38,2	34,4	33,9	34,4	34,4	31,7	31,7	32,2	32,2	
		I	27,2	27,8	26,1	27,8	37,8	36,1	33,3	35,0	35,0	35,0	35,6	35,0	32,2	32,2	32,2	32,8	
MC	104	S	27,8	27,8	27,8	27,8	37,3	36,8	33,9	33,9	37,1	36,1	36,7	36,1	31,7	31,7	31,7	32,2	
		M	27,8	27,8	27,8	27,8	34,4	33,9	32,2	32,8	35,0	35,2	35,0	35,0	31,7	31,7	32,8	32,2	
		I	27,8	27,8	27,8	28,3	36,1	35,0	33,3	33,9	37,2	36,7	36,7	36,7	32,8	32,8	33,3	33,3	
MC	105	S	27,8	27,8	28,3	28,3	33,9	34,9	31,8	31,7	37,2	37,8	37,8	36,7	32,8	32,8	32,8	32,8	
		M	27,8	27,8	28,3	28,3	33,9	34,4	31,7	31,7	37,8	37,8	37,2	37,2	33,3	32,8	33,3	33,3	
		I	28,9	28,3	28,9	28,9	35,6	34,4	32,2	31,7	38,3	38,3	38,3	37,8	33,9	33,9	33,9	33,9	

ESTUDIO DE ELEMENTOS ARQUITECTÓNICOS Y COMPOSICIÓN DE MATERIALES DEL PATIO DE LOS LEONES.
INTERACCIONES EN SUS CAUSAS DE DETERIORO

Tabla 1. VERANO. Temperaturas tomadas en la columnata referenciadas por fachada y zona.

LOCALIZACIÓN		8:00 HORAS				12:00 HORAS				16:00 HORAS				20:00 HORAS				
F	C	Z	E	Iz	I	D	E	Iz	I	D	E	Iz	I	D	E	Iz	I	D
MC	106	S	27,8	27,8	28,3	27,8	40,4	38,9	33,3	33,9	37,8	38,9	38,6	37,2	32,8	32,8	33,3	33,3
		M	27,8	27,8	28,3	27,8	40,0	38,9	33,9	34,4	39,5	38,9	38,8	38,3	33,9	33,3	33,9	33,9
		I	27,8	27,8	28,3	28,3	39,4	38,9	34,4	35,0	39,4	40,4	40,0	38,3	33,9	33,9	34,4	33,9
MC	107	S	27,2	27,8	27,8	27,8	39,2	38,4	33,3	34,4	35,9	35,6	35,6	35,6	32,2	32,2	32,8	32,8
		M	27,8	28,1	28,3	27,8	37,8	36,7	32,8	33,9	36,7	37,2	36,1	36,1	32,8	33,3	33,3	32,8
		I	27,8	28,3	28,3	28,3	37,2	37,8	33,3	34,4	37,2	37,2	37,8	37,1	33,3	33,3	33,9	32,8
MC	108	S	27,2	27,8	27,8	27,8	41,1	41,1	35,0	36,1	36,2	35,6	35,7	35,6	31,6	31,7	32,2	31,9
		M	27,8	27,8	27,8	27,8	38,9	38,9	33,9	34,4	36,1	36,6	36,1	35,6	32,2	32,2	32,4	32,2
		I	27,8	27,8	27,8	27,8	37,8	40,3	35,0	35,0	37,2	37,2	37,2	36,1	32,2	32,2	32,8	32,2
MC	109	S	27,8	27,8	27,8	27,8	41,7	42,2	35,6	36,7	35,6	35,0	35,0	35,6	31,1	31,1	32,2	32,2
		M	27,8	27,8	27,8	27,8	38,9	37,2	33,9	35,0	35,0	35,0	35,0	35,0	31,7	31,7	32,2	32,2
		I	27,8	27,8	27,8	27,8	40,0	40,0	36,1	37,2	35,2	34,4	35,0	34,4	31,7	31,7	32,2	32,2
MC	110	S	27,8	27,8	27,8	27,8	41,7	39,4	34,4	36,7	35,6	35,6	35,0	35,6	30,6	31,1	31,7	31,7
		M	27,8	27,8	28,3	27,8	40,0	38,4	33,9	36,1	35,6	35,0	34,4	36,1	31,1	32,2	31,7	32,2
		I	27,8	27,8	28,3	28,3	41,1	38,9	35,0	36,7	35,6	35,0	35,6	35,6	31,1	31,7	32,2	32,2
MC	111	S	27,8	27,8	27,8	27,8	41,1	39,2	33,3	35,0	35,0	34,9	35,0	35,0	31,1	31,1	31,7	31,1
		M	27,8	27,8	27,8	27,8	40,6	38,9	34,4	35,0	35,7	35,0	35,0	35,0	31,2	31,7	32,2	31,7
		I	27,8	27,8	27,8	27,8	38,9	38,3	33,9	35,0	35,0	35,0	34,4	34,4	31,1	31,7	32,2	31,7
MC	112	S	27,8	28,3	28,3	27,8	32,2	31,7	31,1	31,8	34,3	33,3	33,3	33,3	31,1	31,1	31,1	31,1
		M	27,8	28,3	28,3	28,3	33,9	32,2	31,1	32,2	33,9	33,9	33,9	33,9	31,7	31,7	31,1	31,1
		I	28,3	28,3	28,3	28,3	33,3	32,2	33,3	31,7	33,3	33,3	33,3	32,8	31,7	31,1	31,1	31,1
MC	113	S	27,8	27,8	27,8	27,8	33,3	32,8	31,1	32,2	39,9	33,3	33,3	33,3	31,1	31,1	31,1	31,1
		M	27,8	27,8	27,8	27,8	33,9	33,9	32,2	32,8	33,3	33,3	32,8	33,5	30,6	31,1	31,1	31,1
		I	27,8	27,8	27,8	27,8	36,1	35,6	32,2	33,3	32,8	32,8	32,8	32,8	30,6	31,1	31,1	30,7
MC	114	S	27,8	28,3	28,3	28,3	31,7	30,6	30,6	30,6	32,8	33,3	32,8	33,9	30,6	31,1	31,1	30,6
		M	27,8	28,3	28,3	28,3	31,7	30,6	30,6	31,1	32,3	32,2	32,4	32,2	31,1	31,1	31,1	31,1
		I	27,8	28,3	28,3	27,8	32,2	32,2	31,1	31,1	31,7	31,7	31,7	31,7	30,6	30,6	30,6	30,6
MC	115	S	28,3	28,3	28,3	28,3	30,6	30,0	29,4	30,6	32,8	32,2	32,2	32,2	31,1	31,1	31,1	31,1
		M	28,3	28,3	28,3	28,3	30,6	30,0	30,0	30,6	32,8	32,2	32,2	32,8	31,1	31,1	31,1	31,1
		I	27,8	28,3	28,3	28,3	30,0	30,0	30,0	30,0	31,1	32,2	31,7	31,3	30,6	30,6	30,6	30,6
MC	116	S	28,3	28,3	27,8	28,3	30,6	30,6	30,0	30,6	32,9	32,8	32,2	32,8	30,6	31,1	31,1	31,1
		M	28,3	28,3	28,3	28,3	30,6	30,6	30,0	30,0	32,8	32,2	33,3	32,8	31,1	31,1	31,1	31,1
		I	28,3	27,8	27,8	27,8	33,3	32,8	30,6	31,7	32,8	32,2	32,8	32,8	30,6	31,1	30,6	30,6
MC	117	S	28,3	28,3	28,3	28,3	30,6	30,0	30,0	30,0	32,8	32,2	32,2	32,2	31,1	31,1	31,1	31,1
		M	28,3	28,3	28,3	28,3	30,6	30,0	30,0	30,0	32,2	32,2	32,2	32,2	30,6	31,1	31,1	31,1
		I	27,8	27,8	27,8	27,8	30,0	30,0	29,4	30,0	31,1	31,1	30,9	30,7	30,0	30,0	30,0	30,6

Tabla 1. VERANO. Temperaturas tomadas en la columnata referenciadas por fachada y zona.

LOCALIZACIÓN		8:00 HORAS				12:00 HORAS				16:00 HORAS				20:00 HORAS				
F	C	Z	E	Iz	I	D	E	Iz	I	D	E	Iz	I	D	E	Iz	I	D
MC	118	S	28,3	28,3	28,3	28,3	29,4	29,4	28,9	29,4	32,2	32,8	31,9	32,2	31,1	31,1	31,1	31,1
		M	28,3	28,3	28,3	28,3	30,0	29,4	29,4	30,0	32,8	31,1	32,8	32,2	31,1	31,1	31,1	31,1
		I	28,3	28,3	28,3	28,3	29,4	29,4	28,9	28,9	30,6	30,6	31,1	31,1	30,6	30,6	30,6	30,6
MC	119	S	28,3	28,3	28,3	28,3	30,0	29,6	29,4	30,6	32,8	31,8	31,8	32,2	30,9	31,1	31,1	31,1
		M	28,3	28,3	28,3	28,3	30,6	29,4	29,4	30,6	32,2	32,1	31,9	31,7	31,1	31,1	31,1	31,1
		I	28,3	28,3	28,3	28,3	29,4	29,4	28,9	29,4	30,6	30,9	30,0	31,7	30,0	30,6	30,6	31,1
MC	120	S	28,3	28,3	28,3	28,3	33,3	32,8	32,2	32,8	32,8	32,8	32,8	32,9	31,1	31,1	31,1	31,1
		M	28,3	28,3	28,3	28,3	32,8	32,2	32,2	32,8	32,2	32,2	32,8	32,8	31,1	31,1	31,1	31,1
		I	28,3	28,3	28,4	28,3	32,2	31,7	31,7	32,2	31,7	31,7	32,2	31,9	31,1	30,6	31,1	31,1
MC	121	S	28,3	28,3	28,3	28,4	33,9	32,8	32,2	33,3	33,3	32,9	32,8	33,9	31,1	31,1	31,1	31,1
		M	28,3	28,4	28,3	28,3	33,3	32,8	32,2	33,3	32,3	32,8	32,2	32,8	31,1	31,1	31,1	31,1
		I	28,3	28,3	28,3	28,3	32,2	32,2	31,7	32,2	32,1	32,2	32,2	31,7	30,6	31,1	30,6	30,6
MC	122	S	28,3	28,3	28,3	28,3	34,4	33,3	32,8	34,4	33,3	32,8	32,8	32,8	30,6	31,1	31,1	31,1
		M	28,4	28,3	28,3	28,3	34,4	33,3	32,8	33,9	32,8	33,3	32,2	32,9	31,1	31,1	31,7	31,1
		I	28,3	28,3	28,3	28,3	34,4	33,3	32,2	33,3	32,2	32,2	32,2	32,8	32,3	30,6	31,1	31,1
MC	123	S	28,3	28,3	28,3	28,3	40,0	38,7	34,2	35,0	33,9	34,3	33,4	33,3	31,1	31,1	31,4	31,7
		M	28,4	28,4	28,4	28,9	37,8	36,7	33,3	35,0	33,9	33,9	33,5	34,4	31,7	31,7	31,7	31,7
		I	28,9	28,9	28,9	28,9	39,2	38,4	35,0	36,7	34,4	33,3	33,3	34,4	31,7	31,7	31,7	31,7
MC	124	S	28,3	28,3	28,3	28,3	40,0	38,7	34,2	35,0	33,9	34,3	33,4	33,3	31,1	31,1	31,4	31,7
		M	28,4	28,4	28,4	28,9	37,8	36,7	33,3	35,0	33,9	33,9	33,5	34,4	31,7	31,7	31,7	31,7
		I	28,9	28,9	28,9	28,9	39,2	38,4	35,0	36,7	34,4	33,3	33,3	34,4	31,7	31,7	31,7	31,7

ESTUDIO DE ELEMENTOS ARQUITECTÓNICOS Y COMPOSICIÓN DE MATERIALES DEL PATIO DE LOS LEONES.
INTERACCIONES EN SUS CAUSAS DE DETERIORO

Tabla 2. INVIERNO. Temperaturas tomadas en la columnata referenciadas por fachada y zona.

LOCALIZACIÓN			8:00 HORAS				12:00 HORAS				16:00 HORAS				20:00 HORAS				
F	C	Z	E	Iz	I	D	E	Iz	I	D	E	Iz	I	D	E	Iz	I	D	
DH	1	S	-2,0	-2,0	-2,0	-2,0	3,0	2,4	3,0	3,5	3,5	3,5	3,5	3,5					
		M	-2,0	-2,0	-2,0	-2,0	0,2	0,2	1,3	1,3	3,5	3,0	3,0	3,0					
		I	-2,0	-2,0	-2,0	-2,0	-0,4	-0,4	0,2	0,2	1,8	1,8	1,8	1,8					
DH	2	S	-1,5	-2,0	-1,5	-2,0	2,0	1,8	2,4	2,4	3,5	3,0	3,5	3,5					
		M	-1,5	-1,5	-1,5	-1,5	0,7	0,7	1,3	1,3	3,5	3,5	3,5	3,5					
		I	-1,5	-2,0	-1,5	-2,0	0,2	0,7	1,3	0,7	2,4	2,4	2,4	1,8					
DH	3	S	-1,5	-1,5	-1,5	-1,5	3,5	2,4	3,0	4,1	3,5	3,5	4,1	4,1					
		M	-2,0	-0,9	-1,5	-1,5	1,8	1,3	2,4	1,8	3,5	3,5	3,5	3,5					
		I	-2,0	-1,5	-1,5	-2,0	0,2	0,8	1,8	1,3	2,4	2,4	2,4	2,4					
DH	4	S	-2,0	-2,0	-1,5	-1,5	4,6	4,1	4,1	5,2	4,1	4,1	4,1	4,1					
		M	-2,0	-2,0	-1,5	-1,5	1,3	1,3	2,4	3,0	3,5	3,5	3,5	3,5					
		I	-2,0	-1,5	-1,5	-2,0	0,2	0,2	1,8	1,3	2,4	2,4	3,0	2,4					
DH	5	S	-2,1	-1,5	-1,5	-2,0	9,1	5,7	6,3	9,1	4,6	5,0	5,7	5,2					
		M	-2,0	-1,5	-0,9	-1,5	4,1	3,5	4,1	5,7	4,1	4,6	4,6	4,6					
		I	-2,0	-1,5	-1,5	-2,0	0,7	1,3	3,0	2,4	3,0	3,0	3,5	3,0					
DH	6	S	-2,0	-2,0	-1,5	-2,0	15,2	6,8	6,3	10,7	5,7	6,3	6,3	6,3					
		M	-2,0	-1,5	-1,5	-1,5	10,2	4,6	5,2	7,4	5,7	5,7	5,7	5,7					
		I	-2,0	-2,0	-1,5	-2,0	1,3	1,8	3,0	2,5	3,5	3,5	4,1	4,1					
DH	7	S	-2,0	-2,0	-1,5	-2,0	14,6	5,7	6,3	13,5	6,8	7,4	7,4	7,4					
		M	-2,0	-1,5	-0,9	-2,0	11,8	4,1	5,5	10,7	6,8	6,8	7,4	4,6					
		I	-2,0	-1,5	-1,5	-1,5	0,7	1,8	3,5	1,3	4,6	4,6	5,7	4,6					
DH	8	S	-2,0	-1,5	-1,5	-1,5	17,0	6,8	6,3	9,6	8,0	8,0	8,5	8,0					
		M	-2,0	-1,5	-1,5	-1,5	13,5	6,3	6,8	10,2	8,0	8,0	8,5	8,5					
		I	-2,0	-1,5	-1,5	-1,5	1,3	1,8	3,5	2,4	5,2	5,7	5,7	5,7					
DH	9	S	-2,0	-1,5	-1,5	-2,0	13,5	5,7	6,3	9,1	9,1	9,1	9,1	9,6					
		M	-1,5	-1,5	-1,5	-1,5	8,5	4,1	4,6	7,4	8,0	8,0	9,1	8,5					
		I	-1,5	-1,5	-1,5	-2,0	0,7	1,8	3,5	2,4	5,7	6,3	6,8	6,3					
DH	10	S	-2,0	-1,5	-1,5	-1,5	14,1	5,7	6,8	13,0	11,3	11,3	11,8	11,8					
		M	-2,0	-1,5	-0,9	-1,5	10,7	4,1	5,7	10,3	10,2	11,3	11,8	11,3					
		I	-1,5	-1,5	-0,9	-1,5	2,4	2,4	5,2	3,5	8,0	8,5	9,1	9,1					
DH	11	S	-2,0	-1,5	-1,5	-1,5	16,3	8,0	7,4	11,1	11,3	12,4	12,4	12,4					
		M	-1,5	-1,5	-1,5	-1,5	11,3	5,9	5,7	7,7	11,3	11,8	12,4	11,8					
		I	-1,5	-1,5	-0,9	-1,5	2,4	2,4	5,2	4,1	8,5	9,1	9,6	9,6					
DH	12	S	-2,0	-1,5	-1,5	-1,5	17,4	5,7	6,3	11,9	13,0	12,4	13,5	13,5					
		M	-2,0	-1,5	-1,4	-1,5	13,5	5,2	6,3	12,7	12,4	12,4	13,5	13,0					
		I	-1,5	-1,5	-0,9	-1,5	4,5	3,1	6,3	6,1	11,3	11,3	11,3	11,3					

Tabla 2. INVIERNO. Temperaturas tomadas en la columnata referenciadas por fachada y zona.

LOCALIZACIÓN			8:00 HORAS				12:00 HORAS				16:00 HORAS				20:00 HORAS				
F	C	Z	E	Iz	I	D	E	Iz	I	D	E	Iz	I	D	E	Iz	I	D	
DH	13	S	-2,0	-1,5	-1,5	-2,0	16,1	7,2	6,8	9,1	13,0	13,5	14,1	14,1					
		M	-1,5	-1,5	-0,9	-1,5	13,0	6,3	6,8	8,7	13,0	13,0	14,1	13,7					
		I	-1,5	-1,5	-0,9	-1,5	4,1	3,0	5,7	5,2	10,7	10,7	11,3	11,3					
DH	14	S	-2,0	-2,0	-0,9	-1,5	14,1	5,7	8,5	9,6	14,1	15,2	15,2	15,2					
		M	-2,0	-1,5	-0,9	-0,9	10,2	4,6	7,4	7,4	12,4	13,0	13,8	13,0					
		I	-2,0	-0,9	-0,9	-1,5	8,0	3,1	7,0	5,2	11,8	12,4	12,4	11,8					
DH	15	S	-2,6	-2,0	-0,4	-1,5	15,7	5,7	7,4	11,7	14,6	14,6	15,2	15,7					
		M	-2,0	-1,5	-0,9	-1,7	14,1	4,6	6,8	11,8	14,6	15,0	14,6	14,6					
		I	-2,0	-1,5	-0,9	-1,5	6,3	3,5	5,7	9,1	12,4	12,4	12,4	12,4					
DH	16	S	-2,6	-1,5	-0,8	-1,5	15,2	6,8	7,4	8,0	15,7	16,3	15,2	14,6					
		M	-1,5	-1,5	-0,4	-0,9	11,3	5,7	6,8	6,8	14,1	15,7	14,6	14,1					
		I	-1,5	-0,9	-0,4	-0,9	7,4	3,0	5,2	6,3	11,8	13,5	11,8	12,4					
DH	17	S	-2,0	-1,5	-0,4	-1,5	12,3	4,1	6,3	9,9	16,8	17,4	15,7	15,2					
		M	-2,0	-1,5	-0,4	-1,5	8,0	3,0	4,6	6,3	14,1	14,1	14,1	14,1					
		I	-2,0	-1,5	-0,4	-1,5	9,6	3,0	5,2	6,8	11,3	13,0	12,4	12,4					
DH	18	S	-2,6	-1,5	-0,9	-1,5	21,3	4,6	6,3	9,1	16,8	18,0	15,2	14,6					
		M	-1,5	-1,5	-0,9	-1,5	9,5	3,6	5,2	5,7	15,2	16,3	15,2	14,6					
		I	-1,5	-1,5	-0,4	-1,5	8,0	4,6	6,3	5,7	12,4	14,1	12,4	11,8					
DH	19	S	-2,6	-1,5	-0,9	-1,5	11,8	4,6	5,2	6,3	18,0	17,0	15,7	15,2					
		M	-1,5	-1,5	-0,4	-1,5	9,6	3,5	4,6	4,6	14,6	15,2	15,0	13,5					
		I	-1,5	-1,5	-0,4	-1,5	6,5	2,4	5,2	3,6	10,7	11,3	11,8	11,1					
DH	20	S	-2,0	-1,5	-0,9	-1,5	8,1	2,5	4,1	6,3	18,0	19,1	16,3	16,3					
		M	-1,5	-1,5	-0,9	-1,5	5,7	1,8	3,5	4,6	15,2	15,7	15,2	15,2					
		I	-1,5	-1,5	-0,4	-1,5	2,4	0,7	3,0	1,8	9,6	11,3	11,8	11,3					
DH	21	S	-2,0	-1,5	-0,9	-1,5	12,4	3,0	3,5	3,0	17,4	20,2	16,3	14,6					
		M	-1,5	-1,5	-0,9	-1,5	8,0	2,4	3,5	2,4	6,8	18,0	15,7	14,6					
		I	-1,5	-1,5	-0,4	-1,3	1,8	0,7	3,5	0,7	10,7	11,8	11,8	10,7					
DH	22	S	-2,0	-2,0	-0,9	-1,4	-0,9	0,2	1,3	-0,9	20,7	21,3	16,3	15,7					
		M	-1,5	-1,4	-0,9	-0,9	-0,4	0,2	1,8	-0,9	16,3	17,7	15,2	15,2					
		I	-1,5	-1,5	-0,9	-1,4	-0,9	-0,3	1,3	-0,9	10,2	11,3	11,3	10,2					
DH	23	S	-2,0	-1,5	-0,9	-1,4	-0,9	-0,4	1,3	-0,4	20,2	24,1	15,2	14,6					
		M	-1,5	-0,9	-0,4	-1,0	-0,9	-0,4	0,7	-0,4	14,6	16,3	14,1	13,0					
		I	-1,5	-1,5	-0,8	-0,9	-0,9	-0,4	0,7	-0,9	9,1	10,2	10,2	9,1					
DH	24	S	-2,0	-1,5	-0,9	-0,9	-0,5	-0,4	0,2	-0,4	14,6	15,7	14,1	12,4					
		M	-1,5	-0,9	-0,9	-0,9	-0,4	0,7	0,7	0,2	11,3	12,4	11,3	10,2					
		I	-1,5	-1,5	-0,9	-0,9	-0,9	-0,4	0,2	-0,4	8,0	8,5	9,1	8,0					

ESTUDIO DE ELEMENTOS ARQUITECTÓNICOS Y COMPOSICIÓN DE MATERIALES DEL PATIO DE LOS LEONES.
INTERACCIONES EN SUS CAUSAS DE DETERIORO

Tabla 2. INVIERNO. Temperaturas tomadas en la columnata referenciadas por fachada y zona.

LOCALIZACIÓN			8:00 HORAS				12:00 HORAS				16:00 HORAS				20:00 HORAS			
F	C	Z	E	Iz	I	D	E	Iz	I	D	E	Iz	I	D	E	Iz	I	D
DH	25	S	-1,5	-0,9	-0,9	-0,9	-0,4	-0,4	0,2	-0,4	14,6	15,2	12,4	12,4				
		M	-0,9	-0,9	-0,9	-0,9	-0,1	-0,4	0,7	-0,4	8,0	9,1	10,2	8,5				
		I	-0,9	-1,5	-0,9	-0,9	-0,9	-0,4	0,2	-0,4	6,8	8,0	8,5	6,8				
DH	26	S	-1,5	-1,2	-0,9	-0,9	-0,4	-0,4	0,2	-0,4	13,5	15,2	11,3	10,2				
		M	-0,9	-0,9	-0,9	-0,9	0,2	-0,4	0,2	-0,4	6,8	8,0	8,5	6,8				
		I	-0,9	-0,9	-0,9	-1,2	-0,4	-0,9	-0,4	-0,4	5,7	6,8	6,8	6,3				
DH	27	S	-1,5	-1,5	-0,9	-0,9	0,2	0,2	0,7	0,7	11,8	13,0	10,2	9,6				
		M	-0,9	-0,9	-0,9	-0,9	0,7	1,3	1,3	1,3	6,3	6,8	6,8	6,3				
		I	-0,9	-0,9	-0,9	-0,9	-0,4	0,7	0,7	0,7	5,2	6,3	6,3	5,7				
DH	28	S	-0,9	-0,9	-0,9	-0,9	0,7	0,7	0,7	0,7	6,8	9,1	8,0	6,8				
		M	-0,9	-0,9	-0,8	-0,9	0,7	1,3	1,3	1,3	4,6	5,7	5,2	5,2				
		I	-0,9	-0,9	-0,9	-0,9	0,2	0,7	0,7	0,7	4,1	4,6	4,6	4,1				
DH	29	S	-0,9	-0,9	-0,9	-0,8	0,7	0,2	0,2	0,7	4,6	5,2	5,7	4,6				
		M	-0,9	-0,9	-0,4	-0,4	0,7	0,7	0,7	1,3	4,1	5,2	5,2	4,6				
		I	-0,9	-0,9	-0,4	-0,4	0,2	0,2	0,2	0,2	3,0	3,5	4,1	3,0				
DH	30	S	-0,4	-0,4	-0,4	-0,4	0,7	1,0	0,7	1,3	4,6	5,2	5,2	4,6				
		M	-0,4	-0,4	0,2	0,2	0,7	1,3	1,3	1,3	4,1	4,1	5,2	4,1				
		I	-0,4	-0,4	-0,4	-0,4	0,2	0,7	1,3	1,3	3,0	3,0	3,6	3,0				
DH	31	S	-0,4	-0,9	-0,4	-0,4	1,3	1,3	0,7	0,7	4,1	4,6	4,6	4,1				
		M	-0,4	-0,4	-0,4	-0,4	1,3	1,3	1,3	1,3	3,5	4,1	4,1	4,1				
		I	-0,4	-0,4	-0,4	-0,4	0,7	0,7	0,7	0,7	3,0	3,0	3,0	3,0				

Tabla 2. INVIERNO. Temperaturas tomadas en la columnata referenciadas por fachada y zona.

LOCALIZACIÓN			8:00 HORAS				12:00 HORAS				16:00 HORAS				20:00 HORAS			
F	C	Z	E	Iz	I	D	E	Iz	I	D	E	Iz	I	D	E	Iz	I	D
R	32	S	-1,0	-0,9	-0,8	-0,9	1,3	1,3	1,3	1,3	5,2	5,2	4,6	4,6				
		M	-0,4	-0,9	-0,4	-0,9	1,3	0,7	1,3	1,3	4,6	4,6	4,1	4,4				
		I	-0,7	-0,9	-0,9	-0,9	0,7	0,7	1,3	0,7	3,0	3,0	3,0	3,0				
R	33	S	-1,5	-0,9	-0,4	-0,9	0,7	1,3	0,7	0,7	4,6	5,2	4,6	4,6				
		M	-0,9	-0,9	0,2	-0,5	0,9	1,3	1,3	0,7	4,6	4,6	4,6	4,1				
		I	-0,9	-0,4	-0,3	-0,9	0,7	0,7	0,7	0,7	3,5	3,5	3,0	3,0				
R	34	S	-0,9	-0,4	-0,4	-0,4	0,7	1,8	1,3	1,3	4,6	5,2	4,6	4,6				
		M	-0,9	-0,4	-0,4	-0,4	1,8	1,3	1,3	1,3	4,6	4,6	4,1	4,6				
		I	-0,9	-0,4	-0,4	-0,4	0,7	0,7	0,7	0,7	3,5	3,5	3,0	3,0				
R	35	S	-1,5	-0,9	-0,4	-0,9	1,8	1,8	1,3	1,3	4,6	4,6	4,6	4,6				
		M	-0,9	-0,4	-0,4	-0,4	1,8	1,8	1,6	1,8	4,6	4,6	4,1	4,6				
		I	-0,9	-0,4	-0,4	-0,4	0,7	0,7	1,3	1,3	3,0	3,5	3,0	3,0				
R	36	S	-0,9	-0,8	-0,3	-0,4	1,3	1,8	1,3	1,8	4,6	4,7	4,6	4,6				
		M	-0,9	-0,4	-0,2	0,2	1,3	1,3	1,8	1,8	4,1	4,1	4,6	4,1				
		I	-0,9	-0,9	-0,4	-0,4	0,7	0,7	1,3	1,3	3,0	3,0	3,0	3,0				
R	37	S	-0,9	-0,4	-0,4	-0,4	1,8	1,8	1,3	1,8	4,6	4,6	4,6	4,6				
		M	-0,4	-0,4	0,2	-0,4	1,8	1,8	1,3	1,8	4,6	4,6	4,6	4,1				
		I	-0,4	-0,4	-0,3	-0,4	1,3	1,3	1,3	1,3	3,5	4,1	3,0	3,5				
R	38	S	0,2	-0,4	0,2	0,2	1,8	1,8	1,3	1,3	4,6	4,6	4,1	4,6				
		M	-0,4	0,2	0,2	0,2	1,8	1,8	1,8	1,8	4,6	4,6	4,1	4,6				
		I	-0,2	-0,4	0,2	0,2	1,3	1,3	1,3	1,3	4,1	4,1	3,0	3,5				
R	39	S	0,2	0,2	0,2	0,2	1,8	1,8	1,3	1,8	4,6	4,6	4,1	4,6				
		M	0,2	0,2	0,2	0,2	1,8	1,8	1,8	1,8	4,6	4,6	4,6	4,6				
		I	0,2	0,2	0,2	0,2	1,8	1,3	1,3	1,8	3,5	3,5	3,5	3,5				
R	40	S	-0,4	-0,4	-0,4	0,2	1,3	1,3	1,3	1,3	4,6	5,2	4,6	4,6				
		M	-0,4	-0,4	0,2	0,2	1,8	1,3	1,3	1,5	4,6	4,6	4,6	4,6				
		I	-0,4	-0,4	0,2	-0,3	1,3	1,3	1,3	1,3	3,5	4,1	3,5	3,5				
R	41	S	-0,4	-0,9	-0,4	-0,4	2,4	1,8	1,8	1,3	5,2	5,7	5,2	5,2				
		M	-0,4	-0,4	-0,4	-0,3	1,3	1,8	1,8	1,8	4,6	5,2	4,6	4,6				
		I	-0,4	-0,4	-0,4	-0,4	1,3	1,3	1,3	1,3	3,5	4,1	4,1	4,1				
R	42	S	-0,9	-1,2	-0,9	-0,4	1,8	1,8	1,3	1,3	5,7	5,7	5,2	5,2				
		M	-0,9	-0,4	-0,4	-0,4	1,8	1,8	1,8	1,8	4,6	5,2	5,2	5,2				
		I	-0,9	-0,9	-0,4	-0,4	1,3	1,3	1,3	1,3	4,1	4,1	4,1	4,1				
R	43	S	-0,9	-1,2	-0,4	-0,4	1,8	1,8	1,3	1,3	5,7	5,7	5,7	5,2				
		M	-0,4	-0,4	-0,4	-0,4	1,3	1,8	1,3	1,8	5,2	5,2	5,2	5,2				
		I	-0,4	-0,4	-0,4	-0,4	0,7	1,3	0,7	1,3	3,5	4,1	4,1	4,1				

ESTUDIO DE ELEMENTOS ARQUITECTÓNICOS Y COMPOSICIÓN DE MATERIALES DEL PATIO DE LOS LEONES.
INTERACCIONES EN SUS CAUSAS DE DETERIORO

Tabla 2. INVIERNO. Temperaturas tomadas en la columnata referenciadas por fachada y zona.

LOCALIZACIÓN			8:00 HORAS				12:00 HORAS				16:00 HORAS				20:00 HORAS				
F	C	Z	E	Iz	I	D	E	Iz	I	D	E	Iz	I	D	E	Iz	I	D	
R	44	S	-2,0	-1,5	-0,9	-0,9	1,3	1,8	1,3	1,3	4,6	5,7	5,7	5,2					
		M	-1,5	-0,9	-0,9	-0,9	1,3	1,8	1,3	1,3	4,6	5,2	5,2	4,6					
		I	-1,5	-0,9	-0,9	-0,9	0,7	1,3	0,7	0,7	3,5	4,1	4,1	3,5					
R	45	S	-1,5	-0,9	-0,4	-0,9	1,3	1,8	1,3	1,3	4,1	5,2	4,6	5,2					
		M	-0,9	-0,9	-0,4	-0,4	1,3	0,7	1,3	1,5	4,1	4,6	4,1	4,6					
		I	-1,5	-0,9	-0,4	-0,9	0,7	0,7	0,7	0,7	3,5	3,5	4,1	3,5					
R	46	S	-1,5	-1,5	-0,9	-1,5	1,3	1,8	1,3	1,8	4,6	5,2	5,2	5,2					
		M	-0,9	-0,9	-0,4	-0,4	1,3	1,3	1,3	1,8	4,1	4,6	4,6	4,6					
		I	-1,5	-0,9	-0,9	-0,9	0,7	0,7	0,7	0,7	4,1	4,1	4,1	3,5					
R	47	S	-1,5	-1,5	-0,9	-0,9	1,8	1,8	1,3	1,3	4,6	5,2	4,7	4,6					
		M	-0,9	-0,9	-0,4	-0,4	1,3	1,3	1,3	1,3	4,1	4,6	4,6	4,6					
		I	-1,5	-0,9	-0,9	-0,9	0,7	1,3	0,7	0,7	3,5	3,5	4,1	3,5					
R	48	S	-1,5	-0,9	-0,4	-0,9	1,3	1,3	0,7	1,3	4,1	4,6	4,6	4,6					
		M	-1,4	-0,9	-0,4	-0,9	0,7	1,3	1,3	0,7	4,1	4,6	4,1	4,1					
		I	-1,5	-0,9	-0,9	-0,9	0,7	0,7	0,7	0,7	3,0	3,5	3,5	3,5					
R	49	S	-2,0	-1,5	-0,9	-1,5	0,7	1,3	0,7	0,7	3,5	4,6	4,1	4,1					
		M	-1,5	-0,8	-0,9	-0,9	0,7	0,7	0,7	0,7	4,1	4,1	4,1	4,1					
		I	-1,5	-0,9	-0,9	-1,5	0,7	0,7	0,7	0,7	3,0	3,5	3,0	3,0					
R	50	S	-0,9	-0,9	-0,9	-0,9	1,3	1,3	1,3	1,3	4,1	4,6	4,1	4,1					
		M	-0,4	-0,4	-0,4	-0,9	1,3	1,3	1,3	1,3	4,1	4,1	4,1	4,1					
		I	-0,9	-0,9	-0,4	-0,8	0,7	0,7	0,7	0,7	3,0	3,5	3,0	3,0					
R	51	S	-0,9	-0,4	-0,9	-0,9	1,5	1,3	1,3	1,8	4,6	4,6	4,6	4,1					
		M	-0,9	-0,4	-0,4	-0,4	1,8	1,3	1,3	1,8	4,1	4,6	4,1	4,1					
		I	-0,9	-0,4	-0,4	-0,9	1,3	1,3	0,7	1,3	3,5	3,5	3,5	3,5					
R	52	S	-0,9	-0,4	-0,4	-0,9	1,3	1,3	1,3	1,3	4,6	4,6	4,6	4,1					
		M	-0,4	-0,4	-0,4	-0,4	1,8	1,8	1,3	1,8	4,1	4,6	4,1	4,1					
		I	-0,4	-0,4	-0,4	-0,4	1,3	1,3	1,3	1,3	3,5	3,6	3,5	4,1					
R	53	S	-0,9	-0,4	-0,4	-0,9	0,7	0,7	0,7	0,7	4,1	4,1	4,1	4,1					
		M	-0,9	-0,4	-0,4	-0,9	1,3	1,3	0,7	1,3	4,1	4,1	4,1	4,1					
		I	-0,9	-0,4	-0,4	-0,4	0,7	0,7	0,7	0,7	3,5	4,1	3,5	3,0					
R	54	S	-0,4	0,2	0,2	0,0	1,3	1,8	1,3	1,3	4,6	4,1	4,6	4,1					
		M	-0,4	0,2	0,2	0,2	1,8	1,8	1,8	1,8	4,6	3,0	4,1	4,1					
		I	-0,3	0,2	0,2	0,2	1,3	0,7	1,3	1,3	3,5	4,6	4,6	3,5					
R	55	S	0,2	0,2	0,2	0,2	1,3	1,3	0,7	1,3	4,1	4,6	4,6	4,6					
		M	0,2	0,2	0,2	0,2	1,6	1,3	1,3	1,8	4,1	3,5	3,5	3,5					
		I	0,2	0,2	0,2	-0,4	1,3	1,3	1,3	1,3	3,5	4,1	4,1	4,1					

Tabla 2. INVIERNO. Temperaturas tomadas en la columnata referenciadas por fachada y zona.

LOCALIZACIÓN			8:00 HORAS				12:00 HORAS				16:00 HORAS				20:00 HORAS			
F	C	Z	E	Iz	I	D	E	Iz	I	D	E	Iz	I	D	E	Iz	I	D
R	56	S	0,2	0,2	0,2	-0,4	1,3	1,3	0,7	0,7	4,1	4,1	3,5	3,5				
		M	0,2	0,2	0,2	-0,4	1,8	1,8	1,8	1,3	4,1	3,5	3,5	3,5				
		I	0,2	0,2	0,2	-0,4	1,3	1,3	0,7	0,7	3,5	3,5	3,5	3,5				
R	57	S	-0,4	-0,4	0,2	-0,9	1,3	0,7	0,7	0,7	4,1	3,5	3,5	3,5				
		M	-0,4	-0,3	0,2	-0,4	1,3	1,3	1,3	0,7	4,1	4,1	3,5	3,5				
		I	-0,4	-0,4	0,2	-0,4	1,3	0,7	0,7	0,7	3,0	3,0	3,0	3,0				
R	58	S	-0,9	-0,4	-0,4	-0,4	0,7	0,7	0,2	1,3	3,5	3,5	3,5	3,5				
		M	-0,4	-0,4	0,2	-0,4	1,3	0,7	1,3	1,3	3,5	3,5	3,5	3,5				
		I	-0,4	-0,4	-0,4	-0,9	0,7	0,2	0,2	0,7	3,0	3,0	2,4	2,4				
R	59	S	-0,9	-0,9	-0,9	-0,9	1,3	1,3	1,3	0,7	3,5	3,5	3,5	3,5				
		M	-0,9	-0,4	-0,4	-0,4	1,3	1,3	0,7	0,7	3,5	3,5	3,5	3,5				
		I	-0,9	-0,9	-0,4	-0,9	0,2	0,2	0,2	0,2	1,8	2,4	2,4	2,4				
R	60	S	-1,5	-0,9	-0,9	-0,9	0,2	0,7	0,7	0,7	3,0	3,5	3,5	3,5				
		M	-0,9	-0,9	-0,9	-0,4	1,3	0,7	0,7	0,7	3,5	3,5	3,5	3,5				
		I	-0,9	-0,9	-0,9	-0,9	0,2	0,2	0,2	0,7	2,4	2,4	2,4	2,4				
R	61	S	-1,5	-0,9	-0,9	-0,9	0,7	0,7	0,7	0,7	3,5	3,5	3,5	3,5				
		M	-0,9	-0,4	-0,4	-0,9	0,7	0,7	0,7	0,7	3,0	3,5	3,5	3,5				
		I	-0,9	0,2	-0,4	-0,4	0,2	0,2	0,2	0,2	2,4	2,4	2,4	2,4				
R	62	S	-1,5	-0,9	-0,9	-0,9	0,7	1,3	0,7	0,7	3,0	3,5	3,5	3,5				
		M	-0,9	-0,9	0,2	-0,4	1,3	0,7	0,7	0,7	3,0	3,5	3,0	3,5				
		I	-0,9	-0,9	-0,4	-0,4	0,7	0,2	0,2	0,2	2,4	2,4	2,4	2,4				
R	63	S	-0,9	-0,9	-0,9	-0,4	1,3	1,3	0,7	0,7	3,0	3,0	3,0	3,0				
		M	-0,9	-0,4	-0,4	-0,4	1,3	1,3	0,7	0,7	3,0	3,0	3,0	3,0				
		I	-0,9	-0,4	0,2	-0,9	0,2	0,2	0,7	0,7	1,8	2,4	2,4	2,4				

ESTUDIO DE ELEMENTOS ARQUITECTÓNICOS Y COMPOSICIÓN DE MATERIALES DEL PATIO DE LOS LEONES.
INTERACCIONES EN SUS CAUSAS DE DETERIORO

Tabla 2. INVIERNO. Temperaturas tomadas en la columnata referenciadas por fachada y zona.

LOCALIZACIÓN			8:00 HORAS				12:00 HORAS				16:00 HORAS				20:00 HORAS			
F	C	Z	E	Iz	I	D	E	Iz	I	D	E	Iz	I	D	E	Iz	I	D
AB	64	S	-0,9	-0,9	-0,9	-0,9	0,7	0,7	0,7	0,7	3,0	3,0	3,0	3,0				
		M	-0,4	-0,4	-0,4	-0,9	0,7	0,7	0,7	0,7	3,0	3,0	3,0	3,0				
		I	-0,9	-0,4	-0,4	-0,9	0,7	0,2	0,2	0,2	2,1	2,4	2,4	1,8				
AB	65	S	-0,4	-0,4	-0,4	-0,4	0,7	0,7	0,7	0,7	3,5	3,0	3,0	3,5				
		M	-0,4	-0,4	-0,4	-0,4	0,7	0,7	0,7	0,7	3,0	3,0	3,0	3,0				
		I	-0,4	-0,4	-0,4	-0,4	0,7	0,7	0,7	0,7	2,4	2,4	3,0	2,4				
AB	66	S	-1,5	-0,9	-0,9	-1,5	0,7	0,7	0,7	0,7	3,0	3,0	3,0	3,0				
		M	-0,9	-0,9	-0,4	-0,9	0,7	0,7	0,7	0,7	3,0	3,0	3,0	3,0				
		I	-1,5	-0,8	-0,4	-0,9	0,7	0,2	0,2	0,7	1,6	2,4	2,4	1,8				
AB	67	S	-1,5	-1,5	-0,9	-1,5	0,7	0,7	1,3	0,7	3,5	3,0	3,5	3,0				
		M	-0,9	-0,9	-0,9	-1,5	0,7	0,7	0,8	0,7	3,5	3,5	3,5	3,0				
		I	-1,5	-1,5	-0,9	-1,5	0,2	0,2	0,2	0,2	1,8	1,8	2,4	1,8				
AB	68	S	-1,5	-1,5	-1,5	-1,5	1,3	0,7	0,7	1,3	3,5	3,0	3,5	3,5				
		M	-1,5	-1,5	-0,9	-1,5	0,7	0,7	0,8	1,3	3,0	3,5	3,5	3,0				
		I	-1,5	-0,9	-0,9	-1,5	0,2	0,7	0,2	0,7	2,4	2,4	2,4	2,4				
AB	69	S	-1,5	-1,5	-0,9	-1,5	1,3	0,7	0,7	0,7	3,0	3,0	3,5	3,0				
		M	-1,5	-0,9	-0,9	-1,5	0,7	0,7	0,8	0,7	3,0	3,0	3,5	3,0				
		I	-1,5	-0,9	-0,9	-1,5	0,2	0,2	0,2	0,2	1,8	2,4	2,4	2,4				
AB	70	S	-1,9	-1,5	-1,5	-1,5	1,3	0,7	0,7	0,7	3,0	3,5	3,0	3,0				
		M	-1,5	-0,9	-0,9	-1,5	0,7	0,7	0,7	0,7	3,0	3,0	3,0	3,0				
		I	-1,5	-1,5	-0,9	-1,5	0,2	0,2	0,2	0,2	1,8	2,4	2,4	2,4				
AB	71	S	-2,3	-1,5	-1,5	-1,5	0,7	0,2	0,2	0,2	3,0	3,0	3,5	3,0				
		M	-1,5	-1,5	-1,5	-1,5	0,7	0,7	0,7	0,7	3,0	3,0	3,0	3,0				
		I	-1,5	-1,5	-1,5	-1,5	0,2	0,2	0,2	0,2	1,8	1,8	2,4	1,8				
AB	72	S	-2,6	-1,5	-1,5	-2,0	0,2	0,2	0,2	0,2	3,0	3,5	3,5	3,5				
		M	-1,5	-1,5	-1,5	-1,5	0,7	0,7	0,8	0,2	3,0	3,5	3,5	3,0				
		I	-2,0	-1,5	-1,5	-1,5	0,2	0,2	0,2	0,2	1,8	2,4	2,4	1,8				
AB	73	S	-2,0	-1,5	-1,5	-2,0	1,3	0,7	0,2	0,7	3,0	3,5	3,5	3,0				
		M	-1,5	-1,5	-1,5	-1,5	0,7	0,2	0,2	0,7	3,0	3,0	3,0	3,0				
		I	-2,0	-1,5	-1,5	-1,5	0,2	0,2	0,2	0,2	2,4	2,4	2,4	1,8				
AB	74	S	-2,6	-1,5	-1,5	-1,5	1,3	0,2	0,2	0,2	3,0	3,5	3,5	3,5				
		M	-1,5	-1,5	-1,5	-1,5	0,7	0,7	0,7	0,7	3,0	3,0	3,5	3,5				
		I	-2,0	-1,5	-1,5	-1,5	0,2	0,2	0,2	0,2	1,8	2,4	2,4	2,4				
AB	75	S	-2,0	-1,5	-2,0	-2,0	1,3	0,7	0,2	0,7	3,5	3,5	3,5	3,5				
		M	-1,5	-1,5	-1,5	-1,5	1,3	0,2	0,2	0,7	3,5	3,0	3,0	3,5				
		I	-2,0	-1,5	-1,5	-1,5	0,7	0,2	0,2	0,2	1,8	2,4	2,4	2,4				

Tabla 2. INVIERNO. Temperaturas tomadas en la columnata referenciadas por fachada y zona.

LOCALIZACIÓN			8:00 HORAS				12:00 HORAS				16:00 HORAS				20:00 HORAS				
F	C	Z	E	Iz	I	D	E	Iz	I	D	E	Iz	I	D	E	Iz	I	D	
AB	76	S	-2,6	-2,0	-2,0	-2,0	0,7	0,2	0,2	0,7	2,4	3,0	3,5	3,5					
		M	-1,5	-1,5	-1,5	-1,5	0,7	0,7	0,7	0,7	2,4	3,1	3,5	3,5					
		I	-2,0	-1,5	-1,5	-1,5	0,2	0,2	0,2	0,2	1,8	2,4	2,4	2,4					
AB	77	S	-2,6	-1,5	-1,5	-1,5	1,3	0,2	0,7	0,7	3,0	3,5	4,1	3,5					
		M	-1,5	-1,5	-1,5	-1,5	0,8	0,7	1,3	0,2	3,0	3,5	3,5	3,5					
		I	-2,0	-1,5	-1,5	-1,5	0,2	0,2	0,2	0,2	1,8	2,4	2,4	2,4					
AB	78	S	-2,6	-1,5	-1,5	-1,5	0,7	0,7	0,8	0,7	2,4	3,5	3,5	3,5					
		M	-1,5	-1,5	-1,5	-1,5	1,3	0,5	1,3	1,3	3,5	3,0	3,5	3,5					
		I	-2,6	-1,5	-1,5	-1,5	0,2	0,2	0,2	0,2	2,4	2,4	2,4	2,4					
AB	79	S	-2,6	-2,0	-2,0	-2,0	1,3	0,2	1,3	0,2	3,0	3,5	4,1	3,5					
		M	-2,0	-1,5	-0,9	-1,5	0,6	0,7	1,3	0,2	3,0	3,0	3,5	3,0					
		I	-2,0	-1,5	-1,5	-1,5	-0,4	0,2	0,2	0,2	1,8	2,4	2,4	1,8					
AB	80	S	-2,6	-1,5	-2,0	-2,0	0,7	0,7	1,3	0,7	3,0	3,5	3,5	3,0					
		M	-2,0	-2,0	-0,9	-1,5	0,7	0,7	1,3	0,2	3,0	3,0	3,5	3,0					
		I	-2,0	-1,5	-0,9	-1,5	0,2	-0,4	0,2	-0,4	1,3	1,8	1,8	1,8					
AB	81	S	-2,8	-2,0	-2,0	-2,0	0,2	0,2	1,3	0,2	2,4	3,0	3,5	3,0					
		M	-1,5	-1,5	-0,9	-1,5	0,2	0,3	0,7	0,2	3,0	3,0	3,5	3,0					
		I	-2,0	-1,5	-1,5	-2,0	-0,4	-0,9	0,2	-0,3	1,8	1,8	2,4	1,8					
AB	82	S	-2,8	-2,0	-1,5	-1,5	0,2	0,2	0,7	0,2	3,0	3,0	3,5	3,0					
		M	-1,5	-1,5	-0,9	-1,5	0,7	0,2	1,3	0,2	3,0	3,0	3,5	3,0					
		I	-2,0	-2,0	-1,5	-1,5	-0,4	-0,4	0,2	-0,4	1,8	1,3	2,4	1,8					
AB	83	S	-2,6	-1,5	-1,5	-2,0	0,2	0,2	0,7	0,2	2,4	3,5	3,5	3,0					
		M	-1,5	-1,5	-0,9	-1,5	0,7	0,2	1,3	0,7	3,0	3,0	3,5	3,0					
		I	-2,0	-1,5	-1,5	-2,0	-0,4	-0,4	0,2	-0,4	1,8	1,8	1,8	1,8					
AB	84	S	-2,0	-2,0	-1,5	-2,0	0,7	0,2	0,7	0,2	2,4	3,0	3,5	3,0					
		M	-2,0	-2,0	-0,9	-1,5	0,7	0,7	0,7	0,2	3,0	3,0	3,5	3,0					
		I	-2,0	-2,0	-0,9	-2,0	-0,4	-0,4	0,2	-0,4	1,8	1,8	2,0	1,8					
AB	85	S	-2,0	-2,0	-0,9	-2,0	0,7	0,2	0,7	0,2	3,0	3,0	3,5	3,0					
		M	-2,0	-1,5	-0,9	-0,9	0,7	0,2	0,7	0,2	3,0	3,0	3,5	3,0					
		I	-2,0	-2,0	-0,9	-1,5	-0,4	-0,4	0,2	-0,4	1,3	1,8	1,8	2,4					
AB	86	S	-2,0	-2,0	-1,5	-2,0	0,2	0,2	0,2	0,2	2,4	3,0	3,5	3,0					
		M	-2,0	-1,5	-0,9	-0,9	0,2	0,2	0,7	0,2	2,4	3,0	3,5	3,0					
		I	-2,0	-2,0	-0,9	-0,7	-0,4	-0,4	0,2	0,2	1,8	1,8	1,8	2,4					
AB	87	S	-2,0	-2,0	-0,9	-1,5	0,2	0,2	0,2	0,2	3,0	3,0	3,5	3,0					
		M	-1,5	-0,9	-0,9	-0,9	0,7	0,7	0,7	0,2	3,0	3,0	3,5	3,0					
		I	-1,5	-1,5	-0,9	-0,9	0,2	-0,4	0,2	0,2	1,8	1,8	1,8	2,4					

ESTUDIO DE ELEMENTOS ARQUITECTÓNICOS Y COMPOSICIÓN DE MATERIALES DEL PATIO DE LOS LEONES.
INTERACCIONES EN SUS CAUSAS DE DETERIORO

Tabla 2. INVIERNO. Temperaturas tomadas en la columnata referenciadas por fachada y zona.

LOCALIZACIÓN			8:00 HORAS				12:00 HORAS				16:00 HORAS				20:00 HORAS			
F	C	Z	E	Iz	I	D	E	Iz	I	D	E	Iz	I	D	E	Iz	I	D
AB	88	S	-2,0	-0,9	-0,9	-0,9	0,2	-6,8	0,7	0,2	3,0	3,0	3,0	3,0				
		M	-0,9	-0,9	-0,9	-0,9	0,8	0,7	0,7	0,2	3,0	3,0	3,0	3,3				
		I	-0,9	-0,9	-0,9	-0,9	0,2	0,2	0,2	0,2	1,8	1,8	1,8	2,0				
AB	89	S	-2,0	-2,0	-0,9	-0,9	0,7	0,2	0,7	0,2	2,4	3,0	3,5	3,0				
		M	-0,9	-0,9	-0,9	-0,9	0,7	1,3	1,3	0,7	3,0	3,5	3,5	3,5				
		I	-0,9	-0,9	-0,9	-0,9	0,2	0,2	0,2	0,3	1,8	1,8	2,4	1,8				
AB	90	S	-1,5	-0,9	-0,9	-0,9	0,7	0,7	0,7	0,2	3,0	3,0	3,5	3,0				
		M	-0,9	-0,9	-0,4	-0,7	0,7	1,3	1,3	1,3	3,0	3,0	3,5	3,0				
		I	-0,9	-0,9	-0,9	-0,8	0,2	0,2	0,7	0,2	1,8	1,8	2,4	2,4				
AB	91	S	-0,9	-0,9	-0,9	-0,9	0,2	0,2	0,2	0,2	3,0	3,0	3,0	3,0				
		M	-0,9	-0,9	-0,9	-0,9	0,7	0,7	0,7	0,2	3,0	3,0	3,5	3,0				
		I	-0,9	-0,9	-0,9	-0,4	0,2	0,2	0,2	0,2	1,8	1,8	1,8	1,8				
AB	92	S	-0,4	-0,4	-0,4	-0,4	0,7	0,7	1,3	1,3	3,0	3,5	3,0	3,0				
		M	-0,4	-0,4	-0,4	-0,4	1,3	1,3	1,3	1,3	3,1	3,5	3,5	3,5				
		I	-0,4	-0,4	-0,4	-0,4	0,2	0,7	1,3	0,7	2,4	2,4	2,4	2,4				
AB	93	S	-0,4	-0,4	-0,4	-0,4	1,3	0,7	1,0	1,3	3,5	3,0	3,5	3,5				
		M	-0,4	-0,4	-0,4	-0,4	1,3	1,3	1,3	1,8	3,5	3,5	3,5	3,5				
		I	-0,4	-0,4	-0,4	-0,4	1,3	0,7	1,3	1,3	2,4	2,4	2,4	2,4				

Tabla 2. INVIERNO. Temperaturas tomadas en la columnata referenciadas por fachada y zona.

LOCALIZACIÓN		8:00 HORAS				12:00 HORAS				16:00 HORAS				20:00 HORAS					
F	C	Z	E	Iz	I	D	E	Iz	I	D	E	Iz	I	D	E	Iz	I	D	
MC	94	S	-0,9	-1,5	-0,4	-0,9	1,3	1,3	0,7	0,7	3,5	3,0	3,5	3,5					
		M	-0,4	-0,9	-0,4	-0,4	1,3	1,3	1,3	1,8	3,5	3,5	3,5	3,5					
		I	-0,4	-0,9	-0,4	-0,4	0,7	0,2	0,2	0,7	2,4	2,4	2,4	2,4					
MC	95	S	-1,5	-0,9	-0,4	-0,4	1,3	1,3	0,7	1,3	3,0	3,5	3,5	3,5					
		M	-0,9	-0,4	-0,4	-0,4	1,3	1,3	1,3	1,8	3,5	3,5	3,5	3,5					
		I	-1,5	-0,4	-0,4	-0,4	0,2	0,7	1,3	1,3	2,4	2,4	2,4	2,4					
MC	96	S	-1,5	-0,9	-0,4	-0,4	1,3	1,3	1,3	1,8	4,2	3,5	3,5	3,5					
		M	-0,9	-0,4	-0,4	-0,4	1,3	1,3	1,3	1,8	3,5	3,5	3,5	3,5					
		I	-0,9	-0,4	-0,4	-0,4	1,3	0,7	0,9	1,3	1,8	2,4	2,4	2,4	2,4				
MC	97	S	-1,5	-0,9	-0,4	-0,4	1,3	1,3	1,3	1,3	3,0	3,5	3,5	3,5					
		M	-0,9	-0,4	-0,4	-0,4	1,3	1,3	1,3	1,3	3,5	3,5	3,5	3,5					
		I	-0,9	-0,4	-0,4	-0,4	0,7	0,7	1,3	0,8	2,4	2,4	2,4	2,4					
MC	98	S	-0,9	-0,9	-0,4	-0,4	1,3	1,3	1,3	1,8	3,5	3,5	3,5	3,5					
		M	-0,4	-0,4	-0,4	-0,4	1,3	1,3	1,8	1,8	3,5	3,5	3,5	3,5					
		I	-0,9	-0,8	-0,4	-0,4	1,3	0,8	1,3	1,3	2,4	2,4	2,4	2,4					
MC	99	S	-0,9	-0,4	-0,4	-0,4	1,3	1,3	1,3	1,3	3,5	3,5	3,5	3,5					
		M	-0,9	-0,4	-0,4	-0,4	1,8	1,8	1,8	1,3	3,5	3,5	3,5	3,5					
		I	-0,4	-0,4	-0,4	-0,4	1,3	0,8	1,3	1,3	2,4	2,4	2,4	2,4					
MC	100	S	-0,4	-0,4	-0,4	-0,4	1,8	1,8	1,3	1,8	3,5	3,5	3,5	3,5					
		M	-0,4	-0,4	-0,4	-0,4	1,8	1,8	1,8	1,8	3,5	3,5	3,5	3,5					
		I	-0,4	-0,4	-0,4	-0,4	1,3	1,3	1,3	1,8	2,4	2,4	3,0	3,0					
MC	101	S	-0,4	-0,4	-0,4	-0,4	1,8	1,8	1,8	2,4	3,5	3,5	3,5	3,5					
		M	-0,4	-0,4	-0,4	-0,4	2,4	1,8	2,4	2,4	3,5	3,5	3,5	3,5					
		I	-0,4	-0,4	-0,4	-0,4	1,8	1,3	1,8	1,8	3,0	2,7	3,0	3,0					
MC	102	S	-0,9	-0,9	-0,4	-0,4	1,8	1,8	1,3	1,8	3,0	3,5	3,5	3,5					
		M	-0,4	-0,4	-0,4	-0,4	1,8	1,8	1,8	2,4	3,5	3,5	3,5	3,5					
		I	-0,4	-0,4	-0,4	-0,4	1,3	1,3	1,3	1,3	2,4	2,4	2,4	2,4					
MC	103	S	-0,9	-1,5	-0,9	-0,4	2,4	1,8	1,8	2,4	3,5	3,5	3,5	3,5					
		M	-0,9	-0,9	-0,9	-0,4	1,8	1,8	1,8	2,4	3,5	3,5	3,5	3,5					
		I	-0,9	-0,9	-0,9	-0,9	1,3	1,3	1,3	1,8	2,4	2,4	2,4	3,0					
MC	104	S	-0,9	-0,9	-0,9	-0,9	1,8	1,8	1,8	2,4	3,5	3,5	3,5	3,5					
		M	-0,9	-0,9	-0,9	-0,4	1,8	1,3	1,8	1,8	3,0	3,5	3,5	3,5					
		I	-0,9	-0,9	-0,9	-0,9	1,3	1,3	1,3	1,8	2,4	2,4	2,4	2,4					
MC	105	S	-1,3	-1,5	-0,9	-0,9	1,3	1,3	1,8	1,8	3,5	3,5	3,5	3,5					
		M	-0,9	-0,9	-0,9	-0,9	1,3	1,8	1,8	1,8	3,0	3,0	3,5	3,5					
		I	-1,5	-1,5	-0,9	-0,9	0,7	0,7	0,7	1,3	1,8	1,8	2,4	2,4					

ESTUDIO DE ELEMENTOS ARQUITECTÓNICOS Y COMPOSICIÓN DE MATERIALES DEL PATIO DE LOS LEONES.
INTERACCIONES EN SUS CAUSAS DE DETERIORO

Tabla 2. INVIERNO. Temperaturas tomadas en la columnata referenciadas por fachada y zona.

LOCALIZACIÓN		8:00 HORAS				12:00 HORAS				16:00 HORAS				20:00 HORAS					
F	C	Z	E	Iz	I	D	E	Iz	I	D	E	Iz	I	D	E	Iz	I	D	
MC	106	S	-2,0	-1,5	-1,5	-1,5	-6,7	1,8	1,3	1,8	3,0	3,0	3,5	3,5					
		M	-1,5	-1,5	-0,9	-0,9	1,8	1,8	1,8	1,8	3,0	3,0	3,5	3,5					
		I	-1,5	-1,5	-1,4	-0,9	0,7	0,7	1,3	1,3	1,8	1,8	2,4	2,4					
MC	107	S	-1,5	-1,5	-0,9	-1,5	1,8	1,8	1,8	2,4	3,5	3,5	3,5	3,5					
		M	-1,5	-0,9	-0,9	-0,9	1,8	1,3	1,8	2,4	3,0	3,5	3,5	3,5					
		I	-1,5	-1,5	-0,9	-1,5	1,3	0,7	1,3	0,7	1,8	2,4	2,4	2,4					
MC	108	S	-2,0	-1,5	-0,9	-1,5	2,4	2,4	2,4	3,0	3,0	3,5	3,5	4,1					
		M	-1,5	-0,9	-0,9	-0,9	2,5	2,4	2,4	3,0	3,0	3,5	3,6	3,5					
		I	-1,5	-1,5	-0,9	-0,9	1,8	1,8	-7,2	2,4	1,8	3,0	3,0	2,4					
MC	109	S	-1,5	-1,5	-0,9	-0,9	3,0	2,5	3,0	3,5	3,0	3,5	4,1	4,1					
		M	-1,5	-0,9	-0,9	-0,9	2,6	1,8	2,4	3,0	3,0	3,5	3,7	3,5					
		I	-1,5	-0,9	-0,9	-1,5	1,9	1,8	1,8	2,4	2,4	3,0	3,0	3,0					
MC	110	S	-1,5	-1,4	-0,9	-0,9	3,0	1,8	1,8	2,4	3,0	3,5	4,1	4,1					
		M	-1,5	-0,9	-0,9	-0,9	3,0	1,8	1,8	1,8	3,5	3,5	4,1	4,1					
		I	-1,5	-1,5	-0,9	-0,9	1,8	1,3	1,3	1,8	2,4	2,4	3,0	3,0					
MC	111	S	-2,0	-1,5	-0,9	-1,5	3,0	3,0	3,0	4,1	3,5	4,1	4,2	3,5					
		M	-0,9	-0,9	-0,9	-0,9	3,0	1,8	2,5	3,5	3,5	3,5	3,5	3,7					
		I	-1,5	-1,4	-0,9	-1,2	1,8	1,8	-6,7	2,4	3,0	3,0	3,0	3,0					
MC	112	S	-0,9	-0,9	-0,9	-0,9	3,5	2,4	3,0	3,5	3,5	4,1	4,1	3,5					
		M	-0,9	-0,9	-0,4	-0,9	3,0	1,8	3,0	3,5	3,5	3,5	3,5	3,5					
		I	-1,5	-0,9	-0,9	-0,9	-6,7	1,8	1,8	1,8	2,4	2,5	3,0	3,0					
MC	113	S	-0,9	-0,9	-0,4	-0,9	3,5	3,0	3,0	4,1	3,5	4,1	4,6	4,6					
		M	-0,9	-0,8	-0,4	-0,4	3,0	2,4	2,4	3,0	3,5	3,8	3,5	3,5					
		I	-0,9	-0,9	-0,4	-0,4	1,8	1,8	1,8	1,8	2,4	3,1	3,0	3,0					
MC	114	S	-0,4	-0,4	-0,4	-0,4	3,0	3,0	3,0	4,6	4,1	4,1	4,1	4,1					
		M	-0,4	-0,4	-0,4	-0,4	1,8	2,4	2,4	3,0	3,5	3,7	4,1	3,5					
		I	-0,9	-0,4	-0,4	-0,4	1,8	1,8	1,8	1,8	2,4	3,5	3,0	3,5					
MC	115	S	-0,4	-0,4	-0,4	-0,4	3,0	2,4	1,8	3,0	4,1	3,5	3,8	3,5					
		M	-0,4	-0,4	-0,4	-0,4	3,0	1,8	1,8	3,0	3,5	3,5	3,5	3,5					
		I	-0,4	-0,4	-0,4	-0,4	1,8	1,8	1,8	1,8	3,0	3,0	3,0	3,0					
MC	116	S	-0,4	-0,4	0,2	-0,4	2,4	1,8	1,8	2,4	3,5	3,5	3,5	4,1					
		M	-0,4	-0,4	0,2	-0,1	2,4	2,5	3,0	3,0	3,5	3,5	4,1	4,1					
		I	-0,4	-0,4	0,2	0,2	1,8	1,8	1,8	2,4	2,4	2,4	3,5	3,5					
MC	117	S	-0,4	-0,4	0,2	0,2	2,4	2,5	2,4	3,0	3,6	3,6	3,6	3,6					
		M	-0,4	0,2	0,2	0,2	3,0	3,0	3,0	3,0	3,5	3,5	3,5	3,5					
		I	-0,4	-0,4	0,2	0,2	1,8	1,8	1,8	1,8	3,0	3,0	3,0	3,0					

Tabla 2. INVIERNO. Temperaturas tomadas en la columnata referenciadas por fachada y zona.

LOCALIZACIÓN		8:00 HORAS				12:00 HORAS				16:00 HORAS				20:00 HORAS				
F	C	Z	E	Iz	I	D	E	Iz	I	D	E	Iz	I	D	E	Iz	I	D
MC	118	S	-0,4	-0,3	0,2	-0,4	2,4	1,8	1,8	1,8	3,5	3,5	3,5	3,5				
		M	-0,4	0,2	0,2	0,2	3,0	3,0	1,8	1,8	3,5	3,5	3,6	3,5				
		I	0,2	-0,4	0,2	0,2	1,8	1,8	1,8	1,3	3,0	3,0	3,0	3,0				
MC	119	S	0,2	0,2	0,2	0,2	3,0	1,8	1,8	3,0	3,5	3,5	3,5	3,5				
		M	0,2	0,2	0,2	0,2	3,0	2,4	2,6	3,0	3,5	3,5	3,5	3,5				
		I	0,2	0,2	0,2	0,2	1,8	1,8	1,8	1,8	3,0	3,0	3,0	3,0				
MC	120	S	-0,4	0,2	0,2	0,2	3,0	2,4	2,4	3,0	4,1	3,5	4,1	4,1				
		M	0,2	0,2	0,2	0,2	3,0	2,4	3,0	3,0	3,5	3,5	4,1	4,1				
		I	0,2	0,2	0,2	0,2	1,8	1,8	1,8	1,8	3,0	3,0	3,0	3,0				
MC	121	S	-0,9	-0,4	-0,3	-0,4	3,0	2,4	3,0	3,0	3,0	3,5	3,5	4,1	4,1			
		M	-0,4	-0,3	0,2	-0,4	3,0	3,0	3,0	3,0	3,5	3,5	4,1	3,5				
		I	-0,4	-0,3	-0,1	-0,4	1,8	1,8	1,8	1,8	2,4	3,0	3,0	3,0				
MC	122	S	-0,9	-0,4	-0,4	-0,4	3,5	3,0	3,0	3,5	3,5	4,1	4,1	4,1				
		M	-0,4	-0,4	-0,4	-0,4	3,5	3,0	3,0	3,5	3,5	4,1	4,1	4,1				
		I	-0,9	-0,4	-0,4	-0,4	1,8	1,8	2,4	2,4	3,0	3,0	3,0	3,0				
MC	123	S	-0,9	-0,4	-0,4	-0,4	3,5	3,0	3,0	3,5	4,1	4,1	4,1	4,1				
		M	-0,4	-0,4	-0,4	-0,4	3,5	3,0	3,1	3,5	3,5	3,5	4,1	4,1				
		I	-0,4	-0,4	-0,4	-0,4	2,4	1,8	2,4	3,0	3,0	3,0	3,0	3,0				
MC	124	S	-0,8	-0,4	-0,4	-0,4	3,5	3,5	3,5	3,5	4,1	4,1	3,5	4,1				
		M	-0,4	-0,4	-0,4	-0,4	3,5	3,5	3,5	3,5	4,1	4,1	4,1	4,1				
		I	-0,4	-0,4	-0,4	-0,4	3,0	2,7	3,0	3,0	3,0	3,0	3,5	3,0				

ANEXO 2

Leyenda de Tabla 1

Localización de la columnata en el Patio de los Leones

DH: Fachada Sala de Dos Hermanas

R: Fachada Sala de los Reyes

Ab: Fachada Sala de Abencerrajes

Mc: Fachada Sala de Mocárabes

Localización del deterioro en la columnata

TS: tercio superior

TM: tercio medio

TI: tercio inferior

Int: cara interior

D: cara derecha

Ext: cara exterior

Izq: cara izquierda

Patología: descamación

T1 a T7 estadios de descamación

ESTUDIO DE ELEMENTOS ARQUITECTÓNICOS Y COMPOSICIÓN DE MATERIALES DEL PATIO DE LOS LEONES.
INTERACCIONES EN SUS CAUSAS DE DETERIORO

Tabla 1. Descripción del estado de la columnata.

Zona	Columna	Estadio descamación	Descripción deterioro columnata
DH	1	T1	Pátina de pintura: manchas rojas-negras TIint-izq.
DH	2	T1	Pátina de pintura: manchas rojas-negras TId. Picado mecánico TMint-izq.
DH	3	T1	Pátina de pintura: manchas rojas-negras TIint-izq-d. Picado mec. TMint-izq. Fragmentación En TSe.
DH	4	T1	Pátina de pintura: manchas rojas-negras TIint. Picado mec. TMint-izq.
DH	5	T1	Pátina de pintura: manchas rojas-negras TIint. Picado mec. TMint-izq.
DH	6	T1	Picado mec. TMint-izq.
DH	7	T3	Pátina de pintura: manchas rojas-negras TIint. Descamación en TS, TM y Tltext y d. Microfisuración y fisuración coincidente con veteado.
DH	8	T5	Descamación extensiva en fuste completo int., izq. y ext. Zona anillos superior muy deteriorada, microfisuración. Fisuras y fracturas coincidentes con la foliación. Abultamientos.
DH	9	T1	Pátina de pintura: manchas rojas-negras TId-int. Picado mec. TMD-int. Basa muy deteriorada.
DH	10	T5	Pátina de pintura: manchas rojas-negras TIizq. Picado mec. TMizq-int. Descamación en fuste completo en ext. Zona de anillos superior con microfisuración y abultamientos Basa muy deteriorada.
DH	11	T4	Pátina de pintura: manchas rojas-negras TId-izq. Picado mec. TMint. Descamación en fuste completo en ext. Zona de anillos superior con microfisuración y abultamientos. Basa muy deteriorada con pérdida de material.
DH	12	T6	Pátina de pintura: manchas rojas-negras TId. Descamación en fuste completo en todas las caras. Zona de anillos superior con microfisuración y abultamientos. Fisuraciones y fracturación en Tltext con pérdida de material en TIint-izq. Basa muy deteriorada con pérdida de material.
DH	13	T6	Pátina de pintura: manchas rojas-negras TIint. Descamación en fuste completo en todas las caras. Zona de anillos superior con microfisuración y abultamientos. Basa muy deteriorada con pérdida de material.
DH	14	T4	Pátina de pintura: manchas rojas-negras TIizq. Picado mec. TMint. Descamación en fuste completo en ext con principio en TS y TId. Zona de anillos superior con abultamientos y descamación. Basa muy deteriorada con pérdida de material.

Tabla 1. Descripción del estado de la columnata.

Zona	Columna	Estadio descamación	Descripción deterioro columnata
DH	15	T6	Pátina de pintura: manchas rojas-negras TIint. Picado mec. TIint Descamación en fuste completo en las caras ext., d e izq. Zona de anillos superior con abultamientos. Fisuraciones verticales con pérdida de material en TIId. Basa muy deteriorada con pérdida de material.
DH	16	T6	Descamación en fuste completo en las caras ext e izq. Picado mec. TMint. Zona de anillos superior con abultamientos en ext y d. Fracturación con pérdida de material en TSext. Basa muy deteriorada con pérdida de material.
DH	17	T5	Pátina de pintura: manchas rojas-negras TSext-d y TIext-int. Picado mec. TM completo. Descamación en fuste completo en ext. Zona de anillos superior con abultamientos y descamación. Fisuración en TMint y fracturación con pérdida de material en TIext. Basa muy deteriorada con pérdida de material.
DH	18	T6	Pátina de pintura: manchas rojas-negras TS y TI en caras d, int e izq. Picado mec. TMint. Descamación en fuste completo en cara ext e izq. Zona de anillos superior con abultamientos y descamación. Fisuración en TI y fracturación con pérdida de material en TIext-int. Basa muy deteriorada con pérdida de material.
DH	19	T5	Pátina de pintura: manchas rojas-negras TS completo. Picado mec. TM completo. Descamación en fuste completo en TM y TI ext-izq. Zona de anillos superior con abultamientos y descamación. Fisuración en TIint y fracturación con pérdida de material en TIId-int y TSizq. Basa muy deteriorada con pérdida de material.
DH	20	T2	Pátina de pintura: manchas rojas-negras TIext. Picado mec. TMint-izq. Zona de anillos superior con inicio microfisuración. Fisuración en TIint-d.
DH	21	T7	Pátina de pintura: manchas rojas-negras TI en todas las caras. Descamación en fuste completo en todas las caras con evolución de deterioro a capas inferiores. Zona de anillos superior con abultamientos y descamación. Basa muy deteriorada con pérdida de material.
DH	22	T4	Pátina de pintura: manchas rojas-negras TIId. Picado mec. TMint. Descamación en TS y TM izq-ext el resto con microfisuración avanzada. Zona de anillos superior izq. con abultamientos y descamación. Basa muy deteriorada con pérdida de material.

ESTUDIO DE ELEMENTOS ARQUITECTÓNICOS Y COMPOSICIÓN DE MATERIALES DEL PATIO DE LOS LEONES.
INTERACCIONES EN SUS CAUSAS DE DETERIORO

Tabla 1. Descripción del estado de la columnata.

Zona	Columna	Estadio descamación	Descripción deterioro columnata
DH	23	T6	Pátina de pintura: manchas rojas-negras TI en caras d, ext e int. Picado mec. TMint. Descamación y abultamientos en TS y TM en cara ext e izq el resto con microfisuración. Zona de anillos superior con abultamientos y descamación. Fisuración en TI, TM y TS y fracturación con pérdida de material en TIizq. Basa muy deteriorada con pérdida de material.
DH	24	T6	Pátina de pintura: manchas rojas-negras TS en zona anillada. Picado mec. TMd-int. Descamación y abultamientos en todo el fuste en cara ext e izq. Zona de anillos superior con abultamientos y descamación. Basa muy deteriorada con pérdida de material.
DH	25	T4	Pátina de pintura: manchas rojas-negras TS completo. Picado mec. TMint. Descamación en TI y TMizq-ext. Fracturación y pérdida de material coincidente con foliación en TId-izq. Basa muy deteriorada con pérdida de material.
DH	26	T3	Pátina de pintura: manchas rojas-negras TS y TI caras d, int e izq. Descamación en TI y TMizq-ext. Fracturación y pérdida de material coincidente con foliación en TI y TMd, int e izq. Basa muy deteriorada con pérdida de material.
DH	27	T2	Pátina de pintura: manchas rojas-negras TS completo. Picado mec. TMizq-ext. Descamación en TIext. Fisuración coincidente con foliación en TId-ext. Basa deteriorada con pérdida de material.
DH	28	T1	Pátina de pintura: manchas rojas-negras TS en todas las caras. Picado mec. TMd-int.-izq. Basa muy deteriorada con pérdida de material.
DH	29	T1	Picado mec. TMint. Fracturación con pérdida de material en TSd. Basa muy deteriorada con pérdida de material.
DH	30	T1	Pátina de pintura: manchas rojas-negras TS completo y TI con distinta coloración. Picado mec. TMizq-d. Fisuración en TMint. Basa deteriorada con pérdida de material.
DH	31	T2	Pátina de pintura: manchas rojas-negras TS completo y TI con distinta coloración. Picado mec. TMd. Principio de descamación en TMext. Fisuración en Tltext coincidentes con foliación y microfisuración en TM y TIizq. Basa deteriorada con pérdida de material.

Tabla 1. Descripción del estado de la columnata.

Zona	Columna	Estadio descamación	Descripción deterioro columnata
R	32	T1	Pátina de pintura: manchas rojas-negras TSizq. Fisuración coincidente con foliación en TSd TM y TIint-izq. Basa deteriorada con pérdida de material.
R	33	T1	Pátina de pintura: manchas rojas-negras TI en todas las caras con distinta intensidad. Picado mec. TMizq. Microfisuración en TS zona de anillos. Fisuración en TMd, coincidente con foliación. Basa deteriorada con pérdida de material.
R	34	T2	Picado mec. TMd. Microfisuración e inicio de descamación en TS zona de anillos. Fisuración extendida en todas las caras en TM y TI, coincidente con foliación. Fracturación y pérdida de material en TSizq. Basa deteriorada con microfisuración y pérdida de material.
R	35	T1	Microfisuración en TS y TM en zona de anillos y ext. Fisuración aislada en TIext y TS-TMizq. Fracturación y pérdida de material en TIizq. Basa deteriorada con pérdida de material.
R	36	T1	Pátina de pintura: manchas rojas-negras TS en todas las caras. Microfisuración en TS zona de anillos. Fisuración en TM y TI, coincidente con foliación. Fracturación y pérdida de material en TIint. Basa deteriorada con pérdida de material.
R	37	T2	Pátina de pintura: manchas rojas-negras TS en todas las caras. Microfisuración en TIext-d. Fisuración en TMext coincidente con foliación. Inicio de descamación en TMext. Basa deteriorada con pérdida de material.
R	38	T1	Pátina de pintura: manchas rojas-negras TS en todas las caras. Fisuración en TIext coincidente con foliación. Basa deteriorada con pérdida de material.
R	39	T1	Pátina de pintura: manchas amarillentas-anaranjadas TS en todas las caras. Picado mec. en TMd-int. Basa deteriorada con pérdida de material.
R	40	T3	Pátina amarillenta TM en todas las caras. Inicio de descamación en TMext-d. Fisuración en TMd coincidente con foliación. Fracturación y pérdida de material en TIext-int y TSd. Basa deteriorada con pérdida de material.
R	41	T1	Fisuración en TMext coincidente con foliación. Fracturación y pérdida de material en TIint y TSext-izq. Picado mec. en TMd-int. Basa deteriorada con pérdida de material.

ESTUDIO DE ELEMENTOS ARQUITECTÓNICOS Y COMPOSICIÓN DE MATERIALES DEL PATIO DE LOS LEONES.
INTERACCIONES EN SUS CAUSAS DE DETERIORO

Tabla 1. Descripción del estado de la columnata.

Zona	Columna	Estadio descamación	Descripción deterioro columnata
R	42	T3	Pátina de pintura: manchas rojizas TS en todas las caras. Resto de columna con pátina amarillenta. Inicio de descamación en TM y Ttext. Fisuración en TSd. Fracturación y pérdida de material en TId-int y TSd. Basa deteriorada con pérdida de material.
R	43	T1	Pátina amarillenta. Picado mec.en TMint. Basa deteriorada con pérdida de material.
R	44	T1	Microfisuración en TS zona de anillos. Fisuración en Ttext y fracturación en TSd. Basa muy deteriorada con pérdida de material.
R	45	T1	Buen estado de conservación. Basa deteriorada con pérdida de material.
R	46	T1	Fisuración en TSizq y fracturación y pérdida de material en TSext-izq y TId.
R	47	T2	Pátina de pintura: manchas muy oscuras TS en todas las caras. Picado mec.en TMizq. Basa deteriorada con pérdida de material.
R	48	T1	Buen estado de conservación. Fracturación y pérdida de material en TSext-d y TInt.
R	49	T1	Pátina amarilla-rojiza en fuste completo cara interior y TS en lateral derecho. Buen estado de conservación.
R	50	T2	Microfisuración en el fuste completo en lateral d y ext. Descamación en TS zona de anillos y TMizq y Tid.
R	51	T3	Pátina de pintura: manchas rojizas TS en todas las caras. Descamación en TM y Ttext. Microfisuración en el fuste completo en lateral d y ext. Fisuración en TSd. Fracturación y pérdida de material en TSd.
R	52	T1	Pátina amarillenta TS en todas las caras. Picado mec. en TMint.
R	53	T1	Pátina amarillenta en fuste completo en laterales izq, int y d. Fracturación y pérdida de material en TSd y fisuración en Ttext. Basa deteriorada con pérdida de material.
R	54	T1	Pátina amarillenta TS en todas las caras. Picado mec. en TMd-int. Basa deteriorada con pérdida de material.
R	55	T1	Fracturación y pérdida de material en TSd y fisuración coincidente con la foliación en Ttext. Picado mec. en TM en todas las caras. Basa deteriorada con pérdida de material.

Tabla 1. Descripción del estado de la columnata.

Zona	Columna	Estadio descamación	Descripción deterioro columnata
R	56	T2	Pátina pintura: manchas marrón-rojizas fuste completo en lateral derecho. Descamación en T _{ext} . Microfisuración en el fuste completo en lateral d y ext. Fracturación y pérdida de material en T _{Sext} . Basa muy deteriorada con pérdida de material.
R	57	T1	Pátina pintura: manchas marrón oscuro en toda la columna con mayor intensidad en el lateral interior. Bien conservada. Basa muy deteriorada con pérdida de material.
R	58	T1	Fracturación y pérdida de material en T _{Sd} . Microfisuración en fuste completo en lateral ext. Picado mec. en T _{Mint} . Basa muy deteriorada con pérdida de material.
R	59	T1	Pátina pintura: manchas marrón oscuro en TS en zona de anillos en todas las caras. Picado mec. en T _{Mint-izq} . Basa deteriorada con pérdida de material.
R	60	T1	Pátina pintura: manchas marrón oscuro en TS en zona de anillos en todas las caras. Microfisuración en TS zona de anillos y TM y TI en lateral ext. Fragmentación y pérdida de material en T _{Sd} y T _{Iint} . Picado mec. en T _{Mint} .
R	61	T1	Pátina pintura: manchas marrón oscuro TS en zona de anillos y TI en lateral int. Picado mec. en T _{Mint} .
R	62	T1	Pátina pintura: manchas marrón oscuro TS en zona de anillos. Fragmentación y pérdida de material en T _{Sd} . Picado mec. en T _{Mint} . Basa deteriorada con pérdida de material.
R	63	T1	Pátina pintura: manchas marrón oscuro TS en zona de anillos y TI en todos las caras. Fragmentación y pérdida de material en T _{Sizq} . Picado mec. y golpeado en T _{Mint-izq-d} .
Ab	64	T1	Pátina: marrón-amarillento TS en zona de anillos y T _{Iizq} . Pátina amarillenta intensa en todo el fuste cara interior. Picado mec. en T _{Mext-izq} . Basa deteriorada.
Ab	65	T1	Pátina pintura: manchas marrón oscuro TS en zona de anillos y TI en todos las caras. Fragmentación y pérdida de material en T _{Sint} . Picado mec. en T _{Mint-izq-d} . Basa con restos de pátina de pintura marrón oscuro.
Ab	66	T1	Pátina pintura: manchas marrón oscuro TS en zona de anillos y TI en todos las caras. Picado mec. en T _{Mint} . Basa con restos de pátina de pintura marrón oscuro.

ESTUDIO DE ELEMENTOS ARQUITECTÓNICOS Y COMPOSICIÓN DE MATERIALES DEL PATIO DE LOS LEONES.
INTERACCIONES EN SUS CAUSAS DE DETERIORO

Tabla 1. Descripción del estado de la columnata.

Zona	Columna	Estadio descamación	Descripción deterioro columnata
Ab	67	T1	Pátina pintura: manchas marrón oscuro TS en zona de anillos y TI en todos las caras. Picado mec. en TMint-d-ext. Basa deteriorada.
Ab	68	T1	Pátina pintura: manchas marrón oscuro TS en zona de anillos y TI en todos las caras. Picado mec. en TMint-d-izq. Fragmentación y pérdida de material en Tid-int. Fisuración coincidiendo con foliación en TSd.
Ab	69	T1	Pátina pintura: manchas marrón oscuro TS en zona de anillos y fuste completo en cara int. Fisuración en TMD. Picado mec. en TMint. Basa deteriorada.
Ab	70	T1	Pátina marrón oscuro TS en zona de anillos y amarillo-grisáceo en TMizq. Picado mec. en TMint. Basa deteriorada con pérdida de material.
Ab	71	T1	Pátina manchas marrón oscuro TS en zona de anillos y amarillo-grisáceo en TMizq. Picado mec. en TMint. Basa deteriorada con pérdida de material.
Ab	72	T1	Pátina manchas marrón oscuro TS en zona de anillos y amarillo-grisáceo en fuste completo en cara interior. Picado mec. en TMint-izq. Basa deteriorada con fisuraciones. Crecimiento de microorganismos en partes bajas de columna (zona plancha de plomo).
Ab	73	T1	Pátina manchas marrón oscuro TS en zona de anillos y amarillo-grisáceo en TM y TIizq. TI con pátina de pintura. Picado mec. en TMint.
Ab	74	T1	Pátina manchas marrón amarillento TS en zona de anillos y amarillo-grisáceo en fuste completo en cara interior. Picado mec. en TMint. Fragmentación con pérdida de material en TSd y Tid. Fisuración coincidiendo con foliación en TText. Picado mec. con pérdidas en TM y TI en lateral derecho. Basa deteriorada. Crecimiento de microorganismos en partes bajas de columna (zona plancha de plomo).
Ab	75	T1	Pátina manchas marrón amarillento TS en zona de anillos y amarillo-grisáceo en fuste completo en cara interior. TI con pátina de pintura. Picado mec. en TMint. Fragmentación con pérdida de material en TIizq. Basa deteriorada. Crecimiento de microorganismos en partes bajas de columna (zona plancha de plomo).

Tabla 1. Descripción del estado de la columnata.

Zona	Columna	Estadio descamación	Descripción deterioro columnata
Ab	76	T1	Pátina manchas marrón amarillento TS en zona de anillos y amarillo-grisáceo en fuste completo en cara interior. Fragmentación con pérdida de material en TSint. Fisuración en TIizq. Picado mec. en TMint-izq. Basa deteriorada. Crecimiento de microorganismos en partes bajas de columna (zona plancha de plomo).
Ab	77	T1	Pátina manchas marrón amarillento TS en zona de anillos y amarillo-grisáceo en Tid. Picado mec. en TMD-int. Fragmentación con pérdida de material en TSd. Basa deteriorada. Crecimiento de microorganismos en partes bajas de columna (zona plancha de plomo).
Ab	78	T1	Pátina manchas marrón amarillento TS en zona de anillos y amarillo-grisáceo en TI en todas las caras. Picado mec. en TMD-int. Fragmentación con pérdida de material en TSd y TIint-izq. Microfisuración en TS y TMD. Basa bien conservada. Crecimiento de microorganismos en partes bajas de columna (zona plancha de plomo).
Ab	79	T1	Pátina manchas marrón amarillento TS en zona de anillos. Fragmentación con pérdida de material en TSd-int y TIint. Picado mec. en TMint. Basa deteriorada con pérdida de material.
Ab	80	T1	Pátina manchas marrón amarillento TS en zona de anillos y color amarillo-grisáceo en el límite entre TM y TI. Basa deteriorada con pérdida de material.
Ab	81	T1	Pátina manchas marrón amarillento TS en zona de anillos y color amarillo-grisáceo en el límite entre TM y TI. Picado mec. en Ttext-d. Microfisuración con pequeñas pérdidas en TSd. Basa deteriorada con pérdida de material. Crecimiento de microorganismos en partes bajas de columna (zona plancha de plomo).
Ab	82	T1	Pátina manchas marrón amarillento TS en zona de anillos y amarillo-grisáceo en fuste completo en caras derecha e interior. Picado mec. en TMint. Fragmentación con pérdida de material en TSizq y Tid. Microfisuración en Tid. Basa deteriorada con pérdida de material. Crecimiento de microorganismos en partes bajas de columna (zona plancha de plomo).

ESTUDIO DE ELEMENTOS ARQUITECTÓNICOS Y COMPOSICIÓN DE MATERIALES DEL PATIO DE LOS LEONES.
INTERACCIONES EN SUS CAUSAS DE DETERIORO

Tabla 1. Descripción del estado de la columnata.

Zona	Columna	Estadio descamación	Descripción deterioro columnata
Ab	83	T1	Pátina manchas marrón amarillento TS en zona de anillos y amarillo-grisáceo en TM y TI en caras interior e izquierda. Basa deteriorada con pérdida de material. Crecimiento de microorganismos en partes bajas de columna (zona plancha de plomo).
Ab	84	T1	Pátina manchas marrón amarillento TS en zona de anillos y amarillo-grisáceo en TM y TI en caras interior y derecha. Restos de pintura marrón-rojiza en Tid. Basa deteriorada con pérdida de material. Crecimiento de microorganismos en partes bajas de columna (zona plancha de plomo).
Ab	85	T1	Pátina manchas marrón amarillento TS en zona de anillos y amarillo-grisáceo en TM y TI en caras interior y derecha. Restos de pintura marrón-rojiza en TIint. Fisuración con pequeñas pérdidas coincidiendo con foliación en TMext. Basa deteriorada con pérdida de material.
Ab	86	T1	Pátina manchas marrón amarillento TS en zona de anillos y amarillo-grisáceo en TI en todas las caras (+ intenso en int y d). Picado mec. en TS y TMd. Basa deteriorada con pérdida de material.
Ab	87	T1	Pátina manchas marrón amarillento TS en zona de anillos y amarillo-grisáceo en TI en todas las caras (+ intenso en int y d). Picado mec. en TMint. Fisuración en TIizq. Basa deteriorada con pérdida de material. Crecimiento de microorganismos en partes bajas de columna (zona plancha de plomo).
Ab	88	T1	Pátina manchas marrón amarillento en toda la columna. Fragmentación con pérdida de material en TSint y TIext. Basa deteriorada con pérdida de material. Crecimiento de microorganismos en partes bajas de columna (zona plancha de plomo).
Ab	89	T1	Pátina manchas marrón amarillento en TS en zona de anillos. Fragmentación con pérdida de material en TIint. Picado mec. en TMd-int. Basa deteriorada con pérdida de material. Crecimiento de microorganismos en partes bajas de columna (zona plancha de plomo).
Ab	90	T1	Pátina manchas marrón amarillento en TS en zona de anillos. Fragmentación con pérdida de material en TSint. Fisuración en TIizq. Picado mec. en TM en todas las caras. Basa deteriorada con pérdida de material.

Tabla 1. Descripción del estado de la columnata.

Zona	Columna	Estadio descamación	Descripción deterioro columnata
Ab	91	T1	Pátina manchas marrón amarillento TS en zona de anillos y amarillo-grisáceo en TI en todas las caras (+ intenso en int). Picado mec. en TMizq. Basa deteriorada con pérdida de material.
Ab	92	T1	Pátina manchas marrón amarillento en toda la columna. Picado mec. en TMint. Basa deteriorada con pérdida de material.
Ab	93	T1	Pátina manchas marrón amarillento en toda la columna (+ intensidad cara interior). Picado mec. en TMd. Fracturación con pérdida de material el TMizq. Basa deteriorada con pérdida de material.
Mc	94	T1	Pátina manchas marrón amarillento en toda la columna (+ intensidad cara interior). Fisuración en TMizq. Picado mec. en TMd. Basa deteriorada con pérdida de material.
Mc	95	T1	Pátina manchas marrón amarillento TS en zona de anillos y amarillo-grisáceo en TIint. Fisuración con pequeñas pérdidas coincidiendo con foliación en Ttext. Picado mec. de mayor diámetro en TS y TMint. Fragmentación y pérdida de material en TSint. Basa deteriorada con pérdida de material.
Mc	96	T1	Pátina manchas marrón amarillento en TS en zona de anillos. Picado mec. en TMint. Basa muy deteriorada con pérdida de material.
Mc	97	T1	Pátina manchas marrón amarillento en TS en zona de anillos extensiva en todo el fuste en cara interior. Fragmentación con pérdida de material en Ttext. Picado mec. en TMint. Basa muy deteriorada con pérdida de material.
Mc	98	T1	Pátina manchas marrón amarillento TS en zona de anillos y amarillo-grisáceo en TIint. Picado mec. de mayor diámetro en TMext y picado mec. menor en TMint-d. Basa deteriorada con pérdida de material.
Mc	99	T1	Pátina manchas marrón amarillento TS en zona de anillos y amarillo-grisáceo en TIint. Picado mec. de mayor diámetro en TMext y picado mec. menor en TMint-izq. Fisuración con pequeñas pérdidas en TMext-izq. Basa muy deteriorada con pérdida de material.

Tabla 1. Descripción del estado de la columnata.

Zona	Columna	Estadio descamación	Descripción deterioro columnata
Mc	100	T1	Pátina manchas marrón amarillento en toda la columna. Fisuración en TS en zona de anillos con pérdida de material. En Ttext fisuración coincidente con la foliación. Picado mec. en TMint. Basa muy deteriorada con pérdida de material.
Mc	101	T1	Pátina manchas marrón amarillento TS en zona de anillos y rojiza-anaranjadas en TI en todas las caras. Picado mec. en TMint. Fisuración con pequeñas pérdidas en TMext-izq. Rayada. Basa muy deteriorada con pérdida de material.
Mc	102	T1	Pátina manchas marrón amarillento TS en zona de anillos y en TI en todas las caras en tono más oscuro. Fisuración coincidiendo con foliación en TMizq. Fragmentación con pérdida de material en TSint y Ttext (restos de pátina rojiza-anaranjada). Rayada. Basa muy deteriorada con pérdida de material.
Mc	103	T1	Pátina manchas marrón amarillento TS en zona de anillos. Fisuración coincidiendo con foliación en TS y TMizq-int. Fragmentación con pérdida de material en Ttext. Picado mec. en TMD-int-izq. Basa muy deteriorada con pérdida de material.
Mc	104	T2	Pátina manchas marrón amarillento TS en zona de anillos. Descamación y fisuración coincidiendo con foliación en TMizq. Picado mec. en TMD-int-ext. Rayada. Basa muy deteriorada con pérdida de material.
Mc	105	T1	Fragmentación con pérdida de material en TSint y Ttext. Rayada. Basa muy deteriorada con pérdida de material.
Mc	106	T4	Pitting avanzado-descamación extendida en toda la columna con pérdidas de material. Zona de anillos muy deteriorada. Fisuración coincidiendo con foliación en todo el fuste en cara interior y derecha. Fragmentación con pérdida de material en TSd-izq. Basa muy deteriorada con pérdida de material.
Mc	107	T2	Pitting avanzado-descamación extendida en TSizq-int con pérdidas de material el resto rayado. Pátina color marrón-amarillento con algunas pérdidas en zona de anillos. Fisuración coincidiendo con foliación en TMD-izq. Basa muy deteriorada con pérdida de material.

Tabla 1. Descripción del estado de la columnata.

Zona	Columna	Estadio descamación	Descripción deterioro columnata
Mc	108	T7	Pitting avanzado-descamación en toda la columna, zona de anillos muy deteriorada. Cara interior todo el fuste mejor conservada. Color marrón tostado de menor intensidad en TS. Basa muy deteriorada con pérdida de material.
Mc	109	T6	Pitting avanzado-descamación en toda la columna, zona de anillos muy deteriorada con pérdidas de material. Color marrón tostado de menor intensidad en TS. Cara interior todo el fuste mejor conservada. Fragmentación con pérdida de material en TText-d-int. Basa muy deteriorada con pérdida de material.
Mc	110	T8	Pitting avanzado-descamación en cara ext, d e izq con mayor intensidad en TI, zona de anillos deteriorada con pocas pérdidas de material. Cara interior rayada en todo el fuste, mejor conservada. Fragmentación con pérdida de material en Tid. Basa muy deteriorada con pérdida de material.
Mc	111	T8	Pitting avanzado-descamación en cara ext, d e izq columna completa. Zona de anillos muy deteriorada con pérdidas de material. Cara interior rayada en todo el fuste mejor conservada. Fisuración con pérdida de material en TIint. Basa muy deteriorada con pérdida de material.
Mc	112	T1	Columna rayada en todo el fuste con inicio de microfisuración, bien conservada. Fisuración vertical en TId. Fragmentación con pérdida de material en TSext-int. Basa muy deteriorada con pérdida de material.
Mc	113	T1	Columna rayada, muy bien conservada. Patina marrón-tostado en zona de anillos. Basa deteriorada con pérdida de material.
Mc	114	T1	Columna rayada, muy bien conservada. Huecos por disolución de pirita en TSext. Fisuración en TSizq. Picado mec. en TMizq. Basa poco deteriorada con pérdida de material.
Mc	115	T1	Columna muy bien conservada. Pátina marrón-tostado en zona de anillos. Pátina negruzca en TIint. Fragmentación con pérdida de material en TSint-izq. Basa muy deteriorada con pérdida de material.

ESTUDIO DE ELEMENTOS ARQUITECTÓNICOS Y COMPOSICIÓN DE MATERIALES DEL PATIO DE LOS LEONES.
INTERACCIONES EN SUS CAUSAS DE DETERIORO

Tabla 1. Descripción del estado de la columnata.

Zona	Columna	Estadio descamación	Descripción deterioro columnata
Mc	116	T1	Columna muy bien conservada. Pátina marrón-tostado en zona de anillos. Fisuración coincidente con foliación en TS y TM en caras ext, d e izq. Fragmentación con pérdida de material en Tltext. Basa poco deteriorada con pérdida de material.
Mc	117	T1	Columna muy bien conservada. Pátina marrón-tostado en zona de anillos. Fisuración coincidente con foliación en TM y Tltext,. Basa poco deteriorada con pérdida de material.
Mc	118	T1	Columna rayada, muy bien conservada. Pátina marrón-tostado en zona de anillos. Basa poco deteriorada con pérdida de material.
Mc	119	T1	Columna rayada, muy bien conservada. Pátina marrón-tostado en zona de anillos. Fisuración coincidente con foliación en TMext. Fragmentación con pérdida de material en TSint. Basa muy deteriorada con pérdida de material.
Mc	120	T1	Columna rayada, muy bien conservada. Pátina en tonos claros en zona de anillos. Picado mec. en TMd. Basa deteriorada con pérdida de material.
Mc	121	T1	Columna rayada, muy bien conservada. Pátina en tonos claros en zona de anillos con pérdidas de material y pátina marrón oscuro en TMint. Picado mec. en TMizq. Basa muy deteriorada con pérdida de material.
Mc	122	T1	Columna rayada, muy bien conservada. Pátina marrón oscuro en TM y Tlint . Basa muy bien conservada.
Mc	123	T1	Columna rayada, muy bien conservada. Pátina en tonos claros en zona de anillos y pátina marrón oscuro en TSint. Picado mec. en TMint. Basa poco deteriorada con pérdida de material.
Mc	124	T1	Columna rayada, muy bien conservada. Pátina marrón oscuro en TSint. Picado mec. en TMint. Basa deteriorada con pérdida de material.

ANEXO 3

Leyenda Tabla 1

NC: número de ciclos

Prob: Probeta

P: peso (kg)

D: densidad (gr/cm^3)

ΔP_p : incremento de peso parcial (kg)

ΔP_t : incremento de peso total (kg)

ΔP_{p_m} : incremento medio peso parcial (kg)

ΔP_{t_m} : incremento medio peso total (kg)

D_m : densidad media por grupo y número de ciclos (gr/cm^3)

Std: desviación estándar

ESTUDIO DE ELEMENTOS ARQUITECTÓNICOS Y COMPOSICIÓN DE MATERIALES DEL PATIO DE LOS LEONES.
INTERACCIONES EN SUS CAUSAS DE DETERIORO

Tabla 1. Ciclos de estrés térmico Grupo A.

"0" ciclos	Prob	1a	2a	3a	4a	5a
	P	1.096,70	1.073,10	1.154,20	1.107,20	1.095,60
	D	2,85	2,85	2,74	2,67	2,71
	Prob	6a	7a	8a	9a	10a
	P	1.133,00	1.171,00	1.093,70	1.147,10	1.086,80
	D	2,76	2,72	2,69	2,76	2,66
	Prob	11a	12a	13a	14a	15a
	P	1.043,90	1.017,00	1.022,00	1.039,50	1.107,20
	D	2,73	2,83	2,71	2,62	2,77
	Prob	16a	17a	18a	19a	20a
	P	1.076,10	1.089,60	1.068,30	1.096,90	1.047,50
	D	2,85	2,64	2,65	2,79	2,71
	Prob	21a	22a	23a	24a	25a
	P	1.048,20	1.092,20	1.042,40	1.011,40	994,50
	D	2,81	2,81	2,78	2,78	2,78
	Dm	2,75		Std	0,07	
"50" ciclos	Prob	6a	7a	8a	9a	10a
	P	1.132,70	1.170,60	1.093,30	1.146,70	1.086,50
	ΔP_p	0,30	0,40	0,40	0,40	0,30
	ΔP_t	0,30	0,40	0,40	0,40	0,30
	Prob	11a	12a	13a	14a	15a
	P	1.043,50	1.016,60	1.021,60	1.039,30	1.107,10
	ΔP_p	0,40	0,40	0,40	0,20	0,10
	ΔP_t	0,40	0,40	0,40	0,20	0,10
	Prob	16a	17a	18a	19a	20a
	P	1.075,80	1.089,30	1.067,70	1.096,50	1.047,20
	ΔP_p	0,30	0,30	0,60	0,40	0,30
	ΔP_t	0,30	0,30	0,60	0,40	0,30
	Prob	21a	22a	23a	24a	25a
	P	1047,9	1092	1042,2	1011,2	994,3
	ΔP_p	0,30	0,20	0,20	0,20	0,20
	ΔP_t	0,30	0,20	0,20	0,20	0,20
	ΔP_{p_m}		0,32	Std	0,11	
	ΔP_{t_m}		0,32	Std	0,11	

Tabla 1. Ciclos de estrés térmico Grupo A.

"100" ciclos		11a	12a	13a	14a	15a
Prob	P	1.043,50	1.016,60	1.021,60	1.039,30	1.107,10
	ΔP_p	0,00	0,00	0,00	0,00	0,00
	ΔP_t	0,40	0,40	0,40	0,20	0,10
Prob	P	16a	17a	18a	19a	20a
	P	1.075,70	1.089,30	1.067,70	1.096,50	1.047,20
	ΔP_p	0,10	0,00	0,00	0,00	0,00
	ΔP_t	0,40	0,30	0,60	0,40	0,30
Prob	P	21a	22a	23a	24a	25a
	P	1.047,90	1.091,80	1.042,20	1.011,20	994,30
	ΔP_p	0,00	0,40	0,00	0,00	0,00
	ΔP_t	0,30	0,40	0,20	0,20	0,20
	ΔP_{p_m}		0,03	Std	-	
	ΔP_{t_m}		0,32	Std	0,13	
"150" ciclos		16a	17a	18a	19a	20a
Prob	P	1.075,50	1.089,00	1.067,50	1.096,40	1.046,90
	ΔP_p	0,20	0,30	0,20	0,10	0,30
	ΔP_t	0,60	0,60	0,80	0,50	0,60
Prob	P	21a	22a	23a	24a	25a
	P	1.047,60	1.091,50	1.041,90	1.010,90	993,90
	ΔP_p	0,30	0,30	0,30	0,30	0,40
	ΔP_t	0,60	0,70	0,50	0,50	0,50
	ΔP_{p_m}		0,27	Std	-	
	ΔP_{t_m}		0,59	Std	0,09	
"200" ciclos		21a	22a	23a	24a	25a
Prob	P	1.047,50	1.091,40	1.041,80	1.010,80	993,80
	ΔP_p	0,10	0,10	0,10	0,10	0,10
	ΔP_t	0,70	0,80	0,60	0,60	0,60
	ΔP_{p_m}		0,10	Std	-	
	ΔP_{t_m}		0,66	Std	0,09	

ESTUDIO DE ELEMENTOS ARQUITECTÓNICOS Y COMPOSICIÓN DE MATERIALES DEL PATIO DE LOS LEONES.
INTERACCIONES EN SUS CAUSAS DE DETERIORO

Tabla 1. Ciclos de estrés térmico Grupo B.

"0" ciclos	Prob	1b	2b	3b	4b	5b
	P	1.059,80	1.047,30	1.113,80	893,90	1.126,40
	D	2,68	2,78	2,75	2,63	2,79
	Prob	6b	7b	8b	9b	10b
	P	1.114,40	1.117,20	1.105,60	1.034,50	954,00
	D	2,77	2,72	2,82	2,77	2,77
	Prob	11b	12b	13b	14b	15b
	P	979,50	988,40	1.103,70	1.043,60	1.016,40
	D	2,76	2,79	2,68	2,78	2,67
	Prob	16b	17b	18b	19b	20b
	P	1.031,10	1.044,10	979,60	1.103,00	954,90
	D	2,70	2,73	2,74	2,76	2,74
	Prob	21b	22b	23b	24b	25b
	P	1.052,20	1.041,80	1.040,00	1.091,70	1.026,80
	D	2,77	2,77	2,68	2,84	2,64
	Dm	2,74		Std	0,05	
"50" ciclos	Prob	6b	7b	8b	9b	10b
	P	1.114,10	1.116,60	1.105,00	1.034,00	953,60
	ΔP_p	0,30	0,60	0,60	0,50	0,40
	ΔP_t	0,30	0,60	0,60	0,50	0,40
	Prob	11b	12b	13b	14b	15b
	P	979,30	988,30	1.103,40	1.043,40	1.016,30
	ΔP_p	0,20	0,10	0,30	0,20	0,10
	ΔP_t	0,20	0,10	0,30	0,20	0,10
	Prob	16b	17b	18b	19b	20b
	P	1.030,80	1.043,70	979,30	1.102,70	954,60
	ΔP_p	0,30	0,40	0,30	0,30	0,30
	ΔP_t	0,30	0,40	0,30	0,30	0,30
	Prob	21b	22b	23b	24b	25b
	P	1.051,90	1.041,50	1.039,70	1.091,20	1.026,30
	ΔP_p	0,30	0,30	0,30	0,50	0,50
	ΔP_t	0,30	0,30	0,30	0,50	0,50
	ΔP_{p_m}		0,34	Std	0,14	
	ΔP_{t_m}		0,34	Std	0,14	

Tabla 1. Ciclos de estrés térmico Grupo B.

"100" ciclos	Prob	11b	12b	13b	14b	15b	
	P	979,30	988,30	1.103,40	1.043,40	1.016,30	
	ΔP_p	0,00	0,00	0,00	0,00	0,00	
	ΔP_t	0,20	0,10	0,30	0,20	0,10	
	Prob	16b	17b	18b	19b	20b	
	P	1.030,80	1.043,70	979,30	1.102,70	954,50	
	ΔP_p	0,00	0,00	0,00	0,00	0,10	
	ΔP_t	0,30	0,40	0,30	0,30	0,40	
	Prob	21b	22b	23b	24b	25b	
	P	1.051,90	1.041,50	1.039,60	1.091,00	1.026,30	
	ΔP_p	0,00	0,00	0,10	0,20	0,00	
	ΔP_t	0,30	0,30	0,40	0,60	0,50	
	ΔP_{p_m}		0,03	Std	-		
	ΔP_{t_m}		0,31	Std	0,14		
"150" ciclos	Prob	16b	17b	18b	19b	20b	
	P	1.030,70	1.043,50	979,10	1.102,50	954,50	
	ΔP_p	0,10	0,20	0,20	0,20	0,00	
	ΔP_t	0,40	0,60	0,50	0,50	0,40	
	Prob	21b	22b	23b	24b	25b	
	P	1.051,80	1.041,30	1.039,60	1.090,80	1.026,30	
	ΔP_p	0,10	0,20	0,00	0,30	0,00	
	ΔP_t	0,40	0,50	0,40	0,90	0,50	
	ΔP_{p_m}		0,13	Std	-		
	ΔP_{t_m}		0,54	Std	0,15		
	"200" ciclos	Prob	21b	22b	23b	24b	25b
		P	1.051,70	1.041,20	1.039,50	1.090,80	1.026,20
		ΔP_p	0,10	0,10	0,10	0,10	0,10
		ΔP_t	0,50	0,60	0,50	0,90	0,60
ΔP_{p_m}			0,10	Std			
ΔP_{t_m}			0,62	Std	0,16		

ESTUDIO DE ELEMENTOS ARQUITECTÓNICOS Y COMPOSICIÓN DE MATERIALES DEL PATIO DE LOS LEONES.
INTERACCIONES EN SUS CAUSAS DE DETERIORO

Tabla 1. Ciclos de estrés térmico Grupo C.

"0" ciclos	Prob	1c	2c	3c	4c	5c
	P	1.013,70	1.050,50	1.092,70	1.107,30	1.101,40
	D	2,76	2,74	2,78	2,82	2,76
	Prob	6c	7c	8c	9c	10c
	P	1.032,30	1.057,30	1.054,80	1.086,50	960,00
	D	2,75	2,74	2,70	2,84	2,68
	Prob	11c	12c	13c	14c	15c
	P	1.111,10	955,50	1.068,30	1.056,40	1.028,00
	D	2,78	2,81	2,73	2,84	2,76
	Prob	16c	17c	18c	19c	20c
	P	992,40	1.044,40	1.026,30	997,60	1.084,60
	D	2,85	2,83	2,68	2,72	2,79
	Prob	21c	22c	23c	24c	25c
	P	982,80	1.027,10	1.026,90	1.015,30	953,90
	D	2,70	2,73	2,73	2,69	2,77
	Dm	2,76		Std	0,05	
"50" ciclos	Prob	6c	7c	8c	9c	10c
	P	1.031,90	1.057,00	1.054,40	1.086,10	959,70
	ΔP_p	0,40	0,30	0,40	0,40	0,30
	ΔP_t	0,40	0,30	0,40	0,40	0,30
	Prob	11c	12c	13c	14c	15c
	P	1.110,70	955,10	1.067,90	1.056,10	1.027,50
	ΔP_p	0,40	0,40	0,40	0,30	0,50
	ΔP_t	0,40	0,40	0,40	0,30	0,50
	Prob	16c	17c	18c	19c	20c
	P	991,90	1.043,90	1.025,80	997,20	1.084,20
	ΔP_p	0,50	0,50	0,50	0,40	0,40
	ΔP_t	0,50	0,50	0,50	0,40	0,40
	Prob	21c	22c	23c	24c	25c
	P	982,40	1.026,60	1.026,70	1.014,90	953,60
	ΔP_p	0,60	0,50	0,20	0,40	0,30
	ΔP_t	0,60	0,50	0,20	0,40	0,30
	ΔP_{p_m}		0,41	Std	0,09	
	ΔP_{t_m}		0,41	Std	0,09	

Tabla 1. Ciclos de estrés térmico Grupo C.

"100" ciclos	Prob	11c	12c	13c	14c	15c	
	P	1.110,70	955,10	1.067,90	1.056,10	1.027,50	
	ΔP_p	0,00	0,00	0,00	0,00	0,00	
	ΔP_t	0,40	0,40	0,40	0,30	0,50	
	Prob	16c	17c	18c	19c	20c	
	P	991,80	1.043,90	1.025,80	997,20	1.084,20	
	ΔP_p	0,10	0,00	0,00	0,00	0,00	
	ΔP_t	0,60	0,50	0,50	0,40	0,40	
	Prob	21c	22c	23c	24c	25c	
	P	982,40	1.026,60	1.026,70	1.014,90	953,50	
	ΔP_p	0,00	0,00	0,00	0,00	0,10	
	ΔP_t	0,60	0,50	0,20	0,40	0,40	
	ΔP_{p_m}		0,01	Std			
	ΔP_{t_m}		0,43	Std	0,11		
	"150" ciclos	Prob	16c	17c	18c	19c	20c
P		991,60	1.043,80	1.025,70	997,10	1.084,00	
ΔP_p		0,20	0,10	0,10	0,10	0,20	
ΔP_t		0,80	0,60	0,60	0,50	0,60	
Prob		21c	22c	23c	24c	25c	
P		982,30	1.026,40	1.026,60	1.014,80	953,50	
ΔP_p		0,10	0,20	0,10	0,10	0,00	
ΔP_t		0,70	0,70	0,30	0,50	0,40	
ΔP_{p_m}			0,12	Std			
ΔP_{t_m}			0,57	Std	0,15		
"200" ciclos		Prob	21c	22c	23c	24c	25c
		P	982,20	1.026,30	1.026,50	1.014,70	953,40
		ΔP_p	0,10	0,10	0,10	0,10	0,10
		ΔP_t	0,80	0,80	0,40	0,60	0,50
		ΔP_{p_m}		0,1	Std		
	ΔP_{t_m}		0,62	Std	0,18		

ANEXO 4

Leyenda Tabla 1

Prob.: Designación de probeta

A₁: arista 1 (cm)

A₂: arista 2 (cm)

A_{S1}: arista superior 1 (cm)

A_{S2}: arista superior 2 (cm)

A_{S3}: arista superior 3 (cm)

A_{S4}: arista superior 4 (cm)

A_{I1}: arista inferior 1 (cm)

A_{I2}: arista inferior 2 (cm)

A_{I3}: arista inferior 3 (cm)

A_{I4}: arista inferior 4 (cm)

AM₁₋₂: arista media A₁-A₂ (cm)

AM_{S1-S3}: arista media A_{S1}-A_{S3} (cm)

AM_{S2-S4}: arista media A_{S2}-A_{S4} (cm)

AM_{I1-I3}: arista media A_{I1}-A_{I3} (cm)

AM_{I2-I4}: arista media A_{I2}-A_{I4} (cm)

T_H: tiempo según la dirección H (μs)

T_{F1}: tiempo según la dirección F en zona superior de la probeta (μs)

T_{F2}: tiempo según la dirección F en zona inferior de la probeta (μs)

T_{L1}: tiempo según la dirección L en zona superior de la probeta (μs)

T_{L2}: tiempo según la dirección L en zona inferior de la probeta (μs)

VP_H: velocidad de ultrasonidos según la dirección H (m/s)

VP_{F1}: velocidad de ultrasonidos según la dirección F en zona superior de la probeta (m/s)

VP_{F2}: velocidad de ultrasonidos según la dirección F en zona inferior de la probeta (m/s)

VP_{L1}: velocidad de ultrasonidos según la dirección L en zona superior de la probeta (m/s)

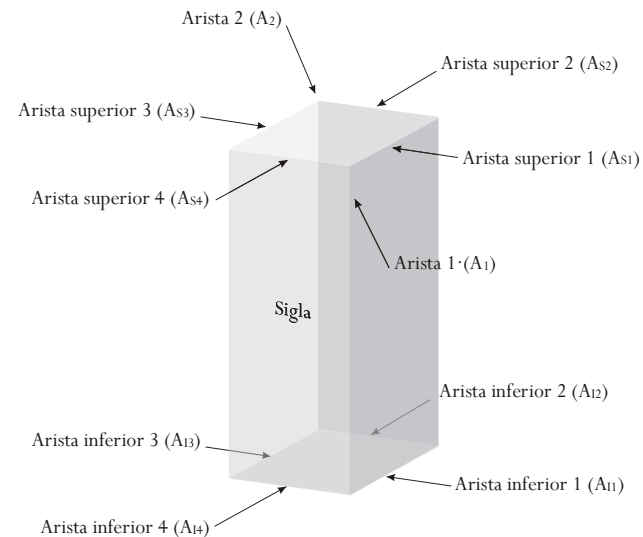
VP_{L2}: velocidad de ultrasonidos según la dirección L en zona inferior de la probeta (m/s)

VP_{F_M}: velocidad media de ultrasonidos según la dirección F (VP_{F1}, VP_{F2}) de la probeta (m/s)

VP_{L_M}: velocidad media de ultrasonidos según la dirección L (VP_{L1}, VP_{L2}) de la probeta (m/s)

M: valor medio de velocidad de ultrasonidos por dirección (m/s)

Std: desviación estándar



ESTUDIO DE ELEMENTOS ARQUITECTÓNICOS Y COMPOSICIÓN DE MATERIALES DEL PATIO DE LOS LEONES. INTERACCIONES EN SUS CAUSAS DE DETERIORO

Tabla 1. Resultados ultrasonidos. Grupo A "0" ciclos.

Prob.	A ₁	A ₂	A _{M1-2}	T _H	VP _H	AS ₂	AS ₄	AM _{S2-54}	T _{F1}	VP _{F1}	A ₁₂	A ₁₄	AM ₁₂₋₁₄	T _{F2}	VP _{F2}	VP _{F3}	AS ₁	AS ₃	AM _{S1-S3}	T _{L1}	VP _{L1}	A ₁₁	A ₁₃	AM ₁₁₋₁₃	T _{L2}	VP _{L2}	VPL _M
1a	15,10	15,10	15,10	23,60	6.398	4,85	5,05	4,95	9,10	5.440	5,25	5,10	5,18	9,80	5.281	5.360	5,15	5,15	5,15	9,80	5.255	5,25	5,25	5,25	10,20	5.147	5.201
2a	14,90	15,00	14,95	24,80	6.028	5,20	5,20	5,20	9,50	5.474	5,20	5,20	5,20	9,50	5.474	5.474	4,80	4,90	4,85	8,50	5.706	5,15	5,25	5,20	9,10	5.714	5.710
3a	15,20	15,10	15,15	23,70	6.392	5,20	5,20	5,20	9,80	5.306	5,15	5,20	5,18	10,30	5.024	5.165	5,30	5,40	5,35	9,00	5.944	5,30	5,40	5,35	9,20	5.815	5.880
4a	15,00	15,00	15,00	23,80	6.303	5,25	5,15	5,20	8,90	5.843	5,00	5,10	5,05	9,10	5.549	5.696	5,30	5,35	5,33	9,90	5.379	5,20	5,20	5,20	9,60	5.417	5.398
5a	14,90	15,00	14,95	24,70	6.053	5,20	5,10	5,15	9,80	5.255	5,05	5,15	5,10	10,10	5.050	5.152	5,20	5,30	5,25	9,00	5.833	5,20	5,20	5,20	9,70	5.361	5.597
6a	15,10	15,10	15,10	23,80	6.345	5,30	5,25	5,28	9,80	5.383	5,30	5,25	5,28	10,20	5.172	5.277	5,20	5,10	5,15	8,90	5.787	5,30	5,15	5,23	9,20	5.679	5.733
7a	15,10	15,15	15,13	23,60	6.409	5,40	5,60	5,50	9,90	5.556	5,40	5,20	5,30	9,70	5.464	5.510	5,20	5,15	5,18	9,20	5.625	5,30	5,30	5,30	9,50	5.579	5.602
8a	15,00	15,05	15,03	24,20	6.209	5,25	5,20	5,23	9,90	5.278	5,20	5,10	5,15	10,90	4.725	5.001	5,10	5,25	5,18	9,10	5.687	5,00	5,15	5,08	9,00	5.639	5.663
9a	15,00	15,05	15,03	23,50	6.394	5,15	5,20	5,18	9,50	5.447	5,35	5,30	5,33	10,70	4.977	5.212	5,45	5,25	5,35	9,40	5.691	5,35	5,20	5,28	9,20	5.734	5.713
10a	15,10	15,10	15,10	24,40	6.189	5,10	5,20	5,15	8,80	5.852	5,00	4,85	4,93	9,50	5.184	5.518	5,25	5,25	5,25	9,60	5.469	5,15	5,15	5,15	9,70	5.309	5.389
11a	15,20	15,10	15,15	24,80	6.109	5,15	5,10	5,13	9,90	5.177	5,25	5,25	5,25	9,90	5.303	5.240	5,00	4,85	4,93	8,60	5.727	4,85	4,70	4,78	8,30	5.753	5.740
12a	15,05	15,05	15,05	23,90	6.297	4,70	4,85	4,78	8,60	5.552	5,00	4,80	4,90	9,80	5.000	5.276	5,00	4,95	4,98	9,20	5.408	5,20	5,10	5,15	10,10	5.099	5.253
13a	15,10	15,10	15,10	25,30	5.968	5,20	5,15	5,18	10,30	5.024	4,85	5,00	4,93	9,60	5.130	5.077	4,80	4,85	4,83	8,60	5.610	4,90	5,00	4,95	8,80	5.625	5.618
14a	15,10	15,00	15,05	24,90	6.044	5,00	5,05	5,03	10,30	4.879	5,05	5,00	5,03	11,30	4.447	4.663	5,20	5,30	5,25	9,20	5.707	4,80	4,90	4,85	9,50	5.105	5.406
15a	15,05	15,10	15,08	24,10	6.255	5,20	5,20	5,20	10,00	5.200	5,25	5,25	5,25	10,90	4.817	5.008	5,00	5,20	5,10	9,10	5.604	5,10	5,25	5,18	9,70	5.335	5.470
16a	15,05	15,10	15,08	24,10	6.255	5,20	5,20	5,20	10,50	4.952	5,30	5,25	5,28	10,40	5.072	5.012	4,90	4,75	4,83	8,50	5.676	5,25	5,15	5,20	9,80	5.306	5.491
17a	15,10	15,10	15,10	25,00	6.040	5,30	5,25	5,28	10,50	5.024	5,05	5,00	5,03	10,80	4.653	4.838	5,25	5,10	5,18	9,00	5.750	5,15	5,00	5,08	9,10	5.577	5.663
18a	15,05	15,05	15,05	24,20	6.219	5,20	5,20	5,20	10,20	5.098	5,05	5,10	5,08	10,00	5.075	5.087	5,20	5,10	5,15	8,80	5.852	5,00	4,85	4,93	9,00	5.472	5.662
19a	15,10	15,10	15,10	24,70	6.113	5,15	5,20	5,18	9,70	5.335	5,20	5,15	5,18	10,10	5.124	5.229	5,05	5,00	5,03	9,70	5.180	5,20	5,20	5,20	10,10	5.149	5.164
20a	15,10	15,10	15,10	23,60	6.398	5,15	5,00	5,08	10,20	4.975	4,85	4,95	4,90	9,60	5.104	5.040	5,00	5,10	5,05	9,50	5.316	5,20	5,20	5,20	9,60	5.417	5.366
21a	15,10	15,10	15,10	24,20	6.240	5,25	5,25	5,25	10,00	5.250	5,20	5,20	5,20	9,80	5.306	5.278	4,65	4,75	4,70	8,70	5.402	5,00	5,15	5,08	8,70	5.833	5.618
22a	15,05	15,00	15,03	24,90	6.034	5,20	5,20	5,20	10,50	4.952	5,25	5,30	5,28	11,20	4.710	4.831	4,90	5,05	4,98	9,20	5.408	5,15	5,25	5,20	8,90	5.843	5.625
23a	15,00	14,90	14,95	24,00	6.229	5,25	5,25	5,25	10,90	4.817	5,20	5,20	5,20	10,50	4.952	4.884	4,85	4,70	4,78	8,50	5.618	5,05	4,90	4,98	8,80	5.653	5.636
24a	15,15	15,20	15,18	25,10	6.046	4,75	4,85	4,80	9,50	5.053	5,00	4,90	4,95	9,80	5.051	5.052	5,00	5,00	5,00	8,90	5.618	5,00	5,05	5,03	9,50	5.289	5.454
25a	15,00	15,10	15,05	24,60	6.118	4,75	4,65	4,70	8,60	5.465	4,65	4,70	4,68	8,70	5.374	5.419	5,10	5,00	5,05	9,60	5.260	5,25	5,20	5,23	10,10	5.173	5.217
M					6.203					5.263					5.081	5.172					5.581					5.481	5.531
Std					141					277					268	245					206					245	191

Tabla 1. Resultados ultrasonidos. Grupo B "0" ciclos.

Prob.	A ₁	A ₂	A _{M1-2}	T _H	VP _H	A _{S2}	A _{S4}	AM _{S2-S4}	T _{F1}	VP _{F1}	A _{I2}	A _{M4}	AM _{I2-H}	T _{F2}	VP _{F2}	VP _{F3}	A _{S1}	A _{S3}	AM _{S1-S3}	T _{L1}	VP _{L1}	A _{I1}	A _{I3}	AM _{I1-I3}	T _{L2}	VP _{L2}	VPL _M
1b	15,20	15,10	15,15	25,40	5.965	5,10	5,15	5,13	10,70	4.790	5,05	5,00	5,03	11,00	4.568	4.679	5,10	5,10	5,10	9,10	5.604	5,00	5,05	5,03	9,10	5.522	5.563
2b	15,15	15,15	15,15	25,20	6.012	5,00	5,05	5,03	9,40	5.346	5,10	5,00	5,05	9,80	5.153	5.249	4,90	5,00	4,95	9,50	5.211	5,00	5,00	5,00	10,70	4.673	4.942
3b	15,15	15,15	15,15	24,00	6.313	5,25	5,30	5,28	9,40	5.612	5,20	5,25	5,23	9,90	5.278	5.445	5,10	5,05	5,08	9,60	5.286	5,20	5,10	5,15	9,90	5.202	5.244
4b	15,00	15,00	15,00	26,00	5.769	4,95	4,80	4,88	9,00	5.417	4,50	4,60	4,55	9,30	4.892	5.155	4,70	4,60	4,65	9,70	4.794	4,70	4,60	4,65	9,50	4.895	4.844
5b	15,00	15,00	15,00	24,50	6.122	5,20	5,10	5,15	10,00	5.150	5,15	5,30	5,23	10,00	5.225	5.188	5,25	5,20	5,23	10,10	5.173	5,25	5,30	5,28	10,10	5.223	5.198
6b	15,00	15,00	15,00	24,70	6.073	5,10	5,20	5,15	10,10	5.099	5,30	5,20	5,25	10,40	5.048	5.074	5,20	5,20	5,20	10,30	5.049	5,25	5,25	5,25	10,70	4.907	4.978
7b	15,15	15,05	15,10	24,30	6.214	5,20	5,15	5,18	10,10	5.124	5,15	5,10	5,13	10,40	4.928	5.026	5,20	5,30	5,25	9,80	5.357	5,15	5,30	5,23	10,40	5.024	5.191
8b	15,00	15,00	15,00	25,20	5.952	5,05	5,00	5,03	9,70	5.180	5,15	5,25	5,20	10,30	5.049	5.114	5,20	5,20	5,20	9,60	5.417	5,25	5,30	5,28	10,70	4.930	5.173
9b	15,10	15,10	15,10	24,40	6.189	5,05	4,95	5,00	9,40	5.319	5,10	5,15	5,13	10,30	4.976	5.147	4,95	4,95	4,95	9,70	5.103	5,00	5,00	5,00	10,20	4.902	5.003
10b	15,05	15,10	15,08	26,30	5.732	4,60	4,50	4,55	8,80	5.170	4,60	4,60	4,60	8,90	5.169	5.169	5,00	5,05	5,03	9,80	5.128	5,05	5,10	5,08	10,50	4.833	4.980
11b	15,10	15,10	15,10	25,20	5.992	4,95	5,05	5,00	9,70	5.155	5,00	4,90	4,95	10,40	4.760	4.957	4,65	4,75	4,70	9,50	4.947	4,75	4,85	4,80	9,90	4.848	4.898
12b	15,15	15,15	15,15	25,40	5.965	4,95	4,95	4,95	9,20	5.380	5,05	5,00	5,03	9,80	5.128	5.254	4,70	4,75	4,73	9,40	5.027	4,80	4,90	4,85	10,80	4.491	4.759
13b	15,05	15,05	15,05	23,80	6.324	5,30	5,12	5,21	9,00	5.786	5,05	5,20	5,13	9,10	5.632	5.709	5,25	5,25	5,25	9,90	5.303	5,10	5,15	5,13	9,80	5.230	5.266
14b	15,20	15,15	15,18	25,40	5.974	5,00	4,90	4,95	9,50	5.211	4,95	5,05	5,00	9,90	5.051	5.131	5,00	5,00	5,00	10,10	4.950	5,10	5,05	5,08	10,30	4.927	4.939
15b	15,00	14,90	14,95	25,00	5.980	5,15	5,20	5,18	9,80	5.281	4,90	4,85	4,88	10,20	4.779	5.030	5,00	4,85	4,93	9,50	5.184	5,05	5,00	5,03	9,80	5.128	5.156
16b	15,00	14,90	14,95	25,10	5.956	5,05	5,10	5,08	9,70	5.232	4,95	4,90	4,93	10,90	4.518	4.875	5,05	5,00	5,03	9,90	5.076	5,05	5,05	5,05	9,90	5.101	5.088
17b	14,90	15,00	14,95	25,60	5.840	5,10	5,05	5,08	10,30	4.927	4,85	5,00	4,93	10,30	4.782	4.854	5,10	5,00	5,05	9,20	5.489	5,05	5,05	5,05	9,40	5.372	5.431
18b	15,00	14,90	14,95	24,40	6.127	5,00	4,90	4,95	9,70	5.103	5,00	5,10	5,05	9,10	5.549	5.326	4,80	4,85	4,83	9,20	5.245	4,70	4,75	4,73	9,30	5.081	5.163
19b	15,00	15,00	15,00	24,70	6.073	5,10	5,25	5,18	9,60	5.391	5,32	5,20	5,26	9,70	5.423	5.407	5,10	5,20	5,15	9,90	5.202	5,00	5,05	5,03	10,00	5.025	5.114
20b	14,90	14,85	14,88	25,50	5.833	5,00	4,90	4,95	9,70	5.103	5,00	5,00	5,00	10,80	4.630	4.866	4,70	4,75	4,73	9,60	4.922	4,70	4,70	4,70	9,70	4.845	4.884
21b	15,15	15,10	15,13	25,50	5.931	4,90	5,00	4,95	9,70	5.103	5,05	4,95	5,00	10,10	4.950	5.027	5,10	5,05	5,08	9,80	5.179	5,10	5,15	5,13	10,20	5.025	5.102
22b	15,00	15,05	15,03	25,30	5.939	5,00	4,95	4,98	10,10	4.926	5,05	5,10	5,08	9,60	5.286	5.106	5,05	5,00	5,03	9,80	5.128	5,05	5,05	5,05	10,10	5.000	5.064
23b	15,20	15,10	15,15	25,20	6.012	5,10	5,10	5,10	9,60	5.313	5,00	5,00	5,00	9,80	5.102	5.207	5,00	5,05	5,03	9,40	5.346	4,85	4,95	4,90	9,70	5.052	5.199
24b	15,10	15,15	15,13	24,90	6.074	5,05	4,90	4,98	9,50	5.237	5,10	5,15	5,13	9,90	5.177	5.207	5,15	5,05	5,10	9,70	5.258	5,30	5,25	5,28	10,60	4.976	5.117
25b	15,10	15,10	15,10	24,30	6.214	5,15	5,05	5,10	9,60	5.313	4,85	4,90	4,88	9,90	4.924	5.118	5,00	5,10	5,05	9,70	5.206	4,80	4,90	4,85	9,30	5.215	5.211
M					6.023					5.227					5.039	5.133					5.183					5.017	5.100
Std					153					209					282	212					184					215	181

ESTUDIO DE ELEMENTOS ARQUITECTÓNICOS Y COMPOSICIÓN DE MATERIALES DEL PATIO DE LOS LEONES. INTERACCIONES EN SUS CAUSAS DE DETERIORO

Tabla 1. Resultados ultrasonidos. Grupo C "0" ciclos.

Prob.	A ₁	A ₂	AM _{I-2}	T _H	VP _H	A _{S2}	A _{S4}	AM _{S2-S4}	T _{F1}	VP _{F1}	A _{I2}	A _{I4}	AM _{I2-I4}	T _{F2}	VP _{F2}	VPF _M	A _{S1}	A _{S3}	AM _{S1-S3}	T _{L1}	VP _{L1}	A _{I1}	A _{I3}	AM _{I1-I3}	T _{L2}	VP _{L2}	VPL _M
1c	15,05	15,05	15,05	25,00	6,020	4,90	4,90	4,90	10,70	4,579	5,00	5,00	5,00	10,20	4,902	4,741	4,90	5,05	4,98	9,20	5,408	4,90	5,00	4,95	8,80	5,625	5,516
2c	15,05	15,00	15,03	26,20	5,735	5,10	5,10	5,10	9,80	5,204	5,05	5,05	5,05	11,10	4,550	4,877	5,00	5,00	5,00	10,40	4,808	5,10	5,05	5,08	11,50	4,413	4,610
3c	15,10	15,10	15,10	24,60	6,138	5,00	5,00	5,00	9,20	5,435	5,20	5,25	5,23	9,60	5,443	5,439	5,25	5,15	5,20	9,80	5,306	5,05	5,05	5,05	10,20	4,951	5,129
4c	15,10	15,05	15,08	25,40	5,935	5,20	5,10	5,15	9,90	5,202	5,10	5,20	5,15	9,90	5,202	5,202	5,05	5,05	5,05	9,80	5,153	5,30	5,30	5,30	10,20	5,196	5,175
5c	15,00	15,00	15,00	26,60	5,639	5,15	5,10	5,13	10,30	4,976	5,10	5,20	5,15	10,80	4,769	4,872	5,25	5,15	5,20	11,40	4,561	5,20	5,20	5,20	11,50	4,522	4,542
6c	15,00	15,05	15,03	25,50	5,892	5,00	5,00	5,00	9,80	5,102	5,05	5,05	5,05	9,50	5,316	5,209	5,00	5,00	5,00	9,90	5,051	5,00	5,00	5,00	10,00	5,000	5,025
7c	15,10	15,05	15,08	25,10	6,006	5,20	5,10	5,15	9,50	5,421	5,15	5,30	5,23	9,70	5,387	5,404	4,95	5,00	4,98	9,80	5,077	4,90	4,90	4,90	10,10	4,851	4,964
8c	15,00	14,90	14,95	25,60	5,840	5,30	5,25	5,28	9,90	5,328	5,10	5,15	5,13	10,70	4,790	5,059	5,00	4,90	4,95	9,80	5,051	5,00	5,00	5,00	10,30	4,854	4,953
9c	14,95	15,00	14,98	27,00	5,546	5,00	5,10	5,05	10,20	4,951	5,25	5,10	5,18	11,10	4,662	4,807	5,00	5,10	5,05	10,90	4,633	5,10	5,25	5,18	11,40	4,539	4,586
10c	15,05	15,10	15,08	25,30	5,958	5,00	5,05	5,03	9,00	5,583	4,90	4,90	4,90	9,70	5,052	5,317	4,70	4,75	4,73	9,70	4,871	4,60	4,70	4,65	9,60	4,844	4,857
11c	15,00	15,10	15,05	27,40	5,493	5,15	5,20	5,18	10,10	5,124	5,25	5,15	5,20	10,90	4,771	4,947	5,10	5,15	5,13	11,10	4,617	5,20	5,25	5,23	11,80	4,428	4,523
12c	15,01	15,10	15,05	25,30	5,950	4,85	4,80	4,83	9,20	5,245	5,00	5,00	5,00	9,90	5,051	5,148	4,65	4,70	4,68	9,30	5,027	4,75	4,75	4,75	10,10	4,703	4,865
13c	15,20	15,20	15,20	26,00	5,846	5,10	5,00	5,05	9,90	5,101	5,00	5,00	5,00	10,30	4,854	4,978	5,10	5,10	5,10	9,90	5,152	5,00	5,00	5,00	10,20	4,902	5,027
14c	15,10	15,10	15,10	24,40	6,189	4,85	4,90	4,88	8,90	5,478	5,00	5,00	5,00	9,70	5,155	5,316	5,05	5,05	5,05	9,60	5,260	5,20	5,25	5,23	9,90	5,278	5,269
15c	15,05	15,05	15,05	24,20	6,219	4,80	4,90	4,85	9,10	5,330	5,15	5,05	5,10	9,10	5,604	5,467	5,10	5,10	5,10	9,70	5,258	5,00	4,95	4,98	10,50	4,738	4,998
16c	15,05	15,05	15,05	23,90	6,297	4,70	4,65	4,68	8,50	5,500	4,90	5,00	4,95	8,90	5,562	5,531	4,95	4,95	4,95	9,50	5,211	5,10	5,10	5,10	10,20	5,000	5,105
17c	15,00	15,05	15,03	24,50	6,133	4,85	4,75	4,80	9,00	5,333	5,00	5,10	5,05	9,80	5,153	5,243	5,15	5,10	5,13	10,20	5,025	5,15	5,20	5,18	10,40	4,976	5,000
18c	15,00	15,00	15,00	24,20	6,198	5,00	4,90	4,95	9,00	5,500	4,70	4,80	4,75	9,00	5,278	5,389	5,15	5,15	5,15	10,20	5,049	5,20	5,20	5,20	10,40	5,000	5,025
19c	15,10	15,05	15,08	24,00	6,281	4,75	4,80	4,78	8,70	5,489	4,70	4,60	4,65	8,60	5,407	5,448	5,10	5,10	5,10	10,40	4,904	5,20	5,15	5,18	10,20	5,074	4,989
20c	15,10	15,10	15,10	24,30	6,214	5,00	5,10	5,05	9,20	5,489	5,20	5,10	5,15	9,70	5,309	5,399	5,10	5,10	5,10	10,40	4,904	5,20	5,15	5,18	10,20	5,074	4,989
21c	15,05	15,00	15,03	25,00	6,010	5,10	5,05	5,08	9,50	5,342	4,95	5,05	5,00	9,50	5,263	5,303	4,75	4,80	4,78	10,40	4,591	4,65	4,70	4,68	9,20	5,082	4,836
22c	15,10	15,10	15,10	25,50	5,922	5,00	5,00	5,00	9,90	5,051	5,05	5,00	5,03	9,80	5,128	5,089	5,00	4,95	4,98	10,20	4,877	5,00	5,00	5,00	10,80	4,630	4,754
23c	15,10	15,01	15,05	25,20	5,973	5,00	5,00	5,00	9,60	5,208	5,05	5,05	5,05	10,00	5,050	5,129	4,95	5,05	5,00	9,90	5,051	4,90	4,95	4,93	10,40	4,736	4,893
24c	15,10	15,10	15,10	25,20	5,992	5,00	5,00	5,00	10,20	4,902	4,85	4,80	4,83	9,20	5,245	5,073	5,00	5,00	5,00	10,40	4,808	5,00	5,00	5,00	10,80	4,630	4,719
25c	15,00	15,05	15,03	25,70	5,846	4,90	4,90	4,90	9,50	5,158	5,00	5,00	5,00	10,00	5,000	5,079	4,70	4,65	4,68	9,50	4,921	4,70	4,75	4,73	10,00	4,725	4,823
M					5,971					5,241					5,116	5,179					4,983					4,871	4,927
Std					216					236					279	224					230					280	231

Tabla 1. Resultados ultrasonidos. Grupo A “50” ciclos.

Prob.	A ₁	A ₂	AM ₁₋₂	T _H	VP _H	A _{S2}	A _{S4}	AM _{S2-S4}	T _{F1}	VP _{F1}	A _{I2}	A _{I4}	AM _{I2-I4}	T _{F2}	VP _{F2}	VP _{F3}	A _{S1}	A _{S3}	AM _{S1-S3}	T _{L1}	VP _{L1}	A _{I1}	A _{I3}	AM _{I1-I3}	T _{L2}	VP _{L2}	VP _{L3}	
1a	15,10	15,10	15,10			5,15	5,15	5,15			5,25	5,25	5,25				4,85	5,05	4,95			5,25	5,10	5,18				
2a	14,90	15,00	14,95			4,80	4,90	4,85			5,15	5,25	5,20				5,20	5,20	5,20			5,20	5,20	5,20				
3a	15,20	15,10	15,15			5,30	5,40	5,35			5,30	5,40	5,35				5,20	5,20	5,20			5,15	5,20	5,18				
4a	15,00	15,00	15,00			5,30	5,35	5,33			5,20	5,20	5,20				5,25	5,15	5,20			5,00	5,10	5,05				
5a	14,90	15,00	14,95			5,20	5,30	5,25			5,20	5,20	5,20				5,20	5,10	5,15			5,05	5,15	5,10				
6a	15,10	15,10	15,10	40,00	3.775	5,20	5,10	5,15	16,70	3.084	5,30	5,15	5,23	16,30	3205,52	3.145	5,30	5,25	5,28	23,20	2.274	5,30	5,25	5,28	24,60	2.144	2.209	
7a	15,10	15,15	15,13	43,60	3.469	5,20	5,15	5,18	23,00	2.250	5,30	5,30	5,30	24,20	2190,08	2.220	5,40	5,60	5,50	18,80	2.926	5,40	5,20	5,30	18,30	2.896	2.911	
8a	15,00	15,05	15,03	43,40	3.462	5,10	5,25	5,18	18,60	2.782	5,00	5,15	5,08	17,70	2867,23	2.825	5,25	5,20	5,23	24,60	2.124	5,20	5,10	5,15	24,20	2.128	2.126	
9a	15,00	15,05	15,03	42,80	3.511	5,45	5,25	5,35	18,20	2.940	5,35	5,20	5,28	17,20	3066,86	3.003	5,15	5,20	5,18	25,10	2.062	5,35	5,30	5,33	26,00	2.048	2.055	
10a	15,10	15,10	15,10	42,60	3.545	5,25	5,25	5,25	23,30	2.253	5,15	5,15	5,15	23,10	2229,44	2.241	5,10	5,20	5,15	17,60	2.926	5,00	4,85	4,93	17,50	2.814	2.870	
11a	15,20	15,10	15,15	43,50	3.483	5,00	4,85	4,93	16,50	2.985	4,85	4,70	4,78	16,40	2911,59	2.948	5,15	5,10	5,13	22,20	2.309	5,25	5,25	5,25	22,60	2.323	2.316	
12a	15,05	15,05	15,05	39,80	3.781	5,00	4,95	4,98	20,30	2.451	5,20	5,10	5,15	22,30	2309,42	2.380	4,70	4,85	4,78	15,50	3.081	5,00	4,80	4,90	16,90	2.899	2.990	
13a	15,10	15,10	15,10	43,60	3.463	4,80	4,85	4,83	15,50	3.113	4,90	5,00	4,95	15,90	3113,21	3.113	5,20	5,15	5,18	22,10	2.342	4,85	5,00	4,93	22,20	2.218	2.280	
14a	15,10	15,00	15,05	44,80	3.359	5,20	5,30	5,25	16,60	3.163	4,80	4,90	4,85	17,70	2740,11	2.951	5,00	5,05	5,03	23,80	2.111	5,05	5,00	5,03	26,70	1.882	1.997	
15a	15,05	15,10	15,08	42,10	3.581	5,00	5,20	5,10	17,00	3.000	5,10	5,25	5,18	16,80	3080,36	3.040	5,20	5,20	5,20	23,00	2.261	5,25	5,25	5,25	24,50	2.143	2.202	
16a	15,05	15,10	15,08	43,80	3.442	4,90	4,75	4,83	16,90	2.855	5,25	5,15	5,20	18,30	2841,53	2.848	5,20	5,20	5,20	22,40	2.321	5,30	5,25	5,28	23,90	2.207	2.264	
17a	15,10	15,10	15,10	45,40	3.326	5,25	5,10	5,18	17,60	2.940	5,15	5,00	5,08	17,10	2967,84	2.954	5,30	5,25	5,28	24,60	2.144	5,05	5,00	5,03	24,60	2.043	2.093	
18a	15,05	15,05	15,05	44,80	3.359	5,20	5,10	5,15	18,00	2.861	5,00	4,85	4,93	18,00	2736,11	2.799	5,20	5,20	5,20	25,50	2.039	5,05	5,10	5,08	24,40	2.080	2.060	
19a	15,10	15,10	15,10	43,90	3.440	5,05	5,00	5,03	21,50	2.337	5,20	5,20	5,20	22,00	2363,64	2.350	5,15	5,20	5,18	17,40	2.974	5,20	5,15	5,18	17,50	2.957	2.966	
20a	15,10	15,10	15,10	41,20	3.665	5,00	5,10	5,05	21,70	2.327	5,20	5,20	5,20	23,60	2203,39	2.265	5,15	5,00	5,08	17,70	2.867	4,85	4,95	4,90	17,30	2.832	2.850	
21a	15,10	15,10	15,10	39,70	3.804	4,65	4,75	4,70	16,10	2.919	5,00	5,15	5,08	16,80	3020,83	2.970	5,25	5,25	5,25	21,60	2.431	5,20	5,20	5,20	20,80	2.500	2.465	
22a	15,05	15,00	15,03	44,60	3.369	4,90	5,05	4,98	17,60	2.827	5,15	5,25	5,20	17,60	2954,55	2.891	5,20	5,20	5,20	24,60	2.114	5,25	5,30	5,28	24,60	2.144	2.129	
23a	15,00	14,90	14,95	43,80	3.413	4,85	4,70	4,78	16,80	2.842	5,05	4,90	4,98	16,20	3070,99	2.957	5,25	5,25	5,25	21,70	2.419	5,20	5,20	5,20	23,80	2.185	2.302	
24a	15,15	15,20	15,18	42,70	3.554	5,00	5,00	5,00	15,90	3.145	5,00	5,05	5,03	17,40	2887,93	3.016	4,75	4,85	4,80	20,60	2.330	5,00	4,90	4,95	20,80	2.380	2.355	
25a	15,00	15,10	15,05	45,30	3.322	5,10	5,00	5,05	23,00	2.196	5,25	5,20	5,23	22,80	2291,67	2.244	4,75	4,65	4,70	16,90	2.781	4,65	4,70	4,68	17,20	2.718	2.750	
M					3.506					2.763					2.753	2.758					2.442					2.377	2.409	
Std					149					330					349	331					347					346	344	

ESTUDIO DE ELEMENTOS ARQUITECTÓNICOS Y COMPOSICIÓN DE MATERIALES DEL PATIO DE LOS LEONES. INTERACCIONES EN SUS CAUSAS DE DETERIORO

Tabla 1. Resultados ultrasonidos. Grupo B "50" ciclos.

Prob.	A ₁	A ₂	AM ₁₋₂	T _H	VP _H	AS ₂	AS ₄	AM _{S2-S4}	T _{F1}	VP _{F1}	A ₁₂	A ₁₄	AM ₁₂₋₁₄	T _{F2}	VP _{F2}	VPF _M	AS ₁	AS ₃	AM _{S1-S3}	T _{L1}	VP _{L1}	A ₁₁	A ₁₃	AM ₁₁₋₁₃	T _{L2}	VP _{L2}	VPL _M
1b	15,20	15,10	15,15			5,10	5,15	5,13			5,05	5,00	5,03				5,10	5,10	5,10			5,00	5,05	5,03			
2b	15,15	15,15	15,15			5,00	5,05	5,03			5,10	5,00	5,05				4,90	5,00	4,95			5,00	5,00	5,00			
3b	15,15	15,15	15,15			5,25	5,30	5,28			5,20	5,25	5,23				5,10	5,05	5,08			5,20	5,10	5,15			
4b	15,00	15,00	15,00			4,95	4,80	4,88			4,50	4,60	4,55				4,70	4,60	4,65			4,70	4,60	4,65			
5b	15,00	15,00	15,00			5,20	5,10	5,15			5,15	5,30	5,23				5,25	5,20	5,23			5,25	5,30	5,28			
6b	15,00	15,00	15,00	51,80	2.896	5,10	5,20	5,15	22,50	2.289	5,30	5,20	5,25	22,90	2.293	2.291	5,20	5,20	5,20	27,30	1.905	5,25	5,25	5,25	27,90	1.882	1.893
7b	15,15	15,05	15,10	45,60	3.311	5,20	5,15	5,18	18,30	2.828	5,15	5,10	5,13	19,00	2.697	2.763	5,20	5,30	5,25	24,30	2.160	5,15	5,30	5,23	24,60	2.124	2.142
8b	15,00	15,00	15,00	52,80	2.841	5,05	5,00	5,03	19,60	2.564	5,15	5,25	5,20	21,30	2.441	2.503	5,20	5,20	5,20	24,50	2.122	5,25	5,30	5,28	27,10	1.946	2.034
9b	15,10	15,10	15,10	48,30	3.126	5,05	4,95	5,00	18,70	2.674	5,10	5,15	5,13	19,70	2.602	2.638	4,95	4,95	4,95	26,90	1.840	5,00	5,00	5,00	28,60	1.748	1.794
10b	15,05	15,10	15,08	47,70	3.160	4,60	4,50	4,55	17,20	2.645	4,60	4,60	4,60	17,00	2.706	2.676	5,00	5,05	5,03	23,60	2.129	5,05	5,10	5,08	24,00	2.115	2.122
11b	15,10	15,10	15,10	43,00	3.512	4,95	5,05	5,00	17,50	2.857	5,00	4,90	4,95	17,70	2.797	2.827	4,65	4,75	4,70	22,50	2.089	4,75	4,85	4,80	22,00	2.182	2.135
12b	15,15	15,15	15,15	48,00	3.156	4,95	4,95	4,95	18,60	2.661	5,05	5,00	5,03	17,90	2.807	2.734	4,70	4,75	4,73	22,80	2.072	4,80	4,90	4,85	21,20	2.288	2.180
13b	15,05	15,05	15,05	47,00	3.202	5,30	5,12	5,21	17,80	2.926	5,05	5,20	5,13	19,20	2.669	2.797	5,25	5,25	5,25	23,80	2.206	5,10	5,15	5,13	24,80	2.067	2.136
14b	15,20	15,15	15,18	43,80	3.465	5,00	4,90	4,95	20,50	2.415	4,95	5,05	5,00	19,50	2.564	2.489	5,00	5,00	5,00	25,00	2.000	5,10	5,05	5,08	24,70	2.055	2.027
15b	15,00	14,90	14,95	42,50	3.518	5,15	5,20	5,18	17,90	2.891	4,90	4,85	4,88	17,40	2.802	2.846	5,00	4,85	4,93	21,80	2.259	5,05	5,00	5,03	20,90	2.404	2.332
16b	15,00	14,90	14,95	43,10	3.469	5,05	5,10	5,08	17,10	2.968	4,95	4,90	4,93	18,60	2.648	2.808	5,05	5,00	5,03	24,00	2.094	5,05	5,05	5,05	22,30	2.265	2.179
17b	14,90	15,00	14,95	38,90	3.843	5,10	5,05	5,08	23,20	2.188	4,85	5,00	4,93	22,00	2.239	2.213	5,10	5,00	5,05	17,60	2.869	5,05	5,05	5,05	16,70	3.024	2.947
18b	15,00	14,90	14,95	37,20	4.019	5,00	4,90	4,95	15,40	3.214	5,00	5,10	5,05	15,40	3.279	3.247	4,80	4,85	4,83	17,30	2.789	4,70	4,75	4,73	17,60	2.685	2.737
19b	15,00	15,00	15,00	39,20	3.827	5,10	5,25	5,18	17,00	3.044	5,32	5,20	5,26	16,80	3.131	3.088	5,10	5,20	5,15	21,00	2.452	5,00	5,05	5,03	21,40	2.348	2.400
20b	14,90	14,85	14,88	39,20	3.795	5,00	4,90	4,95	17,60	2.813	5,00	5,00	5,00	18,20	2.747	2.780	4,70	4,75	4,73	22,90	2.063	4,70	4,70	4,70	20,30	2.315	2.189
21b	15,15	15,10	15,13	44,60	3.391	4,90	5,00	4,95	20,00	2.475	5,05	4,95	5,00	21,90	2.283	2.379	5,10	5,05	5,08	21,70	2.339	5,10	5,15	5,13	23,30	2.200	2.269
22b	15,00	15,05	15,03	38,70	3.882	5,00	4,95	4,98	20,00	2.488	5,05	5,10	5,08	15,70	3.232	2.860	5,05	5,00	5,03	22,90	2.194	5,05	5,05	5,05	24,00	2.104	2.149
23b	15,20	15,10	15,15	40,70	3.722	5,10	5,10	5,10	14,80	3.446	5,00	5,00	5,00	15,80	3.165	3.305	5,00	5,05	5,03	17,60	2.855	4,85	4,95	4,90	17,00	2.882	2.869
24b	15,10	15,15	15,13	40,80	3.707	5,05	4,90	4,98	14,10	3.528	5,10	5,15	5,13	18,00	2.847	3.188	5,15	5,05	5,10	18,00	2.833	5,30	5,25	5,28	23,60	2.235	2.534
25b	15,10	15,10	15,10	41,90	3.604	5,15	5,05	5,10	20,40	2.500	4,85	4,90	4,88	17,40	2.802	2.651	5,00	5,10	5,05	23,40	2.158	4,80	4,90	4,85	22,30	2.175	2.167
M					3.472					2.771					2.738	2.754					2.272					2.252	2.262
Std					334					356					300	298					319					312	302

ESTUDIO DE ELEMENTOS ARQUITECTÓNICOS Y COMPOSICIÓN DE MATERIALES DEL PATIO DE LOS LEONES. INTERACCIONES EN SUS CAUSAS DE DETERIORO

Tabla 1. Resultados ultrasonidos. Grupo A "200" ciclos.

Prob.	A ₁	A ₂	A _{M1-2}	T _H	VP _H	A _{S2}	A _{S4}	AM _{S2-S4}	T _{F1}	VP _{F1}	A _{I2}	A _{I4}	AM _{I2-I4}	T _{F2}	VP _{F2}	VPF _M	A _{S1}	A _{S3}	AM _{S1-S3}	T _{L1}	VP _{L1}	A _{I1}	A _{I3}	AM _{I1-I3}	T _{L2}	VP _{L2}	VPL _M
1a	15,10	15,10	15,10			5,15	5,15	5,15			5,25	5,25	5,25				4,85	5,05	4,95			5,25	5,10	5,18			
2a	14,90	15,00	14,95			4,80	4,90	4,85			5,15	5,25	5,20				5,20	5,20	5,20			5,20	5,20	5,20			
3a	15,20	15,10	15,15			5,30	5,40	5,35			5,30	5,40	5,35				5,20	5,20	5,20			5,15	5,20	5,18			
4a	15,00	15,00	15,00			5,30	5,35	5,33			5,20	5,20	5,20				5,25	5,15	5,20			5,00	5,10	5,05			
5a	14,90	15,00	14,95			5,20	5,30	5,25			5,20	5,20	5,20				5,20	5,10	5,15			5,05	5,15	5,10			
6a	15,10	15,10	15,10			5,20	5,10	5,15			5,30	5,15	5,23				5,30	5,25	5,28			5,30	5,25	5,28			
7a	15,10	15,15	15,13			5,20	5,15	5,18			5,30	5,30	5,30				5,40	5,60	5,50			5,40	5,20	5,30			
8a	15,00	15,05	15,03			5,10	5,25	5,18			5,00	5,15	5,08				5,25	5,20	5,23			5,20	5,10	5,15			
9a	15,00	15,05	15,03			5,45	5,25	5,35			5,35	5,20	5,28				5,15	5,20	5,18			5,35	5,30	5,33			
10a	15,10	15,10	15,10			5,25	5,25	5,25			5,15	5,15	5,15				5,10	5,20	5,15			5,00	4,85	4,93			
11a	15,20	15,10	15,15			5,00	4,85	4,93			4,85	4,70	4,78				5,15	5,10	5,13			5,25	5,25	5,25			
12a	15,05	15,05	15,05			5,00	4,95	4,98			5,20	5,10	5,15				4,70	4,85	4,78			5,00	4,80	4,90			
13a	15,10	15,10	15,10			4,80	4,85	4,83			4,90	5,00	4,95				5,20	5,15	5,18			4,85	5,00	4,93			
14a	15,10	15,00	15,05			5,20	5,30	5,25			4,80	4,90	4,85				5,00	5,05	5,03			5,05	5,00	5,03			
15a	15,05	15,10	15,08			5,00	5,20	5,10			5,10	5,25	5,18				5,20	5,20	5,20			5,25	5,25	5,25			
16a	15,05	15,10	15,08			4,90	4,75	4,83			5,25	5,15	5,20				5,20	5,20	5,20			5,30	5,25	5,28			
17a	15,10	15,10	15,10			5,25	5,10	5,18			5,15	5,00	5,08				5,30	5,25	5,28			5,05	5,00	5,03			
18a	15,05	15,05	15,05			5,20	5,10	5,15			5,00	4,85	4,93				5,20	5,20	5,20			5,05	5,10	5,08			
19a	15,10	15,10	15,10			5,05	5,00	5,03			5,20	5,20	5,20				5,15	5,20	5,18			5,20	5,15	5,18			
20a	15,10	15,10	15,10			5,00	5,10	5,05			5,20	5,20	5,20				5,15	5,00	5,08			4,85	4,95	4,90			
21a	15,10	15,10	15,10	39,90	3,784	4,65	4,75	4,70	13,40	3,507	5,00	5,15	5,08	14,70	3,452	3,480	5,25	5,25	5,25	19,70	2,665	5,20	5,20	5,20	20,10	2,587	2,626
22a	15,05	15,00	15,03	42,70	3,519	4,90	5,05	4,98	15,30	3,252	5,15	5,25	5,20	15,80	3,291	3,271	5,20	5,20	5,20	24,10	2,158	5,25	5,30	5,28	25,00	2,110	2,134
23a	15,00	14,90	14,95	39,20	3,814	4,85	4,70	4,78	14,30	3,339	5,05	4,90	4,98	15,70	3,169	3,254	5,25	5,25	5,25	24,20	2,169	5,20	5,20	5,20	23,60	2,203	2,186
24a	15,15	15,20	15,18	41,80	3,630	5,00	5,00	5,00	15,20	3,289	5,00	5,05	5,03	16,70	3,009	3,149	4,75	4,85	4,80	22,10	2,172	5,00	4,90	4,95	20,50	2,415	2,293
25a	15,00	15,10	15,05	41,70	3,609	5,10	5,00	5,05	20,10	2,512	5,25	5,20	5,23	23,10	2,262	2,387	4,75	4,65	4,70	16,20	2,901	4,65	4,70	4,68	17,60	2,656	2,779
M					3,671					3,180					3,037	3,108					2,413					2,394	2,535
Std					124					386					463	421					348					236	259

Tabla I. Resultados ultrasonidos. Grupo B “200” ciclos.

Prob.	A ₁	A ₂	A _{M1-2}	T _H	VP _H	A _{S2}	A _{S4}	A _{MS2-S4}	T _{F1}	VP _{F1}	A _{I2}	A _{I4}	A _{MI2-I4}	T _{F2}	VP _{F2}	VPF _M	A _{S1}	A _{S3}	A _{MS1-S3}	T _{L1}	VP _{L1}	A _{I1}	A _{I3}	A _{MI1-I3}	T _{L2}	VP _{L2}	VPL _M
1b	15,20	15,10	15,15			5,10	5,15	5,13			5,05	5,00	5,03				5,10	5,10	5,10			5,00	5,05	5,03			
2b	15,15	15,15	15,15			5,00	5,05	5,03			5,10	5,00	5,05				4,90	5,00	4,95			5,00	5,00	5,00			
3b	15,15	15,15	15,15			5,25	5,30	5,28			5,20	5,25	5,23				5,10	5,05	5,08			5,20	5,10	5,15			
4b	15,00	15,00	15,00			4,95	4,80	4,88			4,50	4,60	4,55				4,70	4,60	4,65			4,70	4,60	4,65			
5b	15,00	15,00	15,00			5,20	5,10	5,15			5,15	5,30	5,23				5,25	5,20	5,23			5,25	5,30	5,28			
6b	15,00	15,00	15,00			5,10	5,20	5,15			5,30	5,20	5,25				5,20	5,20	5,20			5,25	5,25	5,25			
7b	15,15	15,05	15,10			5,20	5,15	5,18			5,15	5,10	5,13				5,20	5,30	5,25			5,15	5,30	5,23			
8b	15,00	15,00	15,00			5,05	5,00	5,03			5,15	5,25	5,20				5,20	5,20	5,20			5,25	5,30	5,28			
9b	15,10	15,10	15,10			5,05	4,95	5,00			5,10	5,15	5,13				4,95	4,95	4,95			5,00	5,00	5,00			
10b	15,05	15,10	15,08			4,60	4,50	4,55			4,60	4,60	4,60				5,00	5,05	5,03			5,05	5,10	5,08			
11b	15,10	15,10	15,10			4,95	5,05	5,00			5,00	4,90	4,95				4,65	4,75	4,70			4,75	4,85	4,80			
12b	15,15	15,15	15,15			4,95	4,95	4,95			5,05	5,00	5,03				4,70	4,75	4,73			4,80	4,90	4,85			
13b	15,05	15,05	15,05			5,30	5,12	5,21			5,05	5,20	5,13				5,25	5,25	5,25			5,10	5,15	5,13			
14b	15,20	15,15	15,18			5,00	4,90	4,95			4,95	5,05	5,00				5,00	5,00	5,00			5,10	5,05	5,08			
15b	15,00	14,90	14,95			5,15	5,20	5,18			4,90	4,85	4,88				5,00	4,85	4,93			5,05	5,00	5,03			
16b	15,00	14,90	14,95			5,05	5,10	5,08			4,95	4,90	4,93				5,05	5,00	5,03			5,05	5,05	5,05			
17b	14,90	15,00	14,95			5,10	5,05	5,08			4,85	5,00	4,93				5,10	5,00	5,05			5,05	5,05	5,05			
18b	15,00	14,90	14,95			5,00	4,90	4,95			5,00	5,10	5,05				4,80	4,85	4,83			4,70	4,75	4,73			
19b	15,00	15,00	15,00			5,10	5,25	5,18			5,32	5,20	5,26				5,10	5,20	5,15			5,00	5,05	5,03			
20b	14,90	14,85	14,88			5,00	4,90	4,95			5,00	5,00	5,00				4,70	4,75	4,73			4,70	4,70	4,70			
21b	15,15	15,10	15,13	42,40	3.567	4,90	5,00	4,95	21,30	2.324	5,05	4,95	5,00	19,30	2.591	2.457	5,10	5,05	5,08	19,20	2.643	5,10	5,15	5,13	22,70	2.258	2.450
22b	15,00	15,05	15,03	38,90	3.862	5,00	4,95	4,98	18,60	2.675	5,05	5,10	5,08	15,90	3.192	2.933	5,05	5,00	5,03	19,60	2.564	5,05	5,05	5,05	21,30	2.371	2.467
23b	15,20	15,10	15,15	41,10	3.686	5,10	5,10	5,10	16,30	3.129	5,00	5,00	5,00	15,50	3.226	3.177	5,00	5,05	5,03	17,20	2.922	4,85	4,95	4,90	18,20	2.692	2.807
24b	15,10	15,15	15,13	41,50	3.645	5,05	4,90	4,98	15,70	3.169	5,10	5,15	5,13	17,10	2.997	3.083	5,15	5,05	5,10	17,70	2.881	5,30	5,25	5,28	23,80	2.216	2.549
25b	15,10	15,10	15,10	42,50	3.553	5,15	5,05	5,10	22,00	2.318	4,85	4,90	4,88	21,00	2.321	2.320	5,00	5,10	5,05	19,30	2.617	4,80	4,90	4,85	20,30	2.389	2.503
M					3.663					2.723					2.865	2.794					2.725					2.385	2.555
Std					124					415					395	383					164					187	146

ESTUDIO DE ELEMENTOS ARQUITECTÓNICOS Y COMPOSICIÓN DE MATERIALES DEL PATIO DE LOS LEONES. INTERACCIONES EN SUS CAUSAS DE DETERIORO

Tabla 1. Resultados ultrasonidos. Grupo C "200" ciclos.

Prob.	A ₁	A ₂	A _{M1-2}	T _H	VP _H	A _{S2}	A _{S4}	AM _{S2-S4}	T _{F1}	VP _{F1}	A _{I2}	A _{I4}	AM _{I2-I4}	T _{F2}	VP _{F2}	VP _{F_M}	A _{S1}	A _{S3}	AM _{S1-S3}	T _{L1}	VP _{L1}	A _{I1}	A _{I3}	AM _{I1-I3}	T _{L2}	VP _{L2}	VPL _M
1c	15,05	15,05	15,05			4,90	4,90	4,90			5,00	5,00	5,00				4,90	5,05	4,98			4,90	5,00	4,95			
2c	15,05	15,00	15,03			5,10	5,10	5,10			5,05	5,05	5,05				5,00	5,00	5,00			5,10	5,05	5,08			
3c	15,10	15,10	15,10			5,00	5,00	5,00			5,20	5,25	5,23				5,25	5,15	5,20			5,05	5,05	5,05			
4c	15,10	15,05	15,08			5,20	5,10	5,15			5,10	5,20	5,15				5,05	5,05	5,05			5,30	5,30	5,30			
5c	15,00	15,00	15,00			5,15	5,10	5,13			5,10	5,20	5,15				5,25	5,15	5,20			5,20	5,20	5,20			
6c	15,00	15,05	15,03			5,00	5,00	5,00			5,05	5,05	5,05				5,00	5,00	5,00			5,00	5,00	5,00			
7c	15,10	15,05	15,08			5,20	5,10	5,15			5,15	5,30	5,23				4,95	5,00	4,98			4,90	4,90	4,90			
8c	15,00	14,90	14,95			5,30	5,25	5,28			5,10	5,15	5,13				5,00	4,90	4,95			5,00	5,00	5,00			
9c	14,95	15,00	14,98			5,00	5,10	5,05			5,25	5,10	5,18				5,00	5,10	5,05			5,10	5,25	5,18			
10c	15,05	15,10	15,08			5,00	5,05	5,03			4,90	4,90	4,90				4,70	4,75	4,73			4,60	4,70	4,65			
11c	15,00	15,10	15,05			5,15	5,20	5,18			5,25	5,15	5,20				5,10	5,15	5,13			5,20	5,25	5,23			
12c	15,01	15,10	15,05			4,85	4,80	4,83			5,00	5,00	5,00				4,65	4,70	4,68			4,75	4,75	4,75			
13c	15,20	15,20	15,20			5,10	5,00	5,05			5,00	5,00	5,00				5,10	5,10	5,10			5,00	5,00	5,00			
14c	15,10	15,10	15,10			4,85	4,90	4,88			5,00	5,00	5,00				5,05	5,05	5,05			5,20	5,25	5,23			
15c	15,05	15,05	15,05			4,80	4,90	4,85			5,15	5,05	5,10				5,10	5,10	5,10			5,00	4,95	4,98			
16c	15,05	15,05	15,05			4,70	4,65	4,68			4,90	5,00	4,95				4,95	4,95	4,95			5,10	5,10	5,10			
17c	15,00	15,05	15,03			4,85	4,75	4,80			5,00	5,10	5,05				5,15	5,10	5,13			5,15	5,20	5,18			
18c	15,00	15,00	15,00			5,00	4,90	4,95			4,70	4,80	4,75				5,15	5,15	5,15			5,20	5,20	5,20			
19c	15,10	15,05	15,08			4,75	4,80	4,78			4,70	4,60	4,65				5,10	5,10	5,10			5,20	5,15	5,18			
20c	15,10	15,10	15,10			5,00	5,10	5,05			5,20	5,10	5,15				5,10	5,10	5,10			5,20	5,15	5,18			
21c	15,05	15,00	15,03	38,30	3.923	5,10	5,05	5,08	16,10	3.152	4,95	5,05	5,00	15,00	3.333	3.243	4,75	4,80	4,78	18,30	2.609	4,65	4,70	4,68	16,00	2.922	2.766
22c	15,10	15,10	15,10	43,40	3.479	5,00	5,00	5,00	19,30	2.591	5,05	5,00	5,03	18,70	2.687	2.639	5,00	4,95	4,98	19,40	2.564	5,00	5,00	5,00	22,50	2.222	2.393
23c	15,10	15,01	15,05	42,40	3.550	5,00	5,00	5,00	17,90	2.793	5,05	5,05	5,05	18,10	2.790	2.792	4,95	5,05	5,00	18,50	2.703	4,90	4,95	4,93	20,90	2.356	2.530
24c	15,10	15,10	15,10	42,40	3.561	5,00	5,00	5,00	17,80	2.809	4,85	4,80	4,83	16,40	2.942	2.876	5,00	5,00	5,00	19,80	2.525	5,00	5,00	5,00	23,40	2.137	2.331
25c	15,00	15,05	15,03	44,30	3.392	4,90	4,90	4,90	18,70	2.620	5,00	5,00	5,00	18,80	2.660	2.640	4,70	4,65	4,68	20,00	2.338	4,70	4,75	4,73	21,40	2.208	2.273
M					3.581					2.793					2.882	2.838					2.548					2.369	2.458
Std					203					224					275	248					135					319	196

ANEXO 5

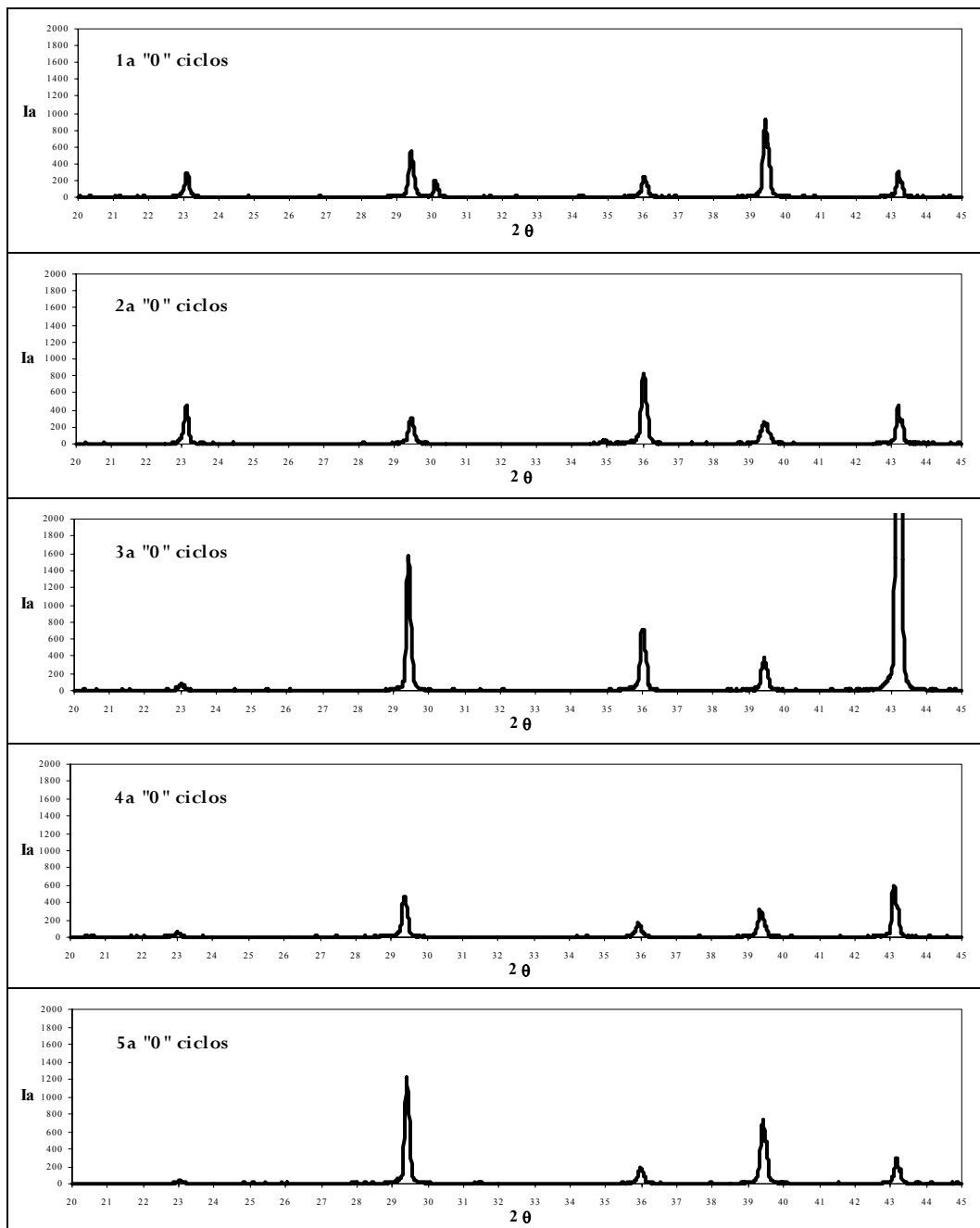


Figura 1. Difractogramas Grupo A "0" ciclos.

ESTUDIO DE ELEMENTOS ARQUITECTÓNICOS Y COMPOSICIÓN DE MATERIALES DEL PATIO DE LOS LEONES.
INTERACCIONES EN SUS CAUSAS DE DETERIORO

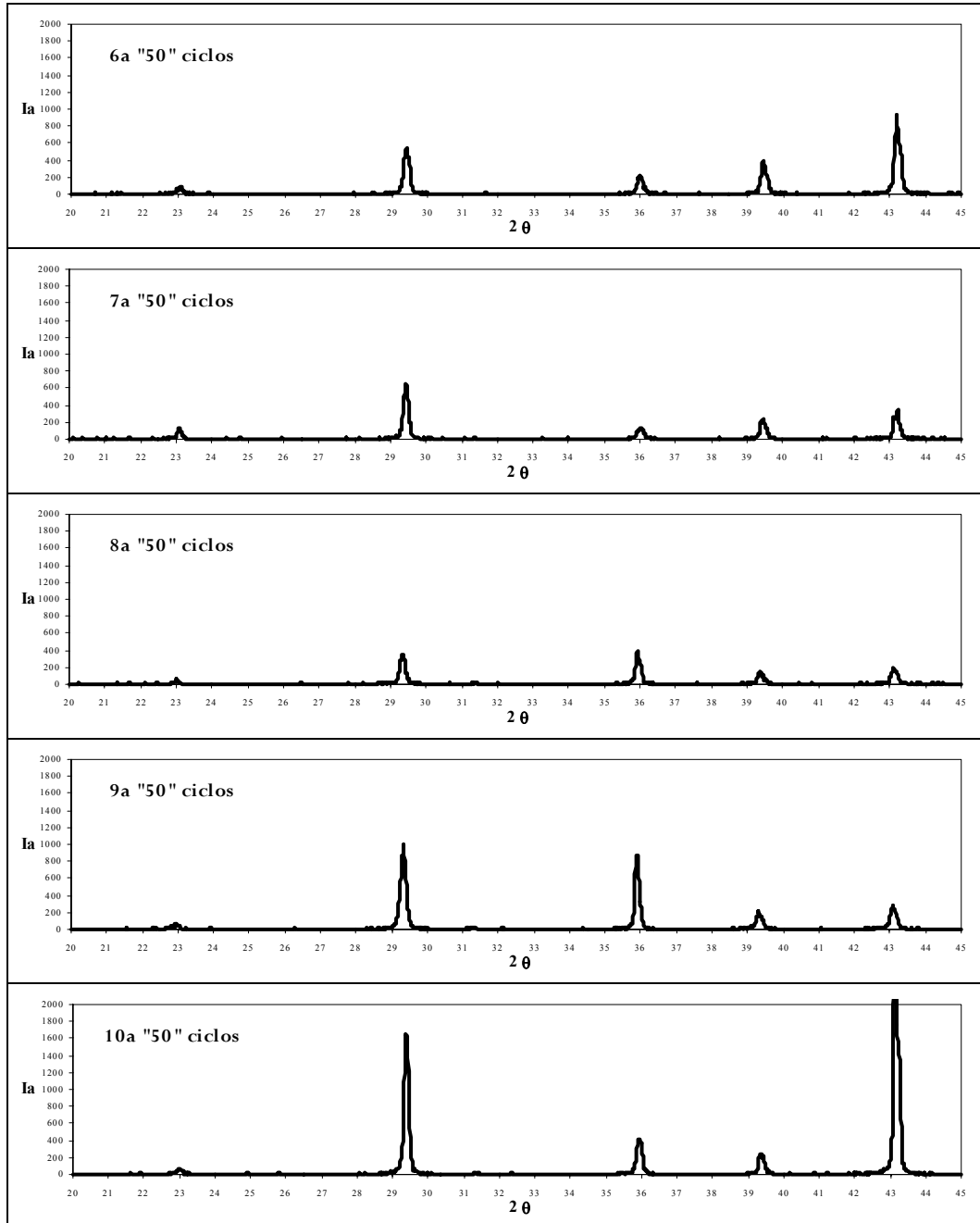


Figura 1. Difractogramas Grupo A "50" ciclos.

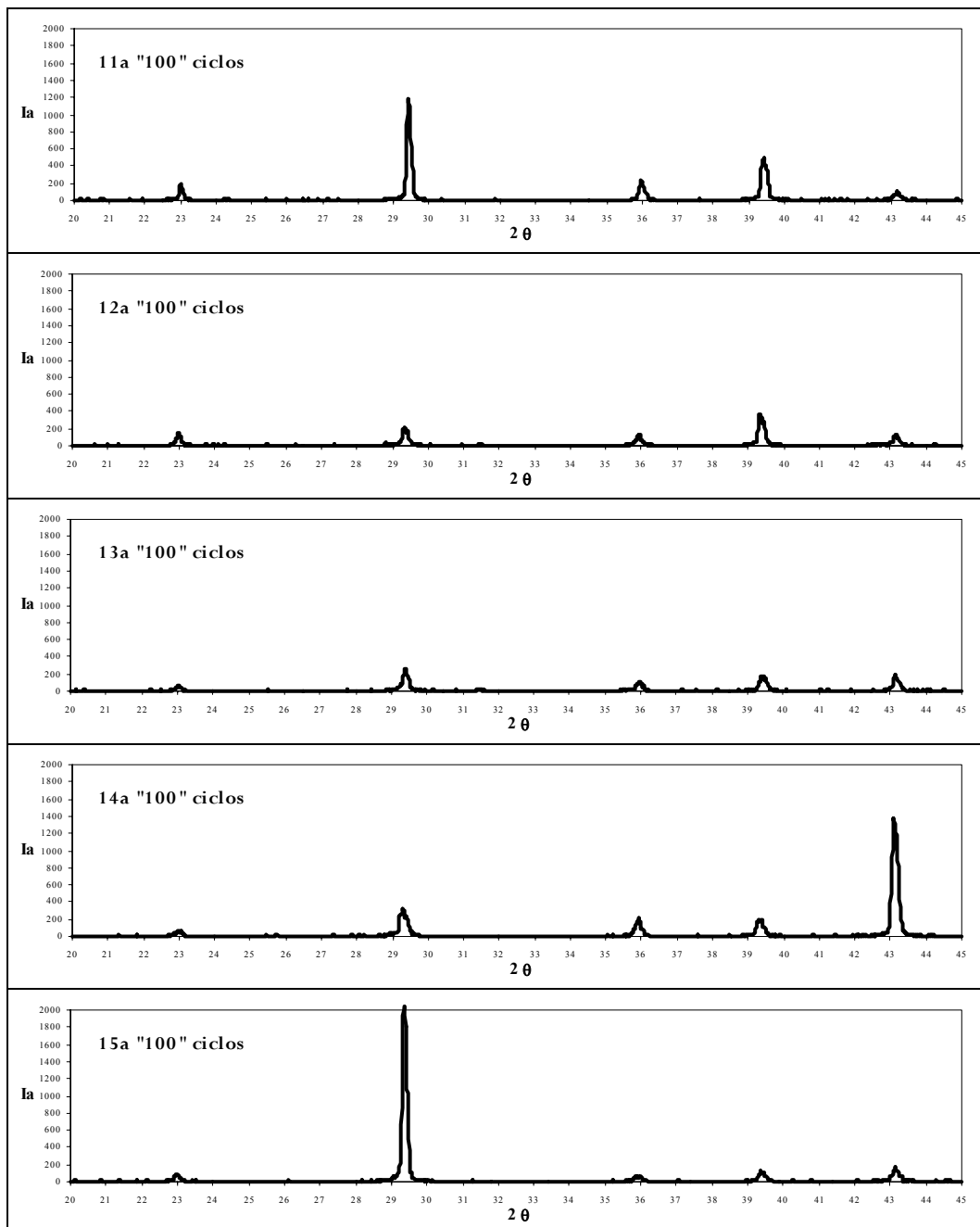


Figura 1. Difractogramas Grupo A "100" ciclos.

ESTUDIO DE ELEMENTOS ARQUITECTÓNICOS Y COMPOSICIÓN DE MATERIALES DEL PATIO DE LOS LEONES.
INTERACCIONES EN SUS CAUSAS DE DETERIORO

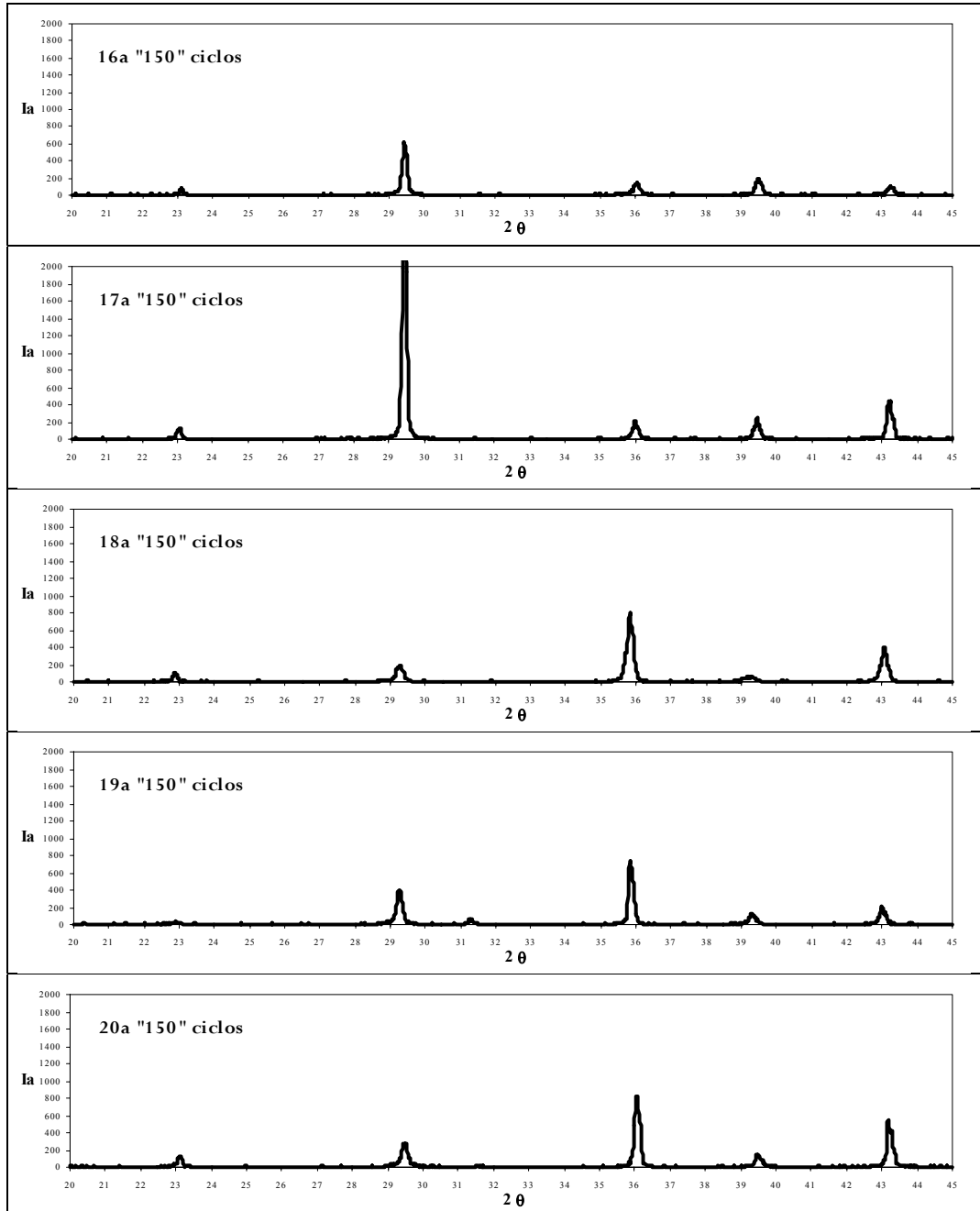


Figura 1. Difractogramas Grupo A "150" ciclos.

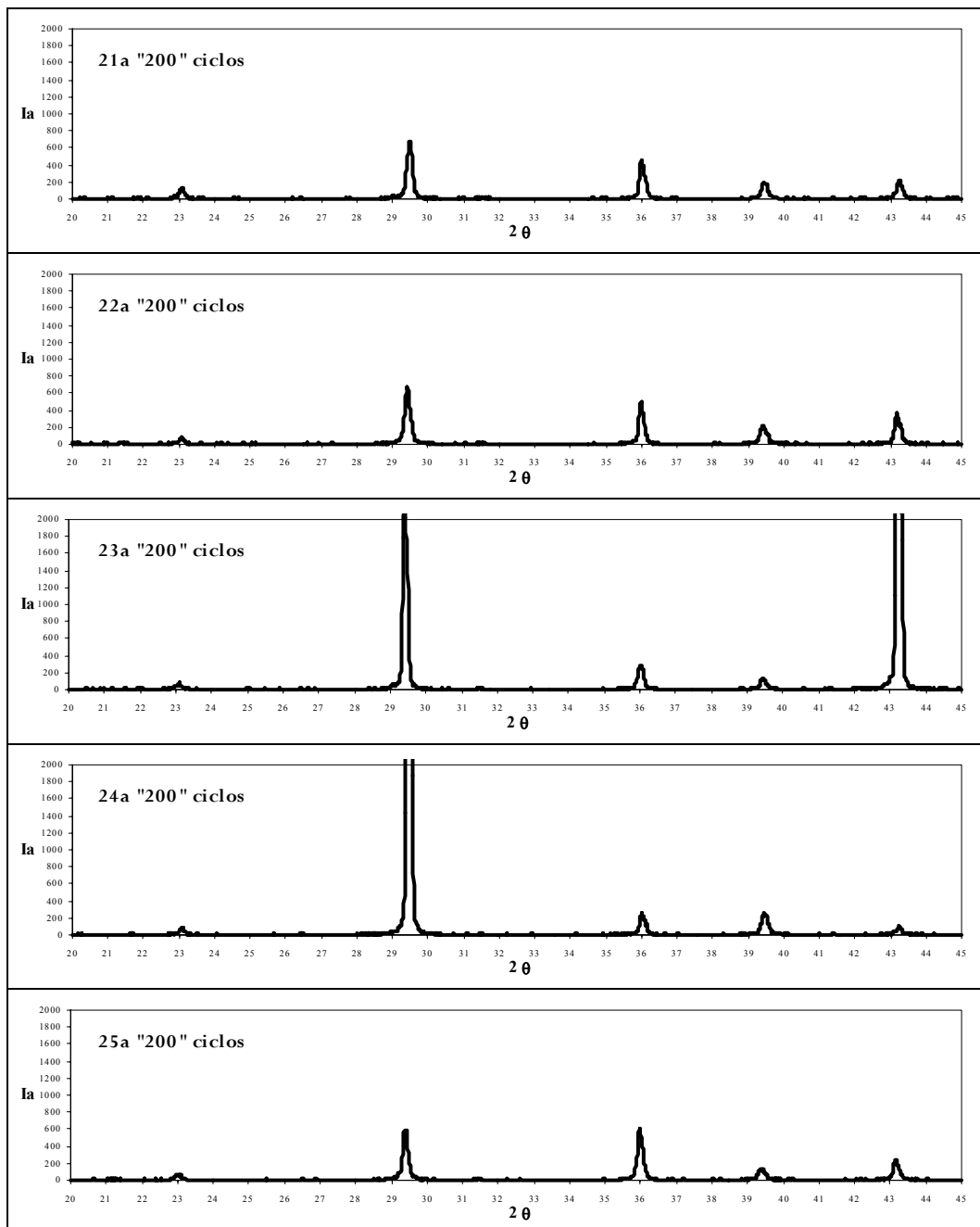


Figura 1. Difractogramas Grupo A "200" ciclos.

ESTUDIO DE ELEMENTOS ARQUITECTÓNICOS Y COMPOSICIÓN DE MATERIALES DEL PATIO DE LOS LEONES.
INTERACCIONES EN SUS CAUSAS DE DETERIORO

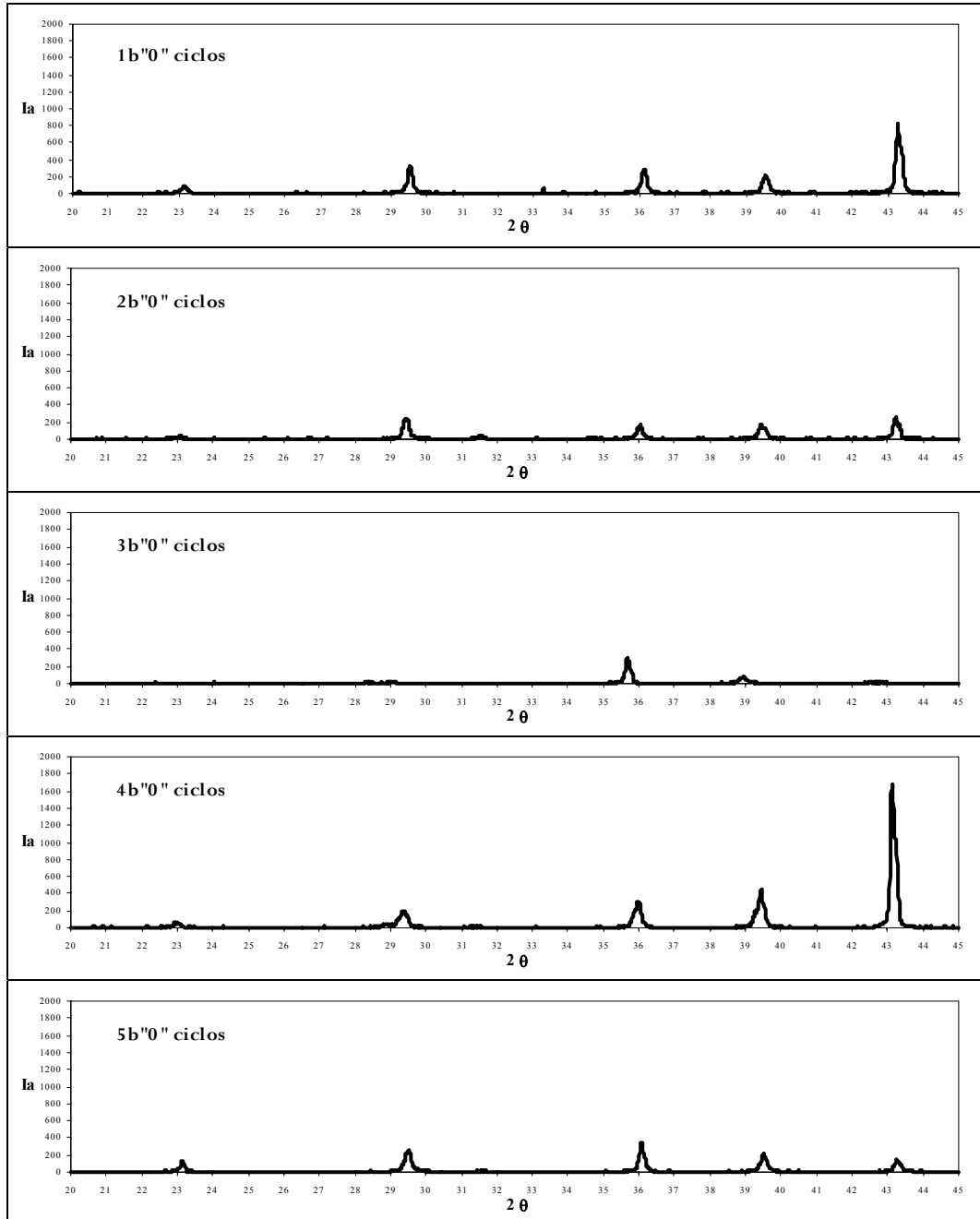


Figura 1. Difractogramas Grupo B "0" ciclos.

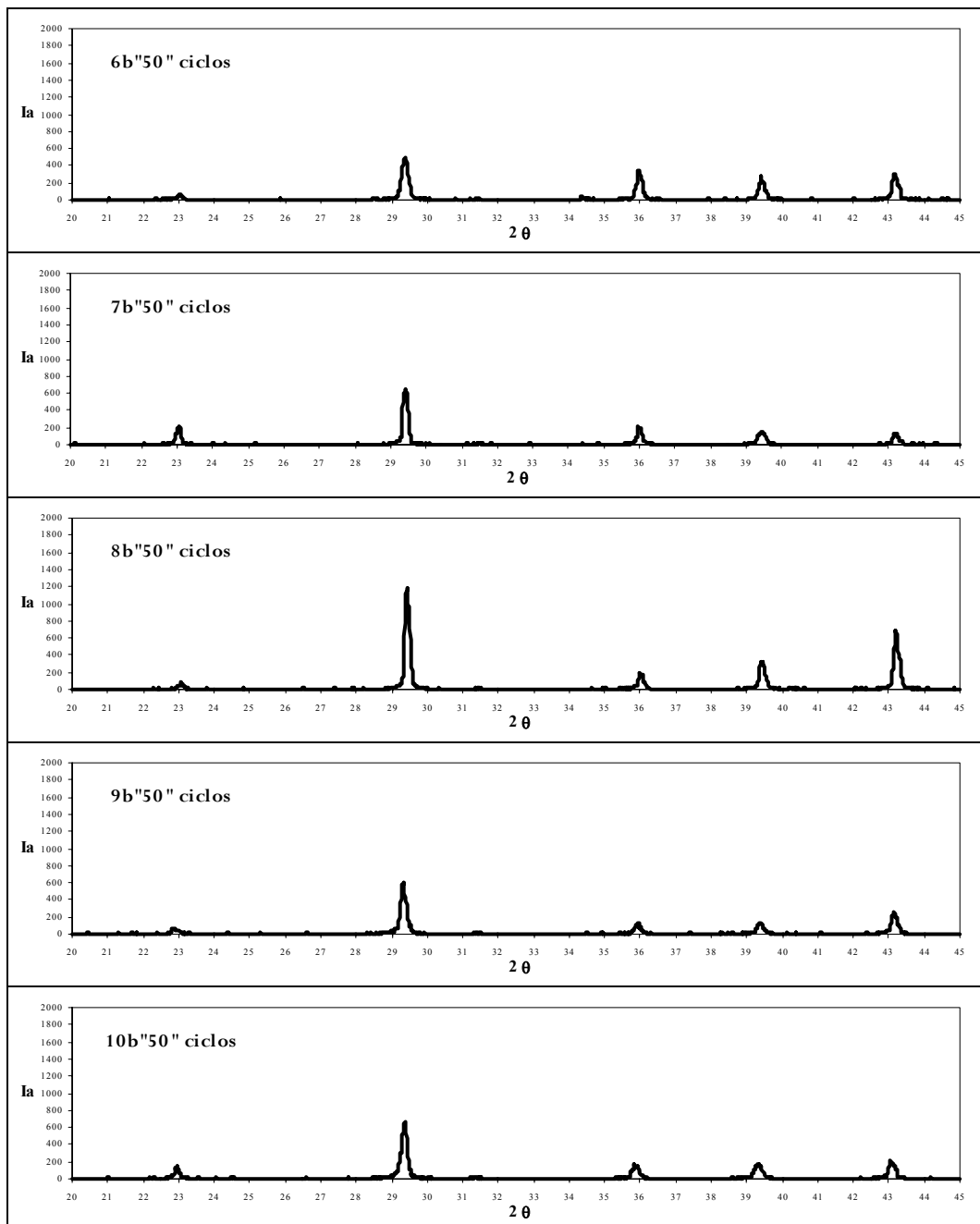


Figura 1. Difractogramas Grupo B "50" ciclos.

ESTUDIO DE ELEMENTOS ARQUITECTÓNICOS Y COMPOSICIÓN DE MATERIALES DEL PATIO DE LOS LEONES.
INTERACCIONES EN SUS CAUSAS DE DETERIORO

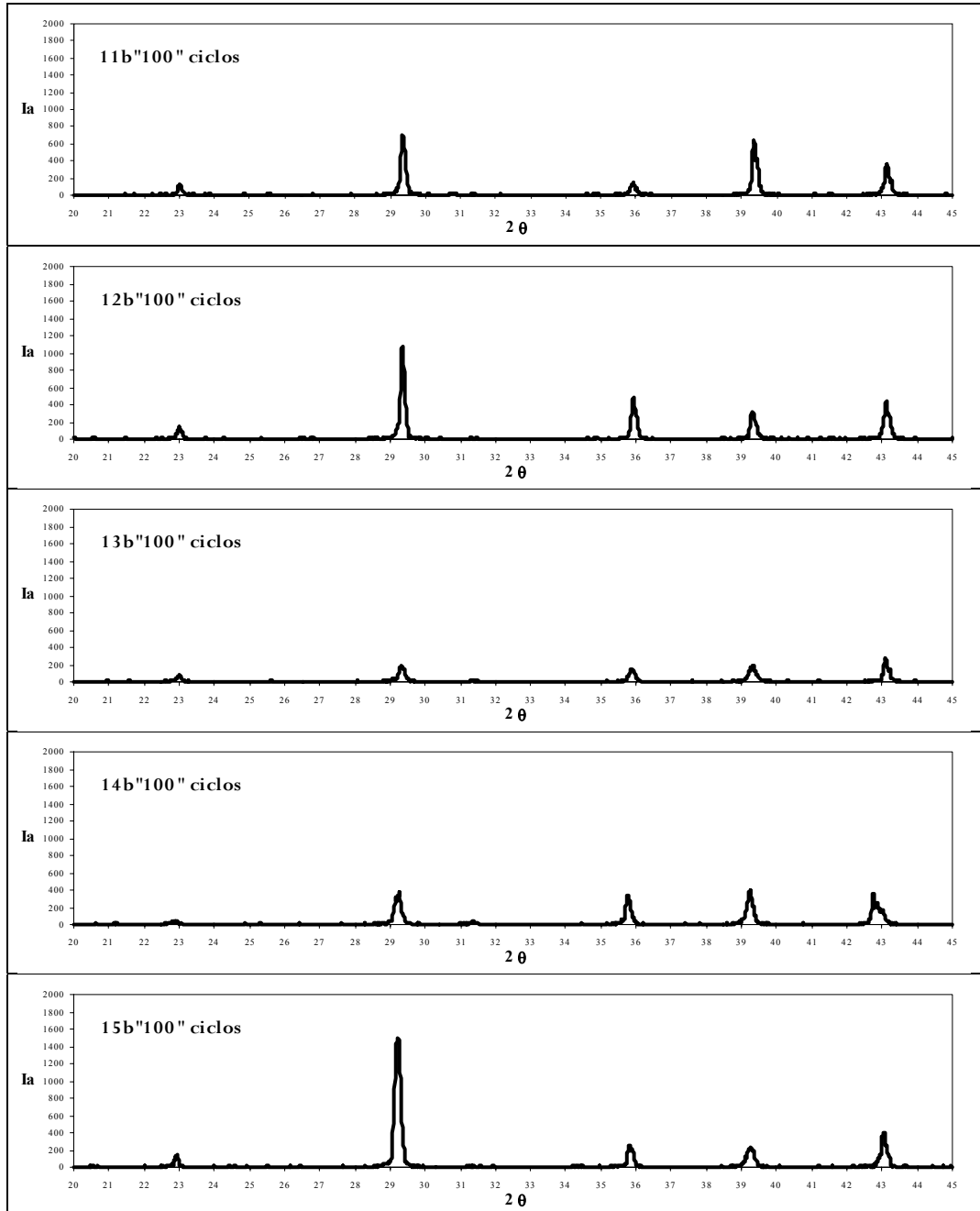


Figura 1. Difractogramas Grupo B "100" ciclos.

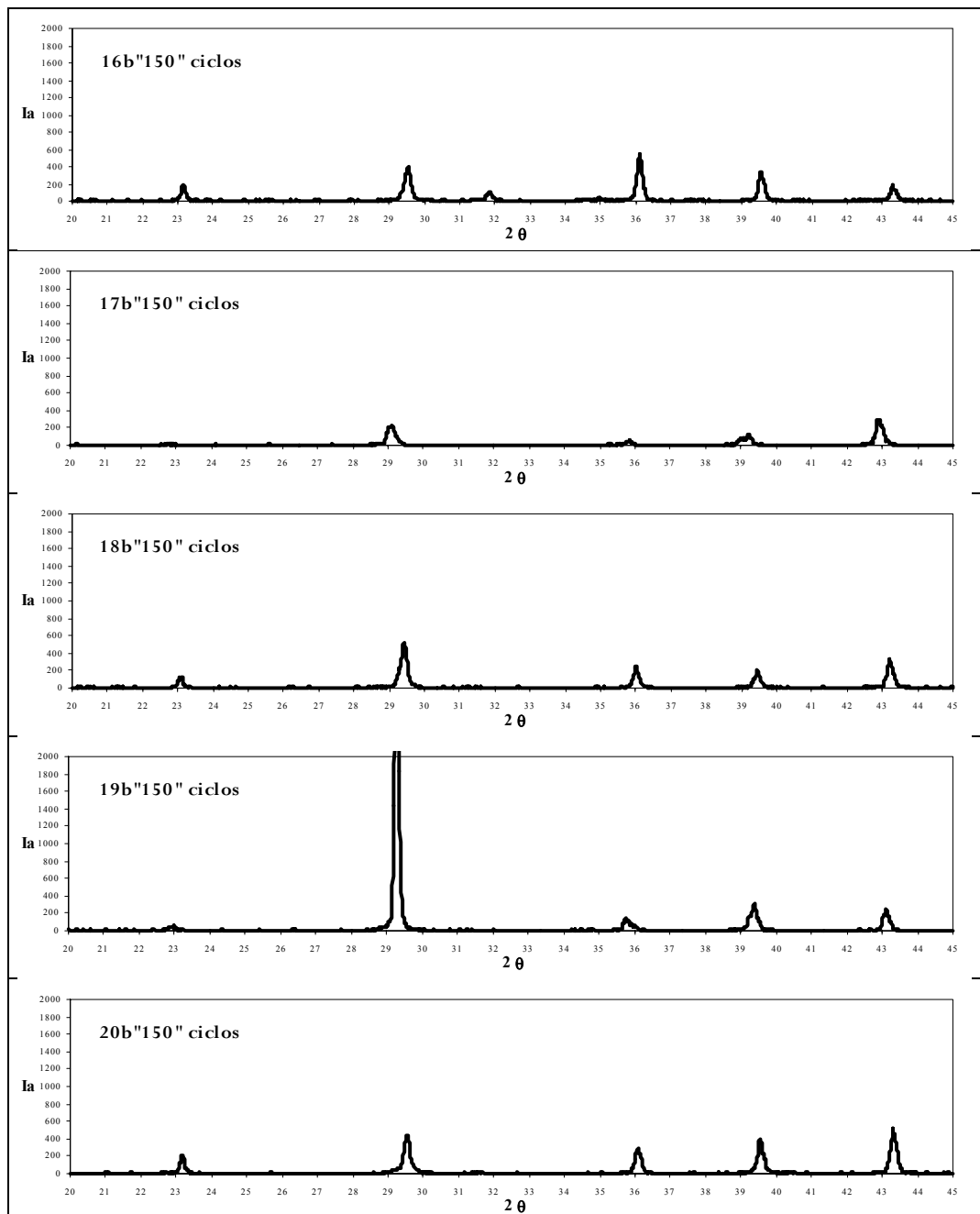


Figura 1. Difractogramas Grupo B "150" ciclos.

ESTUDIO DE ELEMENTOS ARQUITECTÓNICOS Y COMPOSICIÓN DE MATERIALES DEL PATIO DE LOS LEONES.
INTERACCIONES EN SUS CAUSAS DE DETERIORO

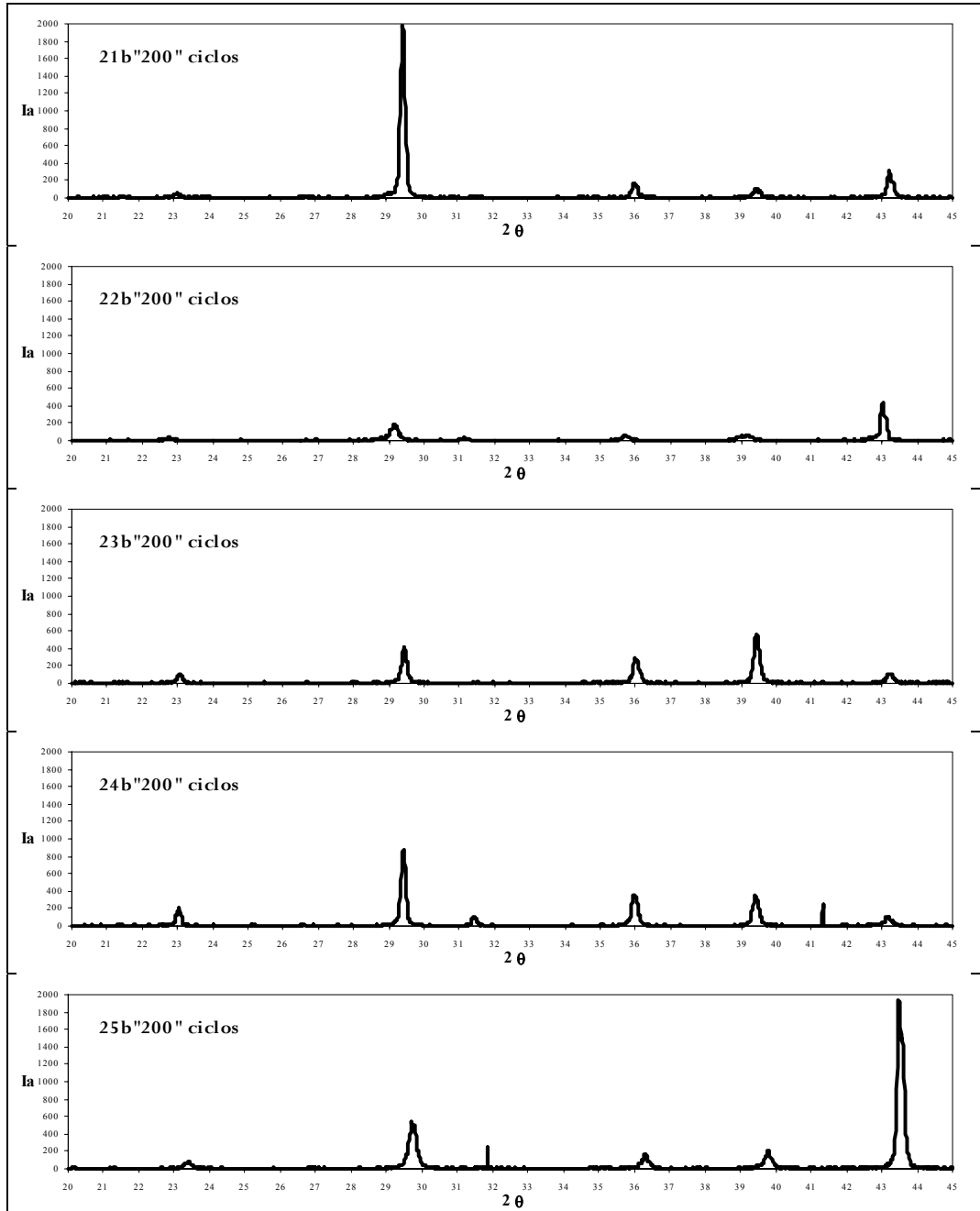


Figura 1. Difractogramas Grupo B "200" ciclos.

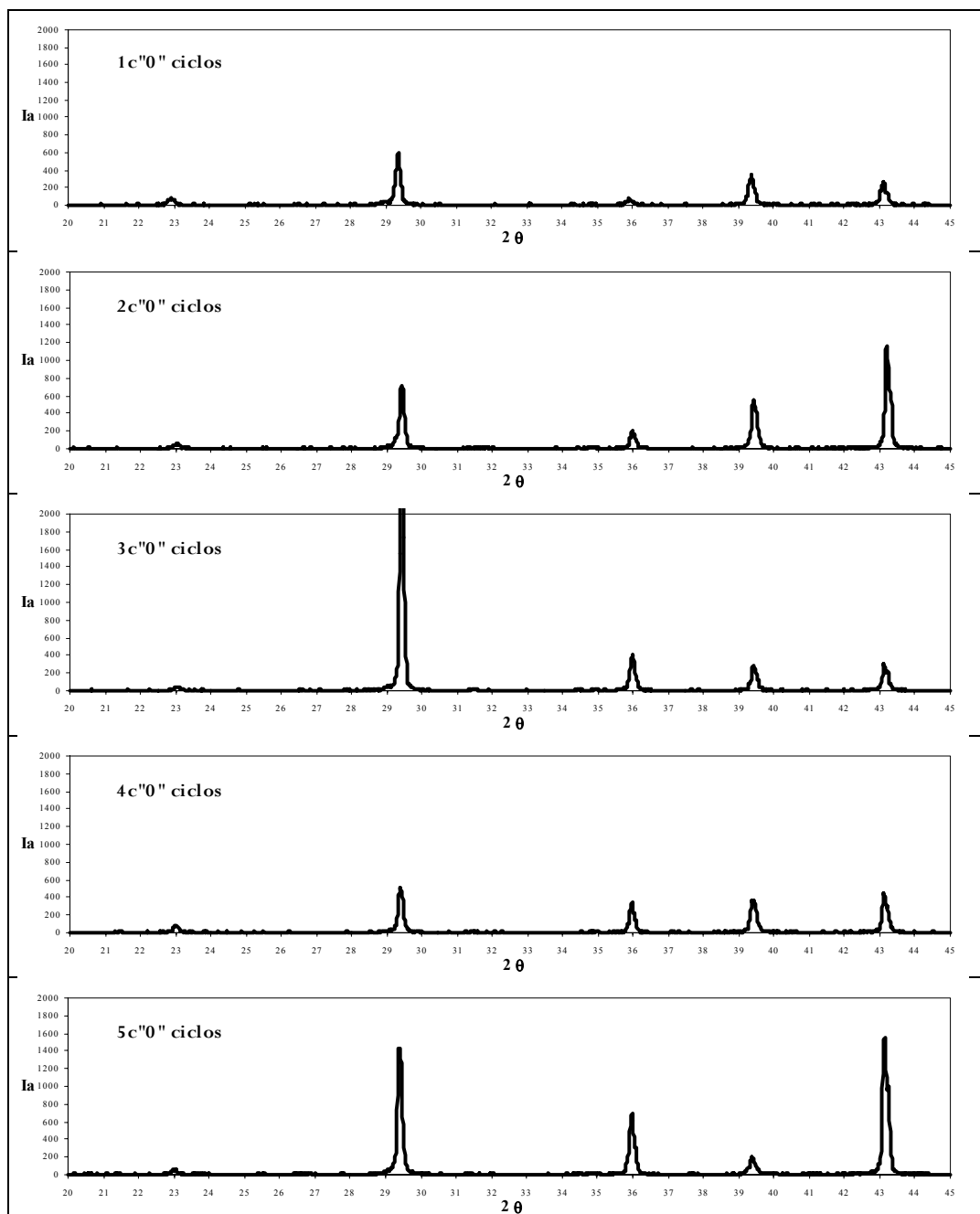


Figura 1. Difractogramas Grupo C "0" ciclos.

ESTUDIO DE ELEMENTOS ARQUITECTÓNICOS Y COMPOSICIÓN DE MATERIALES DEL PATIO DE LOS LEONES.
INTERACCIONES EN SUS CAUSAS DE DETERIORO

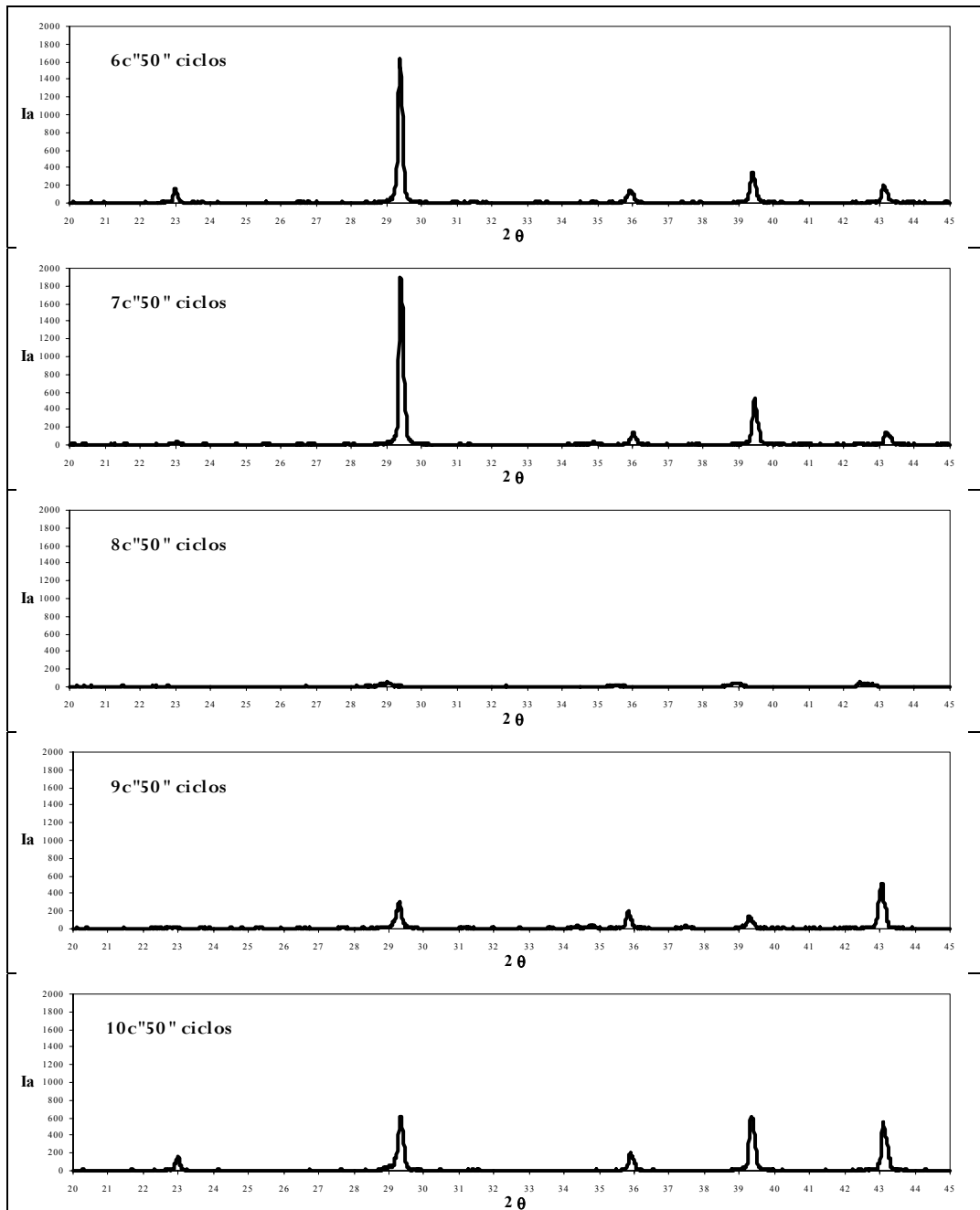


Figura 1. Difractogramas Grupo C "50" ciclos.

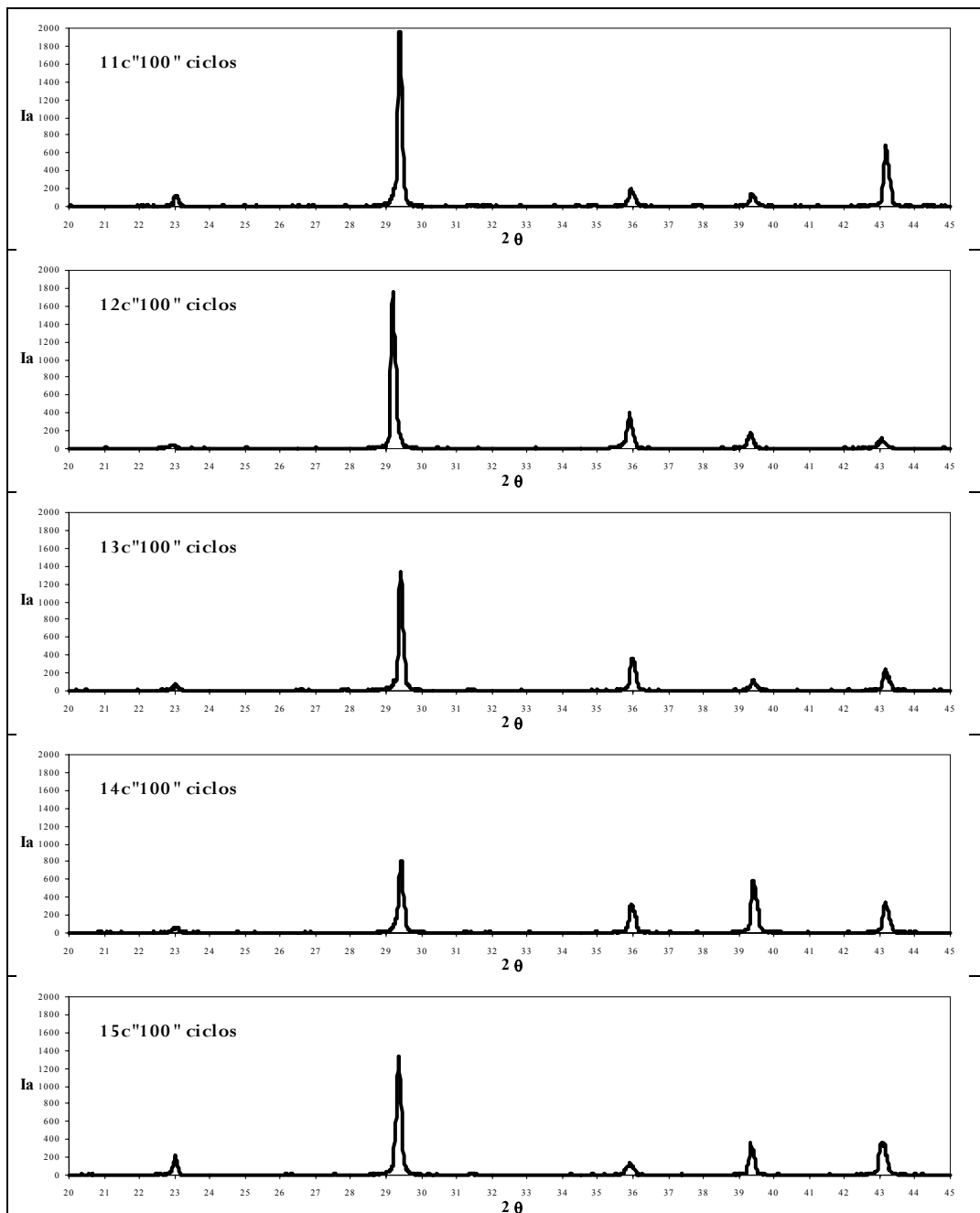


Figura 1. Difractogramas Grupo C "100" ciclos.

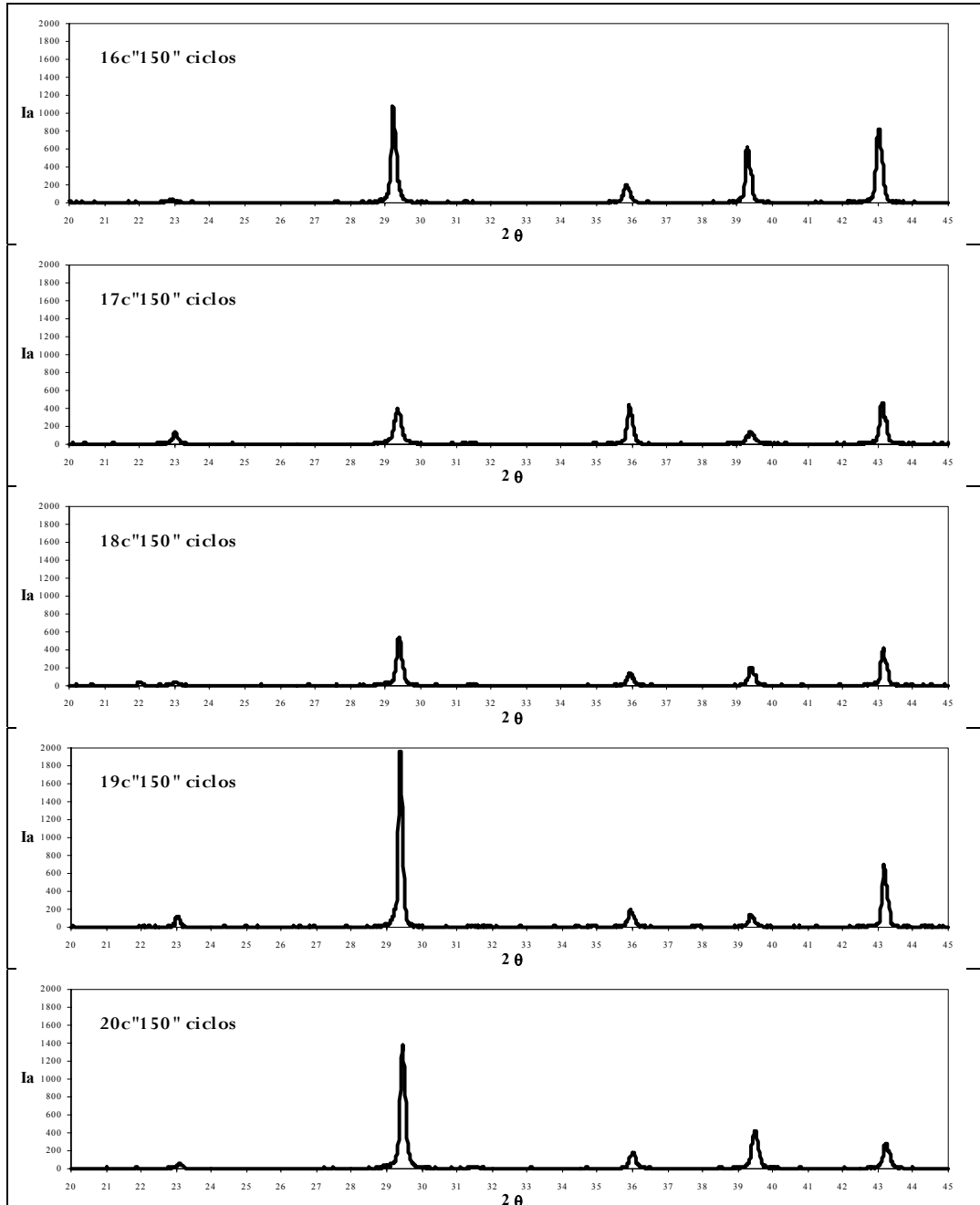


Figura 1. Difractogramas Grupo C "150" ciclos.

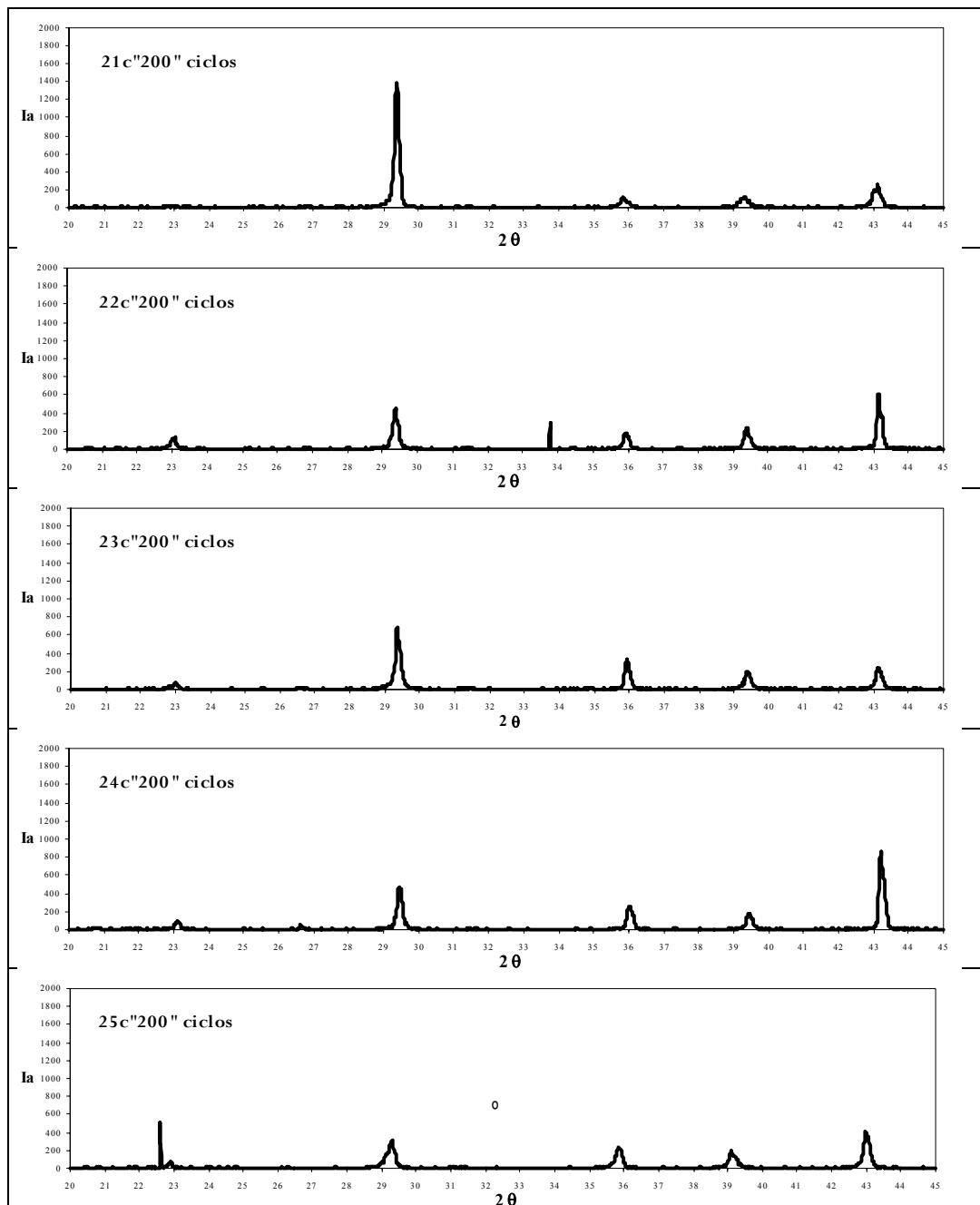


Figura 1. Difractogramas Grupo C "200" ciclos.

ANEXO 6

ESTUDIO DE ELEMENTOS ARQUITECTÓNICOS Y COMPOSICIÓN DE MATERIALES DEL PATIO DE LOS LEONES. INTERACCIONES EN SUS CAUSAS DE DETERIORO

Tabla 2. Índices de cristalinidad (D) para las reflexiones 102, 202 y 104. Grupo A. (NC: número de ciclos; Prob.: designación de probetas; M: valor medio por tanda de ciclos).

NC	Prob.	hkl 102		ángulo2θ		D (Å)	hkl 202		ángulo2θ		D (Å)	hkl 104		ángulo2θ		D (Å)
		β	β (rad)	2θ	2θ	D=kλ/βcosθ	β	β (rad)	2θ	2θ	D=kλ/βcosθ	β	β (rad)	2θ	2θ	D=kλ/βcosθ
"0" ciclos	1a	0,16	0,003	23,08	0,403	547	0,14	0,002	43,2	0,754	608	0,14	0,002	29,42	0,513	610
	2a	0,14	0,002	23,12	0,404	605	0,14	0,002	43,2	0,754	599	0,15	0,003	29,46	0,514	569
	3a	0,18	0,003	23,04	0,402	486	0,15	0,003	43,2	0,754	533	0,13	0,002	29,42	0,513	657
	4a	0,14	0,002	23,00	0,401	613	0,15	0,003	43,1	0,752	537	0,16	0,003	29,38	0,513	534
	5a	0,09	0,002	23,04	0,402	1006	0,16	0,003	43,18	0,754	500	0,14	0,002	29,42	0,513	610
M					651					555						596
"50" ciclos	6a	0,11	0,002	23,04	0,402	793	0,16	0,003	43,18	0,754	504	0,17	0,003	29,42	0,513	502
	7a	0,10	0,002	23,10	0,403	856	0,19	0,003	43,22	0,754	444	0,14	0,002	29,42	0,513	610
	8a	0,05	0,001	23,00	0,401	1696	0,19	0,003	43,1	0,752	441	0,17	0,003	29,36	0,512	502
	9a	0,06	0,001	22,98	0,401	1373	0,19	0,003	43,08	0,752	434	0,17	0,003	29,34	0,512	502
	10a	0,09	0,002	23,00	0,401	920	0,15	0,003	43,14	0,753	562	0,14	0,002	29,38	0,513	610
M					1128					477						545
"100" ciclos	11a	0,10	0,002	23,00	0,401	840	0,10	0,002	43,18	0,754	813	0,14	0,002	29,42	0,513	610
	12a	0,10	0,002	22,94	0,400	865	0,13	0,002	43,16	0,753	641	0,15	0,003	29,34	0,512	569
	13a	0,10	0,002	23,02	0,402	865	0,13	0,002	43,14	0,753	631	0,14	0,002	29,38	0,513	610
	14a	0,14	0,002	23,04	0,402	641	0,14	0,003	43,14	0,753	570	0,16	0,003	29,42	0,513	534
	15a	0,11	0,002	23,00	0,401	786	0,19	0,003	43,1	0,752	434	0,19	0,003	29,28	0,511	449
M					799					618						554
"150" ciclos	16a	0,08	0,001	23,10	0,403	1042	0,15	0,003	43,24	0,755	562	0,15	0,003	29,44	0,514	569
	17a	0,08	0,001	23,06	0,402	1109	0,16	0,003	43,24	0,755	507	0,14	0,002	29,44	0,514	610
	18a	0,15	0,003	22,88	0,399	569	0,16	0,003	43,06	0,752	523	0,17	0,003	29,28	0,511	502
	19a	0,05	0,001	22,90	0,400	1602	0,14	0,003	42,98	0,750	570	0,17	0,003	29,28	0,511	502
	20a	0,13	0,002	23,14	0,404	681	0,17	0,003	43,18	0,754	483	0,18	0,003	29,48	0,515	474
M					1001					529						532
"200" ciclos	21a	0,15	0,003	23,10	0,403	584	0,18	0,003	43,26	0,755	448	0,17	0,003	29,5	0,515	502
	22a	0,09	0,002	23,08	0,403	940	0,16	0,003	43,18	0,754	507	0,16	0,003	29,42	0,513	534
	23a	0,07	0,001	23,10	0,403	1253	0,14	0,002	43,2	0,754	578	0,12	0,002	29,42	0,513	711
	24a	0,06	0,001	23,12	0,404	1466	0,06	0,001	43,24	0,755	1440	0,13	0,002	29,46	0,514	657
	25a	0,08	0,001	23,04	0,402	1081	0,17	0,003	43,16	0,753	486	0,14	0,002	29,38	0,513	610
M					1065					692						603

Tabla 2. Índices de cristalinidad (D) para las reflexiones 102, 202 y 104. Grupo B. (NC: número de ciclos; Prob.: designación de probetas; M: valor medio por tanda de ciclos).

NC	Prob.	hkl 102		ángulo2θ		D (Å)		hkl 202		ángulo2θ		D (Å)		hkl 104		ángulo2θ		D (Å)			
		β	β (rad)	2θ	2θ	D=kλ/βcosθ	β	β (rad)	2θ	2θ	D=kλ/βcosθ	β	β (rad)	2θ	2θ	D=kλ/βcosθ	β	β (rad)	2θ	2θ	D=kλ/βcosθ
"0" ciclos	1b	0,11	0,002	23,16	0,404	758	0,19	0,003	43,28	0,755	432	0,12	0,002	29,52	0,515	711					
	2b	0,10	0,002	23,06	0,402	840	0,18	0,003	43,24	0,755	464	0,21	0,004	29,48	0,515	406					
	3b			23,04	0,402			0,000	42,82	0,747			0,000		0,000						
	4b	0,05	0,001	23,02	0,402	1840	0,19	0,003	43,14	0,753	444	0,15	0,003	29,38	0,513	569					
	5b	0,11	0,002	23,14	0,404	779	0,23	0,004	43,26	0,755	354	0,17	0,003	29,5	0,515	502					
M						1054					423					547					
"50" ciclos	6b	0,11	0,002	23,06	0,402	793	0,19	0,003	43,18	0,754	444	0,2	0,003	29,38	0,513	427					
	7b	0,13	0,002	23,06	0,402	665	0,17	0,003	43,18	0,754	486	0,15	0,003	29,44	0,514	569					
	8b	0,06	0,001	23,06	0,402	1572	0,17	0,003	43,2	0,754	488	0,14	0,002	29,42	0,513	610					
	9b	0,17	0,003	22,86	0,399	503	0,18	0,003	43,14	0,753	461	0,15	0,003	29,34	0,512	569					
	10b	0,14	0,002	22,96	0,401	636	0,19	0,003	43,04	0,751	441	0,17	0,003	29,38	0,513	502					
M					834					464					535						
"100" ciclos	11b	0,12	0,002	23,02	0,402	697	0,17	0,003	43,14	0,753	489	0,14	0,002	29,36	0,512	610					
	12b	0,09	0,002	23,02	0,402	950	0,18	0,003	43,12	0,753	466	0,12	0,002	29,36	0,512	712					
	13b	0,13	0,002	23,02	0,402	670	0,16	0,003	43,08	0,752	513	0,15	0,003	29,34	0,512	569					
	14b	0,15	0,003	22,82	0,398	577	0,23	0,004	42,76	0,746	353	0,19	0,003	29,26	0,511	449					
	15b	0,11	0,002	22,94	0,400	779	0,19	0,003	43,04	0,751	437	0,2	0,003	29,22	0,510	427					
M					735					452					553						
"150" ciclos	16b	0,12	0,002	23,16	0,404	715	0,17	0,003	43,3	0,756	471	0,19	0,003	29,54	0,516	449					
	17b			22,86	0,399		0,23	0,004	42,9	0,749	364	0,24	0,004	29,12	0,508	356					
	18b	0,13	0,002	23,10	0,403	665		0,000	43,2	0,754		0,2	0,003	29,42	0,513	427					
	19b			22,98	0,401		0,12	0,002	43,12	0,753	667	0,13	0,002	29,26	0,511	657					
	20b	0,13	0,002	23,18	0,405	650	0,19	0,003	43,3	0,756	425	0,2	0,003	29,54	0,516	427					
M					677					482					463						
"200" ciclos	21b			23,10	0,403		0,16	0,003	43,22	0,754	507	0,15	0,003	29,48	0,515	569					
	22b			22,76	0,397		0,16	0,003	43,02	0,751	520	0,22	0,004	29,16	0,509	388					
	23b	0,15	0,003	23,08	0,403	596	0,19	0,003	43,18	0,754	444	0,16	0,003	29,42	0,513	534					
	24b	0,12	0,002	23,04	0,402	697	0,12	0,002	43,18	0,754	714	0,15	0,003	29,42	0,513	569					
	25b	0,13	0,002	23,42	0,409	665	0,19	0,003	43,48	0,759	425	0,19	0,003	29,72	0,519	449					
M					653					522					502						

ESTUDIO DE ELEMENTOS ARQUITECTÓNICOS Y COMPOSICIÓN DE MATERIALES DEL PATIO DE LOS LEONES. INTERACCIONES EN SUS CAUSAS DE DETERIORO

Tabla 2. Índices de cristalinidad (D) para las reflexiones 102, 202 y 104. Grupo C. (NC: número de ciclos; Prob.: designación de probetas; M: valor medio por tanda de ciclos).

Ciclos	Probeta	hkl 102		ángulo2θ		Scherrer Å	hkl 202		ángulo2θ		Scherrer Å	hkl 104		ángulo2θ		Scherrer Å						
		β	β (rad)	2θ	2θ	D=kλ/βcosθ	β	β (rad)	2θ	2θ	D=kλ/βcosθ	β	β (rad)	2θ	2θ	D=kλ/βcosθ						
"0" ciclos	1c	0,21	0,004	22,92	0,400	418	0,19	0,003	43,1	0,752	425	0,16	0,003	29,36	0,512	534						
	2c			23,06	0,402		0,16	0,003	43,2	0,754		0,13	0,002	29,44	0,514		657					
	3c	22,98	0,401	0,17	0,003		43,12	0,753	0,12	0,002		29,42	0,513	711								
	4c	0,14	0,002	23,00	0,401		622	0,19	0,003	43,12		0,753	434	0,16	0,003		29,4	0,513	534			
	5c			23,04	0,402			0,17	0,003	43,14		0,753		0,16	0,003		29,4	0,513	534			
M					520						467						594					
"50" ciclos	6c	0,13	0,002	23,02	0,402	655		0,17	0,003	43,12	0,753	492		0,14	0,002	29,4	0,513	610				
	7c			23,04	0,402				0,000	43,22	0,754			0,15	0,003	29,4	0,513		569			
	8c	23,10	0,403	0,17	0,003		43,92	0,767	0,16	0,003	29,04		0,507	534								
	9c	22,98	0,401	0,18	0,003		43,08	0,752	0,15	0,003	29,32		0,512	569								
	10c	0,13	0,002	23,00	0,401		686	0,18	0,003	43,12	0,753		466	0,16	0,003	29,36	0,512		534			
M								671				475				563						
"100" ciclos	11c	0,10	0,002	23,02	0,401	856		0,15	0,003	43,16	0,753	547		0,13	0,002	29,4	0,513	657				
	12c			22,98	0,402			0,10	0,002	43,06	0,752			0,15	0,003	29,18	0,509			569		
	13c	23,04	0,401	0,15	0,003			43,16	0,753	0,13	0,002			29,42	0,513	657						
	14c	23,06	0,402	0,18	0,003		43,16	0,753	0,14	0,002	29,44		0,514	610								
	15c	0,12	0,002	23,02	0,402		752	0,19	0,003	43,04	0,751		441	0,16	0,003	29,36	0,512		534			
M								799				557				605						
"150" ciclos	16c			22,94	0,402	547		0,19	0,003	43,02	0,751	425		0,18	0,003	29,2	0,510	475				
	17c	0,16	0,003	23,02	0,400			547	0,19	0,003	43,14			0,753	432	0,19	0,003			29,36	0,512	449
	18c			23,06	0,402				0,17	0,003	43,16			0,753		0,17	0,003			29,4	0,513	
	19c	0,11	0,002	22,92	0,402		779		0,22	0,004	43		0,750	382		0,19	0,003		29,3	0,511	449	
	20c			23,12	0,400				0,20	0,003	43,24		0,755			0,15	0,003		29,46	0,514		
M					697							427						489				
"200" ciclos	21c			23,02	0,404	406		0,20	0,004	43,14	0,753	406	0,14		0,002	29,38	0,513	610				
	22c	0,12	0,002	23,08	0,402			715	0,16	0,003	43,14		0,753		507	0,16	0,003		29,38	0,513		534
	23c			23,02	0,403		0,19		0,003	43,12	0,753		0,13	0,002		29,36	0,512		657			
	24c	0,11	0,002	23,12	0,402		759		0,17	0,003	43,22		0,754	497		0,15	0,003		29,44	0,514	569	
	25c			22,92	0,404				0,21	0,004	42,98		0,750			0,18	0,003		29,3	0,511		
M					1153							393						474				
					875						448					569						

ANEXO 7

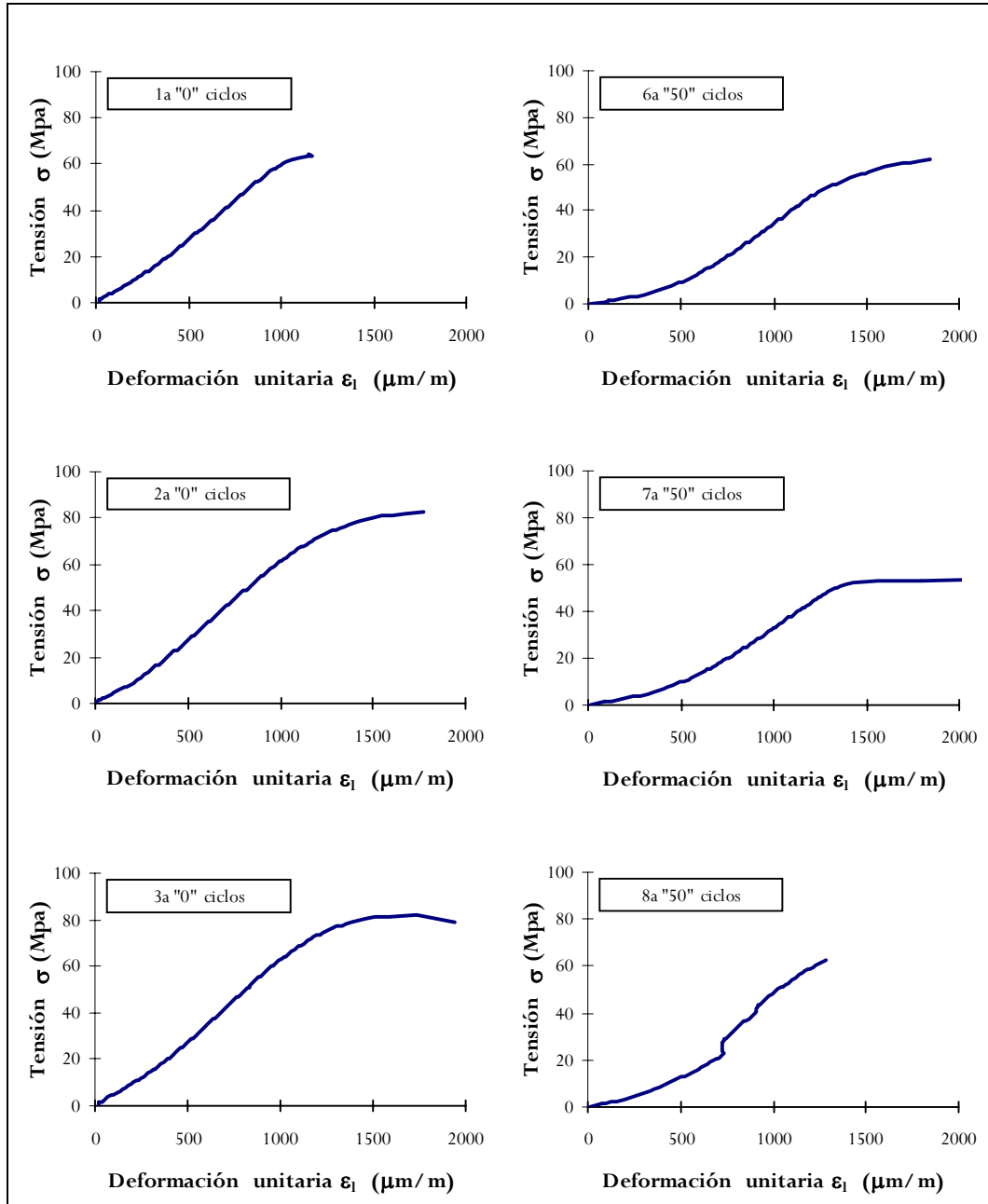


Figura 1. Curvas esfuerzo-deformación grupo A, probetas sometidas a "0" y "50" ciclos.

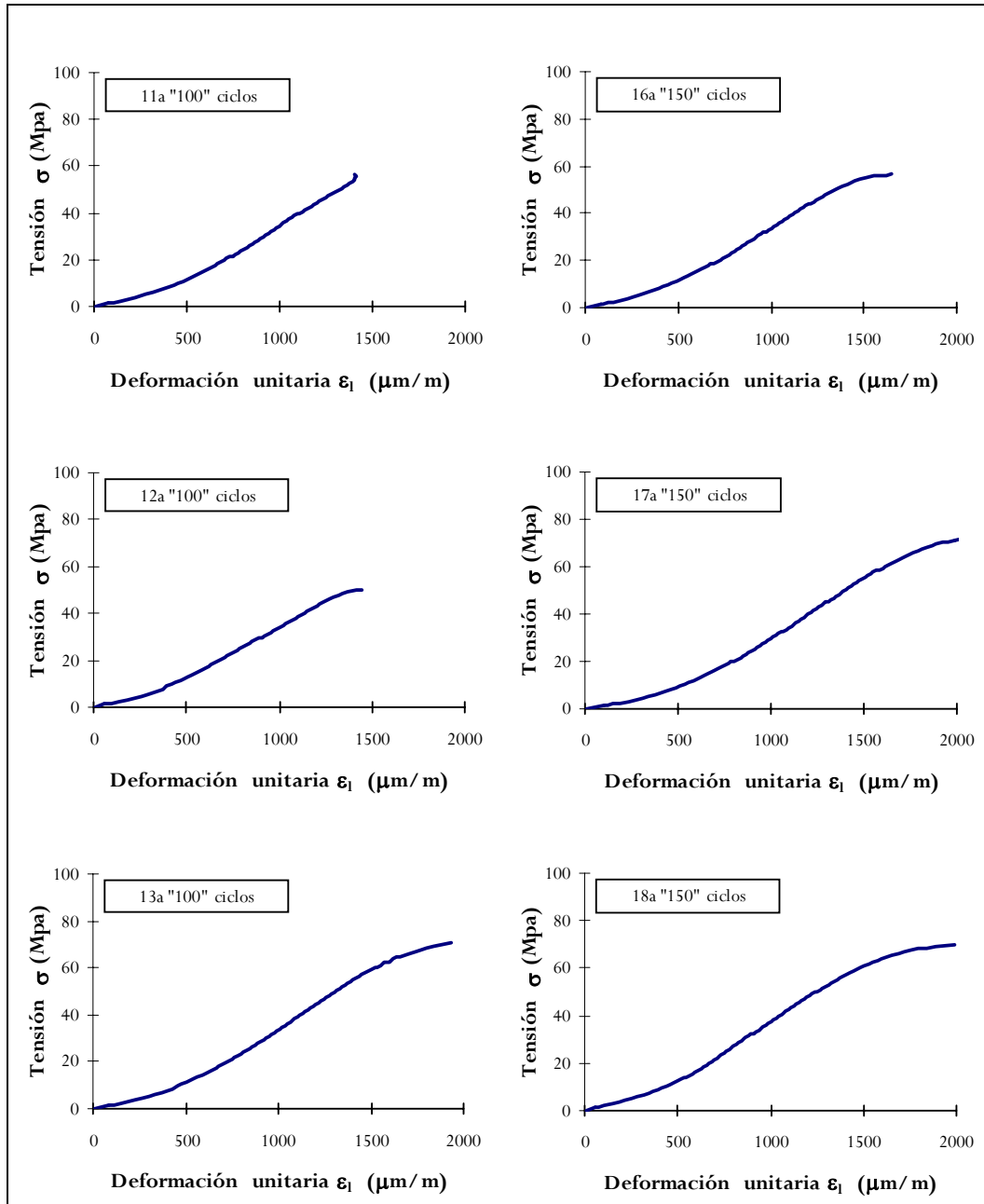


Figura 1. Curvas esfuerzo-deformación grupo A, probetas sometidas a "100" y "150" ciclos.

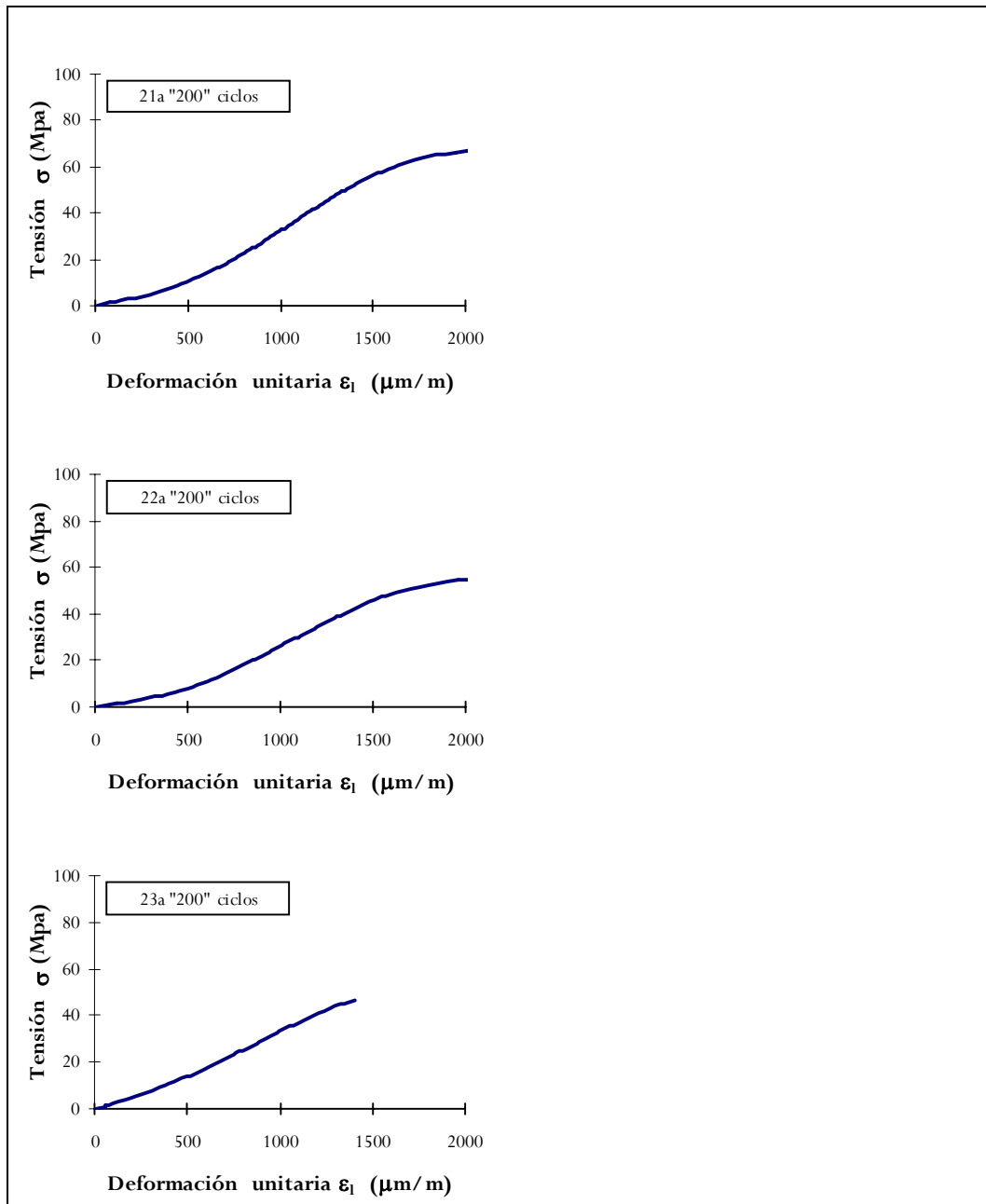


Figura 1. Curvas esfuerzo-deformación grupo A, probetas sometidas a "200" ciclos.

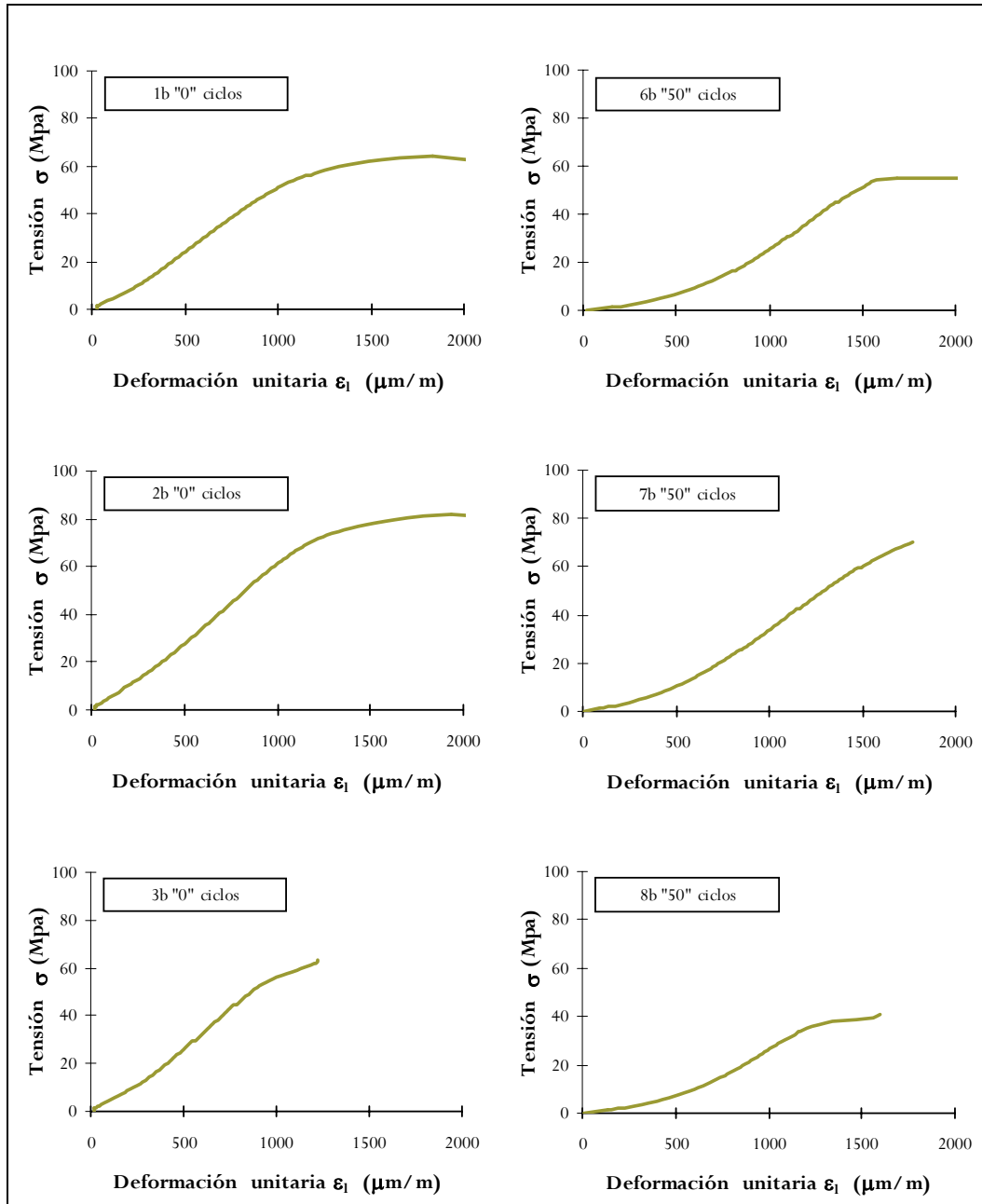


Figura 1. Curvas esfuerzo-deformación grupo B, probetas sometidas a "0" y "50" ciclos.

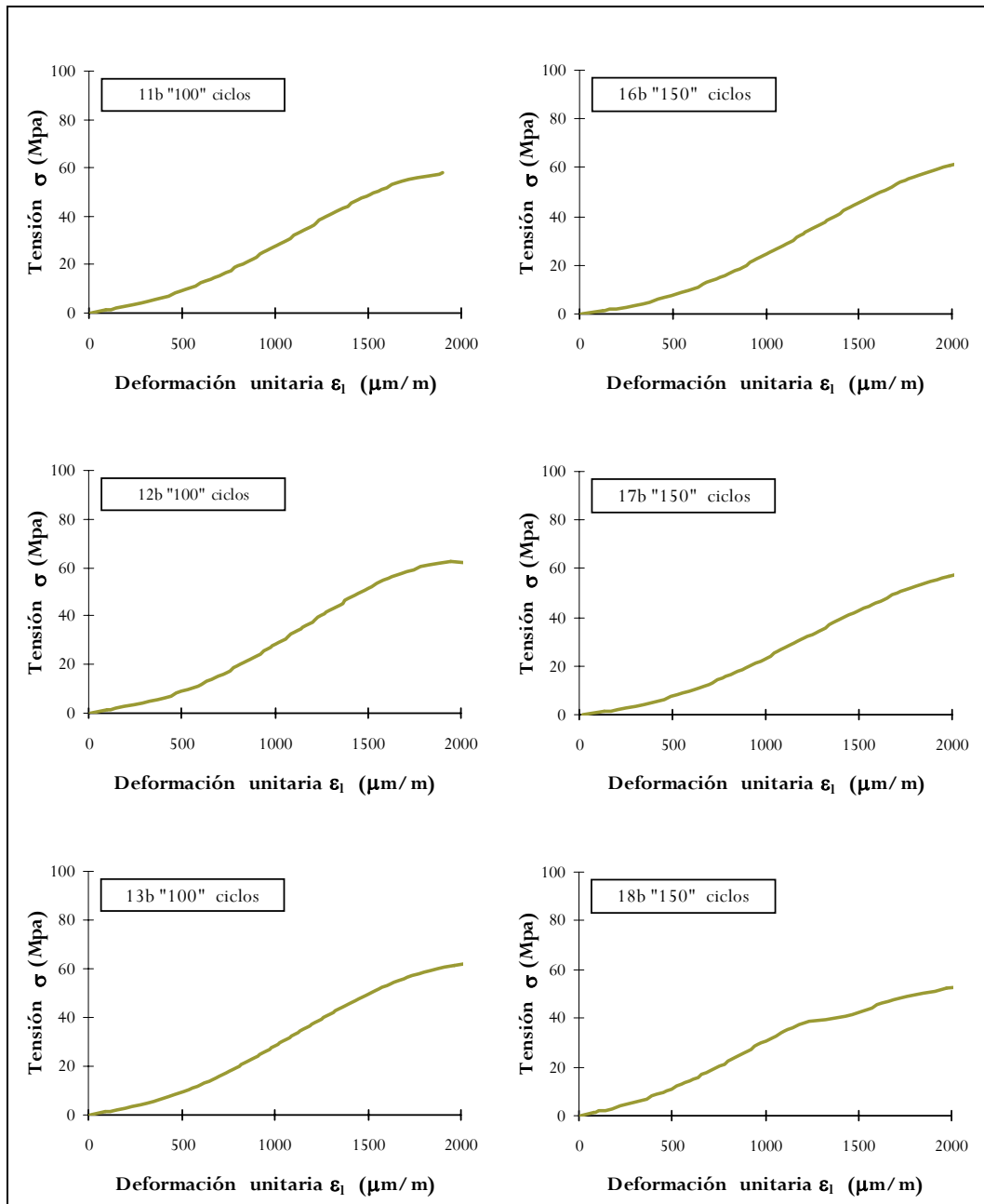


Figura 1. Curvas esfuerzo-deformación grupo B, probetas sometidas a "100" y "150" ciclos.

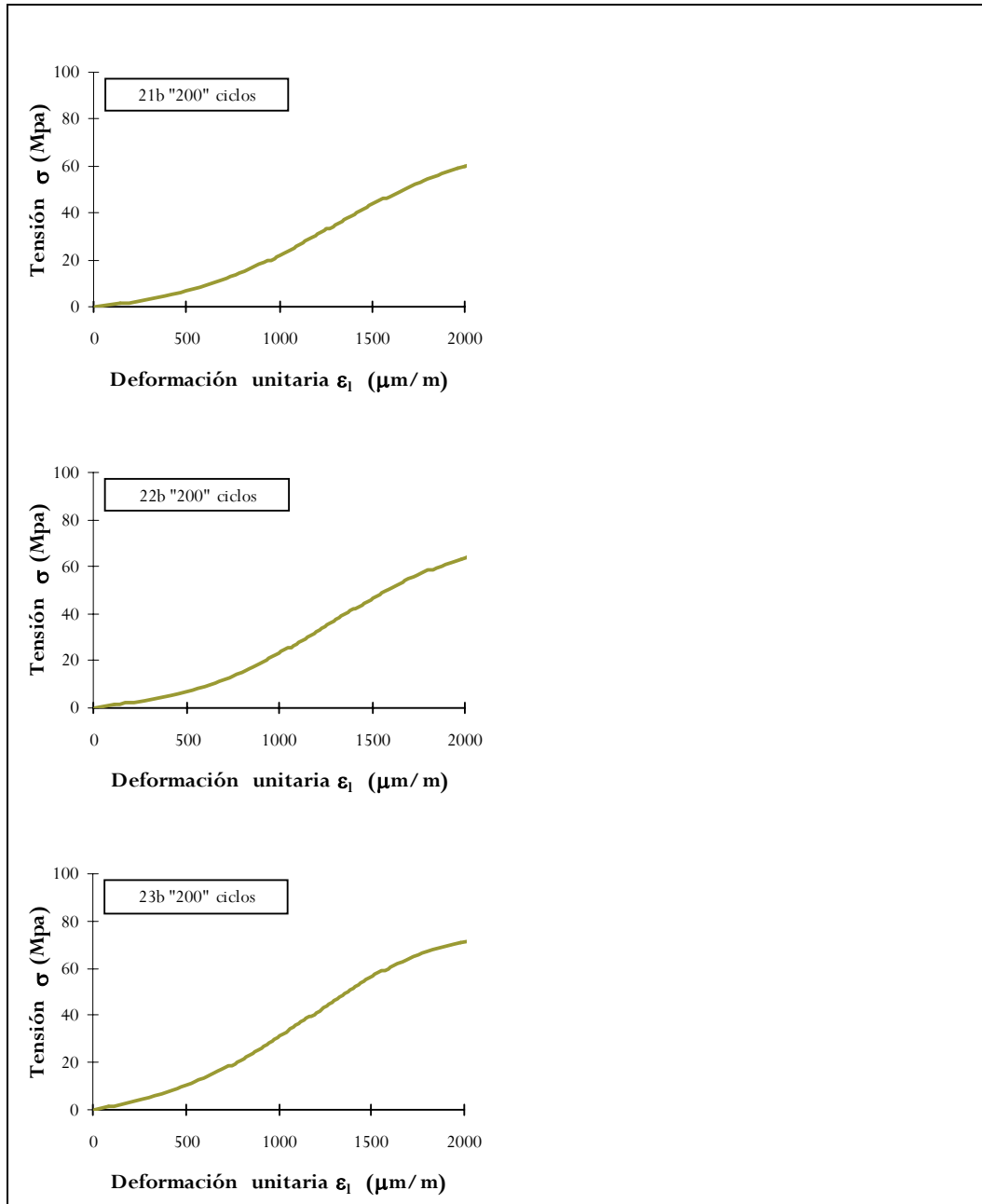


Figura 1. Curvas esfuerzo-deformación grupo B, probetas sometidas a "200" ciclos.

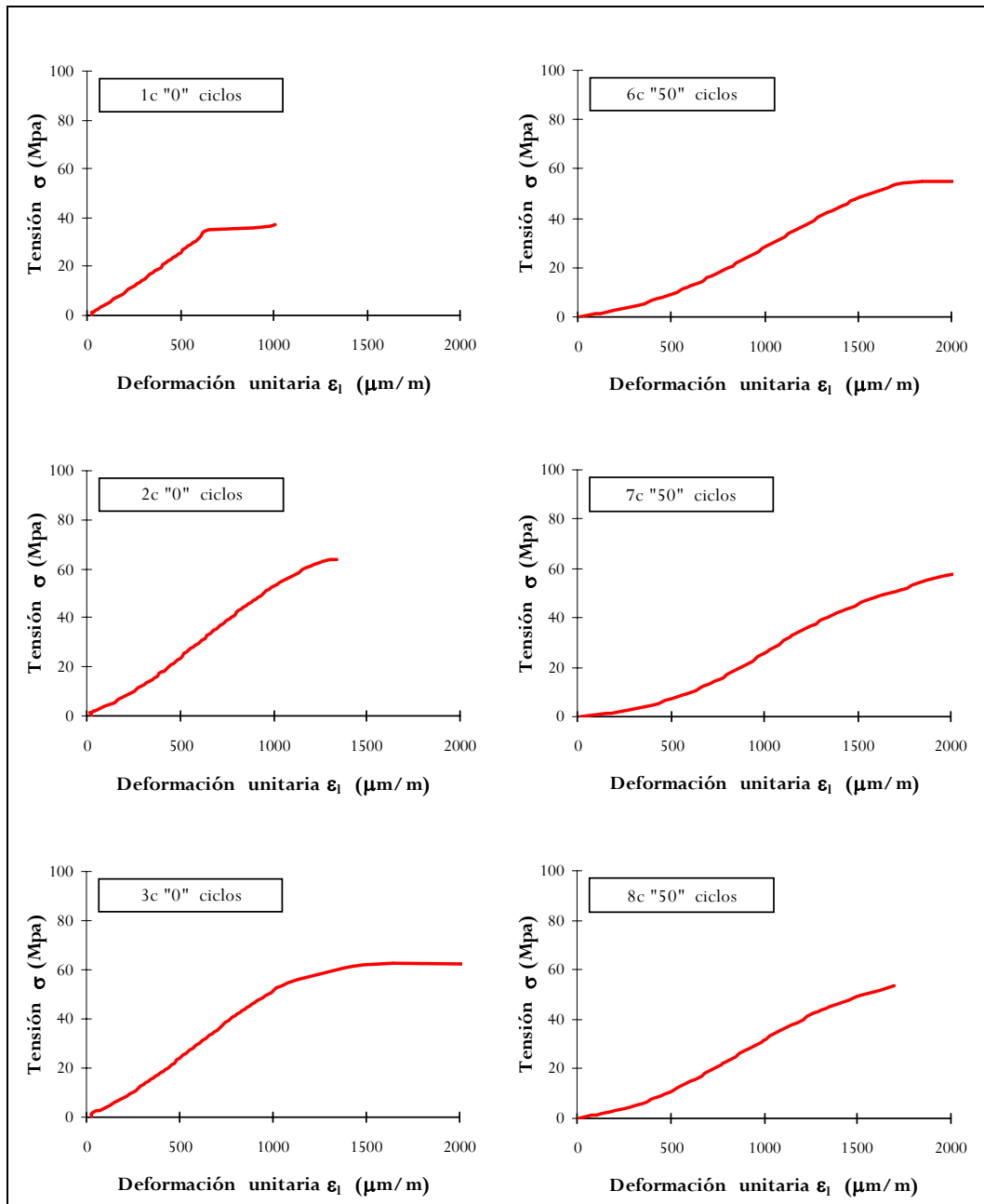


Figura 1. Curvas esfuerzo-deformación grupo C, probetas sometidas a "0" y "50" ciclos.

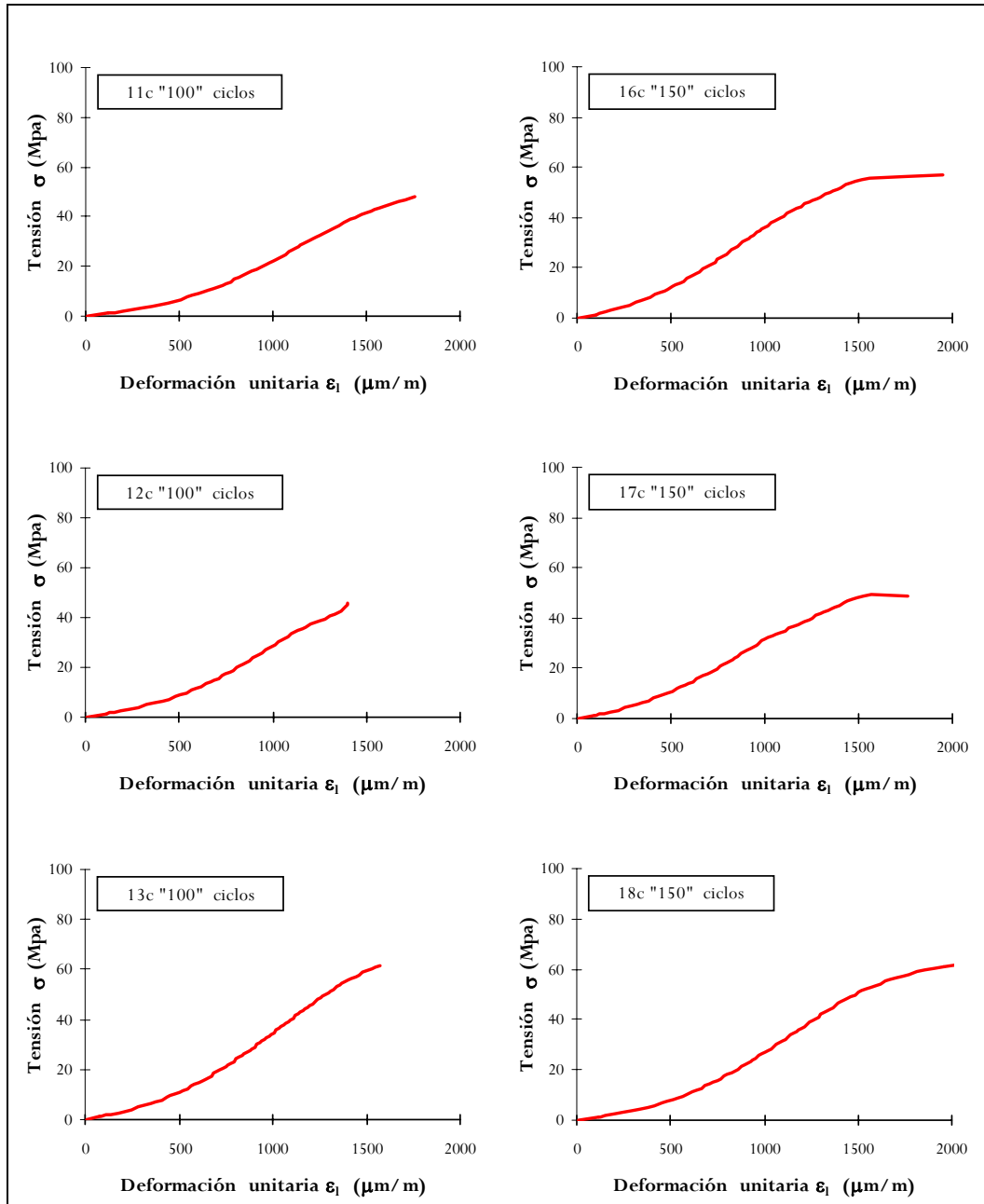


Figura 1. Curvas esfuerzo-deformación grupo C, probetas sometidas a "100" y "150" ciclos.

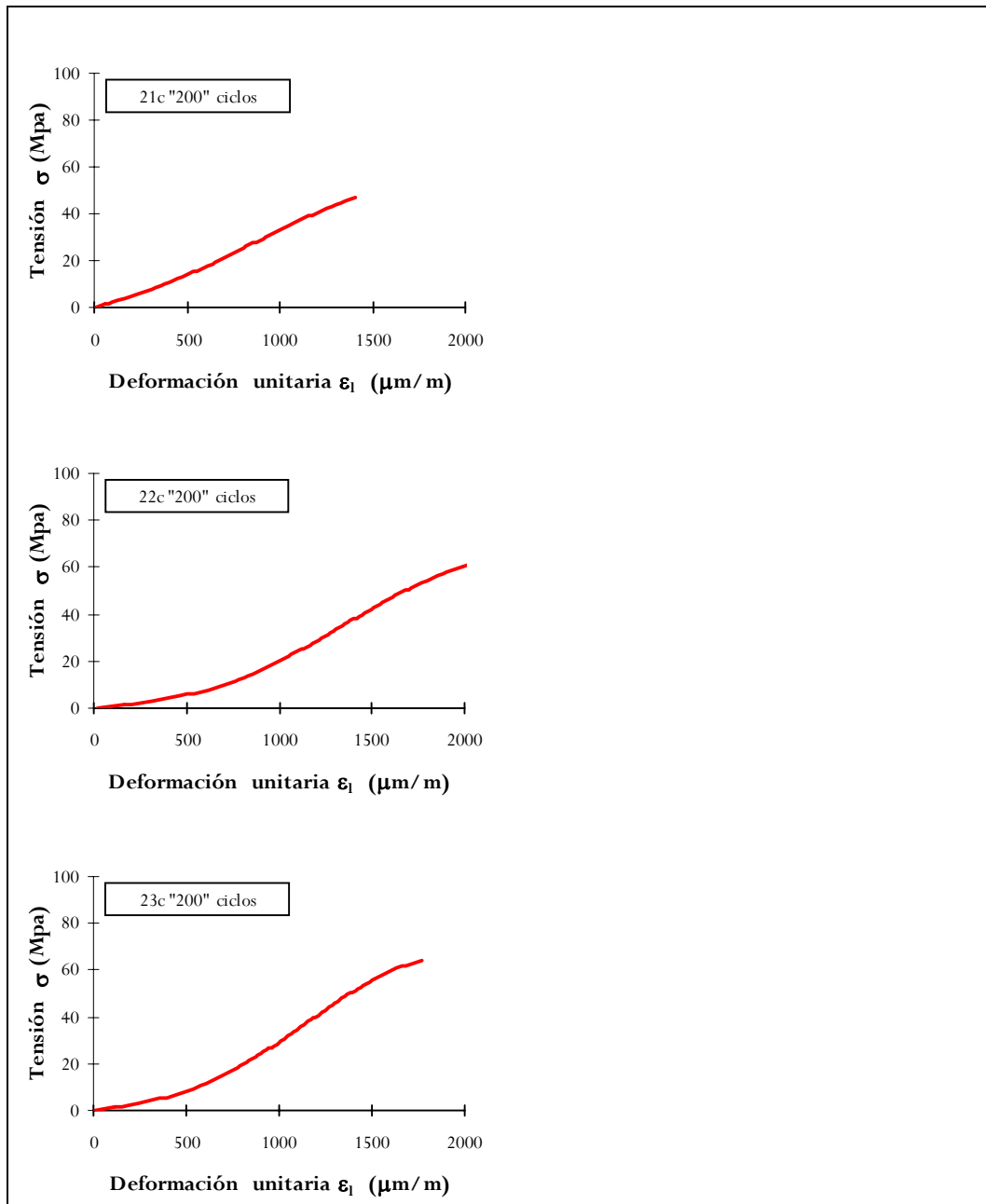


Figura 1. Curvas esfuerzo-deformación grupo C, probetas sometidas a "200" ciclos.

ANEXO 8

Tabla 1. Absorción: incremento de masa por inmersión ΔM (total y % en peso). Grupo A "0" ciclos.

\sqrt{t} (min)	1a			2a			3a			4a		
	Peso (gr)	ΔM (gr)	$\Delta M(\%)$	Peso (gr)	ΔM (gr)	$\Delta M(\%)$	Peso (gr)	ΔM (gr)	$\Delta M(\%)$	Peso (gr)	ΔM (gr)	$\Delta M(\%)$
0	995,5			973,4			1.044,0			1.003,7		
1	997,1	1,6	0,16	974,9	1,5	0,15	1.044,9	0,9	0,09	1.005,3	1,6	0,16
2,23	996,4	-0,7	0,09	973,9	-1,0	0,05	1.044,6	-0,3	0,06	1.004,2	-1,1	0,05
3,16	996,1	-0,3	0,06	974,0	0,1	0,06	1.044,6	0,0	0,06	1.004,2	0,0	0,05
4,47	996,2	0,1	0,07	974,2	0,2	0,08	1.044,9	0,3	0,09	1.004,2	0,0	0,05
6,32	996,2	0,0	0,07	974,0	-0,2	0,06	1.044,7	-0,2	0,07	1.004,3	0,1	0,06
8,94	996,3	0,1	0,08	973,9	-0,1	0,05	1.044,8	0,1	0,08	1.004,2	-0,1	0,05
12,64	996,3	0,0	0,08	974,2	0,3	0,08	1.045,0	0,2	0,10	1.004,2	0,0	0,05
18,43	996,2	-0,1	0,07	974,2	0,0	0,08	1.044,7	-0,3	0,07	1.004,1	-0,1	0,04
24,08	996,3	0,1	0,08	974,2	0,0	0,08	1.044,7	0,0	0,07	1.004,1	0,0	0,04
36,05	996,4	0,1	0,09	974,3	0,1	0,09	1.045,0	0,3	0,10	1.004,3	0,2	0,06
52,34	996,4	0,0	0,09	974,2	-0,1	0,08	1.045,1	0,1	0,11	1.004,4	0,1	0,07
74,96	996,5	0,1	0,10	974,3	0,1	0,09	1.044,8	-0,3	0,08	1.004,1	-0,3	0,04
106,67	996,8	0,3	0,13	974,7	0,4	0,13	1.045,3	0,5	0,12	1.004,6	0,5	0,09
151,32	997,1	0,3	0,16	974,7	0,0	0,13	1.045,2	-0,1	0,11	1.004,6	0,0	0,09
214,33	997,1	0,0	0,16	974,4	-0,3	0,10	1.045,3	0,1	0,12	1.004,6	0,0	0,09
298,56	996,8	-0,3	0,13	974,5	0,1	0,11	1.045,0	-0,3	0,10	1.004,4	-0,2	0,07

Tabla 1. Absorción: incremento de masa por inmersión ΔM (total y % en peso). Grupo B "0" ciclos.

\sqrt{t} (min)	1b			2b			3b			4b		
	Peso (gr)	ΔM (gr)	$\Delta M(\%)$	Peso (gr)	ΔM (gr)	$\Delta M(\%)$	Peso (gr)	ΔM (gr)	$\Delta M(\%)$	Peso (gr)	ΔM (gr)	$\Delta M(\%)$
0	1.007,7			1.012,0			1.006,8			939,1		
1	1.008,8	1,1	0,11	1.013,1	1,1	0,11	1.007,7	0,9	0,09	940,4	1,3	0,14
2,23	1.009,3	0,5	0,16	1.013,4	0,3	0,14	1.008,3	0,6	0,15	940,7	0,3	0,17
3,16	1.009,1	-0,2	0,14	1.013,4	0,0	0,14	1.008,2	-0,1	0,14	940,5	-0,2	0,15
4,47	1.009,0	-0,1	0,13	1.013,2	-0,2	0,12	1.007,9	-0,3	0,11	940,2	-0,3	0,12
6,32	1.009,1	0,1	0,14	1.013,2	0,0	0,12	1.008,2	0,3	0,14	940,5	0,3	0,15
8,94	1.008,6	-0,5	0,09	1.012,9	-0,3	0,09	1.007,9	-0,3	0,11	940,3	-0,2	0,13
12,64	1.009,1	0,5	0,14	1.013,3	0,4	0,13	1.008,1	0,2	0,13	940,5	0,2	0,15
18,43	1.008,9	-0,2	0,12	1.013,2	-0,1	0,12	1.008,0	-0,1	0,12	940,5	0,0	0,15
24,08	1.009,1	0,2	0,14	1.013,3	0,1	0,13	1.008,1	0,1	0,13	940,6	0,1	0,16
36,05	1.009,2	0,1	0,15	1.013,5	0,2	0,15	1.008,1	0,0	0,13	940,6	0,0	0,16
52,34	1.009,2	0,0	0,15	1.013,5	0,0	0,15	1.008,3	0,2	0,15	940,6	0,0	0,16
74,96	1.009,3	0,1	0,16	1.013,6	0,1	0,16	1.008,2	-0,1	0,14	940,7	0,1	0,17
106,67	1.009,4	0,1	0,17	1.013,6	0,0	0,16	1.008,3	0,1	0,15	940,8	0,1	0,18
151,32	1.009,5	0,1	0,18	1.013,8	0,2	0,18	1.008,7	0,4	0,19	940,9	0,1	0,19
214,33	1.009,5	0,0	0,18	1.013,9	0,1	0,19	1.008,7	0,0	0,19	941,0	0,1	0,20
298,56	1.009,8	0,3	0,21	1.014,0	0,1	0,20	1.008,8	0,1	0,20	941,1	0,1	0,21

ESTUDIO DE ELEMENTOS ARQUITECTÓNICOS Y COMPOSICIÓN DE MATERIALES DEL PATIO DE LOS LEONES.
INTERACCIONES EN SUS CAUSAS DE DETERIORO

Tabla 1. Absorción: incremento de masa por inmersión ΔM (total y % en peso). Grupo C "0" ciclos.

\sqrt{t} (min)	1c			2c			3c			4c		
	Peso (gr)	ΔM (gr)	ΔM (%)	Peso (gr)	ΔM (gr)	ΔM (%)	Peso (gr)	ΔM (gr)	ΔM (%)	Peso (gr)	ΔM (gr)	ΔM (%)
0	936,6			960,8			954,8			986,8		
1	937,5	0,9	0,10	961,7	0,9	0,09	955,6	0,8	0,08	987,7	0,9	0,09
2,23	937,7	0,2	0,12	961,7	0,0	0,09	955,9	0,3	0,12	988,2	0,5	0,14
3,16	938,0	0,3	0,15	962,2	0,5	0,15	956,0	0,1	0,13	988,2	0,0	0,14
4,47	937,8	-0,2	0,13	961,9	-0,3	0,11	955,9	-0,1	0,12	988,1	-0,1	0,13
6,32	937,8	0,0	0,13	961,8	-0,1	0,10	955,7	-0,2	0,09	988,1	0,0	0,13
8,94	937,7	-0,1	0,12	961,8	0,0	0,10	955,9	0,2	0,12	987,9	-0,2	0,11
12,64	937,7	0,0	0,12	961,9	0,1	0,11	955,8	-0,1	0,10	988,0	0,1	0,12
18,43	937,5	-0,2	0,10	961,5	-0,4	0,07	955,6	-0,2	0,08	987,8	-0,2	0,10
24,08	937,7	0,2	0,12	962,7	1,2	0,20	955,8	0,2	0,10	988,1	0,3	0,13
36,05	937,9	0,2	0,14	962,0	-0,7	0,12	956,0	0,2	0,13	988,3	0,2	0,15
52,34	937,8	-0,1	0,13	961,9	-0,1	0,11	955,9	-0,1	0,12	988,1	-0,2	0,13
74,96	937,9	0,1	0,14	962,0	0,1	0,12	955,9	0,0	0,12	988,2	0,1	0,14
106,67	938,3	0,4	0,18	962,3	0,3	0,16	956,3	0,4	0,16	988,6	0,4	0,18
151,32	938,5	0,2	0,20	962,6	0,3	0,19	956,6	0,3	0,19	988,5	-0,1	0,17
214,33	938,4	-0,1	0,19	962,9	0,3	0,22	956,6	0,0	0,19	989,0	0,5	0,22
298,56	938,2	-0,2	0,17	962,6	-0,3	0,19	955,8	-0,8	0,10	988,7	-0,3	0,19

Tabla 1. Absorción: incremento de masa por inmersión ΔM (total y % en peso). Grupo A "50" ciclos.

\sqrt{t} (min)	6a			7a			8a			9a		
	Peso (gr)	ΔM (gr)	ΔM (%)	Peso (gr)	ΔM (gr)	ΔM (%)	Peso (gr)	ΔM (gr)	ΔM (%)	Peso (gr)	ΔM (gr)	ΔM (%)
0	1.026,6			1.059,7			989,3			1.039,2		
1	1.028,4	1,8	0,18	1.060,8	1,1	0,10	990,8	1,5	0,15	1.040,4	1,2	0,12
2,23	1.028,1	-0,3	0,15	1.060,8	0,0	0,10	990,5	-0,3	0,12	1.040,3	-0,1	0,11
3,16	1.027,5	-0,6	0,09	1.060,5	-0,3	0,08	990,4	-0,1	0,11	1.040,3	0,0	0,11
4,47	1.027,9	0,4	0,13	1.060,7	0,2	0,09	990,5	0,1	0,12	1.040,2	-0,1	0,10
6,32	1.027,9	0,0	0,13	1.060,8	0,1	0,10	990,6	0,1	0,13	1.040,3	0,1	0,11
8,94	1.027,5	-0,4	0,09	1.060,6	-0,2	0,08	990,4	-0,2	0,11	1.040,2	-0,1	0,10
12,64	1.027,8	0,3	0,12	1.060,8	0,2	0,10	990,7	0,3	0,14	1.040,4	0,2	0,12
18,43	1.027,6	-0,2	0,10	1.060,9	0,1	0,11	990,7	0,0	0,14	1.040,3	-0,1	0,11
24,08	1.027,7	0,1	0,11	1.060,9	0,0	0,11	990,6	-0,1	0,13	1.040,4	0,1	0,12
36,05	1.027,9	0,2	0,13	1.061,0	0,1	0,12	990,6	0,0	0,13	1.040,4	0,0	0,12
52,34	1.027,9	0,0	0,13	1.060,9	-0,1	0,11	990,9	0,3	0,16	1.040,5	0,1	0,13
74,96	1.027,8	-0,1	0,12	1.060,8	-0,1	0,10	990,5	-0,4	0,12	1.040,3	-0,2	0,11
106,67	1.028,3	0,5	0,17	1.061,4	0,6	0,16	991,0	0,5	0,17	1.040,9	0,6	0,16
151,32	1.028,3	0,0	0,17	1.061,4	0,0	0,16	991,0	0,0	0,17	1.040,9	0,0	0,16
214,33	1.028,5	0,2	0,19	1.061,6	0,2	0,18	991,0	0,0	0,17	1.040,9	0,0	0,16
298,56	1.028,4	-0,1	0,18	1.061,6	0,0	0,18	991,0	0,0	0,17	1.040,8	-0,1	0,15

Tabla 1. Absorción: incremento de masa por inmersión ΔM (total y % en peso). Grupo "50" ciclos.

\sqrt{t} (min)	6b			7b			8b			9b		
	Peso (gr)	ΔM (gr)	ΔM (%)	Peso (gr)	ΔM (gr)	ΔM (%)	Peso (gr)	ΔM (gr)	ΔM (%)	Peso (gr)	ΔM (gr)	ΔM (%)
0	1.007,7			1.012,0			1.006,8			939,1		
1	1.008,8	1,1	0,11	1.013,1	1,1	0,11	1.007,7	0,9	0,09	940,4	1,3	0,14
2,23	1.009,3	0,5	0,16	1.013,4	0,3	0,14	1.008,3	0,6	0,15	940,7	0,3	0,17
3,16	1.009,1	-0,2	0,14	1.013,4	0,0	0,14	1.008,2	-0,1	0,14	940,5	-0,2	0,15
4,47	1.009,0	-0,1	0,13	1.013,2	-0,2	0,12	1.007,9	-0,3	0,11	940,2	-0,3	0,12
6,32	1.009,1	0,1	0,14	1.013,2	0,0	0,12	1.008,2	0,3	0,14	940,5	0,3	0,15
8,94	1.008,6	-0,5	0,09	1.012,9	-0,3	0,09	1.007,9	-0,3	0,11	940,3	-0,2	0,13
12,64	1.009,1	0,5	0,14	1.013,3	0,4	0,13	1.008,1	0,2	0,13	940,5	0,2	0,15
18,43	1.008,9	-0,2	0,12	1.013,2	-0,1	0,12	1.008,0	-0,1	0,12	940,5	0,0	0,15
24,08	1.009,1	0,2	0,14	1.013,3	0,1	0,13	1.008,1	0,1	0,13	940,6	0,1	0,16
36,05	1.009,2	0,1	0,15	1.013,5	0,2	0,15	1.008,1	0,0	0,13	940,6	0,0	0,16
52,34	1.009,2	0,0	0,15	1.013,5	0,0	0,15	1.008,3	0,2	0,15	940,6	0,0	0,16
74,96	1.009,3	0,1	0,16	1.013,6	0,1	0,16	1.008,2	-0,1	0,14	940,7	0,1	0,17
106,67	1.009,4	0,1	0,17	1.013,6	0,0	0,16	1.008,3	0,1	0,15	940,8	0,1	0,18
151,32	1.009,5	0,1	0,18	1.013,8	0,2	0,18	1.008,7	0,4	0,19	940,9	0,1	0,19
214,33	1.009,5	0,0	0,18	1.013,9	0,1	0,19	1.008,7	0,0	0,19	941,0	0,1	0,20
298,56	1.009,8	0,3	0,21	1.014,0	0,1	0,20	1.008,8	0,1	0,20	941,1	0,1	0,21

ESTUDIO DE ELEMENTOS ARQUITECTÓNICOS Y COMPOSICIÓN DE MATERIALES DEL PATIO DE LOS LEONES.
INTERACCIONES EN SUS CAUSAS DE DETERIORO

Tabla 1. Absorción: incremento de masa por inmersión ΔM (total y % en peso). Grupo C "50" ciclos.

\sqrt{t} (min)	6c			7c			8c			9c		
	Peso (gr)	ΔM (gr)	$\Delta M(\%)$	Peso (gr)	ΔM (gr)	$\Delta M(\%)$	Peso (gr)	ΔM (gr)	$\Delta M(\%)$	Peso (gr)	ΔM (gr)	$\Delta M(\%)$
0	936,6			960,8			954,8			986,8		
1	937,5	0,9	0,10	961,7	0,9	0,09	955,6	0,8	0,08	987,7	0,9	0,09
2,23	937,7	0,2	0,12	961,7	0,0	0,09	955,9	0,3	0,12	988,2	0,5	0,14
3,16	938,0	0,3	0,15	962,2	0,5	0,15	956,0	0,1	0,13	988,2	0,0	0,14
4,47	937,8	-0,2	0,13	961,9	-0,3	0,11	955,9	-0,1	0,12	988,1	-0,1	0,13
6,32	937,8	0,0	0,13	961,8	-0,1	0,10	955,7	-0,2	0,09	988,1	0,0	0,13
8,94	937,7	-0,1	0,12	961,8	0,0	0,10	955,9	0,2	0,12	987,9	-0,2	0,11
12,64	937,7	0,0	0,12	961,9	0,1	0,11	955,8	-0,1	0,10	988,0	0,1	0,12
18,43	937,5	-0,2	0,10	961,5	-0,4	0,07	955,6	-0,2	0,08	987,8	-0,2	0,10
24,08	937,7	0,2	0,12	962,7	1,2	0,20	955,8	0,2	0,10	988,1	0,3	0,13
36,05	937,9	0,2	0,14	962,0	-0,7	0,12	956,0	0,2	0,13	988,3	0,2	0,15
52,34	937,8	-0,1	0,13	961,9	-0,1	0,11	955,9	-0,1	0,12	988,1	-0,2	0,13
74,96	937,9	0,1	0,14	962,0	0,1	0,12	955,9	0,0	0,12	988,2	0,1	0,14
106,67	938,3	0,4	0,18	962,3	0,3	0,16	956,3	0,4	0,16	988,6	0,4	0,18
151,32	938,5	0,2	0,20	962,6	0,3	0,19	956,6	0,3	0,19	988,5	-0,1	0,17
214,33	938,4	-0,1	0,19	962,9	0,3	0,22	956,6	0,0	0,19	989,0	0,5	0,22
298,56	938,2	-0,2	0,17	962,6	-0,3	0,19	955,8	-0,8	0,10	988,7	-0,3	0,19

Tabla 1. Absorción: incremento de masa por inmersión ΔM (total y % en peso). Grupo A "100" ciclos.

\sqrt{t} (min)	11a			12a			13a			14a		
	Peso (gr)	ΔM (gr)	ΔM (%)	Peso (gr)	ΔM (gr)	ΔM (%)	Peso (gr)	ΔM (gr)	ΔM (%)	Peso (gr)	ΔM (gr)	ΔM (%)
0	945,9			918,1			925,7			941,2		
1	946,3	0,4	0,04	918,5	0,4	0,04	926,0	0,3	0,03	941,5	0,3	0,03
2,23	946,7	0,4	0,08	919,0	0,5	0,10	926,7	0,7	0,11	942,2	0,7	0,11
3,16	947,0	0,3	0,12	919,2	0,2	0,12	926,9	0,2	0,13	942,4	0,2	0,13
4,47	947,0	0,0	0,12	919,4	0,2	0,14	927,0	0,1	0,14	942,3	-0,1	0,12
6,32	947,0	0,0	0,12	919,5	0,1	0,15	927,0	0,0	0,14	942,4	0,1	0,13
8,94	947,1	0,1	0,13	919,4	-0,1	0,14	926,9	-0,1	0,13	942,5	0,1	0,14
12,64	947,1	0,0	0,13	919,3	-0,1	0,13	926,9	0,0	0,13	942,3	-0,2	0,12
18,43	947,2	0,1	0,14	919,5	0,2	0,15	927,0	0,1	0,14	942,4	0,1	0,13
24,08	947,4	0,2	0,16	919,6	0,1	0,16	927,2	0,2	0,16	942,6	0,2	0,15
36,05	947,3	-0,1	0,15	919,6	0,0	0,16	927,1	-0,1	0,15	942,6	0,0	0,15
52,34	947,3	0,0	0,15	919,6	0,0	0,16	927,4	0,3	0,18	942,8	0,2	0,17
74,96	947,6	0,3	0,18	919,9	0,3	0,20	927,5	0,1	0,19	942,8	0,0	0,17
106,67	947,5	-0,1	0,17	919,8	-0,1	0,19	927,4	-0,1	0,18	942,8	0,0	0,17
151,32	947,6	0,1	0,18	919,9	0,1	0,20	927,5	0,1	0,19	942,9	0,1	0,18
214,33	947,8	0,2	0,20	920,1	0,2	0,22	927,6	0,1	0,21	943,1	0,2	0,20
298,56	947,8	0,0	0,20	920,1	0,0	0,22	927,7	0,1	0,22	943,3	0,2	0,22

Tabla 1. Absorción: incremento de masa por inmersión ΔM (total y % en peso). Grupo B "100" ciclos.

\sqrt{t} (min)	11b			12b			13b			14b		
	Peso (gr)	ΔM (gr)	ΔM (%)	Peso (gr)	ΔM (gr)	ΔM (%)	Peso (gr)	ΔM (gr)	ΔM (%)	Peso (gr)	ΔM (gr)	ΔM (%)
0	891,1			897,8			1.001,2			948,0		
1	891,6	0,5	0,06	898,3	0,5	0,06	1.001,8	0,6	0,06	948,6	0,6	0,06
2,23	892,2	0,6	0,12	898,9	0,6	0,12	1.002,6	0,8	0,14	949,0	0,4	0,11
3,16	892,4	0,2	0,15	899,0	0,1	0,13	1.002,6	0,0	0,14	949,2	0,2	0,13
4,47	892,4	0,0	0,15	899,1	0,1	0,14	1.002,7	0,1	0,15	949,4	0,2	0,15
6,32	892,4	0,0	0,15	899,2	0,1	0,16	1.002,8	0,1	0,16	949,4	0,0	0,15
8,94	892,6	0,2	0,17	899,2	0,0	0,16	1.002,8	0,0	0,16	949,5	0,1	0,16
12,64	892,5	-0,1	0,16	899,3	0,1	0,17	1.002,8	0,0	0,16	949,3	-0,2	0,14
18,43	892,5	0,0	0,16	899,3	0,0	0,17	1.002,9	0,1	0,17	949,3	0,0	0,14
24,08	892,7	0,2	0,18	899,4	0,1	0,18	1.003,0	0,1	0,18	949,4	0,1	0,15
36,05	892,6	-0,1	0,17	899,4	0,0	0,18	1.002,9	-0,1	0,17	949,6	0,2	0,17
52,34	892,7	0,1	0,18	899,6	0,2	0,20	1.003,0	0,1	0,18	949,4	-0,2	0,15
74,96	892,8	0,1	0,19	899,6	0,0	0,20	1.003,1	0,1	0,19	949,9	0,5	0,20
106,67	892,9	0,1	0,20	899,8	0,2	0,22	1.003,3	0,2	0,21	949,9	0,0	0,20
151,32	893,1	0,2	0,22	899,9	0,1	0,23	1.003,5	0,2	0,23	950,0	0,1	0,21
214,33	893,1	0,0	0,22	899,9	0,0	0,23	1.003,7	0,2	0,25	950,3	0,3	0,24
298,56	893,3	0,2	0,25	900,2	0,3	0,27	1.004,0	0,3	0,28	950,5	0,2	0,26

ESTUDIO DE ELEMENTOS ARQUITECTÓNICOS Y COMPOSICIÓN DE MATERIALES DEL PATIO DE LOS LEONES.
INTERACCIONES EN SUS CAUSAS DE DETERIORO

Tabla 1. Absorción: incremento de masa por inmersión ΔM (total y % en peso). Grupo C "100" ciclos.

\sqrt{t} (min)	11c			12c			13c			14c		
	Peso (gr)	ΔM (gr)	ΔM (%)	Peso (gr)	ΔM (gr)	ΔM (%)	Peso (gr)	ΔM (gr)	ΔM (%)	Peso (gr)	ΔM (gr)	ΔM (%)
0	1.007,6			869,2			976,2			960,2		
1	1.008,5	0,9	0,09	869,8	0,6	0,07	976,6	0,4	0,04	960,6	0,4	0,04
2,23	1.009,1	0,6	0,15	870,3	0,5	0,13	977,2	0,6	0,10	961,1	0,5	0,09
3,16	1.009,1	0,0	0,15	870,2	-0,1	0,12	977,2	0,0	0,10	961,6	0,5	0,15
4,47	1.009,2	0,1	0,16	870,4	0,2	0,14	977,2	0,0	0,10	961,3	-0,3	0,11
6,32	1.009,3	0,1	0,17	870,4	0,0	0,14	977,4	0,2	0,12	961,5	0,2	0,14
8,94	1.009,2	-0,1	0,16	870,5	0,1	0,15	977,6	0,2	0,14	961,5	0,0	0,14
12,64	1.009,3	0,1	0,17	870,7	0,2	0,17	977,7	0,1	0,15	961,6	0,1	0,15
18,43	1.009,3	0,0	0,17	870,7	0,0	0,17	977,7	0,0	0,15	961,6	0,0	0,15
24,08	1.009,5	0,2	0,19	870,7	0,0	0,17	977,7	0,0	0,15	961,7	0,1	0,16
36,05	1.009,5	0,0	0,19	870,7	0,0	0,17	977,8	0,1	0,16	961,7	0,0	0,16
52,34	1.009,4	-0,1	0,18	870,6	-0,1	0,16	977,6	-0,2	0,14	961,7	0,0	0,16
74,96	1.009,8	0,4	0,22	871,0	0,4	0,21	978,0	0,4	0,18	961,9	0,2	0,18
106,67	1.009,8	0,0	0,22	871,1	0,1	0,22	978,1	0,1	0,19	962,0	0,1	0,19
151,32	1.010,1	0,3	0,25	871,2	0,1	0,23	978,1	0,0	0,19	962,3	0,3	0,22
214,33	1.010,0	-0,1	0,24	871,0	-0,2	0,21	978,0	-0,1	0,18	962,1	-0,2	0,20
298,56	1.010,3	0,3	0,27	871,2	0,2	0,23	978,4	0,4	0,23	962,5	0,4	0,24

Tabla 1. Absorción: incremento de masa por inmersión ΔM (total y % en peso). Grupo A "150" ciclos.

\sqrt{t} (min)	16a			17a			18a			19a		
	Peso (gr)	ΔM (gr)	$\Delta M(\%)$	Peso (gr)	ΔM (gr)	$\Delta M(\%)$	Peso (gr)	ΔM (gr)	$\Delta M(\%)$	Peso (gr)	ΔM (gr)	$\Delta M(\%)$
0	975,7			988,4			969,1			995,2		
1	975,9	0,2	0,02	988,6	0,2	0,02	969,2	0,1	0,01	995,5	0,3	0,03
2,23	976,3	0,4	0,06	989,2	0,6	0,08	969,6	0,4	0,05	996,0	0,5	0,08
3,16	976,5	0,2	0,08	989,3	0,1	0,09	969,8	0,2	0,07	996,3	0,3	0,11
4,47	976,7	0,2	0,10	989,4	0,1	0,10	970,0	0,2	0,09	996,2	-0,1	0,10
6,32	976,6	-0,1	0,09	989,5	0,1	0,11	970,0	0,0	0,09	996,3	0,1	0,11
8,94	976,6	0,0	0,09	989,5	0,0	0,11	970,1	0,1	0,10	996,2	-0,1	0,10
12,64	976,7	0,1	0,10	989,5	0,0	0,11	970,0	-0,1	0,09	996,4	0,2	0,12
18,43	976,7	0,0	0,10	989,5	0,0	0,11	970,1	0,1	0,10	996,4	0,0	0,12
24,08	977,0	0,3	0,13	989,9	0,4	0,15	970,3	0,2	0,12	996,6	0,2	0,14
36,05	976,9	-0,1	0,12	989,6	-0,3	0,12	970,3	0,0	0,12	996,4	-0,2	0,12
52,34	977,2	0,3	0,15	989,9	0,3	0,15	970,3	0,0	0,12	996,7	0,3	0,15
74,96	977,3	0,1	0,16	990,1	0,2	0,17	970,6	0,3	0,15	996,8	0,1	0,16
106,67	977,2	-0,1	0,15	990,0	-0,1	0,16	970,3	-0,3	0,12	996,7	-0,1	0,15
151,32	977,5	0,3	0,18	990,3	0,3	0,19	970,8	0,5	0,18	997,2	0,5	0,20
214,33	977,5	0,0	0,18	990,3	0,0	0,19	970,8	0,0	0,18	997,2	0,0	0,20
298,56	977,5	0,0	0,18	990,3	0,0	0,19	970,9	0,1	0,19	997,1	-0,1	0,19

Tabla 1. Absorción: incremento de masa por inmersión ΔM (total y % en peso). Grupo B "150" ciclos.

\sqrt{t} (min)	16b			17b			18b			19b		
	Peso (gr)	ΔM (gr)	$\Delta M(\%)$	Peso (gr)	ΔM (gr)	$\Delta M(\%)$	Peso (gr)	ΔM (gr)	$\Delta M(\%)$	Peso (gr)	ΔM (gr)	$\Delta M(\%)$
0	937,5			944,5			889,4			1.000,2		
1	938,1	0,6	0,06	944,8	0,3	0,03	889,8	0,4	0,04	1.001,6	1,4	0,14
2,23	938,5	0,4	0,11	945,4	0,6	0,10	890,0	0,2	0,07	1.001,1	-0,5	0,09
3,16	938,6	0,1	0,12	945,5	0,1	0,11	890,2	0,2	0,09	1.001,2	0,1	0,10
4,47	938,7	0,1	0,13	945,6	0,1	0,12	890,3	0,1	0,10	1.001,3	0,1	0,11
6,32	938,8	0,1	0,14	945,6	0,0	0,12	890,3	0,0	0,10	1.001,3	0,0	0,11
8,94	938,8	0,0	0,14	945,7	0,1	0,13	890,4	0,1	0,11	1.001,4	0,1	0,12
12,64	938,7	-0,1	0,13	945,7	0,0	0,13	890,3	-0,1	0,10	1.001,4	0,0	0,12
18,43	938,7	0,0	0,13	945,8	0,1	0,14	890,5	0,2	0,12	1.001,4	0,0	0,12
24,08	938,9	0,2	0,15	945,8	0,0	0,14	890,5	0,0	0,12	1.001,6	0,2	0,14
36,05	939,0	0,1	0,16	945,9	0,1	0,15	890,6	0,1	0,13	1.001,7	0,1	0,15
52,34	938,8	-0,2	0,14	945,9	0,0	0,15	890,4	-0,2	0,11	1.001,4	-0,3	0,12
74,96	939,2	0,4	0,18	946,1	0,2	0,17	890,7	0,3	0,15	1.001,8	0,4	0,16
106,67	939,3	0,1	0,19	946,2	0,1	0,18	890,9	0,2	0,17	1.001,9	0,1	0,17
151,32	939,6	0,3	0,22	946,4	0,2	0,20	891,1	0,2	0,19	1.002,1	0,2	0,19
214,33	939,0	-0,6	0,16	946,5	0,1	0,21	891,2	0,1	0,20	1.002,3	0,2	0,21
298,56	939,9	0,9	0,26	946,7	0,2	0,23	891,4	0,2	0,22	1.002,4	0,1	0,22

ESTUDIO DE ELEMENTOS ARQUITECTÓNICOS Y COMPOSICIÓN DE MATERIALES DEL PATIO DE LOS LEONES.
INTERACCIONES EN SUS CAUSAS DE DETERIORO

Tabla 1. Absorción: incremento de masa por inmersión ΔM (total y % en peso). Grupo C "150" ciclos.

\sqrt{t} (min)	16c			17c			18c			19c		
	Peso (gr)	ΔM (gr)	$\Delta M(\%)$	Peso (gr)	ΔM (gr)	$\Delta M(\%)$	Peso (gr)	ΔM (gr)	$\Delta M(\%)$	Peso (gr)	ΔM (gr)	$\Delta M(\%)$
0	907,3			940,7			930,1			904,5		
1	907,7	0,4	0,04	941,1	0,4	0,04	930,5	0,4	0,04	904,8	0,3	0,03
2,23	908,2	0,5	0,10	941,6	0,5	0,10	930,9	0,4	0,09	905,0	0,2	0,06
3,16	908,2	0,0	0,10	941,6	0,0	0,10	931,0	0,1	0,10	905,3	0,3	0,09
4,47	908,1	-0,1	0,09	941,5	-0,1	0,09	930,9	-0,1	0,09	905,1	-0,2	0,07
6,32	908,5	0,4	0,13	941,8	0,3	0,12	931,2	0,3	0,12	905,4	0,3	0,10
8,94	908,4	-0,1	0,12	941,8	0,0	0,12	931,1	-0,1	0,11	905,5	0,1	0,11
12,64	908,5	0,1	0,13	941,9	0,1	0,13	931,3	0,2	0,13	905,5	0,0	0,11
18,43	908,5	0,0	0,13	941,9	0,0	0,13	931,4	0,1	0,14	905,7	0,2	0,13
24,08	908,6	0,1	0,14	942,0	0,1	0,14	931,5	0,1	0,15	905,6	-0,1	0,12
36,05	908,5	-0,1	0,13	941,9	-0,1	0,13	931,3	-0,2	0,13	905,5	-0,1	0,11
52,34	908,5	0,0	0,13	942,0	0,1	0,14	931,3	0,0	0,13	905,5	0,0	0,11
74,96	908,8	0,3	0,17	942,2	0,2	0,16	931,6	0,3	0,16	905,7	0,2	0,13
106,67	909,0	0,2	0,19	942,3	0,1	0,17	931,7	0,1	0,17	906,0	0,3	0,17
151,32	909,2	0,2	0,21	942,5	0,2	0,19	931,9	0,2	0,19	906,0	0,0	0,17
214,33	909,2	0,0	0,21	942,6	0,1	0,20	931,9	0,0	0,19	906,0	0,0	0,17
298,56	909,2	0,0	0,21	942,8	0,2	0,22	932,1	0,2	0,22	906,3	0,3	0,20

Tabla 1. Absorción: incremento de masa por inmersión ΔM (total y % en peso). Grupo A "200" ciclos.

\sqrt{t} (min)	21a			22a			23a			24a		
	Peso (gr)	ΔM (gr)	$\Delta M(\%)$	Peso (gr)	ΔM (gr)	$\Delta M(\%)$	Peso (gr)	ΔM (gr)	$\Delta M(\%)$	Peso (gr)	ΔM (gr)	$\Delta M(\%)$
0	951,2			989,8			948,3			919,4		
1	951,6	0,4	0,04	990,5	0,7	0,07	948,9	0,6	0,06	920,1	0,7	0,08
2,23	952,0	0,4	0,08	990,8	0,3	0,10	949,2	0,3	0,09	920,3	0,2	0,10
3,16	952,2	0,2	0,11	990,9	0,1	0,11	949,2	0,0	0,09	920,3	0,0	0,10
4,47	952,1	-0,1	0,09	991,0	0,1	0,12	949,3	0,1	0,11	920,4	0,1	0,11
6,32	952,3	0,2	0,12	991,1	0,1	0,13	949,4	0,1	0,12	920,3	-0,1	0,10
8,94	952,5	0,2	0,14	991,3	0,2	0,15	949,5	0,1	0,13	920,8	0,5	0,15
12,64	952,5	0,0	0,14	991,3	0,0	0,15	949,6	0,1	0,14	920,7	-0,1	0,14
18,43	952,4	-0,1	0,13	991,3	0,0	0,15	949,5	-0,1	0,13	920,6	-0,1	0,13
24,08	952,6	0,2	0,15	991,3	0,0	0,15	949,5	0,0	0,13	920,4	-0,2	0,11
36,05	952,4	-0,2	0,13	991,2	-0,1	0,14	949,6	0,1	0,14	920,8	0,4	0,15
52,34	952,6	0,2	0,15	991,5	0,3	0,17	949,8	0,2	0,16	920,8	0,0	0,15
74,96	952,5	-0,1	0,14	991,4	-0,1	0,16	949,5	-0,3	0,13	920,6	-0,2	0,13
106,67	953,1	0,6	0,20	991,8	0,4	0,20	950,1	0,6	0,19	921,1	0,5	0,18
151,32	953,4	0,3	0,23	992,1	0,3	0,23	950,5	0,4	0,23	921,5	0,4	0,23
214,33	954,1	0,7	0,30	992,6	0,5	0,28	950,9	0,4	0,27	921,8	0,3	0,26
298,56												

Tabla 1. Absorción: incremento de masa por inmersión ΔM (total y % en peso). Grupo B "200" ciclos.

\sqrt{t} (min)	21b			22b			23b			24b		
	Peso (gr)	ΔM (gr)	$\Delta M(\%)$	Peso (gr)	ΔM (gr)	$\Delta M(\%)$	Peso (gr)	ΔM (gr)	$\Delta M(\%)$	Peso (gr)	ΔM (gr)	$\Delta M(\%)$
0	954,7			946,7			942,0			994,8		
1	955,3	0,6	0,06	947,2	0,5	0,05	942,4	0,4	0,04	995,4	0,6	0,06
2,23	955,6	0,3	0,09	947,6	0,4	0,10	942,7	0,3	0,07	995,6	0,2	0,08
3,16	955,8	0,2	0,12	947,7	0,1	0,11	942,9	0,2	0,10	995,9	0,3	0,11
4,47	955,8	0,0	0,12	947,7	0,0	0,11	942,9	0,0	0,10	995,7	-0,2	0,09
6,32	955,8	0,0	0,12	947,8	0,1	0,12	942,9	0,0	0,10	995,9	0,2	0,11
8,94	956,2	0,4	0,16	948,1	0,3	0,15	943,2	0,3	0,13	996,1	0,2	0,13
12,64	956,0	-0,2	0,14	948,1	0,0	0,15	943,2	0,0	0,13	996,2	0,1	0,14
18,43	956,0	0,0	0,14	947,8	-0,3	0,12	943,1	-0,1	0,12	996,1	-0,1	0,13
24,08	955,8	-0,2	0,12	947,9	0,1	0,13	943,1	0,0	0,12	996,0	-0,1	0,12
36,05	956,1	0,3	0,15	948,1	0,2	0,15	943,2	0,1	0,13	996,2	0,2	0,14
52,34	956,2	0,1	0,16	948,1	0,0	0,15	943,3	0,1	0,14	996,4	0,2	0,16
74,96	956,4	0,2	0,18	948,2	0,1	0,16	943,4	0,1	0,15	996,4	0,0	0,16
106,67	956,6	0,2	0,20	948,7	0,5	0,21	943,5	0,1	0,16	996,6	0,2	0,18
151,32	957,1	0,5	0,25	949,1	0,4	0,25	944,1	0,6	0,22	997,2	0,6	0,24
214,33	957,4	0,3	0,28	949,3	0,2	0,27	944,5	0,4	0,27	997,5	0,3	0,27
298,56												

ESTUDIO DE ELEMENTOS ARQUITECTÓNICOS Y COMPOSICIÓN DE MATERIALES DEL PATIO DE LOS LEONES.
INTERACCIONES EN SUS CAUSAS DE DETERIORO

Tabla 1. Absorción: incremento de masa por inmersión ΔM (total y % en peso). Grupo C "200" ciclos.

\sqrt{t} (min)	21c			22c			23c			24c		
	Peso (gr)	ΔM (gr)	ΔM (%)	Peso (gr)	ΔM (gr)	ΔM (%)	Peso (gr)	ΔM (gr)	ΔM (%)	Peso (gr)	ΔM (gr)	ΔM (%)
0	890,0			934,5			930,1			919,7		
1	890,6	0,6	0,07	935,0	0,5	0,05	930,5	0,4	0,04	920,2	0,5	0,05
2,23	891,1	0,5	0,12	935,7	0,7	0,13	931,1	0,6	0,11	920,7	0,5	0,11
3,16	891,1	0,0	0,12	935,8	0,1	0,14	931,1	0,0	0,11	920,7	0,0	0,11
4,47	891,2	0,1	0,13	936,0	0,2	0,16	931,4	0,3	0,14	921,0	0,3	0,14
6,32	891,4	0,2	0,16	936,0	0,0	0,16	931,5	0,1	0,15	921,0	0,0	0,14
8,94	891,5	0,1	0,17	936,0	0,0	0,16	931,5	0,0	0,15	921,0	0,0	0,14
12,64	891,5	0,0	0,17	936,1	0,1	0,17	931,6	0,1	0,16	921,2	0,2	0,16
18,43	891,5	0,0	0,17	936,1	0,0	0,17	931,5	-0,1	0,15	921,0	-0,2	0,14
24,08	891,6	0,1	0,18	936,2	0,1	0,18	931,6	0,1	0,16	921,2	0,2	0,16
36,05	891,7	0,1	0,19	936,3	0,1	0,19	931,7	0,1	0,17	921,3	0,1	0,17
52,34	891,7	0,0	0,19	936,4	0,1	0,20	931,8	0,1	0,18	921,5	0,2	0,20
74,96	892,0	0,3	0,22	936,4	0,0	0,20	932,1	0,3	0,22	921,5	0,0	0,20
106,67	892,0	0,0	0,22	936,6	0,2	0,22	932,1	0,0	0,22	921,8	0,3	0,23
151,32	892,3	0,3	0,26	937,1	0,5	0,28	932,5	0,4	0,26	922,2	0,4	0,27
214,33	892,7	0,4	0,30	937,6	0,5	0,33	933,0	0,5	0,31	922,4	0,2	0,29
298,56												

Tabla 2. Desorción: variación de masa por secado ΔM (total y % en peso). Grupo A "0" ciclos.

\sqrt{t} (min)	1a			2a			3a			4a		
	Peso (gr)	ΔM (gr)	$\Delta M(\%)$	Peso (gr)	ΔM (gr)	$\Delta M(\%)$	Peso (gr)	ΔM (gr)	$\Delta M(\%)$	Peso (gr)	ΔM (gr)	$\Delta M(\%)$
0	996,8			974,5			1.045,0			1.004,4		
1	996,8	0,0	0,00	974,5	0,0	0,00	1.045,0	0,0	0,00	1.004,4	0,0	0,00
2,23	996,3	-0,5	0,05	974,1	-0,4	0,04	1.044,6	-0,4	0,04	1.004,0	-0,4	0,04
3,16	995,9	-0,4	0,09	973,7	-0,4	0,08	1.044,3	-0,3	0,07	1.003,9	-0,1	0,05
4,47	995,7	-0,2	0,11	973,6	-0,1	0,09	1.044,2	-0,1	0,08	1.003,8	-0,1	0,06
6,32	995,8	0,1	0,10	973,6	0,0	0,09	1.044,2	0,0	0,08	1.003,8	0,0	0,06
8,94	995,7	-0,1	0,11	973,6	0,0	0,09	1.044,1	-0,1	0,09	1.003,6	-0,2	0,08
12,64	995,7	0,0	0,11	973,5	-0,1	0,10	1.044,0	-0,1	0,10	1.003,6	0,0	0,08
18,43	995,7	0,0	0,11	973,5	0,0	0,10	1.044,1	0,1	0,09	1.003,6	0,0	0,08
24,08	995,7	0,0	0,11	973,5	0,0	0,10	1.044,2	0,1	0,08	1.003,6	0,0	0,08
36,05	995,6	-0,1	0,12	973,5	0,0	0,10	1.044,2	0,0	0,08	1.003,6	0,0	0,08
52,34	995,5	-0,1	0,13	973,3	-0,2	0,12	1.043,9	-0,3	0,11	1.003,4	-0,2	0,10
74,96	995,5	0,0	0,13	973,4	0,1	0,11	1.044,0	0,1	0,10	1.003,5	0,1	0,09
106,67	995,4	-0,1	0,14	973,2	-0,2	0,13	1.043,8	-0,2	0,11	1.003,3	-0,2	0,11
151,32	995,6	0,2	0,12	973,3	0,1	0,12	1.043,8	0,0	0,11	1.003,4	0,1	0,10
214,33	995,6	0,0	0,12	973,2	-0,1	0,13	1.043,8	0,0	0,11	1.003,3	-0,1	0,11
298,56	995,4	-0,2	0,14	973,2		0,13	1.044,0	0,2	0,10	1.003,4	0,1	0,10

Tabla 2. Desorción: variación de masa por secado ΔM (total y % en peso). Grupo B "0" ciclos.

\sqrt{t} (min)	1b			2b			3b			4b		
	Peso (gr)	ΔM (gr)	$\Delta M(\%)$	Peso (gr)	ΔM (gr)	$\Delta M(\%)$	Peso (gr)	ΔM (gr)	$\Delta M(\%)$	Peso (gr)	ΔM (gr)	$\Delta M(\%)$
0	962,7			952,2			1.014,8			809,9		
1	962,7	0,0	0,00	952,2	0,0	0,00	1.014,8	0,0	0,00	809,9	0,0	0,00
2,23	962,1	-0,6	0,06	951,7	-0,5	0,05	1.014,2	-0,6	0,06	809,4	-0,5	0,06
3,16	961,8	-0,3	0,09	951,5	-0,2	0,07	1.013,8	-0,4	0,10	809,0	-0,4	0,11
4,47	961,6	-0,2	0,11	951,3	-0,2	0,09	1.014,0	0,2	0,08	809,1	0,1	0,10
6,32	961,5	-0,1	0,12	951,2	-0,1	0,11	1.013,7	-0,3	0,11	808,8	-0,3	0,14
8,94	961,5	0,0	0,12	951,2	0,0	0,11	1.013,7	0,0	0,11	808,8	0,0	0,14
12,64	961,5	0,0	0,12	951,2	0,0	0,11	1.013,7	0,0	0,11	808,8	0,0	0,14
18,43	961,4	-0,1	0,14	951,2	0,0	0,11	1.013,7	0,0	0,11	808,8	0,0	0,14
24,08	961,4	0,0	0,14	951,2	0,0	0,11	1.013,7	0,0	0,11	808,8	0,0	0,14
36,05	961,4	0,0	0,14	951,2	0,0	0,11	1.013,7	0,0	0,11	808,8	0,0	0,14
52,34	961,2	-0,2	0,16	951,0	-0,2	0,13	1.013,5	-0,2	0,13	808,7	-0,1	0,15
74,96	961,4	0,2	0,14	951,2	0,2	0,11	1.013,7	0,2	0,11	808,9	0,2	0,12
106,67	961,1	-0,3	0,17	950,9	-0,3	0,14	1.013,4	-0,3	0,14	808,6	-0,3	0,16
151,32	961,2	0,1	0,16	951,0	0,1	0,13	1.013,5	0,1	0,13	808,6	0,0	0,16
214,33	961,4	0,2	0,14	951,2	0,2	0,11	1.013,6	0,1	0,12	808,7	0,1	0,15
298,56	961,3	-0,1	0,15	951,0	-0,2	0,13	1.013,6	0,0	0,12	808,7	0,0	0,15

ESTUDIO DE ELEMENTOS ARQUITECTÓNICOS Y COMPOSICIÓN DE MATERIALES DEL PATIO DE LOS LEONES.
INTERACCIONES EN SUS CAUSAS DE DETERIORO

Tabla 2. Desorción: variación de masa por secado ΔM (total y % en peso). Grupo C "0" ciclos.

\sqrt{t} (min)	1c			2c			3c			4c		
	Peso (gr)	ΔM (gr)	$\Delta M(\%)$	Peso (gr)	ΔM (gr)	$\Delta M(\%)$	Peso (gr)	ΔM (gr)	$\Delta M(\%)$	Peso (gr)	ΔM (gr)	$\Delta M(\%)$
0	922,2			954,6			994,2			1.011,5		
1	922,2	0,0	0,00	954,6	0,0	0,00	994,2	0,0	0,00	1.011,5	0,0	0,00
2,23	921,6	-0,6	0,07	953,9	-0,7	0,07	993,6	-0,6	0,06	1.010,8	-0,7	0,07
3,16	921,4	-0,2	0,09	953,9	0,0	0,07	993,5	-0,1	0,07	1.010,8	0,0	0,07
4,47	921,1	-0,3	0,12	953,6	-0,3	0,10	993,1	-0,4	0,11	1.010,3	-0,5	0,12
6,32	921,0	-0,1	0,13	953,4	-0,2	0,13	993,0	-0,1	0,12	1.010,1	-0,2	0,14
8,94	920,9	-0,1	0,14	953,4	0,0	0,13	992,8	-0,2	0,14	1.010,0	-0,1	0,15
12,64	920,9	0,0	0,14	953,4	0,0	0,13	992,8	0,0	0,14	1.010,0	0,0	0,15
18,43	920,9	0,0	0,14	953,4	0,0	0,13	992,8	0,0	0,14	1.010,0	0,0	0,15
24,08	920,9	0,0	0,14	953,4	0,0	0,13	992,8	0,0	0,14	1.010,0	0,0	0,15
36,05	920,9	0,0	0,14	953,4	0,0	0,13	992,8	0,0	0,14	1.010,1	0,1	0,14
52,34	920,9	0,0	0,14	953,4	0,0	0,13	992,8	0,0	0,14	1.010,1	0,0	0,14
74,96	920,9	0,0	0,14	953,4	0,0	0,13	992,9	0,1	0,13	1.010,1	0,0	0,14
106,67	920,6	-0,3	0,17	953,3	-0,1	0,14	992,8	-0,1	0,14	1.010,1	0,0	0,14
151,32	920,6	0,0	0,17	953,1	-0,2	0,16	992,6	-0,2	0,16	1.009,9	-0,2	0,16
214,33	920,8	0,2	0,15	953,3	0,2	0,14	992,8	0,2	0,14	1.010,0	0,1	0,15
298,56	920,7	-0,1	0,16	953,2	-0,1	0,15	992,7	-0,1	0,15	1.010,0	0,0	0,15

Tabla 2. Desorción: variación de masa por secado ΔM (total y % en peso). Grupo A "50" ciclos.

\sqrt{t} (min)	6a			7a			8a			9a		
	Peso (gr)	ΔM (gr)	$\Delta M(\%)$	Peso (gr)	ΔM (gr)	$\Delta M(\%)$	Peso (gr)	ΔM (gr)	$\Delta M(\%)$	Peso (gr)	ΔM (gr)	$\Delta M(\%)$
0	1.028,4			1.061,6			991,0			1.040,8		
1	1.028,4	0,0	0,00	1.061,6	0,0	0,00	991,0	0,0	0,00	1.040,8	0,0	0,00
2,23	1.027,8	-0,6	0,06	1.060,9	-0,7	0,07	990,4	-0,6	0,06	1.040,0	-0,8	0,08
3,16	1.027,1	-0,7	0,13	1.060,2	-0,7	0,13	989,7	-0,7	0,13	1.039,5	-0,5	0,12
4,47	1.027,0	-0,1	0,14	1.060,1	-0,1	0,14	989,8	0,1	0,12	1.039,7	0,2	0,11
6,32	1.026,8	-0,2	0,16	1.059,9	-0,2	0,16	989,5	-0,3	0,15	1.039,4	-0,3	0,13
8,94	1.026,8	0,0	0,16	1.059,8	-0,1	0,17	989,4	-0,1	0,16	1.039,3	-0,1	0,14
12,64	1.026,7	-0,1	0,17	1.059,7	-0,1	0,18	989,5	0,1	0,15	1.039,4	0,1	0,13
18,43	1.026,7	0,0	0,17	1.059,7	0,0	0,18	989,4	-0,1	0,16	1.039,3	-0,1	0,14
24,08	1.026,7	0,0	0,17	1.059,7	0,0	0,18	989,4	0,0	0,16	1.039,3	0,0	0,14
36,05	1.026,6	-0,1	0,18	1.059,7	0,0	0,18	989,3	-0,1	0,17	1.039,2	-0,1	0,15
52,34	1.026,3	-0,3	0,20	1.059,3	-0,4	0,22	989,0	-0,3	0,20	1.038,9	-0,3	0,18
74,96	1.026,5	0,2	0,18	1.059,5	0,2	0,20	989,2	0,2	0,18	1.039,1	0,2	0,16
106,67	1.026,3	-0,2	0,20	1.059,3	-0,2	0,22	989,0	-0,2	0,20	1.038,9	-0,2	0,18
151,32	1.026,3	0,0	0,20	1.059,4	0,1	0,21	989,1	0,1	0,19	1.038,9	0,0	0,18
214,33	1.026,2	-0,1	0,21	1.059,4	0,0	0,21	989,0	-0,1	0,20	1.038,9	0,0	0,18
298,56	1.026,5	0,3	0,18	1.059,5	0,1	0,20	989,2	0,2	0,18	1.039,0	0,1	0,17

Tabla 2. Desorción: variación de masa por secado ΔM (total y % en peso). Grupo B "50" ciclos.

\sqrt{t} (min)	6b			7b			8b			9b		
	Peso (gr)	ΔM (gr)	$\Delta M(\%)$	Peso (gr)	ΔM (gr)	$\Delta M(\%)$	Peso (gr)	ΔM (gr)	$\Delta M(\%)$	Peso (gr)	ΔM (gr)	$\Delta M(\%)$
0	1.009,8			1.014,0			1.008,8			941,1		
1	1.009,8	0,0	0,00	1.014,0	0,0	0,00	1.008,8	0,0	0,00	941,1	0,0	0,00
2,23	1.009,3	-0,5	0,05	1.013,3	-0,7	0,07	1.008,3	-0,5	0,05	940,6	-0,5	0,05
3,16	1.008,5	-0,8	0,13	1.012,8	-0,5	0,12	1.007,9	-0,4	0,09	940,2	-0,4	0,10
4,47	1.008,4	-0,1	0,14	1.012,7	-0,1	0,13	1.007,5	-0,4	0,13	939,7	-0,5	0,15
6,32	1.008,0	-0,4	0,18	1.012,3	-0,4	0,17	1.007,5	0,0	0,13	939,3	-0,4	0,19
8,94	1.007,8	-0,2	0,20	1.012,2	-0,1	0,18	1.006,9	-0,6	0,19	939,2	-0,1	0,20
12,64	1.007,9	0,1	0,19	1.012,2	0,0	0,18	1.006,9	0,0	0,19	939,2	0,0	0,20
18,43	1.007,9	0,0	0,19	1.012,2	0,0	0,18	1.006,9	0,0	0,19	939,2	0,0	0,20
24,08	1.007,9	0,0	0,19	1.012,2	0,0	0,18	1.006,9	0,0	0,19	939,2	0,0	0,20
36,05	1.007,8	-0,1	0,20	1.012,1	-0,1	0,19	1.006,9	0,0	0,19	939,2	0,0	0,20
52,34	1.007,5	-0,3	0,23	1.012,0	-0,1	0,20	1.006,8	-0,1	0,20	939,1	-0,1	0,21
74,96	1.007,8	0,3	0,20	1.012,1	0,1	0,19	1.006,9	0,1	0,19	939,2	0,1	0,20
106,67	1.007,5	-0,3	0,23	1.011,8	-0,3	0,22	1.006,7	-0,2	0,21	938,9	-0,3	0,23
151,32	1.007,5	0,0	0,23	1.011,9	0,1	0,21	1.006,7	0,0	0,21	938,9	0,0	0,23
214,33	1.007,7	0,2	0,21	1.012,1	0,2	0,19	1.006,8	0,1	0,20	939,0	0,1	0,22
298,56	1.007,8	0,1	0,20	1.012,1	0,0	0,19	1.006,8	0,0	0,20	939,1	0,1	0,21

ESTUDIO DE ELEMENTOS ARQUITECTÓNICOS Y COMPOSICIÓN DE MATERIALES DEL PATIO DE LOS LEONES.
INTERACCIONES EN SUS CAUSAS DE DETERIORO

Tabla 2. Desorción: variación de masa por secado ΔM (total y % en peso). Grupo C "50" ciclos.

\sqrt{t} (min)	6c			7c			8c			9c		
	Peso (gr)	ΔM (gr)	$\Delta M(\%)$	Peso (gr)	ΔM (gr)	$\Delta M(\%)$	Peso (gr)	ΔM (gr)	$\Delta M(\%)$	Peso (gr)	ΔM (gr)	$\Delta M(\%)$
0	938,2			962,6			955,8			988,7		
1	938,2	0,0	0,00	962,6	0,0	0,00	955,8	0,0	0,00	988,7	0,0	0,00
2,23	937,5	-0,7	0,07	961,9	-0,7	0,07	955,2	-0,6	0,06	988,1	-0,6	0,06
3,16	937,5	0,0	0,07	961,9	0,0	0,07	955,3	0,1	0,05	988,0	-0,1	0,07
4,47	937,0	-0,5	0,13	961,3	-0,6	0,14	954,7	-0,6	0,12	987,3	-0,7	0,14
6,32	936,7	-0,3	0,16	961,1	-0,2	0,16	954,4	-0,3	0,15	987,0	-0,3	0,17
8,94	936,6	-0,1	0,17	961,0	-0,1	0,17	954,4	0,0	0,15	987,0	0,0	0,17
12,64	936,6	0,0	0,17	961,0	0,0	0,17	954,3	-0,1	0,16	986,9	-0,1	0,18
18,43	936,6	0,0	0,17	961,0	0,0	0,17	954,4	0,1	0,15	986,9	0,0	0,18
24,08	936,6	0,0	0,17	961,0	0,0	0,17	954,4	0,0	0,15	986,9	0,0	0,18
36,05	936,5	-0,1	0,18	960,9	-0,1	0,18	954,4	0,0	0,15	986,8	-0,1	0,19
52,34	936,5	0,0	0,18	960,8	-0,1	0,19	954,2	-0,2	0,17	986,7	-0,1	0,20
74,96	936,5	0,0	0,18	960,9	0,1	0,18	954,3	0,1	0,16	986,9	0,2	0,18
106,67	936,5	0,0	0,18	960,8	-0,1	0,19	954,3	0,0	0,16	986,8	-0,1	0,19
151,32	936,3	-0,2	0,20	960,6	-0,2	0,21	954,1	-0,2	0,18	988,6	1,8	0,01
214,33	936,5	0,2	0,18	960,8	0,2	0,19	954,3	0,2	0,16	986,8	-1,8	0,19
298,56	936,4	-0,1	0,19	960,7	-0,1	0,20	954,2	-0,1	0,17	986,6	-0,2	0,21

Tabla 2. Desorción: variación de masa por secado ΔM (total y % en peso). Grupo A "100" ciclos.

\sqrt{t} (min)	11a			12a			13a			14a		
	Peso (gr)	ΔM (gr)	$\Delta M(\%)$	Peso (gr)	ΔM (gr)	$\Delta M(\%)$	Peso (gr)	ΔM (gr)	$\Delta M(\%)$	Peso (gr)	ΔM (gr)	$\Delta M(\%)$
0	947,8			920,1			927,7			943,3		
1	947,6	-0,2	0,02	919,9	-0,2	0,02	927,6	-0,1	0,01	943,2	-0,1	0,01
2,23	947,2	-0,4	0,06	919,5	-0,4	0,07	927,3	-0,3	0,04	942,7	-0,5	0,06
3,16	946,8	-0,4	0,11	919,1	-0,4	0,11	926,8	-0,5	0,10	942,2	-0,5	0,12
4,47	946,6	-0,2	0,13	918,8	-0,3	0,14	926,5	-0,3	0,13	941,9	-0,3	0,15
6,32	946,5	-0,1	0,14	918,7	-0,1	0,15	926,4	-0,1	0,14	941,8	-0,1	0,16
8,94	946,2	-0,3	0,17	918,5	-0,2	0,17	926,2	-0,2	0,16	941,7	-0,1	0,17
12,64	946,1	-0,1	0,18	918,4	-0,1	0,18	926,0	-0,2	0,18	941,6	-0,1	0,18
18,43	946,1	0,0	0,18	918,4	0,0	0,18	926,0	0,0	0,18	941,5	-0,1	0,19
24,08	946,1	0,0	0,18	918,3	-0,1	0,20	925,9	-0,1	0,19	941,4	-0,1	0,20
36,05	945,9	-0,2	0,20	918,1	-0,2	0,22	925,7	-0,2	0,22	941,2	-0,2	0,22
52,34	945,8	-0,1	0,21	918,0	-0,1	0,23	925,6	-0,1	0,23	940,9	-0,3	0,25
74,96	945,8	0,0	0,21	918,0	0,0	0,23	925,6	0,0	0,23	940,9	0,0	0,25
106,67	945,9	0,1	0,20	918,0	0,0	0,23	925,7	0,1	0,22	941,0	0,1	0,24
151,32	945,9	0,0	0,20	918,0	0,0	0,23	925,6	-0,1	0,23	941,0	0,0	0,24
214,33	945,9	0,0	0,20	918,1	0,1	0,22	925,8	0,2	0,20	941,2	0,2	0,22
298,56												

Tabla 2. Desorción: variación de masa por secado ΔM (total y % en peso). Grupo B "100" ciclos.

\sqrt{t} (min)	11b			12b			13b			14b		
	Peso (gr)	ΔM (gr)	$\Delta M(\%)$	Peso (gr)	ΔM (gr)	$\Delta M(\%)$	Peso (gr)	ΔM (gr)	$\Delta M(\%)$	Peso (gr)	ΔM (gr)	$\Delta M(\%)$
0	893,3			900,2			1.004,0			950,5		
1	893,0	-0,3	0,03	899,9	-0,3	0,03	1.003,7	-0,3	0,03	950,2	-0,3	0,03
2,23	892,5	-0,5	0,09	899,6	-0,3	0,07	1.003,3	-0,4	0,07	949,6	-0,6	0,09
3,16	892,3	-0,2	0,11	899,3	-0,3	0,10	1.003,1	-0,2	0,09	949,4	-0,2	0,12
4,47	891,9	-0,4	0,16	899,0	-0,3	0,13	1.002,8	-0,3	0,12	949,2	-0,2	0,14
6,32	891,8	-0,1	0,17	898,5	-0,5	0,19	1.002,2	-0,6	0,18	948,8	-0,4	0,18
8,94	891,7	-0,1	0,18	898,6	0,1	0,18	1.002,3	0,1	0,17	948,8	0,0	0,18
12,64	891,6	-0,1	0,19	898,5	-0,1	0,19	1.002,2	-0,1	0,18	948,8	0,0	0,18
18,43	891,4	-0,2	0,21	898,2	-0,3	0,22	1.001,7	-0,5	0,23	948,4	-0,4	0,22
24,08	891,3	-0,1	0,22	898,1	-0,1	0,23	1.001,6	-0,1	0,24	948,3	-0,1	0,23
36,05	891,2	-0,1	0,24	898,1	0,0	0,23	1.001,5	-0,1	0,25	948,3	0,0	0,23
52,34	890,9	-0,3	0,27	897,8	-0,3	0,27	1.001,3	-0,2	0,27	948,0	-0,3	0,26
74,96	891,0	0,1	0,26	897,8	0,0	0,27	1.001,3	0,0	0,27	948,0	0,0	0,26
106,67	891,0	0,0	0,26	897,8	0,0	0,27	1.001,3	0,0	0,27	948,1	0,1	0,25
151,32	891,0	0,0	0,26	897,7	-0,1	0,28	1.001,2	-0,1	0,28	948,0	-0,1	0,26
214,33	891,1	0,1	0,25	897,9	0,2	0,26	1.001,4	0,2	0,26	948,2	0,2	0,24
298,56												

ESTUDIO DE ELEMENTOS ARQUITECTÓNICOS Y COMPOSICIÓN DE MATERIALES DEL PATIO DE LOS LEONES.
INTERACCIONES EN SUS CAUSAS DE DETERIORO

Tabla 2. Desorción: variación de masa por secado ΔM (total y % en peso). Grupo C "100" ciclos.

\sqrt{t} (min)	11c			12c			13c			14c		
	Peso (gr)	ΔM (gr)	ΔM (%)	Peso (gr)	ΔM (gr)	ΔM (%)	Peso (gr)	ΔM (gr)	ΔM (%)	Peso (gr)	ΔM (gr)	ΔM (%)
0	1.010,3			871,2			978,4			962,5		
1	1.009,9	-0,4	0,04	870,9	-0,3	0,03	978,1	-0,3	0,03	962,3	-0,2	0,02
2,23	1.009,4	-0,5	0,09	870,6	-0,3	0,07	977,6	-0,5	0,08	961,7	-0,6	0,08
3,16	1.009,0	-0,4	0,13	870,3	-0,3	0,10	977,3	-0,3	0,11	961,1	-0,6	0,15
4,47	1.008,6	-0,4	0,17	869,9	-0,4	0,15	977,1	-0,2	0,13	961,1	0,0	0,15
6,32	1.008,5	-0,1	0,18	869,8	-0,1	0,16	976,9	-0,2	0,15	961,0	-0,1	0,16
8,94	1.008,4	-0,1	0,19	869,7	-0,1	0,17	976,6	-0,3	0,18	960,7	-0,3	0,19
12,64	1.008,3	-0,1	0,20	869,7	0,0	0,17	976,6	0,0	0,18	960,7	0,0	0,19
18,43	1.008,0	-0,3	0,23	869,5	-0,2	0,20	976,6	0,0	0,18	960,7	0,0	0,19
24,08	1.008,0	0,0	0,23	869,5	0,0	0,20	976,5	-0,1	0,19	960,5	-0,2	0,21
36,05	1.007,9	-0,1	0,24	869,4	-0,1	0,21	976,3	-0,2	0,21	960,4	-0,1	0,22
52,34	1.007,6	-0,3	0,27	869,1	-0,3	0,24	976,0	-0,3	0,25	960,1	-0,3	0,25
74,96	1.007,8	0,2	0,25	869,3	0,2	0,22	976,3	0,3	0,21	960,3	0,2	0,23
106,67	1.007,7	-0,1	0,26	869,2	-0,1	0,23	976,2	-0,1	0,22	960,2	-0,1	0,24
151,32	1.007,6	-0,1	0,27	869,1	-0,1	0,24	976,1	-0,1	0,24	960,1	-0,1	0,25
214,33	1.007,8	0,2	0,25	869,3	0,2	0,22	976,2	0,1	0,22	960,3	0,2	0,23
298,56												

Tabla 2. Desorción: variación de masa por secado ΔM (total y % en peso). Grupo A "150" ciclos.

\sqrt{t} (min)	16a			17a			18a			19a		
	Peso (gr)	ΔM (gr)	$\Delta M(\%)$	Peso (gr)	ΔM (gr)	$\Delta M(\%)$	Peso (gr)	ΔM (gr)	$\Delta M(\%)$	Peso (gr)	ΔM (gr)	$\Delta M(\%)$
0	977,5			990,3			970,9			997,1		
1	977,4	-0,1	0,01	990,3	0,0	0,00	970,7	-0,2	0,02	997,0	-0,1	0,01
2,23	977,1	-0,3	0,04	989,9	-0,4	0,04	970,4	-0,3	0,05	996,7	-0,3	0,04
3,16	976,7	-0,4	0,08	989,4	-0,5	0,09	969,8	-0,6	0,11	996,3	-0,4	0,08
4,47	976,4	-0,3	0,11	989,2	-0,2	0,11	969,7	-0,1	0,12	996,1	-0,2	0,10
6,32	976,3	-0,1	0,12	989,0	-0,2	0,13	969,7	0,0	0,12	995,8	-0,3	0,13
8,94	976,1	-0,2	0,14	988,8	-0,2	0,15	969,5	-0,2	0,14	995,6	-0,2	0,15
12,64	976,0	-0,1	0,15	988,7	-0,1	0,16	969,2	-0,3	0,18	995,5	-0,1	0,16
18,43	976,0	0,0	0,15	988,6	-0,1	0,17	969,1	-0,1	0,19	995,4	-0,1	0,17
24,08	975,9	-0,1	0,16	988,5	-0,1	0,18	969,1	0,0	0,19	995,4	0,0	0,17
36,05	975,7	-0,2	0,18	988,3	-0,2	0,20	969,0	-0,1	0,20	995,2	-0,2	0,19
52,34	975,5	-0,2	0,20	988,1	-0,2	0,22	968,7	-0,3	0,23	994,9	-0,3	0,22
74,96	975,5	0,0	0,20	988,1	0,0	0,22	968,8	0,1	0,22	995,0	0,1	0,21
106,67	975,6	0,1	0,19	988,2	0,1	0,21	968,9	0,1	0,21	995,1	0,1	0,20
151,32	975,5	-0,1	0,20	988,1	-0,1	0,22	968,8	-0,1	0,22	995,1	0,0	0,20
214,33	975,7	0,2	0,18	988,3	0,2	0,20	969,0	0,2	0,20	995,2	0,1	0,19
298,56												

Tabla 2. Desorción: variación de masa por secado ΔM (total y % en peso). Grupo B "150" ciclos.

\sqrt{t} (min)	16b			17b			18b			19b		
	Peso (gr)	ΔM (gr)	$\Delta M(\%)$	Peso (gr)	ΔM (gr)	$\Delta M(\%)$	Peso (gr)	ΔM (gr)	$\Delta M(\%)$	Peso (gr)	ΔM (gr)	$\Delta M(\%)$
0	939,9			946,7			891,4			1.002,4		
1	939,6	-0,3	0,03	946,6	-0,1	0,01	891,1	-0,3	0,03	1.002,3	-0,1	0,01
2,23	939,3	-0,3	0,06	946,3	-0,3	0,04	890,7	-0,4	0,08	1.001,8	-0,5	0,06
3,16	939,2	-0,1	0,07	946,1	-0,2	0,06	890,6	-0,1	0,09	1.001,5	-0,3	0,09
4,47	938,9	-0,3	0,11	945,7	-0,4	0,11	890,2	-0,4	0,13	1.001,2	-0,3	0,12
6,32	938,3	-0,6	0,17	945,2	-0,5	0,16	889,9	-0,3	0,17	1.000,9	-0,3	0,15
8,94	938,3	0,0	0,17	945,1	-0,1	0,17	889,9	0,0	0,17	1.000,9	0,0	0,15
12,64	938,3	0,0	0,17	945,1	0,0	0,17	888,9	-1,0	0,28	1.000,9	0,0	0,15
18,43	937,9	-0,4	0,21	944,8	-0,3	0,20	889,6	0,7	0,20	1.000,6	-0,3	0,18
24,08	937,7	-0,2	0,23	944,6	-0,2	0,22	889,5	-0,1	0,21	1.000,4	-0,2	0,20
36,05	937,7	0,0	0,23	944,6	0,0	0,22	889,5	0,0	0,21	1.000,4	0,0	0,20
52,34	937,5	-0,2	0,26	944,4	-0,2	0,24	889,2	-0,3	0,25	1.000,1	-0,3	0,23
74,96	937,5	0,0	0,26	944,4	0,0	0,24	889,3	0,1	0,24	1.000,1	0,0	0,23
106,67	937,5	0,0	0,26	944,5	0,1	0,23	889,3	0,0	0,24	1.000,2	0,1	0,22
151,32	937,5	0,0	0,26	944,4	-0,1	0,24	889,3	0,0	0,24	1.000,1	-0,1	0,23
214,33	937,6	0,1	0,24	944,5	0,1	0,23	889,4	0,1	0,22	1.000,3	0,2	0,21
298,56												

ESTUDIO DE ELEMENTOS ARQUITECTÓNICOS Y COMPOSICIÓN DE MATERIALES DEL PATIO DE LOS LEONES.
INTERACCIONES EN SUS CAUSAS DE DETERIORO

Tabla 2. Desorción: variación de masa por secado ΔM (total y % en peso). Grupo C "150" ciclos.

\sqrt{t} (min)	16c			17c			18c			19c		
	Peso (gr)	ΔM (gr)	ΔM (%)	Peso (gr)	ΔM (gr)	ΔM (%)	Peso (gr)	ΔM (gr)	ΔM (%)	Peso (gr)	ΔM (gr)	ΔM (%)
0	909,2			942,8			932,1			906,3		
1	909,1	-0,1	0,01	942,6	-0,2	0,02	931,8	-0,3	0,03	906,0	-0,3	0,03
2,23	908,6	-0,5	0,07	942,2	-0,4	0,06	931,7	-0,1	0,04	905,9	-0,1	0,04
3,16	908,2	-0,4	0,11	941,8	-0,4	0,11	931,1	-0,6	0,11	905,3	-0,6	0,11
4,47	908,2	0,0	0,11	941,7	-0,1	0,12	931,0	-0,1	0,12	905,3	0,0	0,11
6,32	908,1	-0,1	0,12	941,6	-0,1	0,13	930,9	-0,1	0,13	905,1	-0,2	0,13
8,94	908,0	-0,1	0,13	941,5	-0,1	0,14	930,8	-0,1	0,14	905,0	-0,1	0,14
12,64	907,8	-0,2	0,15	941,3	-0,2	0,16	930,7	-0,1	0,15	904,9	-0,1	0,15
18,43	907,7	-0,1	0,16	941,1	-0,2	0,18	930,5	-0,2	0,17	904,8	-0,1	0,17
24,08	907,6	-0,1	0,18	941,1	0,0	0,18	930,4	-0,1	0,18	904,6	-0,2	0,19
36,05	907,5	-0,1	0,19	941,0	-0,1	0,19	930,3	-0,1	0,19	904,5	-0,1	0,20
52,34	907,2	-0,3	0,22	940,6	-0,4	0,23	929,9	-0,4	0,24	904,2	-0,3	0,23
74,96	907,4	0,2	0,20	940,9	0,3	0,20	930,1	0,2	0,21	904,5	0,3	0,20
106,67	907,3	-0,1	0,21	940,8	-0,1	0,21	930,1	0,0	0,21	904,4	-0,1	0,21
151,32	907,2	-0,1	0,22	940,7	-0,1	0,22	930,0	-0,1	0,23	904,3	-0,1	0,22
214,33	907,4	0,2	0,20	940,9	0,2	0,20	930,2	0,2	0,20	904,5	0,2	0,20
298,56												

Tabla 2. Desorción: variación de masa por secado ΔM (total y % en peso). Grupo A "200" ciclos.

\sqrt{t} (min)	21a			22a			23a			24a		
	Peso (gr)	ΔM (gr)	$\Delta M(\%)$	Peso (gr)	ΔM (gr)	$\Delta M(\%)$	Peso (gr)	ΔM (gr)	$\Delta M(\%)$	Peso (gr)	ΔM (gr)	$\Delta M(\%)$
0	953,4			992,1			950,5			921,5		
1	953,1	-0,3	0,03	991,8	-0,3	0,03	950,2	-0,3	0,03	921,2	-0,3	0,03
2,23	952,9	-0,2	0,05	991,6	-0,2	0,05	949,9	-0,3	0,06	921,0	-0,2	0,05
3,16	952,6	-0,3	0,08	991,4	-0,2	0,07	949,8	-0,1	0,07	920,7	-0,3	0,09
4,47	952,3	-0,3	0,12	991,1	-0,3	0,10	949,6	-0,2	0,09	920,6	-0,1	0,10
6,32	952,1	-0,2	0,14	990,9	-0,2	0,12	949,3	-0,3	0,13	920,3	-0,3	0,13
8,94	951,6	-0,5	0,19	990,3	-0,6	0,18	948,8	-0,5	0,18	919,9	-0,4	0,17
12,64	951,5	-0,1	0,20	990,2	-0,1	0,19	948,7	-0,1	0,19	919,9	0,0	0,17
18,43	951,4	-0,1	0,21	990,2	0,0	0,19	948,6	-0,1	0,20	919,8	-0,1	0,18
24,08	951,4	0,0	0,21	990,1	-0,1	0,20	948,5	-0,1	0,21	919,6	-0,2	0,21
36,05	951,3	-0,1	0,22	990,0	-0,1	0,21	948,4	-0,1	0,22	919,5	-0,1	0,22
52,34	951,3	0,0	0,22	989,7	-0,3	0,24	948,3	-0,1	0,23	919,5	0,0	0,22
74,96	951,2	-0,1	0,23	989,9	0,2	0,22	948,3	0,0	0,23	919,3	-0,2	0,24
106,67	951,2	0,0	0,23	989,8	-0,1	0,23	948,3	0,0	0,23	919,4	0,1	0,23
151,32												
214,33												
298,56												

Tabla 2. Desorción: variación de masa por secado ΔM (total y % en peso). Grupo B "200" ciclos.

\sqrt{t} (min)	21b			22b			23b			24b		
	Peso (gr)	ΔM (gr)	$\Delta M(\%)$	Peso (gr)	ΔM (gr)	$\Delta M(\%)$	Peso (gr)	ΔM (gr)	$\Delta M(\%)$	Peso (gr)	ΔM (gr)	$\Delta M(\%)$
0	957,1			949,1			944,1			997,2		
1	956,8	-0,3	0,03	948,8	-0,3	0,03	943,9	-0,2	0,02	996,9	-0,3	0,03
2,23	956,5	-0,3	0,06	948,6	-0,2	0,05	943,6	-0,3	0,05	996,7	-0,2	0,05
3,16	956,0	-0,5	0,11	948,1	-0,5	0,11	943,2	-0,4	0,10	996,2	-0,5	0,10
4,47	956,0	0,0	0,11	948,1	0,0	0,11	943,2	0,0	0,10	996,1	-0,1	0,11
6,32	955,7	-0,3	0,15	947,8	-0,3	0,14	942,6	-0,6	0,16	995,6	-0,5	0,16
8,94	955,2	-0,5	0,20	947,2	-0,6	0,20	942,3	-0,3	0,19	995,3	-0,3	0,19
12,64	955,1	-0,1	0,21	947,2	0,0	0,20	942,3	0,0	0,19	995,2	-0,1	0,20
18,43	955,0	-0,1	0,22	947,1	-0,1	0,21	942,3	0,0	0,19	995,1	-0,1	0,21
24,08	954,8	-0,2	0,24	947,0	-0,1	0,22	942,2	-0,1	0,20	995,0	-0,1	0,22
36,05	954,7	-0,1	0,25	946,8	-0,2	0,24	942,1	-0,1	0,21	994,9	-0,1	0,23
52,34	954,7	0,0	0,25	946,8	0,0	0,24	942,0	-0,1	0,22	994,9	0,0	0,23
74,96	954,7	0,0	0,25	946,7	-0,1	0,25	942,0	0,0	0,22	994,8	-0,1	0,24
106,67	954,7	0,0	0,25	946,7	0,0	0,25	942,0	0,0	0,22	994,8	0,0	0,24
151,32												
214,33												
298,56												

ESTUDIO DE ELEMENTOS ARQUITECTÓNICOS Y COMPOSICIÓN DE MATERIALES DEL PATIO DE LOS LEONES.
INTERACCIONES EN SUS CAUSAS DE DETERIORO

Tabla 2. Desorción: variación de masa por secado ΔM (total y % en peso). Grupo C "200" ciclos.

\sqrt{t} (min)	21c			22c			23c			24c		
	Peso (gr)	ΔM (gr)	ΔM (%)	Peso (gr)	ΔM (gr)	ΔM (%)	Peso (gr)	ΔM (gr)	ΔM (%)	Peso (gr)	ΔM (gr)	ΔM (%)
0	892,3			937,1			932,5			922,1		
1	892,0	-0,3	0,03	936,8	-0,3	0,03	932,3	-0,2	0,02	921,8	-0,3	0,00
2,23	891,7	-0,3	0,07	936,5	-0,3	0,06	932,0	-0,3	0,05	921,6	-0,2	0,02
3,16	891,5	-0,2	0,09	936,3	-0,2	0,09	931,8	-0,2	0,08	921,3	-0,3	0,05
4,47	891,3	-0,2	0,11	936,0	-0,3	0,12	931,6	-0,2	0,10	921,0	-0,3	0,09
6,32	890,8	-0,5	0,17	935,4	-0,6	0,18	930,9	-0,7	0,17	920,5	-0,5	0,14
8,94	890,6	-0,2	0,19	935,1	-0,3	0,21	930,5	-0,4	0,21	920,0	-0,5	0,20
12,64	890,5	-0,1	0,20	934,9	-0,2	0,23	930,4	-0,1	0,23	920,0	0,0	0,20
18,43	890,3	-0,2	0,22	934,8	-0,1	0,25	930,3	-0,1	0,24	920,0	0,0	0,20
24,08	890,2	-0,1	0,24	934,7	-0,1	0,26	930,3	0,0	0,24	920,0	0,0	0,20
36,05	890,1	-0,1	0,25	934,6	-0,1	0,27	930,2	-0,1	0,25	919,9	-0,1	0,21
52,34	890,1	0,0	0,25	934,6	0,0	0,27	930,2	0,0	0,25	919,8	-0,1	0,22
74,96	889,9	-0,2	0,27	934,4	-0,2	0,29	930,1	-0,1	0,26	919,8	0,0	0,22
106,67	890,0	0,1	0,26	934,5	0,1	0,28	930,1	0,0	0,26	919,8	0,0	0,22
151,32												
214,33												
298,56												

ANEXO 9

Leyenda Tabla 1

NC: número de ciclos

G: grupo

Prob.: designación probeta

M: valor medio por grupo y número de ciclos

Std: desviación estándar

Mtotal: valor medio de ángulo de contacto por probeta

Mperif.: valor medio de ángulo de contacto en zona periférica de la probeta

Mint.: valor medio de ángulo de contacto en zona interior de la probeta

20s T: valor medio de ángulo de contacto por probeta a los 20 s

20s P: valor medio de ángulo de contacto en zona periférica de la probeta a los 20 s

20s I: valor medio de ángulo de contacto en zona interior de la probeta a los 20 s

40s T: valor medio de ángulo de contacto por probeta a los 40 s

40s P: valor medio de ángulo de contacto en zona periférica de la probeta a los 40 s

40s I: valor medio de ángulo de contacto en zona interior de la probeta a los 40 s

ESTUDIO DE ELEMENTOS ARQUITECTÓNICOS Y COMPOSICIÓN DE MATERIALES DEL PATIO DE LOS LEONES.
INTERACCIONES EN SUS CAUSAS DE DETERIORO

Tabla 1. Valores de ángulo de contacto.

NC	G	Prob.	M Total	M Perif.	M Int.	20s T	20s P	20s I	40s T	40s P	40s I
0 ciclos	A	1a	84	75	95	84	75	95	81	75	92
		2a	65	61	71	65	61	70	63	61	68
		3a	76	71	82	75	71	80	73	71	79
		M	75	69	82	74	69	82	72	69	80
		Std	9	7	12	9	7	12	9	7	12
	B	1b	58	52	65	57	52	64	54	52	61
		2b	60	58	63	59	58	62	57	58	60
		3b	72	69	76	71	69	75	69	69	72
		M	63	59	68	62	59	67	60	59	64
		Std	8	9	7	8	9	7	8	9	7
	C	1c	57	54	60	57	54	60	55	54	58
		2c	64	63	65	63	63	64	61	63	62
3c		71	71	71	70	71	70	67	71	67	
	M	64	63	65	63	63	65	61	63	62	
	Std	7	9	6	7	9	5	6	9	4	
50 ciclos	A	6a	77	78	77	75	78	75	73	78	73
		7a	59	55	64	58	55	63	57	55	62
		8a	62	61	63	61	61	62	59	61	61
		M	66	65	68	65	65	67	63	65	65
		Std	10	12	8	9	12	7	9	12	7
	B	6b	77	69	88	77	69	88	74	69	84
		7b	63	60	66	62	60	65	59	60	62
		8b	63	61	65	62	61	64	60	61	62
		M	68	63	73	67	63	72	64	63	69
		Std	8	5	13	9	5	14	8	5	13
	C	6c	60	55	67	60	55	66	58	55	65
		7c	61	60	62	60	60	61	57	60	57
8c		64	62	65	63	62	64	61	62	62	
	M	62	59	65	61	59	64	59	59	61	
	Std	2	3	3	1	3	3	2	3	4	
100 ciclos	A	11a	84	73	96	83	73	95	79	73	92
		12a	66	63	70	65	63	69	62	63	65
		13a	78	74	85	77	74	84	74	74	81
		M	76	70	83	75	70	83	72	70	80
		Std	9	6	13	9	6	13	9	6	13
	B	11b	74	64	87	74	64	87	72	64	84
		12b	72	72	72	71	72	71	68	72	68
		13b	53	48	59	52	48	58	50	48	56
		M	66	61	73	66	61	72	63	61	69
		Std	11	12	14	12	12	14	11	12	14
	C	11c	60	57	63	59	57	63	56	57	59
		12c	65	61	71	64	61	70	62	61	67
13c		74	71	78	73	71	77	68	71	72	
	M	66	63	71	66	63	70	62	63	66	
	Std	7	7	7	7	7	7	6	7	6	

Tabla 1. Valores de ángulo de contacto.

NC	G	Prob.	M Total	M Perif.	M Int.	20s T	20s P	20s I	40s T	40s P	40s I
150 ciclos	A	16a	66	62	71	65	62	70	62	62	67
		17a	55	50	61	54	50	60	52	50	57
		18a	72	62	86	72	62	85	69	62	82
	M		64	58	72	64	58	72	61	58	69
	Std		9	7	13	9	7	12	9	7	13
	B	16b	68	56	83	68	56	83	67	56	80
		17b	50	50	49	49	50	48	46	50	45
		18b	67	63	72	67	63	72	65	63	70
	M		62	56	68	61	56	68	59	56	65
	Std		10	7	17	11	7	18	12	7	18
	C	16c	75	66	85	74	66	85	71	66	81
		17c	69	68	71	68	68	70	66	68	67
		18c	79	77	83	78	77	81	74	77	78
	M		74	70	80	73	70	79	70	70	75
	Std		5	6	8	5	6	8	4	6	7
200 ciclos	A	21a	87	83	91	86	83	90	81	83	86
		22a	83	77	90	82	77	89	77	77	84
		23a	93	87	101	93	87	101	86	87	94
	M		88	83	94	87	83	93	82	83	88
	Std		5	5	6	6	5	6	5	5	6
	B	21b	85	75	97	84	75	96	78	75	90
		22b	95	83	109	94	83	109	89	83	104
		23b	89	83	95	88	83	95	84	83	90
	M		89	81	100	89	81	100	84	81	95
	Std		5	5	8	5	5	8	5	5	8
	C	21c	72	66	79	71	66	78	67	66	75
		22c	96	93	100	96	93	99	90	93	95
		23c	92	91	94	91	91	93	87	91	88
	M		87	83	91	86	83	90	82	83	86
	Std		13	15	11	13	15	11	13	15	10

ANEXO 10

Tabla 1. Coordenadas de cromaticidad (x, y e Y) e Índices de blancura CIE1931, E313 y Z%. Grupo A. (NC: número de ciclos; Prob.: designación de probetas).

NC	Prob.	x	y	Y	CIE 1931	E313	Z%
"0" ciclos	1a	0,3142	0,3329	78,25	70,51	69,97	76,18
	2a	0,3155	0,3334	77,66	68,06	67,45	75,11
	3a	0,3150	0,3324	75,84	68,26	67,95	73,87
	4a	0,3146	0,3330	80,80	72,64	71,78	78,54
	5a	0,3145	0,3334	68,78	59,85	60,41	66,68
"50" ciclos	6a	0,3198	0,3366	80,73	62,84	64,53	76,38
	7a	0,3174	0,3352	81,72	71,53	73,84	84,68
	8a	0,3180	0,3348	81,77	67,70	66,04	77,85
	9a	0,3170	0,3350	82,27	68,67	67,01	78,46
	10a	0,3168	0,3350	82,34	68,99	67,34	78,59
"100" ciclos	11a	0,3184	0,3367	79,84	62,29	60,80	70,08
	12a	0,3179	0,3350	78,41	64,16	63,13	74,60
	13a	0,3214	0,3372	75,80	54,96	54,31	70,44
	14a	0,3211	0,3403	75,95	50,05	49,50	69,34
	15a	0,3187	0,3366	78,97	61,26	59,96	74,23
"150" ciclos	16a	0,3209	0,3380	75,94	54,15	53,50	70,34
	17a	0,3217	0,3376	76,88	55,15	54,15	71,22
	18a	0,3199	0,3374	78,37	58,41	57,14	73,07
	19a	0,3230	0,3400	75,70	48,81	48,25	68,85
	20a	0,3236	0,3406	74,87	46,45	46,24	67,73
"200" ciclos	21a	0,3255	0,3420	71,04	38,73	40,27	63,36
	22a	0,3241	0,3403	74,75	46,39	46,19	67,63
	23a	0,3243	0,3409	71,46	41,94	43,09	64,38
	24a	0,3210	0,3381	71,90	49,83	50,39	66,53
	25a	0,3231	0,3401	74,03	46,94	47,00	67,29

ESTUDIO DE ELEMENTOS ARQUITECTÓNICOS Y COMPOSICIÓN DE MATERIALES DEL PATIO DE LOS LEONES.
INTERACCIONES EN SUS CAUSAS DE DETERIORO

Tabla 1. Coordenadas de cromaticidad (x, y e Y) e Índices de blancura CIE1931, E313 y Z%. Grupo B. (NC: número de ciclos; Prob.: designación de probetas).

NC	Prob.	x	y	Y	CIE 1931	E313	Z%
"0" ciclos	1b	0,3181	0,3364	71,68	54,81	55,26	67,57
	2b	0,3184	0,3387	67,25	46,33	48,24	62,49
	3b	0,3176	0,3363	71,84	55,67	56,05	67,89
	4b	0,3159	0,3366	71,15	55,76	56,31	67,43
	5b	0,3144	0,3340	69,38	59,54	60,09	67,05
"50" ciclos	6b	0,3203	0,3393	77,76	54,20	53,07	71,59
	7b	0,3198	0,3373	77,52	57,80	56,74	72,34
	8b	0,3212	0,3382	78,15	55,81	54,48	72,25
	9b	0,3189	0,3380	79,49	59,27	57,75	74,05
	10b	0,3180	0,3372	79,88	61,82	60,32	74,99
"100" ciclos	11b	0,3230	0,3408	71,74	43,47	44,49	64,94
	12b	0,3231	0,3399	71,74	49,00	50,01	69,49
	13b	0,3189	0,3379	80,74	60,79	58,94	75,29
	14b	0,3220	0,3394	73,87	48,71	48,79	67,61
	15b	0,3202	0,3394	74,46	50,79	50,70	68,52
"150" ciclos	16b	0,3242	0,3394	67,77	40,87	43,12	61,63
	17b	0,3261	0,3403	67,72	37,90	40,45	60,93
	18b	0,3216	0,3430	67,27	40,46	43,54	63,39
	19b	0,3272	0,3425	62,93	28,41	33,82	55,68
	20b	0,3281	0,3427	64,40	28,84	33,74	56,76
"200" ciclos	21b	0,3239	0,3398	65,59	42,24	43,90	63,19
	22b	0,3234	0,3395	70,67	44,28	45,48	64,39
	23b	0,3234	0,3403	67,71	40,08	42,51	61,42
	24b	0,3239	0,3406	69,85	41,25	42,96	63,14
	25b	0,3254	0,3412	69,11	38,22	40,41	61,95

Tabla 1. Coordenadas de cromaticidad (x, y e Y) e Índices de blancura CIE1931, E313 y Z%. Grupo C. (NC: número de ciclos; Prob.: designación de probetas).

NC	Prob.	x	y	Y	CIE 1931	E313	Z%
"0" ciclos	1c	0,3200	0,3395	52,82	29,14	35,98	48,61
	2c	0,3188	0,3377	63,99	44,31	46,96	59,73
	3c	0,3199	0,3392	56,29	33,34	38,87	51,94
	4c	0,3185	0,3383	66,05	45,71	47,91	61,51
	5c	0,3205	0,3392	55,84	32,34	38,16	51,42
"50" ciclos	6c	0,3268	0,3442	59,92	22,78	30,31	52,54
	7c	0,3248	0,3416	65,57	34,56	38,28	58,77
	8c	0,3229	0,3394	72,67	46,93	47,39	63,37
	9c	0,3221	0,3394	74,47	49,38	49,24	68,18
	10c	0,3220	0,3395	75,41	50,24	49,80	69,02
"100" ciclos	11c	0,3275	0,3444	69,97	24,96	31,13	55,03
	12c	0,3219	0,3404	75,85	49,13	48,58	69,04
	13c	0,3238	0,3407	68,47	39,74	42,01	61,87
	14c	0,3233	0,3411	67,15	38,18	41,02	60,63
	15c	0,3193	0,3370	69,75	50,83	51,82	65,27
"150" ciclos	16c	0,3203	0,3378	69,07	48,17	49,48	64,18
	17c	0,3212	0,3378	70,45	48,83	49,77	65,29
	18c	0,3171	0,3347	73,34	60,13	60,09	70,03
	19c	0,3193	0,3362	72,66	55,21	55,37	68,35
	20c	0,3215	0,3379	67,29	45,24	47,13	62,27
"200" ciclos	21c	0,3228	0,3393	67,16	41,69	44,04	61,39
	22c	0,3233	0,3396	71,01	44,67	45,76	64,71
	23c	0,3224	0,3394	71,17	45,83	46,82	65,09
	24c	0,3226	0,3400	74,43	47,92	47,83	67,79
	25c	0,3213	0,3392	77,74	53,66	52,45	71,42